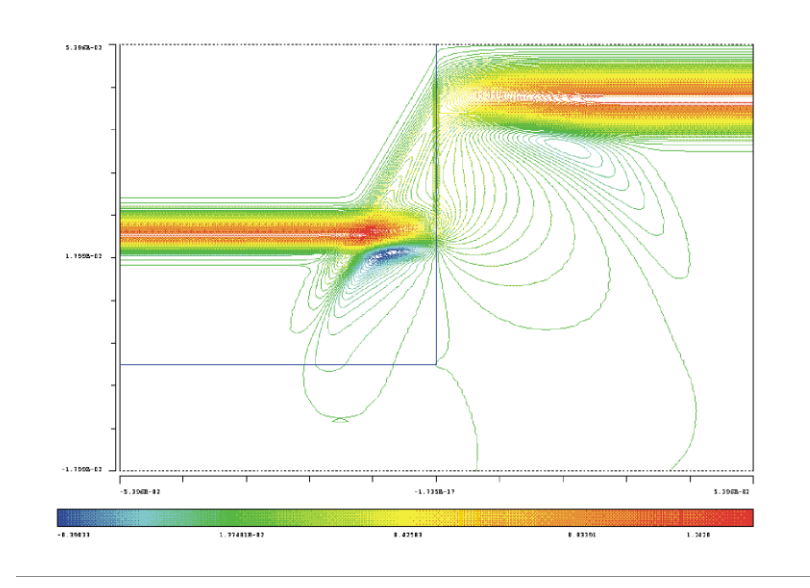
# Institut für Theoretische Elektrotechnik und Systemoptimierung



# Felder und Wellen

Prof. Dr.-Ing. Gert F. Trommer
Oktober 2015



(Vorlesungsbegleitendes Manuskript

1 1.1	Mathematische Grundlagen der Feldtheorie Skalar- und Vektorfelder
1.2	Integrale: Linie, Fläche, Volumen
1.3	Differentialoperationen: grad, div, rot, Laplace
1.4	Integralsätze
1.4.1	Linienintegral eines Gradientenfeldes
1.4.2	Umlaufintegral eines Vektorfeldes
1.4.3	Hüllflächenintegral eines Vektorfeldes
1.5	Koordinatentransformationen
1.5.1	Ortsvektoren
1.5.2	Vektorfelder
1.5.3	Linien-, Flächen- und Volumenelemente
1.5.4	Differentialoperationen in krummlinigen Koordinatensystemen
2	Elektromagnetische Felder
2.1	Materielle Grundlagen
2.2	Feldbeschreibung durch die Maxwellschen Gleichungen
3	Elektrostatik
3.1	Feldstärke, Verschiebungsdichte, Materialgleichungen
3.2	Satz von Hüllenfluss und Symmetrie
3.3	Übergänge an Grenzflächen
3.4	Potentialfunktion
3.4.1	Eine Punktladung im Koordinatenursprung
3.4.2	Viele Punktladungen
3.4.3	Elektrischer Dipol
3.4.4	Coulomb – Integral
3.5	Elektrische Feldenergie
3.5.1	Energiedichte
3.5.2	Feldenergie einer geladenen Kugel
3.5.3	Feldenergie von Anordnungen metallischer geladener Leiter
3.6	Kapazität C
3.6.1	Kapazität eines Plattenkondensators
3.6.2	Kapazität eines Kugelkondensators
3.6.3	Kapazität eines Zylinderkondensators

3.6.4 3.6.5 3.7 3.7.1 3.7.1.1 3.7.1.2 3.7.1.3 3.7.1.4 3.7.1.5 3.7.1.6 3.7.2 3.7.3	Verallgemeinerter Kapazitätsbegriff für Vielfachleiter Zusammenhang gespeicherter Energie mit der Kapazität Bestimmung der Kapazität bei Anwesenheit von Influenzladunger Lösung durch Anwendung der Laplace-Gleichung Herleitung von Laplace- und Poisson-Gleichung Eindeutigkeitssatz, Randwertprobleme Berechnungsmethode von Kapazitäten mit Influenzladungen Beispiel kugelsymmetrisches Problem Beispiel rotationssymmetrisches Problem Verifikation numerischer Lösungen der Laplace-Gleichung Lösung der Laplace-Gleichung durch Separation der Variablen Lösung der Poisson-Gleichung
3.7.4	Spiegelungsmethode
4	Stationäre elektrische Strömungsfelder
4.1	Erhaltung der Ladung
4.2	Ohmsches Gesetz
4.3	Ohmsche Verlustleistung
4.4	Ohmscher Widerstand
4.5	Laplace-Gleichung für stationäre Strömungsfelder
4.6	Stromdichte und Raumladungsdichte an Grenzflächen
5	Streng stationäre Magnetfelder
5.1	Kräfte auf bewegte Ladungen und stromdurchflossene Leiter
5.2	Zusammenhang zwischen $\vec{H}$ und $\vec{B}$ – Materialgleichungen
5.3	Übergänge an Grenzflächen
5.4	Ferromagnetika
5.5	Durchflutungsgesetz und Symmetrie
5.6 5.7 5.7.1 5.7.2 5.7.2.1 5.7.2.2	Berechnung von H in verschiedenen Spulenkonfigurationen Vektorpotential Definition, Coulomb-Eichung Differentialgleichung des magnetischen Vektorpotentials Poisson-Gleichung für das Vektorpotential Coulomb-Integral als Lösung der Poisson-Gleichung

5.7.2.3 5.8 5.9	Magnetischer Fluss und Vektorpotential Biot-Savart-Gesetz und Anwendung auf einfache Leitergeometrie Magnetischer Dipol
6 6.1 6.2	Induktionskoeffizient L Induktionskoeffizient und magnetischer Fluss Induktionskoeffizient und magnetische Feldenergie
7 7.1 7.2 7.3 7.4 7.5 7.6	Quasistationäre Felder Induktionsgesetz für zeitlich sich ändernde Felder oder zeitlich variable Randkurven Eigenschaften der Wirbelfelder Rückwirkung des Induktionsstroms auf den magn. Fluss Rückwirkung des Magnetfeldes auf elektrische Wechselfelder Diffusionsgleichung für J Skin-Effekt
8 . 8.1 8.2 8.2.1	Feldenergie und Energiestromdichte Leistungsbilanz mittels Poynting Vektor Beispiel einfallende Welle auf verlustbehaftetes Medium Beispiel Energietransport im Koaxialleiter
9 9.1 9.2 9.2.1 9.2.2	Schnell veränderliche Felder Verschiebungsstrom und dessen Magnetfeld Wellengleichung für Nichtleiter Lösungen für ebene Wellen Reflexionen
9.2.3 9.2.3.1 9.2.3.2 9.2.3.3	Harmonische Wellen Sinusförmige elektrische und magnetische Felder Linear polarisierte Wellen Zirkular polarisierte Wellen
9.2.3.3 9.3 9.3.1 9.3.2 9.4	Allgemeine Wellengleichung für leitfähige Medien Harmonische ebene Wellen im verlustfreien Fall Harmonische ebene Wellen im verlustbehafteten Fall Wellengleichung mit komplexer Dielektrizitätskonstanten
9.4.1	Berücksichtigung der Stromdichte schwingender Ladungen

9.4.2 9.4.2.1	Eigenschaften der komplexen Dielektrizitätskonstanten Dielektrische Medien
9.4.2.2	Leiter mit hoher Leitfähigkeit
9.4.2.3	Dünne Plasmen
9.5	Signalausbreitung
9.5.1	Phasengeschwindigkeit, Gruppengeschwindigkeit
9.5.2	Anwendungsbeispiel GPS Pseudorange Messung
9.6	Wellenleiter
9.6.1	Wellengleichung für geführte Wellen
9.6.2	Transversal- und Longitudinal-Komponenten
9.6.3	TM Wellen
9.6.3.1	Separation der Variablen
9.6.3.2	Randbedingungen für Rechteck-Hohlleiter
9.6.3.3	Feldverteilung der TM - Wellen
9.6.3.4	Leistungsdichte der TM Wellen
9.6.4	TE – Wellen
9.6.4.1	Randbedingungen für Rechteck-Hohlleiter
9.6.4.2	Feldverteilung der TE-Wellen
9.6.5	Gesamtfeldverteilung der TM- und TE- Wellen
9.6.6	Wellenzahl und Wellengeschwindigkeit
9.6.7	Cut-off-Frequenzen
9.7	Wellenerzeugung durch eine Antenne
9.7.1	Wellengleichung des elektrischen und magn. Vektorpotentials
9.7.1.1.1	Lorentz-Eichung
9.7.1.2	Wellengleichungen
9.7.1.3	Lösung der Wellengleichung: retardierte Potentiale
9.7.2	Der Hertzsche Dipol
9.7.2.1	Berechnung der Potentiale
9.7.2.2	Lösung für das elektrische und magnetische Feld
9.7.2.3	Nahfelder
9.7.2.4	Fernfelder
9.7.2.5	Poynting-Vektor und Energieabstrahlung im Fernfeld
9.7.3	Ausgedehnte Dipolantenne

# 1 Mathematische Grundlagen der Feldtheorie

Skalarfelder - Vektorfelder

Integrale in der Feldtheorie

Differentialoperatoren in der Feldtheorie

Gaußscher Satz / Stokesscher Satz

Koordinatensysteme -

- Kartesische Koordinaten
- Zylinderkoordinaten
- Kugelkoordinaten

# 1.1 Skalar- und Vektorfelder

Skalarfelder Luftdruck p(x,y,z)

Temperatur T(x,y,z)

el. Potential  $\Phi(x,y,z)$ 

Raumladungsdichte  $\rho(x, y, z)$ 

"diskrete" Beschreibung z.B.:

"analytische" Beschreibung z.B.:

x [mm]	y [mm]	z [mm]	Ф [V]
1	0	0	0,1
0	1	0	0,2
0	0	1	0,2
1	1	0	0,4

$$\Phi(x,y,z) = \frac{Q}{4\pi\epsilon_0} \cdot \frac{1}{\sqrt{x^2 + y^2 + z^2}}$$

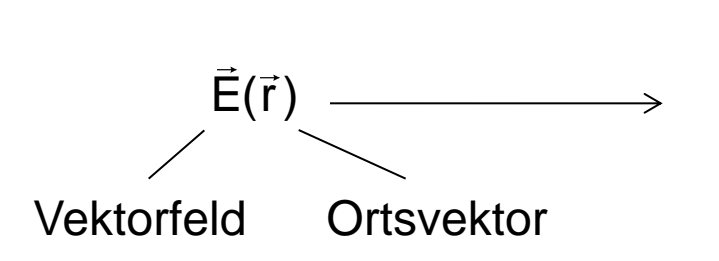
$$\Phi(\vec{r})$$
Skalarfeld Ortsvektor

Vektorfelder

Luft/Wasserströmung

$$\vec{v}(x,y,z)$$

Vektorfelder der Elektrodynamik E, D, P, H, B, M, J



$$\Rightarrow z.B.: \vec{E} = \begin{pmatrix} E_x(x,y,z) \\ E_y(x,y,z) \\ E_z(x,y,z) \end{pmatrix}$$

"diskrete" Beschreibung z.B.:

"analytische" Beschreibung z.B. Plattenkondensator

	x [mm]	y [mm]	z [mm]	E <sub>x</sub> [V/m]	E <sub>y</sub> [V/m]	E <sub>z</sub> [V/m]
-	1	0	0	10	10	0
	0	1	0	20	10	0
	0	0	1	30	10	0
ſ	1	1	0			

Komponenten des Ortsvektors

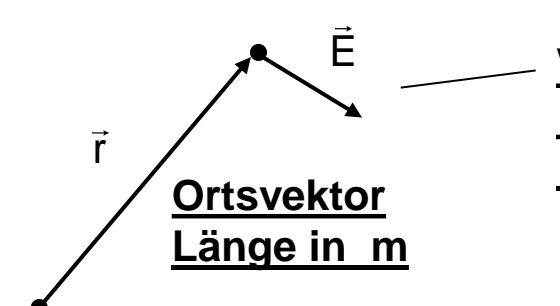
Komponenten des Vektorfeldes

$$E_x = 0$$
;  $E_y = \frac{\sigma}{\varepsilon_0}$ ;  $E_z = 0$ 

Vektorfeld durch 6 Größen gekennzeichnet:
3 Größen für den Ort

3 Größen für Stärke und Richtung

#### **Ortsvektor und Vektorfeld**



**Vektor des Vektorfeldes** 

Länge in V/m

Richtung (Winkel) im Raum

#### Koordinatenursprung

#### Kartesische Koordinaten:

$$\vec{E}(\vec{r}) = E_x(x,y,z) \vec{e}_x \qquad \vec{r} = x \vec{e}_x + y \vec{e}_y + z \vec{e}_z$$

$$+ E_y(x,y,z) \vec{e}_y \qquad \text{Ortsvektor}$$

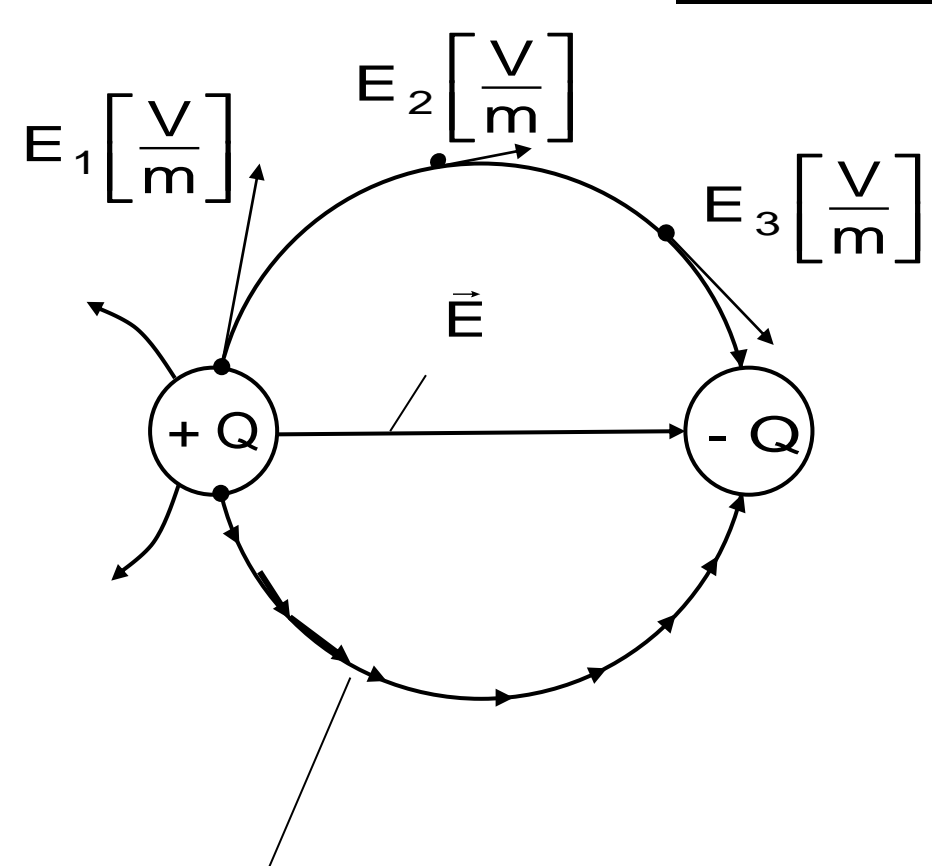
$$+ E_z(x,y,z) \vec{e}_z \qquad \vec{E} = E_x \vec{e}_x + E_y \vec{e}_y + E_z \vec{e}_z$$

$$\text{Vektorfeld}$$

#### Kugelkoordinaten

$$\vec{\mathsf{E}}(\vec{\mathsf{r}}) = \mathsf{E}_{\mathsf{r}} \big( \mathsf{r}, \ \vartheta, \ \varphi \big) \ \vec{\mathsf{e}}_{\mathsf{r}} + \mathsf{E}_{\vartheta} \big( \mathsf{r}, \ \vartheta, \ \varphi \big) \ \vec{\mathsf{e}}_{\vartheta} + \mathsf{E}_{\varphi} \big( \mathsf{r}, \ \vartheta, \ \varphi \big) \ \vec{\mathsf{e}}_{\varphi}$$

#### Gibt es krumme Vektoren?



E ist nicht eine krumme Linie, die bei +Q beginnt und bei -Q endet.

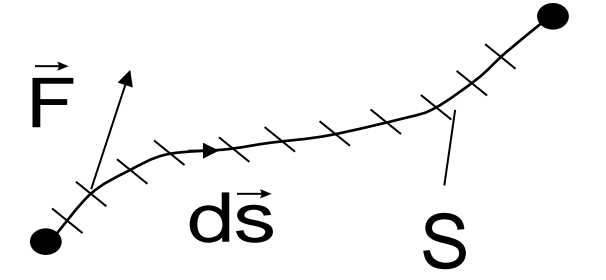
 $\vec{E}$  ist ein Vektorfeld; an jeder Stelle im Raum, gekennzeichnet durch den jeweiligen Ortsvektor  $\vec{r}$ , gibt es einen elektrischen Feldvektor  $\vec{E}_i$  ( $\vec{r}_i$ ) der individuellen Länge  $\vec{E}_i$  [ $\sqrt[V]{m}$ ] und Richtung  $\vec{e}_i$ :

$$\vec{E}_i (\vec{r}_i) = \vec{E}_i \vec{e}_i$$

Die Krümmung der Feldlinien in der Zeichnung ist die Hintereinanderzeichnung der Folge von Einheitsvektoren  $\vec{e}_i$  an den Orten  $\vec{r}_i$ 

# 1.2 Integrale: Linie, Fläche, Volumen

$$W = \int_{S} \vec{F} \cdot d\vec{s} \quad \underline{Wegintegral}$$



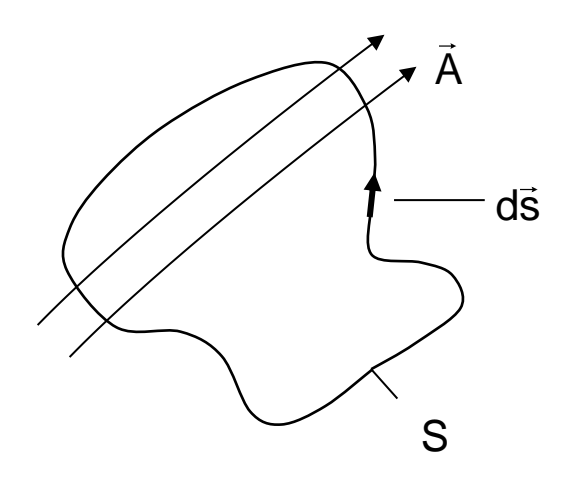
z.B. 
$$\vec{F} = F_x \vec{e}_x + F_y \vec{e}_y = \text{const.}$$

$$d\vec{s} = dx \vec{e}_x$$

$$\rightarrow \int_s \vec{F} \cdot d\vec{s} = \int_s (F_x \vec{e}_x + F_y \vec{e}_y) \cdot (dx \vec{e}_x)$$

$$\int_s F_x dx = F_x S$$
für den Spezialfall  $F = \text{const.}$ 

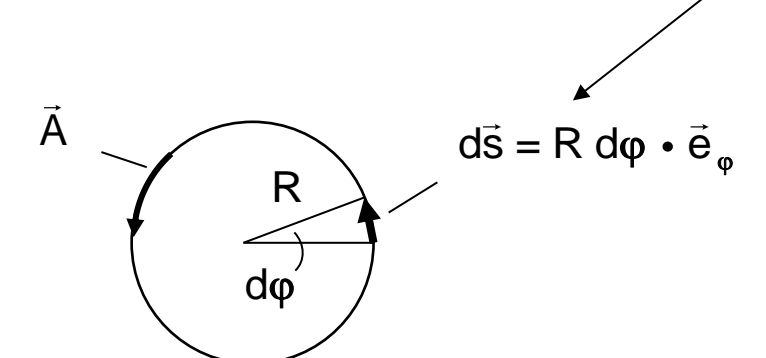
#### <u>Umlaufintegral</u>



$$\oint_{S} \vec{A} \cdot d\vec{s}$$

Wegintegral über geschlossene Schleife

z.B. Kreis mit Radius R



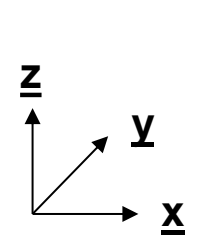
 $\vec{\mathsf{A}}$  sei kreisförmig und entlang des Kreises konstant :

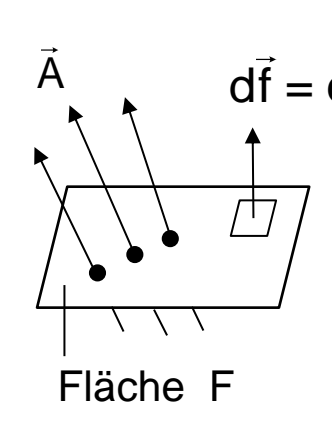
$$\vec{A} = A_{\varphi}(R) \vec{e}_{\varphi}$$

$$\oint_{S} \vec{A} \cdot d\vec{s} = \oint (A_{\varphi}(R) \vec{e}_{\varphi}) \cdot (R d\varphi \vec{e}_{\varphi})$$

$$= \int_{0}^{2\pi} A_{\phi}(R) R d\phi = A_{\phi}(R) \int_{0}^{2\pi} R d\phi = A_{\phi}(R) 2 \pi R$$

# <u>Flächenintegral</u>

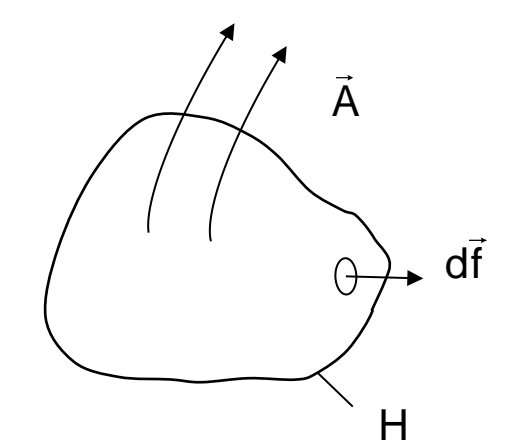




$$d\vec{f} = dx dy \vec{e}_z$$
  $\vec{A} = A_x \vec{e}_x + A_y \vec{e}_y + A_z \vec{e}_z$ 

Frage: welches ist die Summe der senkrechten Komponente von  $\vec{A}$  durch  $\vec{F}$ ?

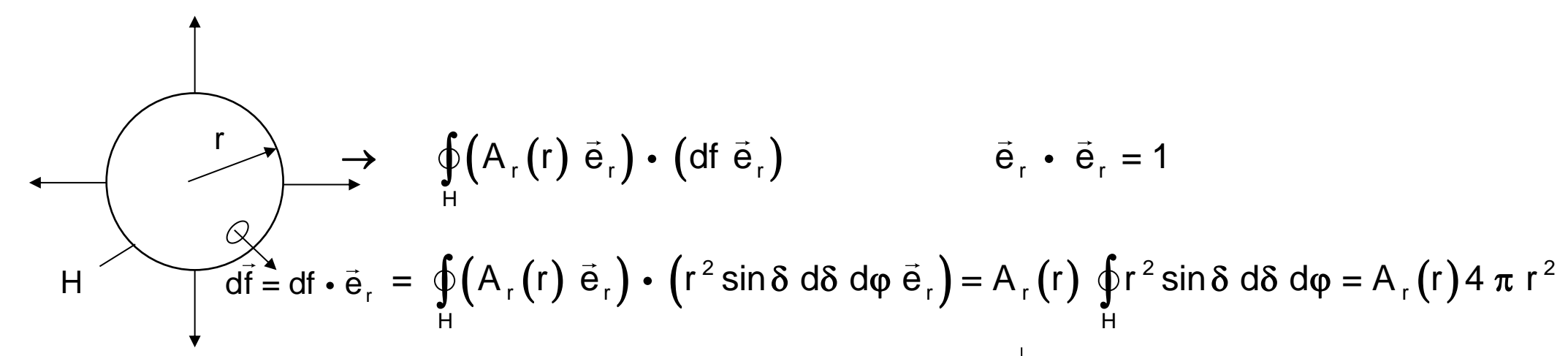
#### **Hüllflächenintegral**



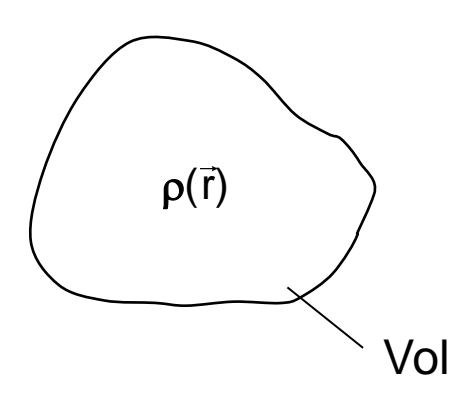
senkrecht auf H zeigt nach außen Integral über geschlossene Hüllfläche

$$\rightarrow \oint_H \vec{A} \cdot d\vec{f}$$

Beispiel Kugel:  $\vec{A}$  radialsymmetrisch  $\vec{A} = A_r(r) \vec{e}_r$ 

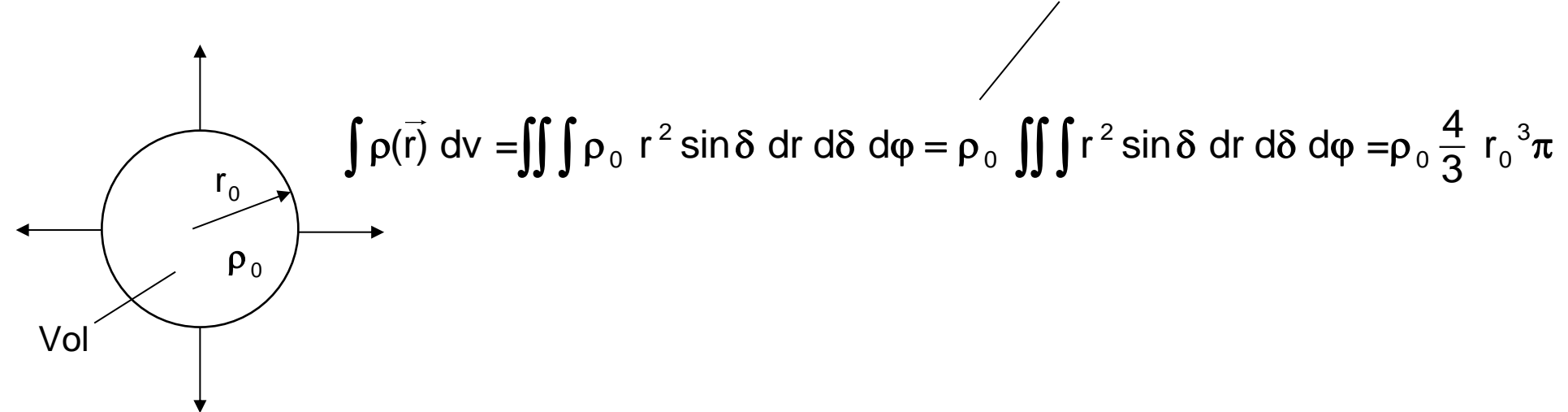


# **Volumenintegral**



$$Q = \int \rho(x,y,z) dv = \iiint \rho(x,y,z) dx dy dz$$

Beispiel Kugel:  $\rho$  ist innerhalb der Kugel mit Radius  $r_0$  konstant  $\rho_0$ 



# 1.3 Differentialoperationen: grad, div, rot, Laplace

#### Gradient

grad 
$$\Phi = \frac{\partial \Phi}{\partial x} \vec{e}_x + \frac{\partial \Phi}{\partial y} \vec{e}_y + \frac{\partial \Phi}{\partial z} \vec{e}_z$$

 $\Phi$  = Skalarfeld  $\rightarrow$  grad  $\Phi$  = Vektorfeld

$$d\Phi = \operatorname{grad} \Phi \cdot d\vec{r}$$

grad Φ gibt an, wie stark sich ein Skalarfeld räumlich ändert und zeigt in die Richtung der stärksten Änderung ("bergauf").

#### Divergenz

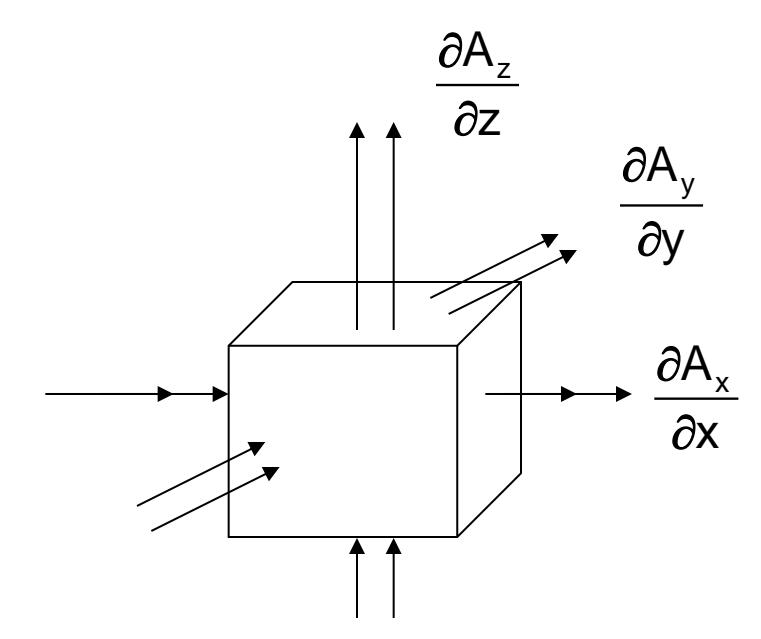
div 
$$\vec{A} = \frac{\partial A_x}{\partial x} + \frac{\partial A_y}{\partial y} + \frac{\partial A_z}{\partial z}$$
 lokal, differentiell

 $\vec{A}$  = Vektorfeld  $\rightarrow$  div  $\vec{A}$  = Skalarfeld

div A gibt die Dichte von Quellen in einem Vektorfeld an.

$$\operatorname{div} \vec{A} = \lim_{v \to 0} \frac{1}{v} \oint \vec{A} \cdot d\vec{f}$$

global bilanzierend, integral



$$rot \vec{A} = \left(\frac{\partial A_z}{\partial y} - \frac{\partial A_y}{\partial z}\right) \vec{e}_x + \left(\frac{\partial A_x}{\partial z} - \frac{\partial A_z}{\partial x}\right) \vec{e}_y + \left(\frac{\partial A_y}{\partial x} - \frac{\partial A_x}{\partial y}\right) \vec{e}_z$$

 $\vec{A} = Vektorfeld \rightarrow rot \vec{A} = Vektorfeld$ 

rot A gibt die Dichte von Wirbelursachen an und zeigt in die Normalenrichtung der Fläche mit dem stärksten Wirbel

$$\vec{n} \cdot rot \vec{A} = \lim_{f \to 0} \frac{1}{f} \oint \vec{A} d\vec{s}$$

Laplace

$$\Delta \Phi = \frac{\partial^2 \Phi}{\partial x^2} + \frac{\partial^2 \Phi}{\partial y^2} + \frac{\partial^2 \Phi}{\partial z^2}$$

 $\Phi$  = Skalarfeld  $\rightarrow \Delta \Phi$  = Skalarfeld

Der Laplace Operator gibt die "Krümmung eines Skalarfeldes" an.

rot grad 
$$\Phi = 0$$

Lässt sich ein Vektorfeld als Gradient einer Potentialfunktion  $\Phi$  darstellen, so hat es keine Wirbel.

div rot 
$$\vec{A} = 0$$

Lässt sich ein Vektorfeld als Rotation eines Vektorfeldes Ä darstellen, so hat es keine Quellen.

Weiter gilt:

$$\operatorname{div} (\Phi \vec{A}) = \vec{A} \cdot \operatorname{grad} \Phi + \Phi \cdot \operatorname{div} \vec{A}$$

rot 
$$(\Phi \vec{A}) = \Phi \text{ rot } \vec{A} + (\text{grad}\Phi) \times \vec{A}$$

Definition: Laplace Operator für Vektorfeld

$$\Delta \vec{A} = \text{grad (div } \vec{A}) - \text{rot(rot } \vec{A})$$

im kartesischen Koordinatensystem gilt:

$$\Delta \vec{A} = \begin{pmatrix} \Delta A_x \\ \Delta A_y \\ \Delta A_z \end{pmatrix}$$

$$| rot grad \psi \equiv 0 |$$

Abkürzung grad 
$$\psi = \vec{V} \rightarrow V_x = \frac{\partial \psi}{\partial x} \quad V_y = \frac{\partial \psi}{\partial y} \quad V_z = \frac{\partial \psi}{\partial z}$$

$$rot \vec{V} = \vec{e}_x \left( \frac{\partial V_z}{\partial y} - \frac{\partial V_y}{\partial z} \right) + \vec{e}_y \left( \frac{\partial V_x}{\partial z} - \frac{\partial V_z}{\partial x} \right) + \vec{e}_z \left( \frac{\partial V_y}{\partial x} - \frac{\partial V_x}{\partial y} \right)$$

$$= \vec{e}_{x} \left( \frac{\partial^{2} \psi}{\partial y \, \partial z} - \frac{\partial^{2} \psi}{\partial z \, \partial y} \right) + \vec{e}_{y} \left( \frac{\partial^{2} \psi}{\partial z \, \partial x} - \frac{\partial^{2} \psi}{\partial x \, \partial z} \right) + \vec{e}_{z} \left( \frac{\partial^{2} \psi}{\partial x \, \partial y} - \frac{\partial^{2} \psi}{\partial y \, \partial x} \right) = 0$$

$$rot grad \psi \equiv 0$$

Abkürzung grad  $\psi = \vec{V}$ 

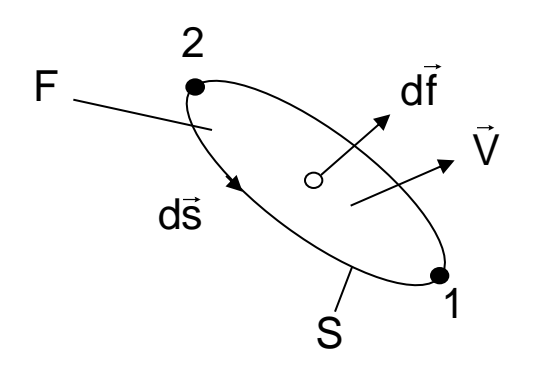
$$\int_{F} \operatorname{rot} \vec{V} \cdot d\vec{f} \stackrel{\text{Stokes}}{=} \oint_{S} \vec{V} \cdot d\vec{s}$$

$$= \oint_{S} \operatorname{grad} \psi \cdot d\vec{s}$$

$$= \int_{1}^{2} \operatorname{grad} \psi \cdot d\vec{s} + \int_{2}^{1} \operatorname{grad} \psi \cdot d\vec{s}$$

$$= \int_{1}^{2} \operatorname{grad} \psi \cdot d\vec{s} - \int_{1}^{2} \operatorname{grad} \psi \cdot d\vec{s}$$

$$= \int_{1}^{2} d \psi - \int_{1}^{2} d \psi = 0$$



wegunabhängig

$$\operatorname{div}\operatorname{rot}\vec{A}\equiv 0$$

Abkürzung rot  $\vec{A} = \vec{V}$ 

$$\operatorname{div} \vec{V} = \frac{\partial V_{x}}{\partial x} + \frac{\partial V_{y}}{\partial y} + \frac{\partial V_{z}}{\partial z}$$

$$= \left(\frac{\partial^{2} A_{z}}{\partial x \partial y} - \frac{\partial^{2} A_{y}}{\partial x \partial z}\right) + \left(\frac{\partial^{2} A_{x}}{\partial y \partial z} - \frac{\partial^{2} A_{z}}{\partial y \partial x}\right) + \left(\frac{\partial^{2} A_{y}}{\partial z \partial x} - \frac{\partial^{2} A_{x}}{\partial z \partial y}\right)$$

$$= 0 \quad \text{q.e.d.}$$

$$\operatorname{div}\operatorname{rot}\vec{A}\equiv 0$$

Abkürzung rot  $\vec{A} = \vec{V}$ 

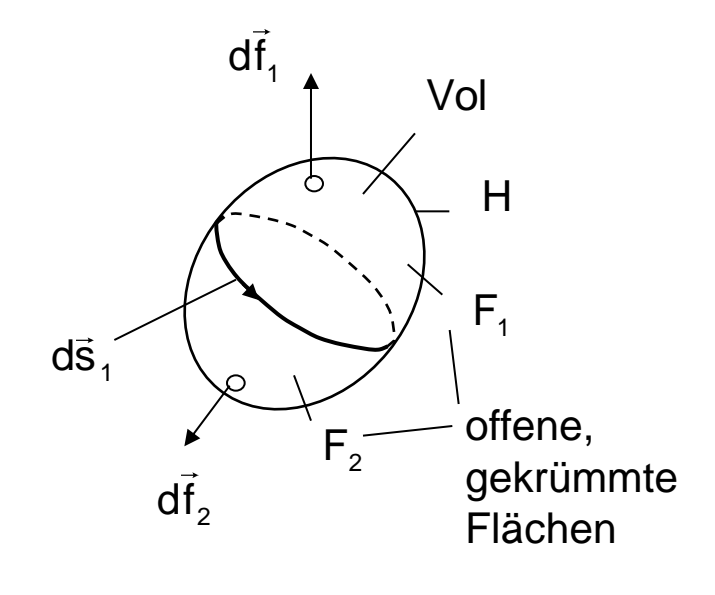
$$\int_{Vol} \operatorname{div} \vec{V} \cdot \operatorname{dv} \stackrel{\text{Gauß}}{=} \oint_{H} \vec{V} \cdot \operatorname{d\vec{f}}$$

$$= \int_{F_{1}} \operatorname{rot} \vec{A} \cdot \operatorname{d\vec{f}} + \int_{F_{2}} \operatorname{rot} \vec{A} \cdot \operatorname{d\vec{f}}$$

$$\stackrel{\text{Stokes}}{=} \oint_{S_{1}} \vec{A} \cdot \operatorname{d\vec{s}}_{1} + \oint_{S_{2}} \vec{A} \cdot \operatorname{d\vec{s}}_{2}$$

$$= \oint_{S_{1}} \vec{A} \cdot \operatorname{d\vec{s}}_{1} + \oint_{S_{1}} \vec{A} \cdot (-\operatorname{d\vec{s}}_{1})$$

$$= 0$$



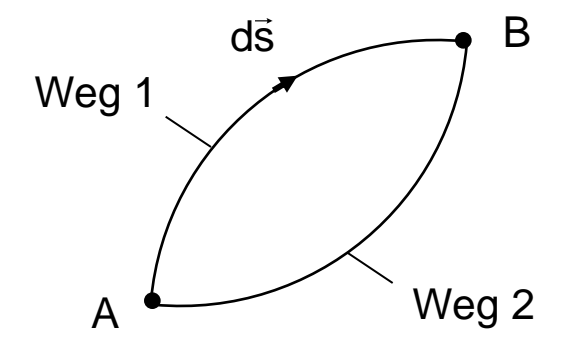
Umlaufrichtung der 2. Fläche umgekehrt

# 1.4 Integralsätze

#### 1.4.1 Linienintegral eines Gradientenfeldes

grad 
$$\Phi = \frac{\partial \Phi}{\partial x} \vec{e}_x + \frac{\partial \Phi}{\partial y} \vec{e}_y + \frac{\partial \Phi}{\partial z} \vec{e}_z$$

$$\int_{A}^{B} (\operatorname{grad} \Psi) \cdot d\vec{s} = \Psi(B) - \Psi(A)$$



Das Wegintegral über den Gradienten eines Skalarfeldes vom Punkt A zum Punkt B ist gleich der Differenz der Werte der Potentialfunktion an den Punkten B und A unabhängig vom integrierten Weg zwischen den Punkten.

#### 1.4.2 Umlaufintegral eines Vektorfeldes

#### **Stokesscher Satz**

$$rot \vec{A} =$$

$$\left( \frac{\partial A_z}{\partial y} - \frac{\partial A_y}{\partial z} \right) \vec{e}_x + \left( \frac{\partial A_x}{\partial z} - \frac{\partial A_z}{\partial x} \right) \vec{e}_y + \left( \frac{\partial A_y}{\partial x} - \frac{\partial A_x}{\partial y} \right) \vec{e}_z \quad rot \vec{A}$$

$$Fläche F$$

$$\vec{A} \cdot d\vec{f} = \oint_S \vec{A} \cdot d\vec{s}$$

$$\vec{A} \cdot d\vec{f} = \oint_S \vec{A} \cdot d\vec{s}$$

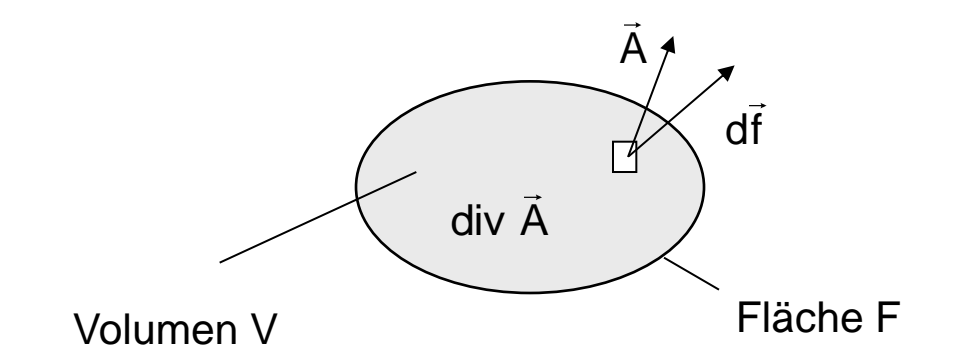
Das Flächenintegral über die Komponente von rot A in Richtung der Flächennormalen ist gleich dem Linienintegral längs des Randes der Fläche über die Komponente von A in Richtung der Linienelemente.

#### 1.4.3 Hüllflächenintegral eines Vektorfeldes

#### **Gaußscher Satz**

$$\operatorname{div} \vec{A} = \frac{\partial A_{x}}{\partial x} + \frac{\partial A_{y}}{\partial y} + \frac{\partial A_{z}}{\partial z}$$

$$\int_{V} \operatorname{div} \vec{A} \cdot \operatorname{dv} = \oint_{F} \vec{A} \cdot d\vec{f}$$

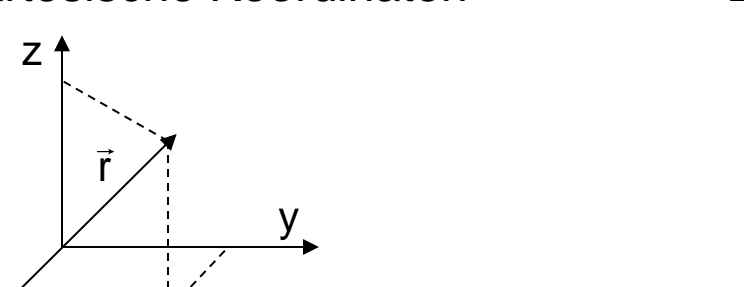


Das Volumenintegral über die Divergenz eines Vektorfeldes ist gleich dem Flächenintegral des Vektorfeldes über die geschlossene Oberfläche des Volumens.

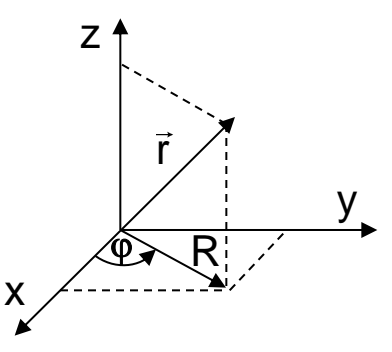
# 1.5 Koordinatentransformationen

# 1.5.1 Ortsvektoren

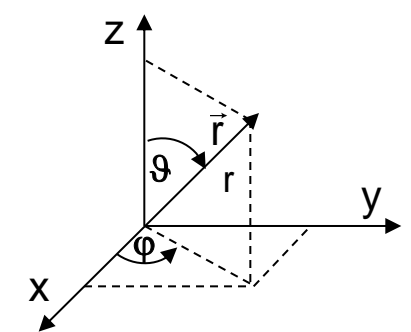
Kartesische Koordinaten



Zylinderkoordinaten



Kugelkoordinaten



arctan 
$$\frac{y}{x}$$

=

Ζ

R

r cos θ

r sin 3

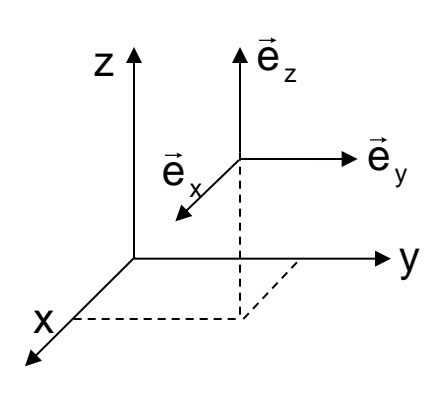
$$\sqrt{R^2 + z^2}$$

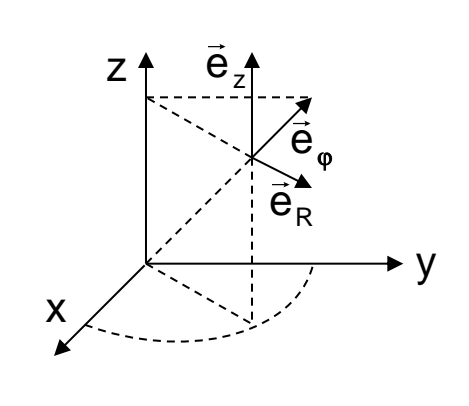
$$\sqrt{x^2 + y^2 + z^2}$$

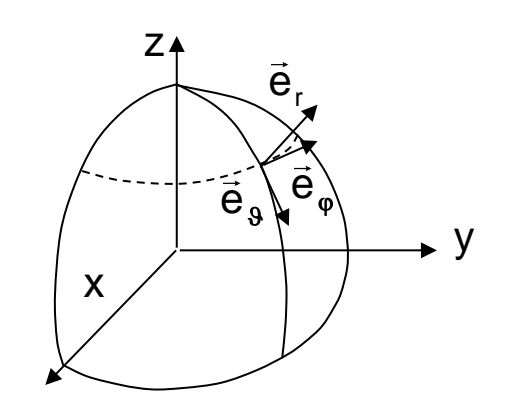
$$\arctan \frac{\sqrt{x^2 + y}}{z}$$

$$\frac{y}{x} = \frac{y}{x}$$

# 1.5.2 Vektorfelder







$$\vec{A} = A_x \vec{e}_x + A_y \vec{e}_y + A_z \vec{e}_z$$

 $A_{x}$ 

$$= A_R \vec{e}_R + A_{\phi} \vec{e}_{\phi} + A_z \vec{e}_z =$$

$$A_r \vec{e}_r + A_{\vartheta} \vec{e}_{\vartheta} + A_{\varphi} \vec{e}_{\varphi}$$

 $A_{v}$ 

=  $A_R \cos \varphi - A_{\varphi} \sin \varphi$  $A_R \sin \varphi + A_{\varphi} \cos \varphi$  =  $A_r \sin \theta \cos \phi + A_\theta \cos \theta \cos \phi - A_\phi \sin \phi$ =  $A_r \sin \theta \sin \phi + A_\theta \cos \theta \sin \phi + A_\phi \cos \phi$ 

 $A_z$ 

 $A_r \cos \vartheta - A_g \sin \vartheta$ 

 $A_x \cos \varphi + A_v \sin \varphi$ 

 $\mathsf{A}_\mathsf{R}$ 

 $A_r \sin \vartheta + A_g \cos \vartheta$ 

 $-A_x \sin \varphi + A_v \cos \varphi$ 

 $A_{\varphi}$ 

 $A_{7}$ 

 $A_r \cos \vartheta - A_g \sin \vartheta$ 

 $A_x \sin\theta \cos\phi + A_y \sin\theta \sin\phi + A_z \cos\theta =$ 

 $A_{R}\sin\vartheta + A_{z}\cos\vartheta$ 

 $A_z$ 

 $A_r$ 

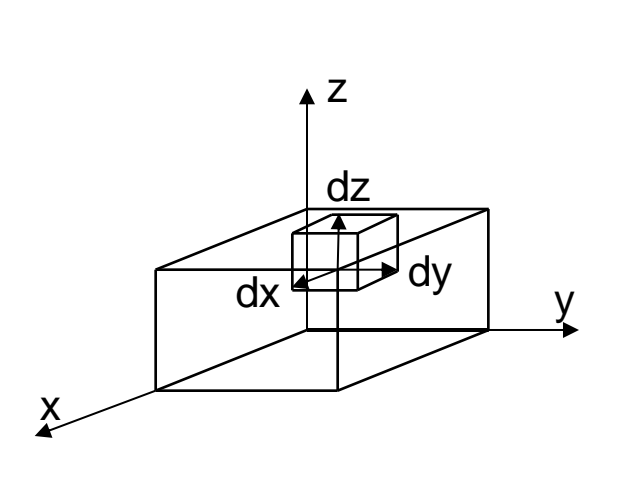
 $A_R \cos \vartheta - A_z \sin \vartheta$ 

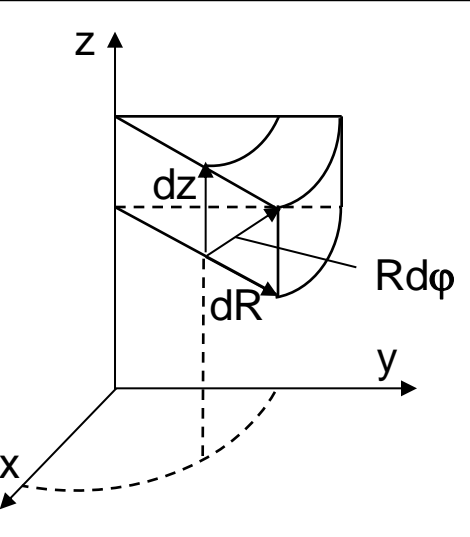
 $A_x \cos\theta \cos\phi + A_y \cos\theta \sin\phi - A_z \sin\theta =$  $-A_x \sin \varphi + A_y \cos \varphi$ 

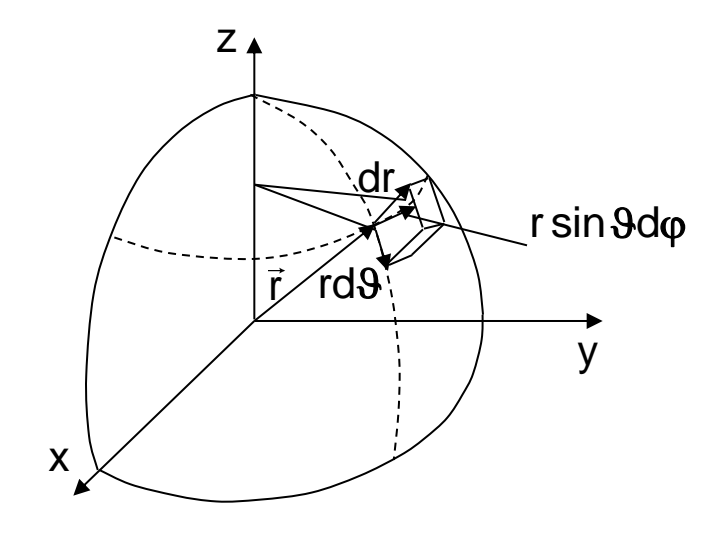
 $A_{\vartheta}$  $A_{\varphi}$ 

27

#### 1.5.3 Linien-, Flächen- und Volumenelemente







$$d\vec{s} = \vec{e}_x dx + \vec{e}_y dy + \vec{e}_z dz$$

$$d\vec{s} = \vec{e}_x dx + \vec{e}_y dy + \vec{e}_z dz = \vec{e}_R \cdot dR + \vec{e}_{\phi} \cdot Rd\phi + \vec{e}_z \cdot dz = \vec{e}_r \cdot dr + \vec{e}_{\vartheta} \cdot r d\vartheta + \vec{e}_{\phi} \cdot r \sin\vartheta d\phi$$

$$df = \vec{e}_x \cdot dy dz + \vec{e}_y \cdot dx dz$$
$$+ \vec{e}_z \cdot dx dy$$

$$= \vec{e}_R \cdot R \cdot d\varphi dz + \vec{e}_{\varphi} \cdot dR dz$$
$$+ \vec{e}_{z} \cdot R \cdot dR d\varphi$$

= 
$$\vec{e}_r \cdot r^2 \cdot \sin \vartheta \, d\vartheta \, d\varphi$$
  
+  $\vec{e}_\vartheta \cdot r \cdot \sin \vartheta \, dr \, d\varphi$   
+  $\vec{e}_\varphi \cdot r \cdot dr \, d\vartheta$ 

$$dv = dx dy dz$$

$$=$$
 R dR d $\phi$  dz

= 
$$r^2 \cdot \sin \vartheta \cdot dr d\vartheta d\varphi$$

#### 1.5.4 Differentialoperationen in krummlinigen Koordinatensystemen

grad 
$$\psi = \vec{e}_x \frac{\partial \psi}{\partial x} + \vec{e}_y \frac{\partial \psi}{\partial y} + \vec{e}_z \frac{\partial \psi}{\partial z}$$

$$= \vec{e}_R \frac{\partial \psi}{\partial R} + \vec{e}_{\phi} \frac{1}{R} \frac{\partial \psi}{\partial \phi} + \vec{e}_z \frac{\partial \psi}{\partial z}$$

$$= \vec{e}_R \frac{\partial \psi}{\partial R} + \vec{e}_{\varphi} \frac{1}{R} \frac{\partial \psi}{\partial \varphi} + \vec{e}_z \frac{\partial \psi}{\partial z}$$

$$= \vec{e}_r \frac{\partial \psi}{\partial r} + \vec{e}_{\vartheta} \frac{1}{r} \frac{\partial \psi}{\partial \vartheta} + \vec{e}_{\varphi} \frac{1}{r \sin \vartheta} \frac{\partial \psi}{\partial \varphi}$$

$$\operatorname{div} \vec{A} = \frac{\partial A_{x}}{\partial x} + \frac{\partial A_{y}}{\partial y} + \frac{\partial A_{z}}{\partial z}$$

$$= \frac{1}{R} \frac{\partial}{\partial R} (R A_R) + \frac{1}{R} \frac{\partial A_{\varphi}}{\partial \varphi} + \frac{\partial A_z}{\partial z} = \frac{1}{r^2} \frac{\partial}{\partial r} (r^2 A_r) + \frac{1}{r \sin \vartheta} \frac{\partial}{\partial \vartheta} (A_{\vartheta} \sin \vartheta) + \frac{1}{r \sin \vartheta} \frac{\partial A_{\varphi}}{\partial \varphi}$$

rot 
$$\vec{A}$$
 =  $\vec{e}_x \left( \frac{\partial A_z}{\partial y} - \frac{\partial A_y}{\partial z} \right) + \vec{e}_y \left( \frac{\partial A_x}{\partial z} - \frac{\partial A_z}{\partial x} \right) + \vec{e}_z \left( \frac{\partial A_y}{\partial x} - \frac{\partial A_x}{\partial y} \right)$ 

$$= \vec{e}_{R} \left( \frac{1}{R} \frac{\partial A_{z}}{\partial \phi} - \frac{\partial A_{\phi}}{\partial z} \right) + \\
+ \vec{e}_{\phi} \left( \frac{\partial A_{R}}{\partial z} - \frac{\partial A_{z}}{\partial R} \right) + \\
+ \vec{e}_{\phi} \left( \frac{\partial A_{R}}{\partial z} - \frac{\partial A_{z}}{\partial R} \right) + \\
+ \vec{e}_{z} \left( \frac{1}{R} \frac{\partial}{\partial R} (R A_{\phi}) - \frac{1}{R} \frac{\partial A_{R}}{\partial \phi} \right) \\
+ \vec{e}_{\phi} \frac{1}{r} \left[ \frac{\partial}{\partial r} (r A_{\theta}) - \frac{\partial A_{r}}{\partial \theta} \right]$$

$$\begin{split} &=\vec{e}_{R}\left(\frac{1}{R}\frac{\partial A_{z}}{\partial \phi}-\frac{\partial A_{\phi}}{\partial z}\right)+\\ &+\vec{e}_{\varphi}\left(\frac{\partial A_{R}}{\partial z}-\frac{\partial A_{z}}{\partial R}\right)+\\ &+\vec{e}_{\varphi}\left(\frac{\partial A_{R}}{\partial z}-\frac{\partial A_{z}}{\partial R}\right)+\\ &+\vec{e}_{z}\left(\frac{1}{R}\frac{\partial}{\partial R}\left(RA_{\varphi}\right)-\frac{1}{R}\frac{\partial A_{R}}{\partial \varphi}\right)\\ &+\vec{e}_{\varphi}\frac{1}{r}\left[\frac{1}{\sin\vartheta}\frac{\partial A_{r}}{\partial \varphi}-\frac{\partial}{\partial r}\left(rA_{\varphi}\right)\right]+\\ &+\vec{e}_{\varphi}\left(\frac{1}{R}\frac{\partial}{\partial R}\left(RA_{\varphi}\right)-\frac{1}{R}\frac{\partial A_{R}}{\partial \varphi}\right)\\ &+\vec{e}_{\varphi}\left(\frac{1}{R}\frac{\partial}{\partial R}\left(RA_{\varphi}\right)-\frac{1}{R}\frac{\partial}{\partial \varphi}\right)\\ &+\vec{e}_{\varphi}\left(\frac{1}{R}\frac{\partial}{\partial R}\left(RA_{\varphi}\right)-\frac$$

$$\Delta \psi = \frac{\partial^2 \psi}{\partial x^2} + \frac{\partial^2 \psi}{\partial y^2} + \frac{\partial^2 \psi}{\partial z^2}$$

$$= \frac{1}{R} \frac{\partial}{\partial R} \left( R \frac{\partial \psi}{\partial R} \right) + \frac{1}{R^2} \frac{\partial^2 \psi}{\partial \phi^2} + \frac{\partial^2 \psi}{\partial z^2} = \frac{1}{r^2} \frac{\partial}{\partial r} \left( r^2 \frac{\partial \psi}{\partial r} \right) + \frac{1}{r^2 \sin \theta} \frac{\partial}{\partial \theta} \left( \sin \theta \frac{\partial \psi}{\partial \theta} \right) + \frac{1}{r^2 \sin^2 \theta} \frac{\partial^2 \psi}{\partial \phi^2}$$

# 2 Elektromagnetische Felder

# 2.1 Materielle Grundlagen

Ladungen Q: geladene Teilchen im Vakuum

Leitungselektronen

freie Überschussladungen

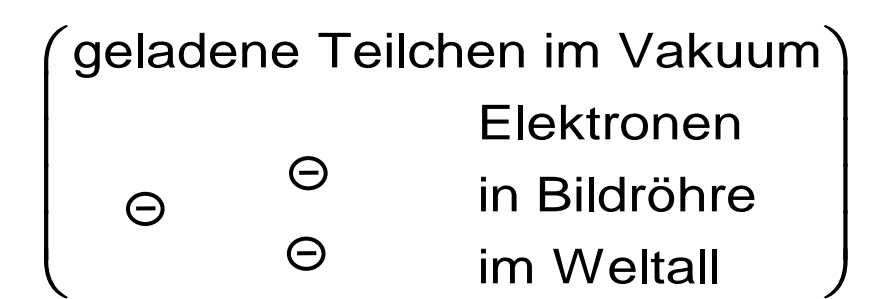
Influenzladungen

gebundene Ladungen  $Q_p$ : durch polarisierte oder polarisierbare

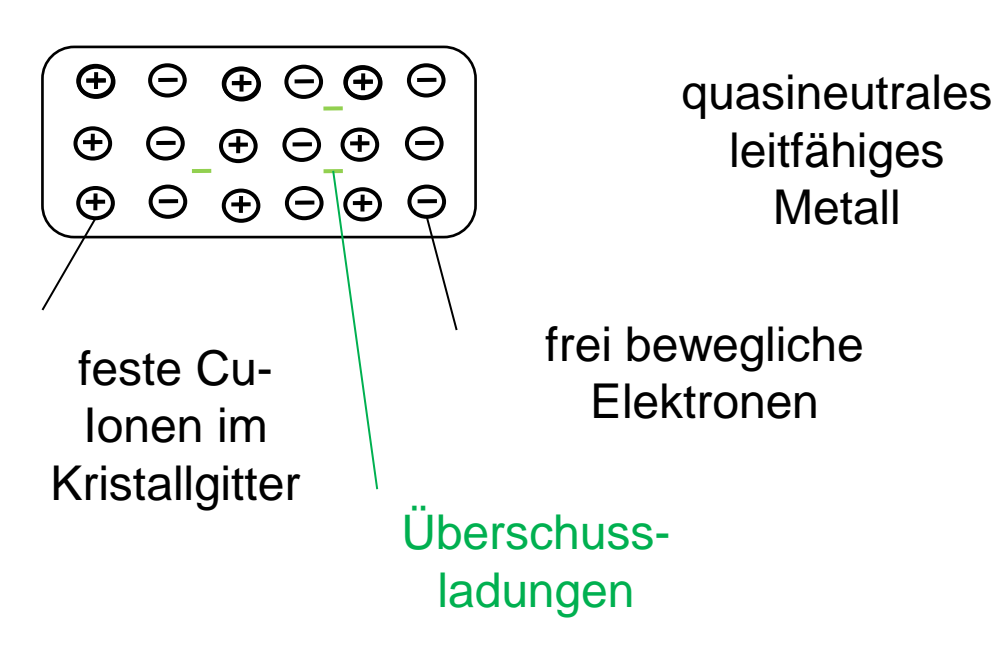
Teilchen entstandene Ladungen

freie Raumladungsdichte:

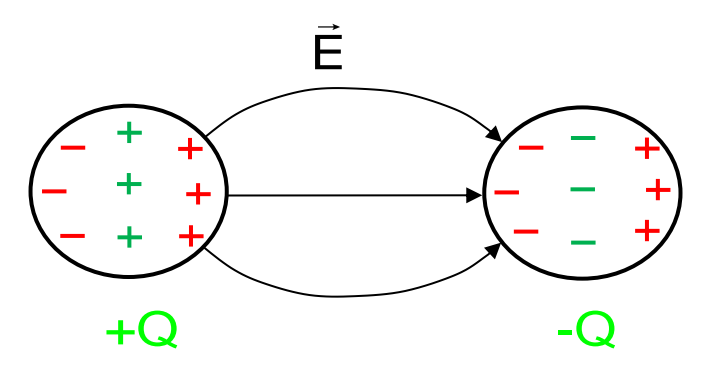
$$\rho = \frac{dQ}{dv}$$



#### Leitungselektronen



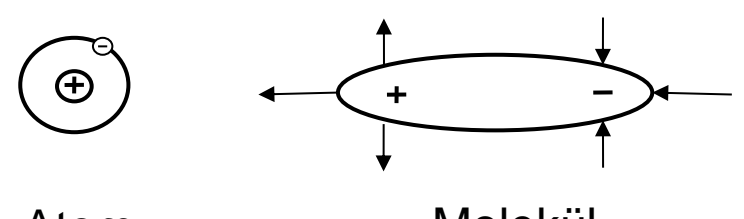
# Influenz - Ladungen



Überschussladungen



# gebundene Ladungen



Atom Molekül (neutral) unsymmm.Ladungs-verteilung (neutral)

#### **Ladungsdichten**

$$\rho = \frac{d^3Q}{dx dy dz} \left( \triangleq \frac{Q}{V} \right)$$

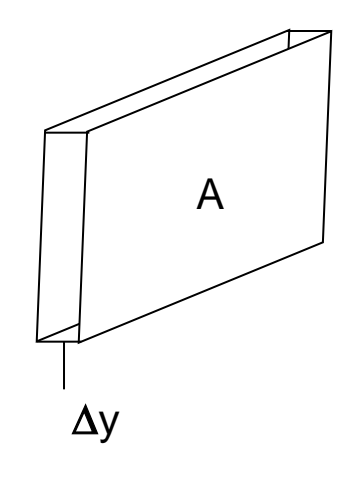
Raumladungsdichte

$$\sigma \stackrel{\text{Def}}{=} \rho \cdot dy = \frac{d^2Q}{dx dz} \left( \triangleq \frac{Q}{A} \right)$$

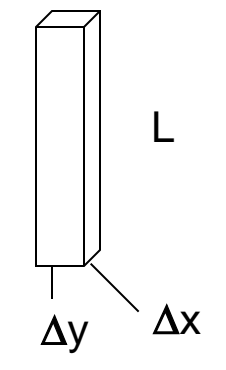
Flächenladungsdichte

$$\lambda = \sigma \cdot dx = \frac{dQ}{dz} = \begin{pmatrix} \triangle & Q \\ L \end{pmatrix}$$

Linienladungsdichte



$$\lim_{\Delta y \to 0} \rho \, \Delta y \, \to \, \sigma \neq 0$$

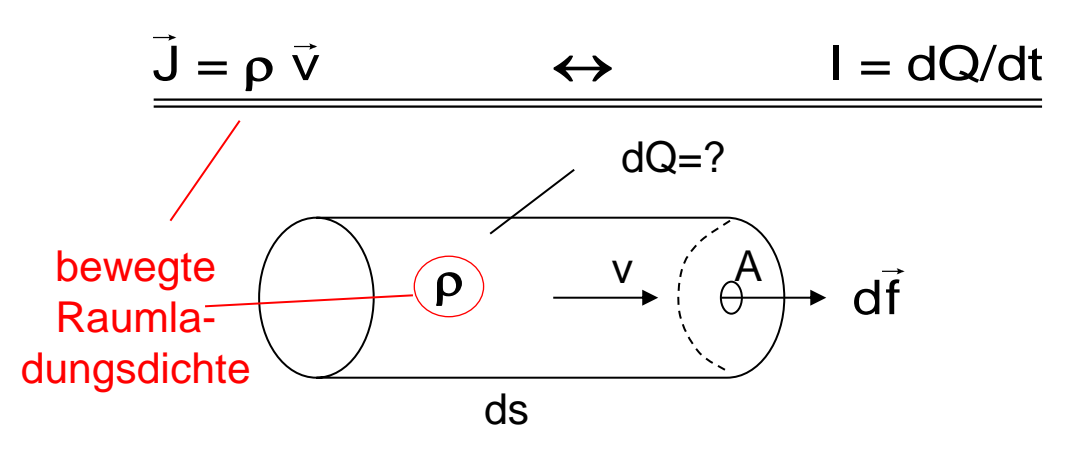


$$\lim_{\Delta x \to 0} \sigma \, \Delta x \quad \to \quad \lambda \neq 0$$

#### **Zusammenhang Stromdichte / Strom**



Strom von freien Ladungen dQ/dt durch Fläche A



$$\vec{J} = J \vec{e}_z = const.$$

$$d\vec{f} = df \cdot \vec{e}_z$$

$$\rightarrow I = \int_{A} \vec{J} \cdot d\vec{f}$$
$$= J \cdot A$$

$$\rightarrow$$
 dQ =  $\rho \cdot A \cdot ds$ 

$$= \rho \cdot A \cdot v \cdot dt$$

$$\frac{dQ}{dt} = \rho \cdot v \cdot A$$

$$\downarrow \qquad \downarrow$$

$$I = J \cdot A$$

Def. Länge ds:

$$ds = v \cdot dt$$

ds ist so lange gewählt, wie sich Ladungsträger der Geschwindigkeit v im Zeitintervall dt fortbewegen

Def.: Stromrichtung

- = Flussrichtung pos. Ladungsträger
- = Flussrichtung neg. Ladungsträger

# Stromdichte $\vec{J} = \rho \vec{v}$

neutral: 
$$\rho = \rho_{+} + \rho_{-} = 0$$

$$\rho_{-} = -\rho_{+}$$

$$\left(\text{geladen: } \rho = \rho_{+} + \rho_{-} + \rho_{\text{Zusatz}}\right)$$

$$= \rho_{\text{Zusatz}}$$

Stromdichte: 
$$\vec{J} = \rho \cdot \vec{v}$$
  

$$\rho = \rho_+ + \rho_- = 0$$

$$\vec{J} = \rho_- \cdot \vec{v}_- + \rho_+ \vec{v}_+ \quad \vec{v}_+ = 0 \,!$$

$$= \rho_- \cdot \vec{v}_-$$

# 2.2 Feldbeschreibung durch die Maxwellschen Gleichungen

# Wirkung ← Ursache

div 
$$\vec{E} = \frac{\rho}{\epsilon_0}$$
 elektrisches Quellenfeld, erzeugt durch alle  $\rho = \rho_+ + \rho_-$ 

rot 
$$\vec{E} = -\frac{\partial \vec{B}}{\partial t}$$
 elektrisches Wirbelfeld, erzeugt durch  $\frac{\partial \vec{B}}{\partial t}$ 

rot 
$$\vec{B} = \mu_0 \underbrace{\left(\rho_+ \vec{v}_+ + \rho_- \vec{v}_-\right)}_{\vec{J}} + \epsilon_0 \mu_0 \frac{\partial \vec{E}}{\partial t}$$
 magn. Wirbelfeld, erzeugt durch Ströme und  $\partial \vec{E} / \partial t$ 

div 
$$\vec{B} = 0$$
 Quellenfreiheit des magnetischen Feldes

$$\vec{F} = q(\vec{E} + \vec{v} \times \vec{B})$$
 Kraftgleichung, messbare Wirkung von  $\vec{E}$  und  $\vec{B}$  auf Ladungen

Physikalisch reale, messbare Größen sind: ρ, q, v, Ē, Ē, Ē.

Alle später neu dazukommenden Größen sind nur Abkürzungen per Definition für makroskpisch gemittelte Eigenschaften dieser ersteren fundamentalen Größen.

Berücksichtigung gemittelter, makroskopischer Materialeffekte:

$$\vec{D} = \varepsilon_0 \vec{E} + \vec{P}$$
 Polarisation durch Ladungsverschiebung in Festkörpern 
$$= \varepsilon_r \varepsilon_0 \vec{E} \quad \text{für } \vec{P} = \chi_{el} \varepsilon_0 \vec{E} \quad \text{mit } \varepsilon_r = (1 + \chi_{el})$$

$$\begin{array}{ll} \text{div } \left( \epsilon_0 \vec{E} + \vec{P} \right) = \rho_{\text{frei}} \\ \\ \text{rot } \vec{E} = -\frac{\partial \vec{B}}{\partial t} \\ \\ \text{rot } \vec{B} = \mu_r \mu_0 \vec{J}_{\text{frei}} + \mu_r \mu_0 \epsilon_r \epsilon_0 \frac{\partial \vec{E}}{\partial t} \\ \\ \text{div } \vec{B} = 0 \end{array} \qquad \qquad \begin{array}{l} \text{div } \vec{D} = \rho_{\text{frei}} \\ \\ \text{rot } \vec{E} = -\frac{\partial \vec{B}}{\partial t} \\ \\ \text{rot } \vec{H} = \vec{J}_{\text{frei}} + \frac{\partial \vec{D}}{\partial t} \\ \\ \text{div } \vec{B} = 0 \end{array}$$

# 3 Elektrostatik

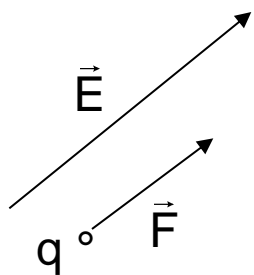
### 3.1 Feldstärke, Verschiebungsdichte, Materialgleichungen

elektrische Feldstärke E:

definiert über Kraft F auf Probeladung q:

Kraftgesetz: 
$$\vec{F} = q \vec{E}$$

$$\dim \vec{E} = \frac{N}{A \cdot s} = \frac{J}{A \cdot s \cdot m} = \frac{V \cdot A \cdot s}{A \cdot s \cdot m} = \frac{V}{m}$$



elektrische Feldstärke E:

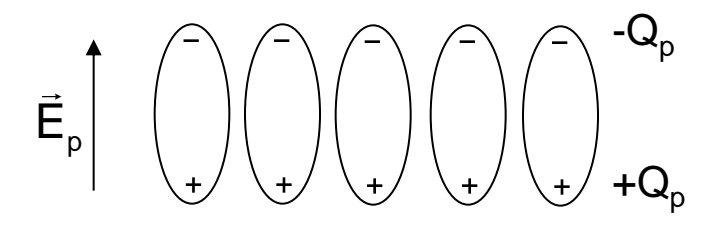
erzeugt durch alle Ladungen Q bzw. Raumladungsdichten  $\rho_{\text{des}}$  im Raum

$$| \vec{E} = \frac{\rho_{ges}}{\epsilon_0} |$$

$$|\text{div } \vec{\mathsf{E}} = \frac{\mathsf{p}_{\text{ges}}}{\mathsf{\epsilon}_0}| \qquad \mathsf{\epsilon}_0 = 8.85 \cdot 10^{-12} \ \frac{\mathsf{As}}{\mathsf{Vm}}$$

### Materialeffekte: elektrische Polarisation P:

makroskopisch gemittelt über mikroskopische Effekte

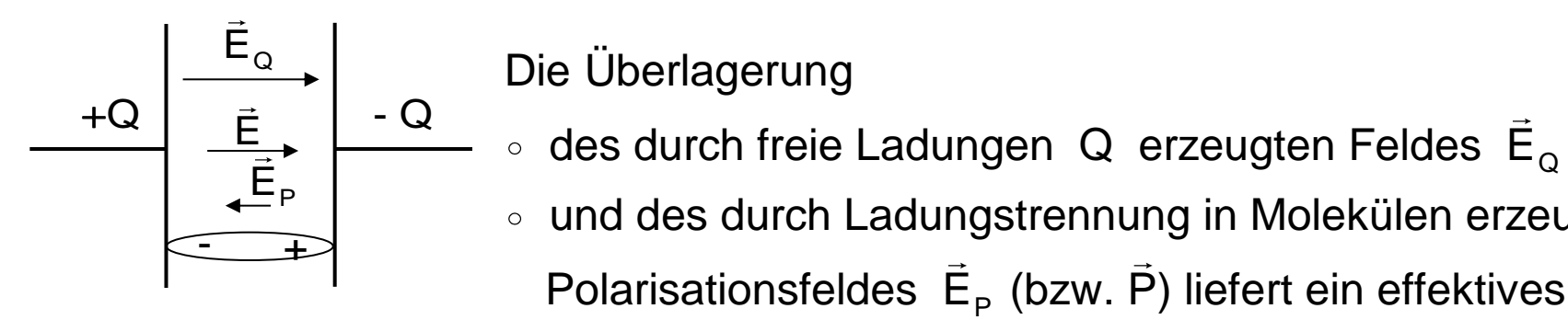


in Molekülen gebundene, separierte Ladungen, <u>quasineutral</u>

elektrisches Polarisationsfeld  $\vec{E}_p$ , hervorgerufen durch Ladungstrennung innerhalb der Moleküle

Definition der elektrischen Polarisation:

$$\vec{P} = -\epsilon_0 \vec{E}_p$$
 dim  $\vec{P} = \frac{A \cdot s \cdot m}{m^3} = \frac{A \cdot s}{m^2}$ 



Die Überlagerung

- und des durch Ladungstrennung in Molekülen erzeugten Polarisationsfeldes  $\vec{E}_{P}$  (bzw.  $\vec{P}$ ) liefert ein effektives Gesamtfeld  $\vec{E}$

$$\vec{E} = \vec{E}_Q + \vec{E}_P$$

Ersetzen von  $\vec{E}_P$  durch  $-\vec{P}/\epsilon_0$  und Multiplikation der Gl. mit  $\epsilon_n$  liefert

$$\varepsilon_0 \vec{E}_Q = \varepsilon_0 \vec{E} + \vec{P}$$

Mit der Definition der elektrischen Verschiebungsdichte D

$$\vec{D} = \epsilon_0 \vec{E}_Q$$

ergibt sich die bekannte Materialgleichung

$$\vec{D} = \varepsilon_0 \vec{E} + \vec{P} \qquad \text{dim } \vec{D} = \frac{A_s}{m^2}$$

### Materialgleichung:

$$\vec{E} = \vec{E}_0 + \vec{E}_P$$

wenn das Polarisationsfeld E<sub>P</sub> linear proportional zum elektrischen Gesamtfeld E ist:

 $\vec{E}_{P} = -\chi_{el} \; \vec{E} \; (Richtung \, entgegengesetzt \, zu \, \vec{E}) \; \; \; \chi_{el} \; : \; \; elektrische \, Suszeptibilität$ 

dann gilt:

$$\vec{E} = \vec{E}_{Q} - \chi_{el} \vec{E}$$

$$\rightarrow \vec{E}_{Q} = \underbrace{\left(1 + \chi_{el}\right)}_{\epsilon_{e}} \vec{E}$$

ε<sub>r</sub>: relative Dielektrizitätszahl des Materials

und es ergibt sich:

$$\vec{\mathsf{E}}_{\mathsf{Q}} = \boldsymbol{\varepsilon}_{\mathsf{r}} \; \vec{\mathsf{E}}$$

Mit der alten Definition für die Verschiebungsdichte D

$$\vec{D} = \boldsymbol{\varepsilon}_0 \vec{E}_Q$$

bekommen wir die bekannte Schreibweise

$$\vec{D} = \varepsilon_r \ \varepsilon_0 \ \vec{E}$$

$$\operatorname{div}\left(\boldsymbol{\varepsilon}_{0}\;\vec{\mathsf{E}}\right)=\boldsymbol{\rho}_{\mathrm{ges}}$$

Allgemein gültige Maxwell-Gleichung unter Berücksichtigung aller, d.h. der freien wie der in dielektrischen Molekülen gebundenen Ladungen.

$$\rightarrow \left[\operatorname{div}\left(\epsilon_{0} \ \vec{\mathsf{E}}_{\mathsf{Q}}\right) = \rho\right] \leftarrow$$

Es genügt also die Kenntnis der Verteilung der freien Ladungen zur Berechnung des el. Feldes

$$\rightarrow$$
 div  $(\epsilon_0 \vec{E}_P) = \rho_P$  Problem:  $\rho_P$  unbekannt

Aber im Fall linearer Materialgleichungen gilt:

$$\vec{D} = \varepsilon_r \ \varepsilon_0 \ \vec{E} \ \leftrightarrow \ \varepsilon_0 \ E_Q = \varepsilon_r \ \varepsilon_0 \ \vec{E} \ \rightarrow \ \vec{E} = \vec{E}_Q / \varepsilon_r$$

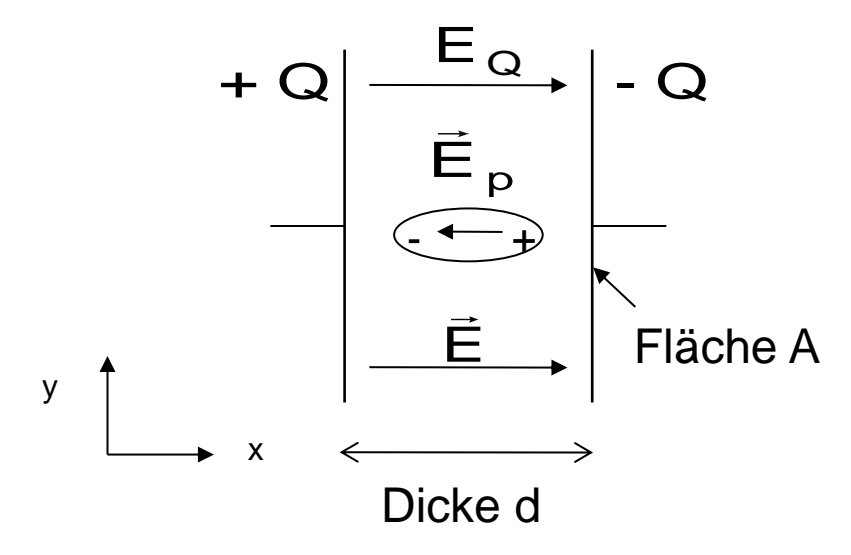
Traditionelle Schreibweise:

$$\overrightarrow{D} = \rho$$

$$\vec{\mathsf{E}} = \frac{\vec{\mathsf{D}}}{\varepsilon_{\mathsf{r}} \ \varepsilon_{\mathsf{0}}}$$

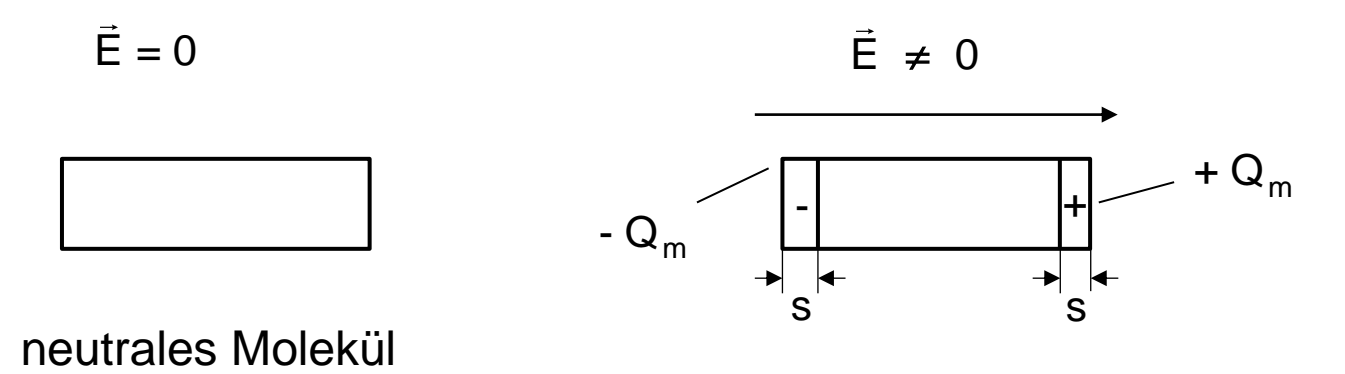
### Berechnung der relativen Dielektrizitätskonstanten

Im Inneren des Kondensators sind Moleküle mit polarisierbaren Elektronenorbitalen mit der Dichte von N Molekülen pro Volumeneinheit statistisch verteilt.



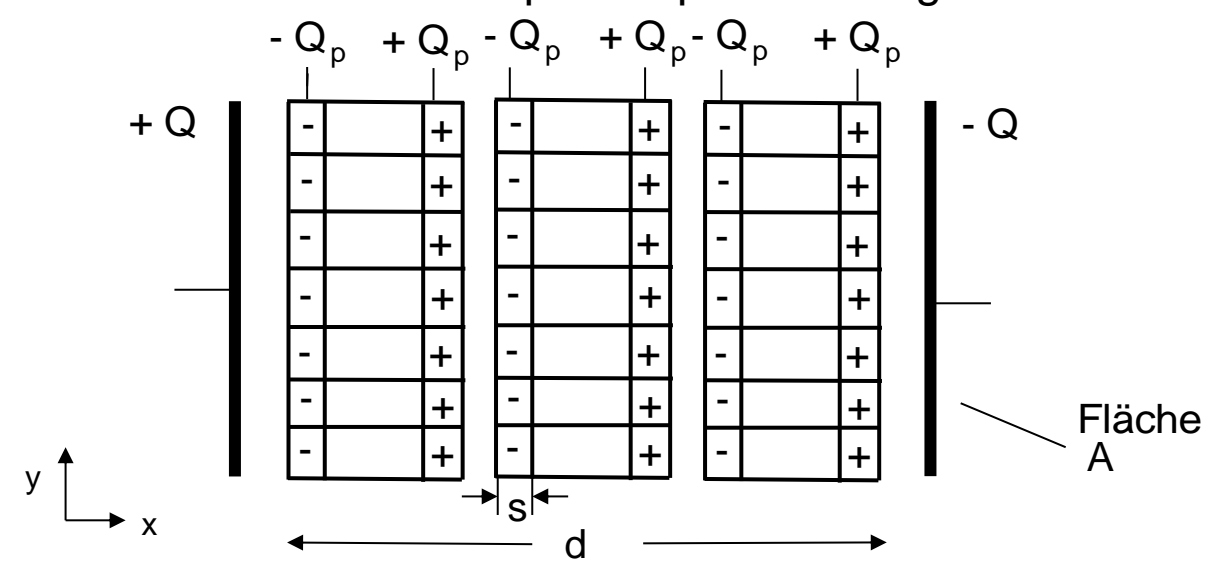
Jedes dieser Moleküle erzeugt einen kleinen Beitrag zum Gesamtpolarisationsfeld  $\vec{E}_P$  aller Moleküle.

Das elektrische Feld erzeugt in jedem der Moleküle eine kleine Ladungstrennung weg vom neutralen Gleichgewicht um die Distanz s.



Der Ladungsüberschuß am Molekül  $+Q_m$  und  $-Q_m$  ist gegeben durch die Raumladungsdichte der Elektronen  $\rho_-$ , die mittlere Querschnittsfläche des Moleküls  $A_m$  und die Länge s der Ladungstrennung  $-Q_m = \rho_- \cdot A_m \cdot s$ 

Zur einfacheren Berechnung des gemittelten Gesamtfeldes  $\vec{E}_p$  wird als Idealisierung angenommen, dass die Moleküle in zu den Kondensatorplatten parallel ausgerichteten Schichten angeordnet sind.



Die gesamte Polarisationsladung  $Q_p$  ist die Summe der molekularen Teilladungen  $Q_m$  über die gesamte Querschnittsfläche A

$$Q_p = \sum Q_m = \rho A s = N q_e A s$$

Das elektrische Polarisationsfeld  $\vec{E}_P$  ergibt sich aus der gemittelten Ladungstrennung + $Q_p$  und - $Q_p$  aller Elementarladungen  $q_e$  der Elektronen

$$\vec{E}_{P} = -\frac{1}{\varepsilon_{0}} \cdot \frac{Q_{p}}{A} \cdot \vec{e}_{x}$$

Die Auslenkung s der Ladungen ergibt sich aus dem Kräftegleichewicht des an  $q_e$  angreifenden  $\vec{E}$ -Feldes und der innermolekularen Rückstellkraft, welche in erster Näherung linear mit einer Rückstellkonstante r (analog der mech. Federkonstante) beschrieben werden kann

$$\vec{F} = q_e \vec{E} = r \vec{s} \rightarrow |\vec{s}| = \frac{q_e E}{r}$$

Damit ergibt sich für Ep

$$\vec{E}_{p} = -\frac{1}{\varepsilon_{0}} \frac{Q_{p}}{A} \vec{e}_{x} = -\frac{1}{\varepsilon_{0}} \frac{N q_{e} A s}{A} \vec{e}_{x} = -\frac{1}{\varepsilon_{0}} N q_{e} \frac{q_{e} \vec{E}}{r}$$

$$\rightarrow \vec{E}_p = -\frac{1}{\epsilon_0} \frac{N q_e^2}{r} \vec{E}$$

Das Gesamtfeld  $\vec{E}$  setzt sich also aus der Überlagerung des durch die Ladungen auf den Eektroden des Kondensators hervorgerufenen  $\vec{E}_Q$  sowie dem über alle Moleküle gemittelten  $\vec{E}_P$  zusammen

$$\vec{E} = \vec{E}_Q - \frac{N q_e^2}{\epsilon_0 r} \vec{E}$$

Daraus ergibt sich

$$\vec{E}_{Q} = \left(1 + \frac{N q_{e}^{2}}{\epsilon_{0} r}\right) \vec{E}$$

und schließlich mit der Definition von  $\vec{D} = \epsilon_0 \vec{E}_Q$ 

$$\vec{D} = \left(1 + \frac{N q_e^2}{\epsilon_0 r}\right) \epsilon_0 \vec{E} \rightarrow \boxed{\epsilon_r = \left(1 + \frac{N q_e^2}{\epsilon_0 r}\right)}$$

Die relative Dielektrizitätskonstante hängt also von der Dichte N der Moleküle sowie von deren Rückstellkonstante r ab.

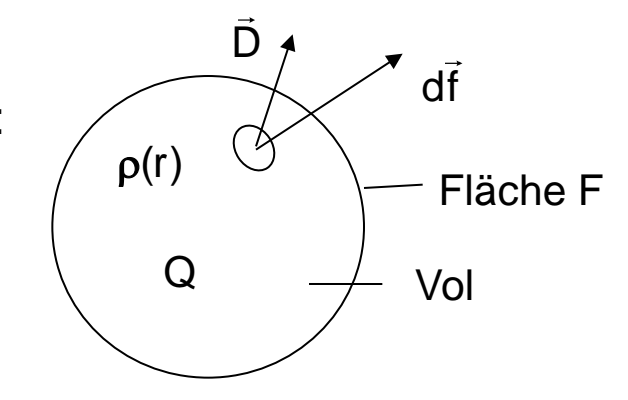
## 3.2 Satz von Hüllenfluss und Symmetrie

Erzeugung der elektrischen Verschiebungsdichte  $\vec{D}$  durch Raumladungsdichte  $\rho$ 

$$\frac{1}{\text{Maxwell}} \rightarrow \frac{\partial D_x}{\partial x} + \frac{\partial D_y}{\partial y} + \frac{\partial D_z}{\partial z} = \rho(x, y, z)$$

Berechnungsmethode von  $\vec{D}$  im Falle einfacher Symmetrien:

$$\int\limits_{\text{Vol}} \text{div } \vec{D} \cdot \text{dv} = \int\limits_{\text{Vol}} \rho \text{ dv}$$
 mathematisch äquivalente Darstellung



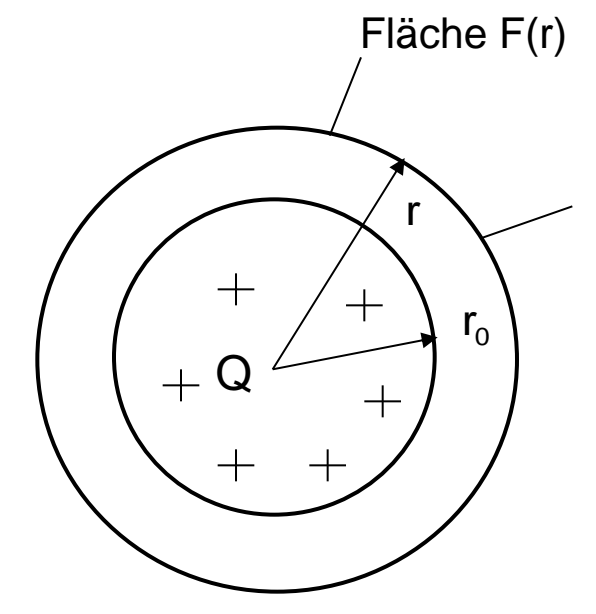
- 1) Wahl eines geeigneten Koordinatensystems
- 2) Wahl einer geschlossenen Integrationsfläche

Gesamtladung Q im Volumen "Vol"

### Kugelsymmetrische Ladungsverteilung: Kugelkoordinaten

Symmetrie von Kugel und Ladungsverteilung

 $\rightarrow$  D = D<sub>r</sub>(r) $\vec{e}_r$  konstant auf Hüllfäche



Volumen Vol(r)

$$\rho_0 = \frac{\mathbf{Q} \cdot \mathbf{3}}{4\pi \ \mathbf{r}_0^3}$$

Gesamtladung Q innerhalb Kugel mit Radius

Kugelsymmetrie:

$$\rho(r, \theta, \phi) = \rho(r) =$$

$$\rho(r, \vartheta, \varphi) = \rho(r) = \begin{cases} \rho_0 & r \leq r_0 \\ 0 & r > r_0 \end{cases}$$

Außenfeld für r>r<sub>0</sub>

$$\oint_{F(r)} \vec{D} \cdot d\vec{f} = \int_{Vol(r)} \rho \ dV \rightarrow D_r \cdot 4\pi \ r^2 = Q$$

$$\boxed{D_r = \frac{Q}{4\pi \ r^2} \quad D_\vartheta = 0 \quad D_\varphi = 0}$$

$$\vec{E} = \frac{\vec{D}}{\varepsilon_r \varepsilon_0} \rightarrow \boxed{E_r = \frac{Q}{4\pi \ \varepsilon_r \varepsilon_0 \ r^2}}$$

$$\vec{F}_{q} = q \cdot \vec{E} \rightarrow F_{qr} = \frac{qQ}{4\pi \ \epsilon_{r} \epsilon_{0} \ r^{2}}$$

Folgerung der Kraftgleichung aus den Maxwell - Gleichungen

### Feld innerhalb der Kugel

$$\rho(r) = \rho_0 = const \qquad r < r_0$$

$$\oint_{F(r)} \vec{D} \cdot d\vec{f} = \int_{Vol(r)} \rho \ dV$$

$$D_r \vec{e}_r \cdot \int_0^{2\pi} \int_0^{\pi} \vec{e}_r r^2 \underbrace{\sin \vartheta d\vartheta d\varphi}_{4\pi} = \rho_0 \int_0^r \int_0^{2\pi} \int_0^{\pi} r^2 \underbrace{\sin \vartheta d\vartheta d\varphi}_{4\pi} dr$$

$$D_{r} \cdot \underbrace{\left(4\pi \ r^{2}\right)}_{\text{Kugelfläche}} = \rho_{0} \cdot \underbrace{\left(\frac{4}{3} \pi \ r^{3}\right)}_{\text{Kugelvolumen}}$$

$$D_{r}(r) = \frac{\rho_{0}}{3} r$$

### Feld außerhalb der Kugel

$$\int_{\text{Vol}} \rho(r) \, dv$$

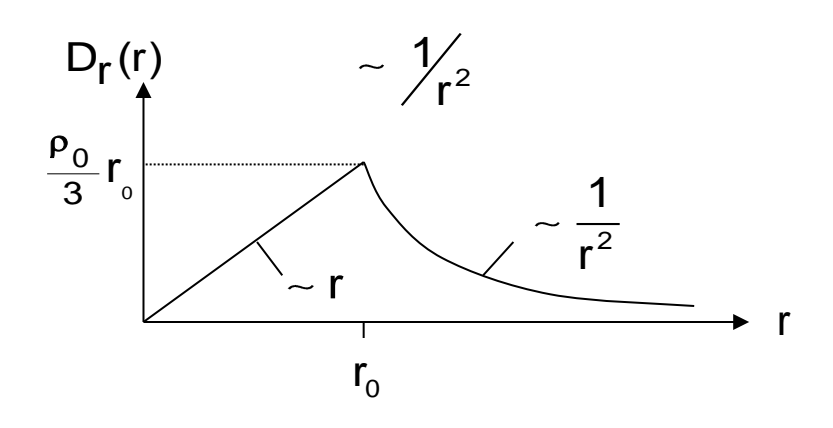
$$= \int_{\text{Vol}(r_0)} \rho(r) \, dv + \int_{\text{Vol}(r-r_0)} \rho(r) \, dv$$

$$= \rho_0 \int_{\text{Vol}(r_0)} dv + 0 \int_{\text{Vol}(r-r_0)} dv$$

$$= \rho_0 \frac{4\pi}{3} r_0^3$$

$$= Q$$

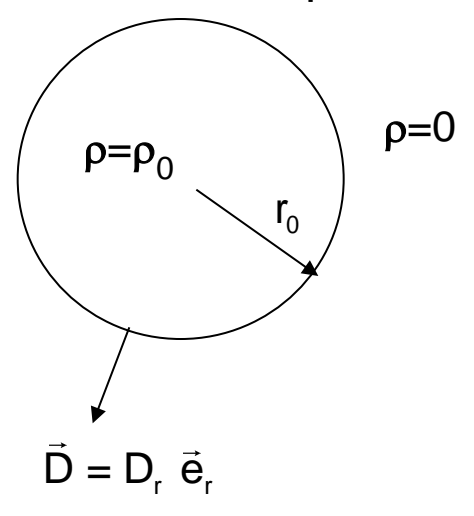
$$D_r(r) = \frac{\rho_0}{3} \frac{r_0^3}{r^2}$$



# Umkehrung: Berechnung von $\rho(r)$ aus gegebenem $D_r(r)$

$$\frac{\vec{D} = D_r \ \vec{e}_r}{= \frac{\rho_0}{3} \cdot r \ \vec{e}_r} \qquad \text{innen}$$

nur r - Komponente



div 
$$\vec{D} = \frac{1}{r^2} \cdot \frac{\partial}{\partial r} (r^2 \cdot D_r)$$
 Bive koor
$$= \frac{1}{r^2} \cdot \frac{\partial}{\partial r} (r^2 \cdot \frac{\rho_0}{3} \cdot r)$$

$$= \frac{1}{r^2} \cdot \frac{\rho_0}{3} \cdot \frac{\partial r^3}{\partial r}$$

$$= \frac{1}{r^2} \cdot \frac{\rho_0}{3} \cdot 3 \cdot r^2$$

Divergenz in Kugelkoordinaten

$$r^2$$
 3
$$= \rho_0 \qquad \rightarrow \quad \boxed{\text{div } \vec{D} = \rho}$$

$$\frac{\vec{D} = D_r \vec{e}_r}{= \frac{Q}{4\pi r^2} \vec{e}_r}$$

außen 
$$r > r_0$$

$$\operatorname{div} \vec{D} = \frac{1}{r^2} \cdot \frac{\partial}{\partial r} \left( r^2 \cdot \frac{Q}{4\pi r^2} \right)$$

$$= 0 \qquad \qquad \to \qquad \operatorname{div} \vec{D} = 0$$

(qed)

# $\vec{\mathsf{E}}_1$ $\vec{\mathsf{E}}_2$ $\boldsymbol{\mathsf{e}}_1$

# 3.3 Übergänge an Grenzflächen

Berechnung der Tangentialkomponenten:

rot 
$$\vec{E} = -\frac{\partial \vec{B}}{\partial t}$$
  $\rightarrow \int_{F} \text{rot } \vec{E} \cdot d\vec{f} = \oint_{S} \vec{E} \cdot d\vec{s} = -\frac{d}{dt} \int_{F} \vec{B} \cdot d\vec{f}$ 

"Maxwell"

Isolatoren opt. Linsen

Grenzübergang  $\Delta h \rightarrow 0$   $\oint \vec{E} \cdot d\vec{s} = \vec{E}_1 \cdot d\vec{s}_1 + \vec{E}_2 \cdot d\vec{s}_2 = -\frac{d}{dt} \int_{\Delta h \rightarrow 0} \vec{B} \cdot d\vec{f} = 0$ 

Aufteilung in Tangential- und Normalkomponenten:

$$\vec{E}_{i} = E_{ti}\vec{e}_{t} + E_{ni}\vec{e}_{n} \quad i = 1,2$$

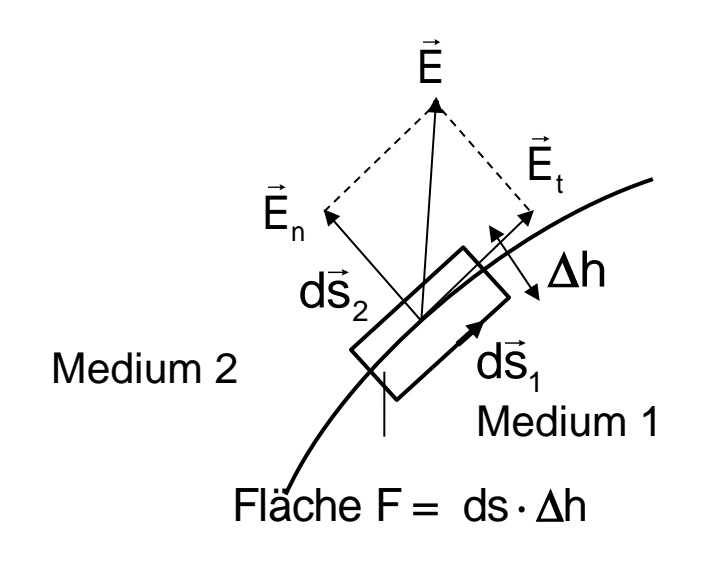
$$d\vec{s}_{1} = ds \cdot \vec{e}_{t} \quad \text{Wegelemente } d\vec{s}_{i} :$$

$$d\vec{s}_{2} = ds \cdot (-\vec{e}_{t})$$

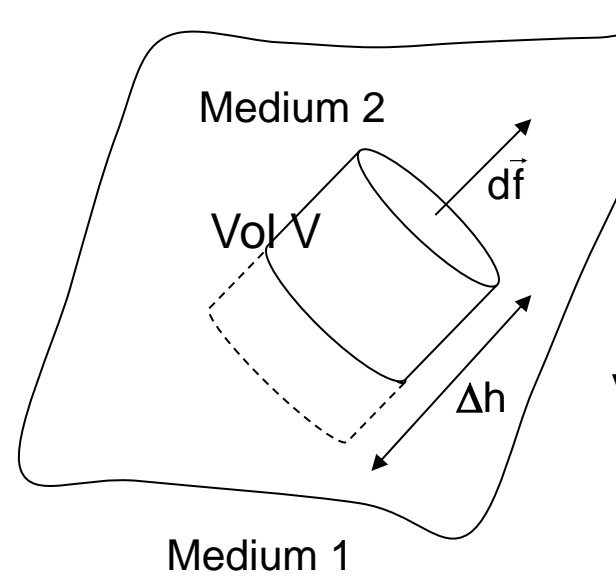
$$\vec{E}_{1} \cdot d\vec{s}_{1} = (E_{t1}\vec{e}_{t} + E_{n1}\vec{e}_{n}) \cdot ds \ \vec{e}_{t} = E_{t1} \ ds$$

$$\vec{E}_{2} \cdot d\vec{s}_{2} = -E_{t2} \cdot ds$$

$$\vec{E}_{t1} \cdot ds - E_{t2} \cdot ds = 0 \quad \vec{E}_{t1} = E_{t2}$$



Die Tangentialkomponente der elektrischen Feldstärke ist an Grenzflächen stetig.



Berechnung der Normalkomponenten:

"Maxwell" div 
$$\vec{D} = \rho$$
  $\rightarrow \int div \ \vec{D} \ dv = \oint \vec{D} \cdot d\vec{f} = \int \rho \ dv$ 

Volumen  $V = df \cdot \Delta h$  wird durch Grenzfläche durchdrungen Boden- und Deckelflächen df senkrecht auf Grenzfläche Höhe  $\Delta h$  mit Grenzübergang  $\Delta h \rightarrow 0$ 

Aufteilung in Tangential- und Normalkomponenten:

$$\vec{D}_i = D_{ti}\vec{e}_t + D_{ni}\vec{e}_n \qquad i = 1,2$$

Oberflächenelemente df:

oben: 
$$d\vec{f} = df \cdot \vec{e}_n$$

unten: 
$$d\vec{f} = df(-\vec{e}_n)$$

Rand: 
$$\Delta h \rightarrow 0 \rightarrow F_{Rand} = 0$$

$$\oint \vec{D} \cdot d\vec{f} = D_{n2}df - D_{n1}df + 0 = \int_{Vol} \rho \Delta h df = \int \sigma \cdot df$$

$$\rightarrow D_{n2} - D_{n1} = \sigma$$

freie Oberflächenladungsdichte

Die Normalkomponente der el. Verschiebungsdichte macht an der Grenzfläche einen Sprung gleich der freien Grenzflächenladungsdichte. Sie ist stetig, wenn  $\sigma = 0$ .

Vorausgesetzt 
$$\vec{D} = \boldsymbol{\varepsilon}_r \cdot \boldsymbol{\varepsilon}_0 \cdot \vec{E}$$

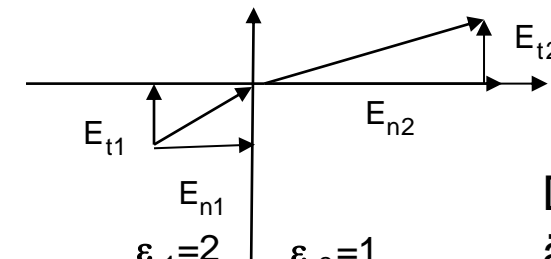
$$D_{n2} = D_{n1} + \sigma$$

$$\varepsilon_0 \ \varepsilon_{r2} \ \varepsilon_{n2} = \varepsilon_0 \ \varepsilon_{r1} \ \varepsilon_{n1} + \sigma$$

$$\mathsf{E}_{\mathsf{n2}} = \frac{\sigma/\epsilon_{\mathsf{0}}}{\epsilon_{\mathsf{r2}}} + \frac{\epsilon_{\mathsf{r1}}}{\epsilon_{\mathsf{r2}}} \; \mathsf{E}_{\mathsf{n1}}$$

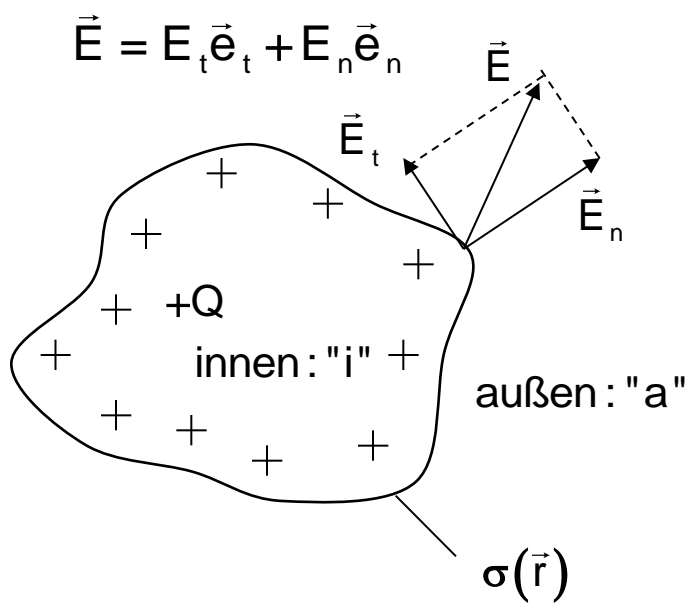
$$\mathsf{E}_{\mathsf{t}2} = \mathsf{E}_{\mathsf{t}1}$$

wenn  $\sigma = 0$  folgt:  $E_{n2} = \frac{\varepsilon_{r1}}{\varepsilon_{r2}} E_{n1}$ 



Die Richtung von E und dessen Feldstärke ändern sich an Sprüngen der Dielektrizitätskonstanten

### Felder an Leiteroberflächen



"Ortsabhängige Flächenladungsdichte"

$$\vec{E}_i = 0$$
  
da  $\vec{J} = \kappa \vec{E}_i$  und  $\vec{J} = 0$ 

"Stetigkeit der Tangentialkomponenten"

$$E_{ti} = E_{ta}$$

$$\vec{E}_{i} = 0 \rightarrow E_{ti} = 0$$

$$\rightarrow E_{ta} = 0$$

"Stetigkeit der Normalkomponenten"

$$D_{na} - D_{ni} = \sigma$$

$$\varepsilon_{ra} \varepsilon_{0} E_{na} - \varepsilon_{ri} \varepsilon_{0} E_{ni} = \sigma$$

$$\mathbf{E}_{na} = \frac{\mathbf{\sigma}}{\mathbf{\varepsilon}_{ra} \, \mathbf{\varepsilon}_{0}}$$

$$\rightarrow \vec{\mathbf{E}}_{a} = \frac{\mathbf{\sigma}}{\mathbf{\varepsilon}_{ra} \, \mathbf{\varepsilon}_{0}} \, \vec{\mathbf{e}}_{n}$$

<u>Außenfeld</u> steht immer <u>senkrecht</u> <u>auf Metalloberfläche!!</u>

## 3.4 Potentialfunktion

Def. 
$$\vec{E} = - \operatorname{grad} \Phi$$

Definition der Potentialfunktion; Dimension ist "Volt"

$$E_x = -\frac{\partial \Phi}{\partial x}$$
 Das mathematische Skalarfeld  $\Phi(\vec{r})$ , auch Potentialfunktion genannt, beschreibt vollständig das reale physikalische elektrische Feld  $\vec{E}$ . Das Potential  $\Phi$  selbst bewirkt keine meßbaren Kräfte;  $E_z = -\frac{\partial \Phi}{\partial z}$  es ist nicht eindeutig bestimmt.

Der Nullpunkt (Erdung) ist wählbar durch eine beliebige Konstante C, ohne das durch das Potential beschriebene elektrische Feld zu verändern.

$$\vec{E}_{1} = -\operatorname{grad} \Phi_{0} (\vec{r})$$

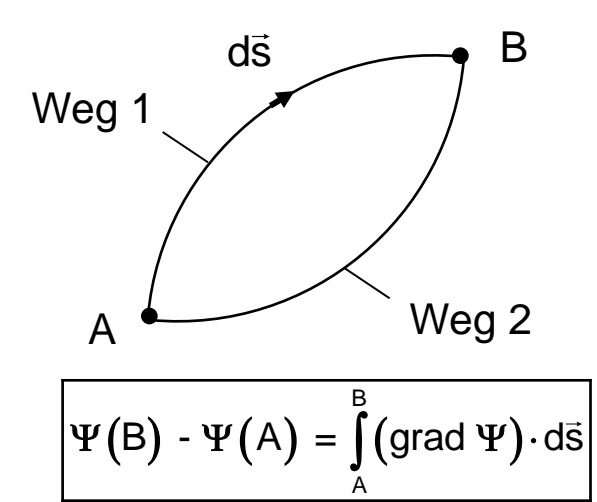
$$\vec{E}_{2} = -\operatorname{grad} (\Phi_{0}(\vec{r}) + C) \rightarrow \vec{E}_{1} = \vec{E}_{2}$$

$$= -\operatorname{grad} \Phi_{0} (\vec{r}) - \operatorname{grad} C$$

Die Einführung der mathematischen Hilfsgröße des Potentials erlaubt eine einfache Berechnung des Wegintegrals  $\int\limits_{\vec{t}}^{\vec{t}_2} \vec{E} \cdot d\vec{s}$ 

Integralsatz der Mathematik:

Das Wegintegral über den Gradienten eines Skalarfeldes vom Punkt A zum Punkt B ist gleich der Differenz der Werte der Potentialfunktion an den Punkten B und A unabhängig vom integrierten Weg zwischen den Punkten.



### Damit wird

$$-\int_{\vec{r}_1}^{\vec{r}_2} \vec{E} \cdot d\vec{s} = +\int_{\vec{r}_1}^{\vec{r}_2} \operatorname{grad} \Phi \cdot d\vec{s} = \Phi(\vec{r}_2) - \Phi(\vec{r}_1)$$

$$-\int_{\vec{r}_1}^{\vec{r}_2} \vec{E} \cdot d\vec{s} = \Phi(\vec{r}_2) - \Phi(\vec{r}_1)$$

wichtig ist nur die Potentialdifferenz an den Orten 1 und 2, nicht der Verlauf der Potentialfunktion zwischen ihnen; "wegunabhängig"

$$\vec{E}(\vec{r}) = - \text{ grad } \Phi(\vec{r})$$

### Differentielle Darstellung

$$-\int_{\vec{r}_1}^{\vec{r}_2} \vec{E} \cdot d\vec{s} = +\int_{\vec{r}_1}^{\vec{r}_2} \operatorname{grad} \Phi \cdot d\vec{s}$$

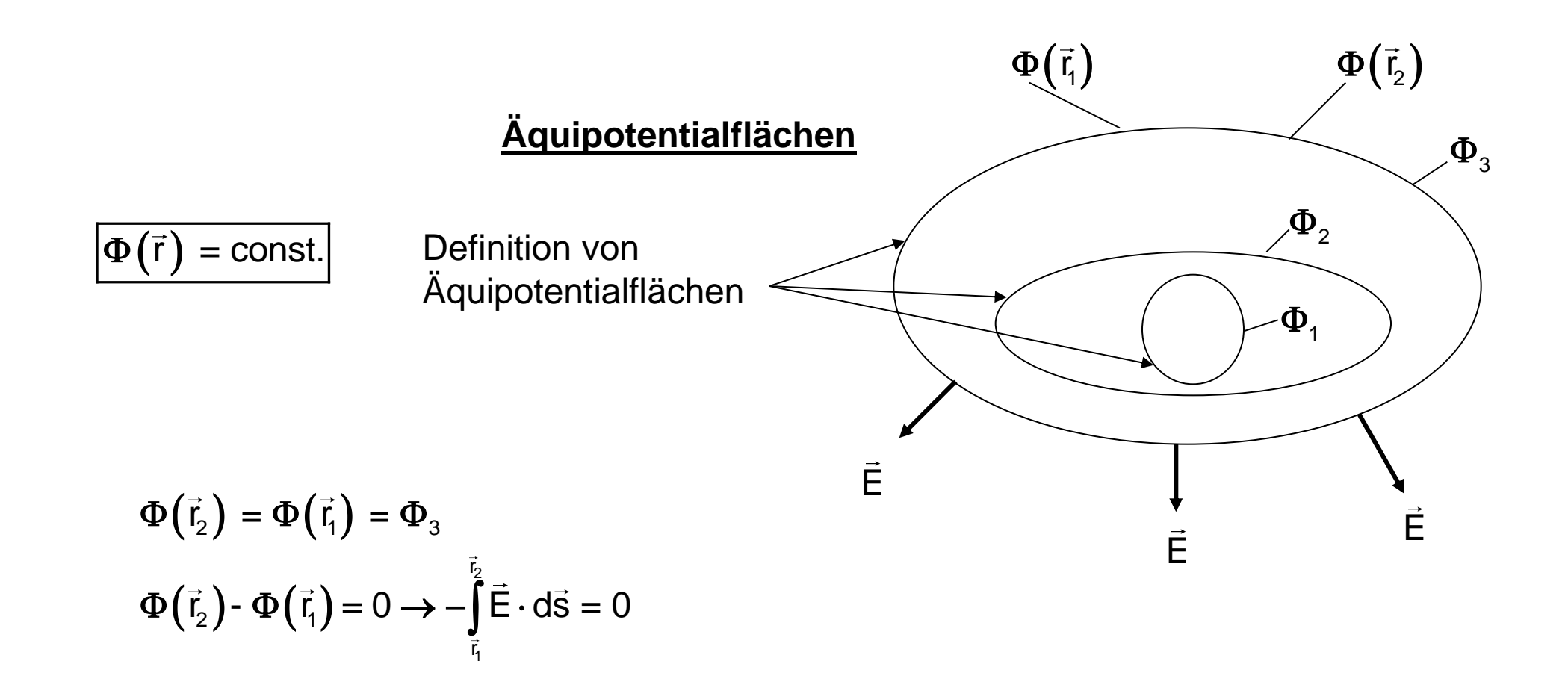
$$= \int_{\vec{r}_1}^{\vec{r}_2} \left( \frac{\partial \Phi}{\partial x} \ \vec{e}_x + \frac{\partial \Phi}{\partial y} \ \vec{e}_y + \frac{\partial \Phi}{\partial z} \ \vec{e}_z \right) \cdot d\vec{s}$$
es war  $d\vec{s} = dx \ \vec{e}_x + dy \ \vec{e}_y + dz \ \vec{e}_z$ 

$$= \int_{\vec{r}_1}^{\vec{r}_2} \left( \frac{\partial \Phi}{\partial x} \ dx + \frac{\partial \Phi}{\partial y} \ dy + \frac{\partial \Phi}{\partial z} \ dz \right)$$

$$= \int_{\vec{r}_1}^{\vec{r}_2} d\Phi = \Phi \left( \vec{r}_2 \right) - \Phi \left( \vec{r}_1 \right)$$

$$-\int_{\vec{t}_1}^{\vec{t}_2} \vec{E} \cdot d\vec{s} = \Phi(\vec{r}_2) - \Phi(\vec{r}_1)$$

Integrale Darstellung



Äquipotentialflächen stehen senkrecht auf den Feldvektoren des elektrischen Feldes

 $\Rightarrow$  d $\vec{s} \perp \vec{E}$ 

### **Arbeit im elektrischen Feld**

### Aufgabe:

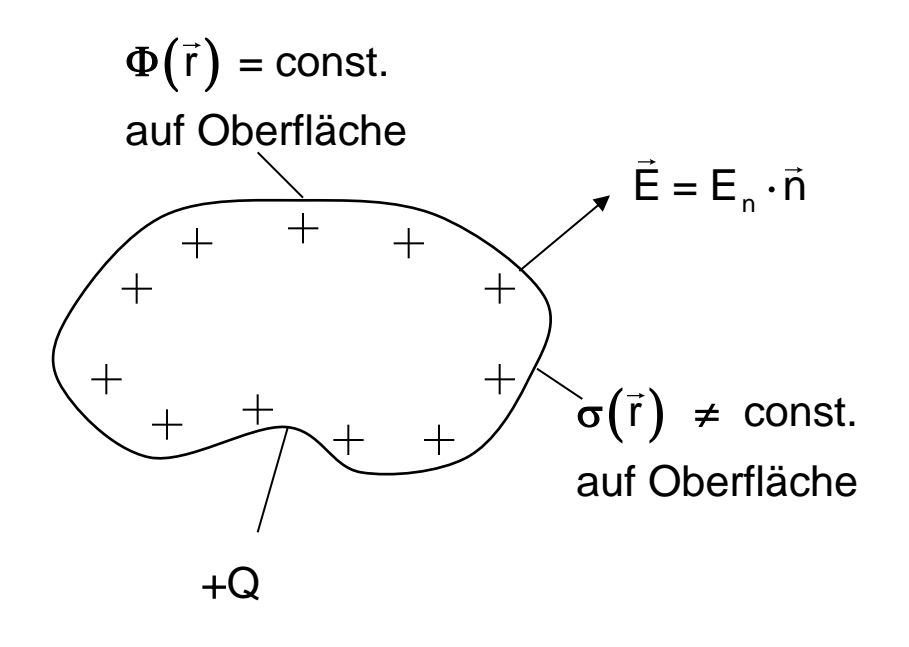
welche Energie ist nötig, eine Probeladung Q' vom Ort 1 zum Ort 2 zu bewegen?

$$\vec{F} = Q' \cdot \vec{E} \qquad \rightarrow \boxed{\Delta W_e = \int\limits_{r_1}^{r_2} \vec{F} \ d\vec{s} = Q' \int\limits_{r_1}^{r_2} \vec{E} \ d\vec{s} = Q' \left( \Phi(\vec{r}_1) - \Phi(\vec{r}_2) \right)}$$

 $\Delta W_e$  hängt nur von  $\vec{r}_1$  und  $\vec{r}_2$  ab, nicht aber von der Wahl des Weges dazwischen. Es wird keine Energie auf Wegen entlang von Äquipotentialflächen verbraucht.

 $\Rightarrow$  Q'  $\cdot$   $\Phi$  ( $\vec{r}$ ) nennt man die potentelle Energie einer Ladung Q' am Ort  $\vec{r}$ 

### Potentiale an Leiteroberflächen



An Oberfläche gilt:

 $\vec{E}_t = 0$  es gibt keine Tangentialkomponenten

$$\rightarrow \Phi = \text{const.}$$

Oberfläche ist Äquipotentialfläche

$$\rightarrow \vec{E} = E_n \vec{n}$$

Feld steht senkrecht auf Oberfläche

## 3.4.1 Eine Punktladung bei $\vec{r} = 0$

Berechnung von  $\Phi(\vec{r})$  aus bekanntem  $\vec{E}(\vec{r})$ :

$$\begin{split} \Phi(r) - \Phi(\infty) &= -\int_{\infty}^{r} \vec{E} \cdot d\vec{s} = -\int_{\infty}^{r} (E_{r} \vec{e}_{r}) \cdot (dr \ \vec{e}_{r}) = -\int_{\infty}^{r} \frac{Q}{4\pi\epsilon_{r}\epsilon_{0}} r^{\frac{2}{2}} \ dr' \\ &= -\frac{Q}{4\pi\epsilon_{r}\epsilon_{0}} \cdot \left[ -1 \cdot \frac{1}{r'} \right]_{\infty}^{r} \\ &= \frac{Q}{4\pi\epsilon_{r}\epsilon_{0}} \cdot \frac{1}{r} \end{split}$$

willkürliche, aber praktische Festlegung:

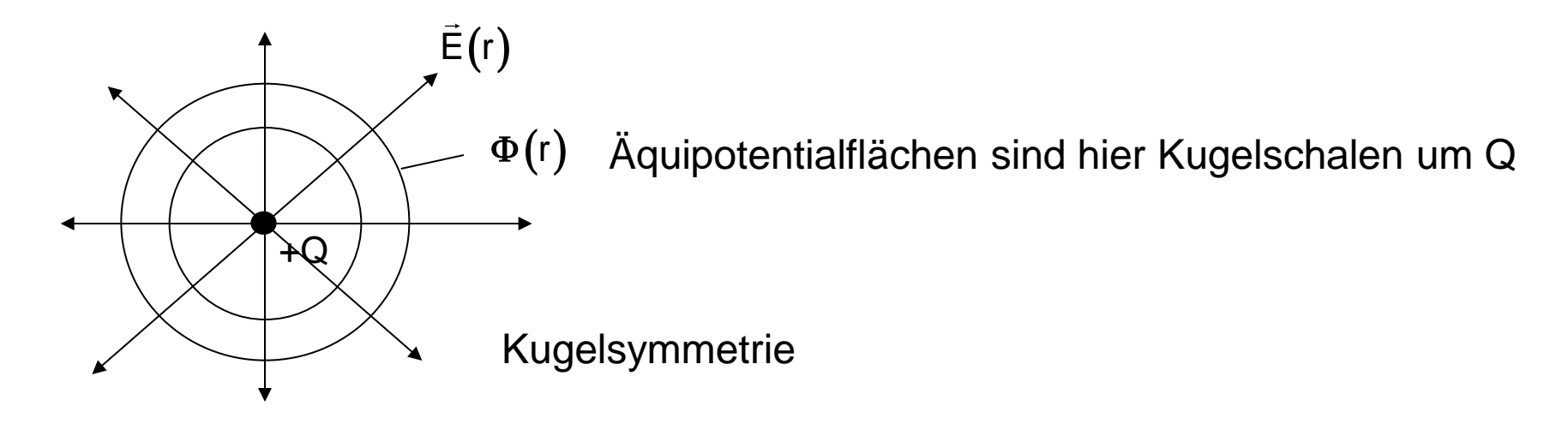
$$\Phi(\infty)=0$$

$$\rightarrow \Phi(r) = \frac{Q}{4\pi\epsilon_r \epsilon_0} \cdot \frac{1}{r}$$

 $Q' \cdot \Phi(r)$ : potentielle Energie einer Probeladung Q' im Feld der erzeugenden Ladung Q (Arbeit, an den Ort r aus dem Unendlichen zu kommen)

Coulombpotential einer Punktladung

# Umkehrung: Berechnung von $\vec{E}(\vec{r})$ aus bekanntem $\Phi(\vec{r})$ :



$$\Phi(r, \vartheta, \varphi) = \Phi(r) = \frac{Q}{4\pi\epsilon_r \epsilon_0} \frac{1}{r}$$
 Kugel-koordinaten

$$\begin{split} \vec{E} &= - \operatorname{grad} \Phi \\ &= - \vec{e}_{r} \frac{\partial \Phi(r)}{\partial r} - \vec{e}_{\vartheta} \frac{1}{r} \frac{\partial \Phi(r)}{\partial \vartheta} - \vec{e}_{\varphi} \frac{1}{r \sin \vartheta} \frac{\partial \Phi(r)}{\partial \varphi} \\ &= + \frac{Q}{4\pi \epsilon_{r} \epsilon_{0}} \frac{1}{r^{2}} \vec{e}_{r} \end{split}$$

Welche Energie ist nötig, die Probeladung Q' von  $\vec{r}_1$  nach  $\vec{r}_2$  bei einer Punktladung zu bringen?

$$\vec{F} = Q' \cdot \vec{E} \rightarrow \Delta W = \int_{\vec{r}_1}^{\vec{r}_2} \vec{F} \cdot d\vec{s} = Q' \int_{\vec{r}_1}^{\vec{r}_2} \vec{E} \cdot d\vec{s}$$

$$\Delta W = Q' \cdot (\Phi(\vec{r}_1) - \Phi(\vec{r}_2))$$

Potentialdifferenz

es genügt die Kenntnis nur von  $\Phi(\vec{r}_1)$  und  $\Phi(\vec{r}_2)$ 

Beweis:

$$\int_{\vec{r}_1}^{\vec{r}_2} \left( E_r(r) \ \vec{e}_r \right) \cdot d\vec{s}$$

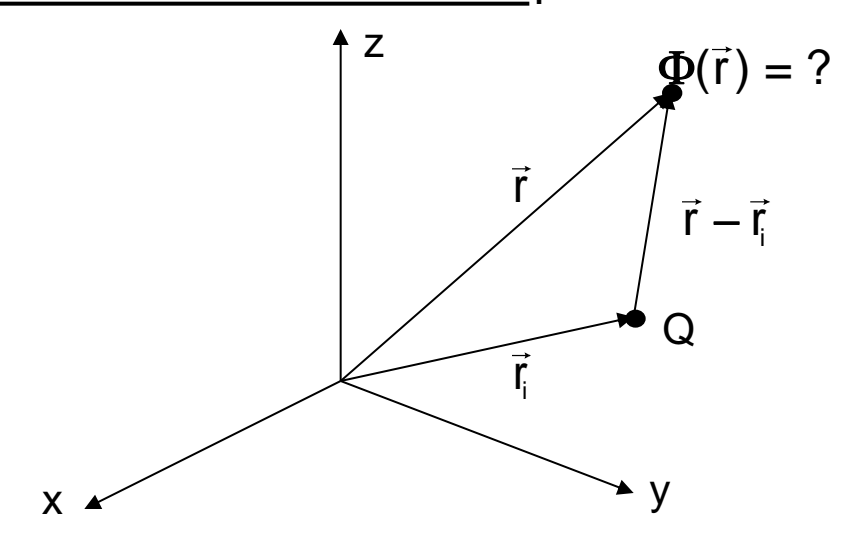
$$= \int_{\vec{r}_1}^{\vec{r}_2} \left( E_r(r) \ \vec{e}_r \right) \cdot \left( \vec{e}_r \ dr + \ \vec{e}_{\vartheta} \ r \ d\vartheta + \ \vec{e}_{\vartheta} \ r \ sin \ \vartheta \ d\varphi \right)$$

$$= \frac{Q}{4\pi\epsilon_r \epsilon_0} \int_{\vec{r}_1}^{\vec{r}_2} \frac{1}{r^2} \ dr = \frac{Q}{4\pi\epsilon_r \epsilon_0} \left( \frac{1}{r_1} - \frac{1}{r_2} \right)$$
Kugelkoordinaten
$$= \Phi(r_1) - \Phi(r_2)$$

### 3.4.2 Viele Punktladungen

### Potentialfunktion einer verschobenen Punktladung bei $\vec{r}_i$

$$\Phi(\vec{r}) = \frac{Q}{4\pi\epsilon_r \epsilon_0} \frac{1}{|\vec{r} - \vec{r}_i|}$$



### Potentialfunktion von N Punktladungen

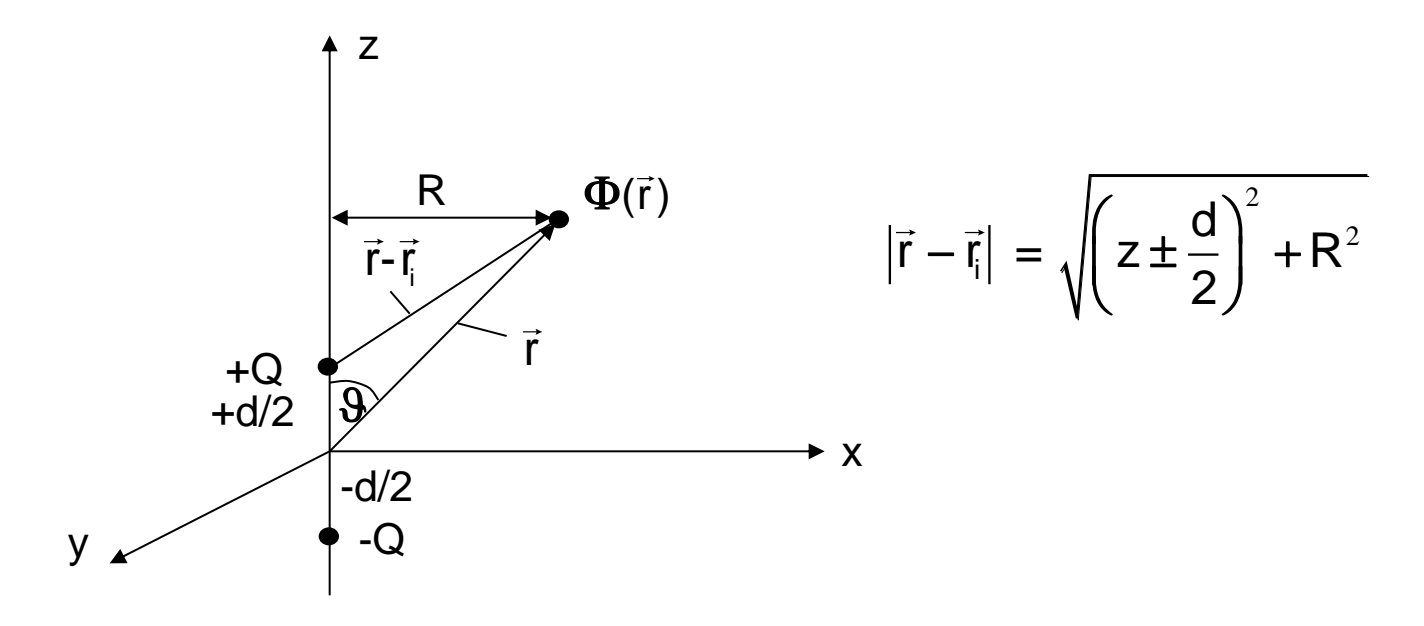
$$\Phi(\vec{r}) = \frac{1}{4\pi\epsilon_r \epsilon_0} \sum_{i=1}^{N} \frac{Q_i}{|\vec{r} - \vec{r}_i|}$$

Beachte: Vorzeichen der Qi

### 3.4.3 Elektrischer Dipol

Der el. Dipol besteht aus zwei entgegengesetzt geladenen Punktladungen (+Q, -Q) im Abstand d mit

$$Q_{ges} = +Q -Q = 0.$$



Lösung für Dipol

$$\Phi(R, \varphi, z) = \frac{Q}{4\pi\epsilon} \left( \frac{1}{\sqrt{(z-\frac{d}{2})^2 + R^2}} - \frac{1}{\sqrt{(z+\frac{d}{2})^2 + R^2}} \right)$$

zylindersymmetrisch

$$\neq f(\varphi)$$

### el. Dipol aus großer Entfernung gesehen

$$\frac{1}{\sqrt{\left(z - \frac{d}{2}\right)^2 + R^2}} = \frac{1}{\sqrt{\left(z^2 - z \cdot d + \frac{d^2}{4}\right) + R^2}} \approx \frac{1}{\sqrt{r^2 - z \cdot d}} = \frac{1}{r} \cdot \frac{1}{\sqrt{1 - \frac{zd}{r^2}}}$$

$$\left(\frac{1}{\sqrt{1-x}} \approx 1 + \frac{x}{2} + \cdots\right)$$
 Nebenrechnung

$$\approx \frac{1}{r} \left( 1 + \frac{z \cdot d}{2r^2} \right)$$

$$\frac{1}{\sqrt{\left(z + \frac{d}{2}\right)^2 + R^2}} \approx \frac{1}{r} \left( 1 - \frac{z \cdot d}{2r^2} \right)$$

Übergang auf Kugelkoordinaten  $\Phi(\mathbf{r}, \Theta, \mathbf{\varphi})$ .  $\Phi = \frac{Q}{4\pi\epsilon_r \epsilon_0} \cdot \frac{1}{r} \left( 1 + \frac{z \cdot d}{2r^2} - 1 + \frac{z \cdot d}{2r^2} \right) = \frac{Q \cdot z \cdot d}{4\pi\epsilon_r \epsilon_0 \cdot r^3}$ 

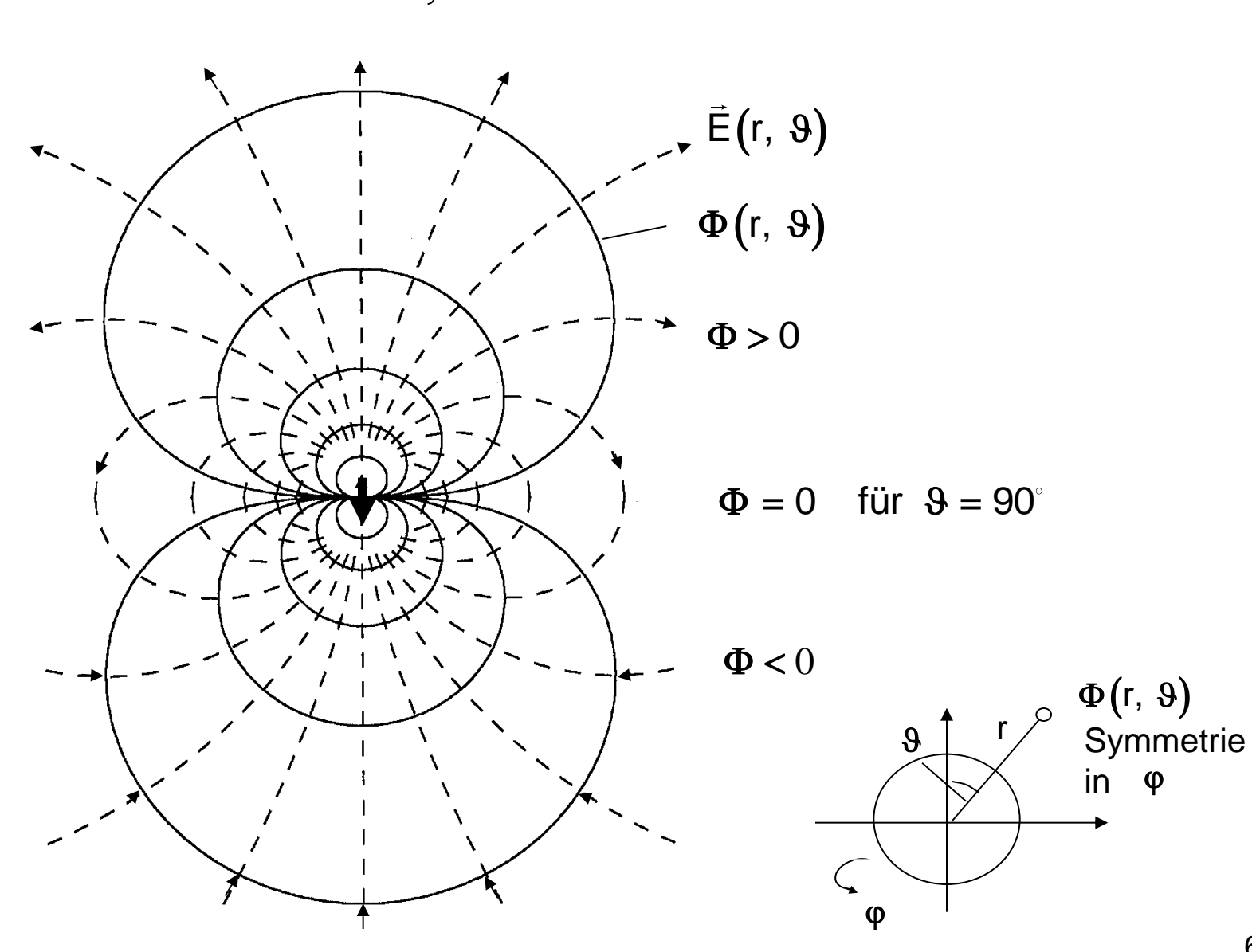
Wegen Symmetrie um  $\Phi$  gilt  $\Phi(r, \vartheta)$ 

mit  $z = r \cdot \cos \vartheta$  folgt:

$$\Phi(\mathbf{r}, \delta) = \frac{\mathbf{Q} \cdot \mathbf{d} \cdot \cos \vartheta}{4\pi \varepsilon_{\mathbf{r}} \varepsilon_{\mathbf{0}} \mathbf{r}^2}$$

$$\vec{E} \sim 1/r^3$$

$$\Phi \sim 1/r^2$$
 für  $\vartheta = 0$ 



$$\Phi (r, 9, \varphi) = \frac{Q d}{4 \pi \epsilon_r \epsilon_0} \frac{\cos 9}{r^2}$$

Kugelkoordinaten

$$\begin{split} \vec{E} &= - \operatorname{grad} \Phi \\ &= - \vec{e}_r \; \frac{\partial \Phi}{\partial r} - \vec{e}_\vartheta \; \frac{1}{r} \; \frac{\partial \Phi}{\partial \vartheta} - \vec{e}_\varphi \; \frac{1}{r \sin \vartheta} \; \frac{\partial \Phi}{\partial \varphi} \\ &= - \vec{e}_r \; \left[ \frac{Q \; d}{4 \; \pi \; \epsilon_r \; \epsilon_0} \; \cos \vartheta \; \left( - \; \frac{2}{r^3} \right) \right] \\ &- \vec{e}_\vartheta \frac{1}{r} \; \left[ \frac{Q \; d}{4 \; \pi \; \epsilon_r \; \epsilon_0} \; \frac{1}{r^2} \; \left( - \sin \vartheta \right) \right] \\ &- \vec{e}_\varphi \frac{1}{r \sin \vartheta} \; \left[ \frac{Q \; d}{4 \; \pi \; \epsilon_r \; \epsilon_0} \; \frac{\partial}{\partial \varphi} \; \left( \frac{\cos \vartheta}{r} \right) \right] \end{split}$$

$$\rightarrow \vec{\mathsf{E}} (\mathsf{r}, \vartheta) = \frac{\mathsf{Q} \, \mathsf{d}}{4 \, \pi \, \varepsilon_{\mathsf{r}} \, \varepsilon_{\mathsf{0}}} \, 2 \, \frac{\cos \vartheta}{\mathsf{r}^{3}} \, \vec{\mathsf{e}}_{\mathsf{r}} + \frac{\mathsf{Q} \, \mathsf{d}}{4 \, \pi \, \varepsilon_{\mathsf{r}} \, \varepsilon_{\mathsf{0}}} \, \frac{\sin \vartheta}{\mathsf{r}^{3}} \, \vec{\mathsf{e}}_{\vartheta} + 0 \, \cdot \vec{\mathsf{e}}_{\varphi}$$

### 3.4.4 Coulomb - Integral

$$\Phi_{i}(\vec{r}) = \frac{1}{4\pi\epsilon_{r}\epsilon_{0}} \frac{Q_{i}}{|\vec{r}-\vec{r}_{i}|}$$

eine Punktladung Qi an Stelle r

$$\Phi(\vec{r}) = \frac{1}{4\pi\epsilon_r \epsilon_0} \sum_{i=1}^{N} \frac{Q_i}{|\vec{r} - \vec{r}_i|}$$

Gesamtwirkung aller N Punktladungen Qi

Ubergang auf Kontinuum: viele Punktladungen fein verteilt

 $\longrightarrow$  Ladung  $\Delta Q_i$  im kleinen Volumenelement  $\Delta v_i$  an Stelle  $\vec{r}_i$ 

$$\Delta Q_i = \rho(\vec{r}_i) \Delta V_i$$

$$\rightarrow \Phi(\vec{r}) = \frac{1}{4\pi\epsilon_r \epsilon_0} \sum_{i=1}^{N} \frac{\rho(\vec{r}_i) \Delta V_i}{|\vec{r} - \vec{r}_i|}$$

$$\rightarrow \boxed{\Phi(\vec{r}) = \frac{1}{4\pi\epsilon_r \epsilon_0} \int_{\text{vol}} \frac{\rho(\vec{r}') dv'}{\left|\vec{r} - \vec{r}'\right|}}$$
 Coulomb - Integral

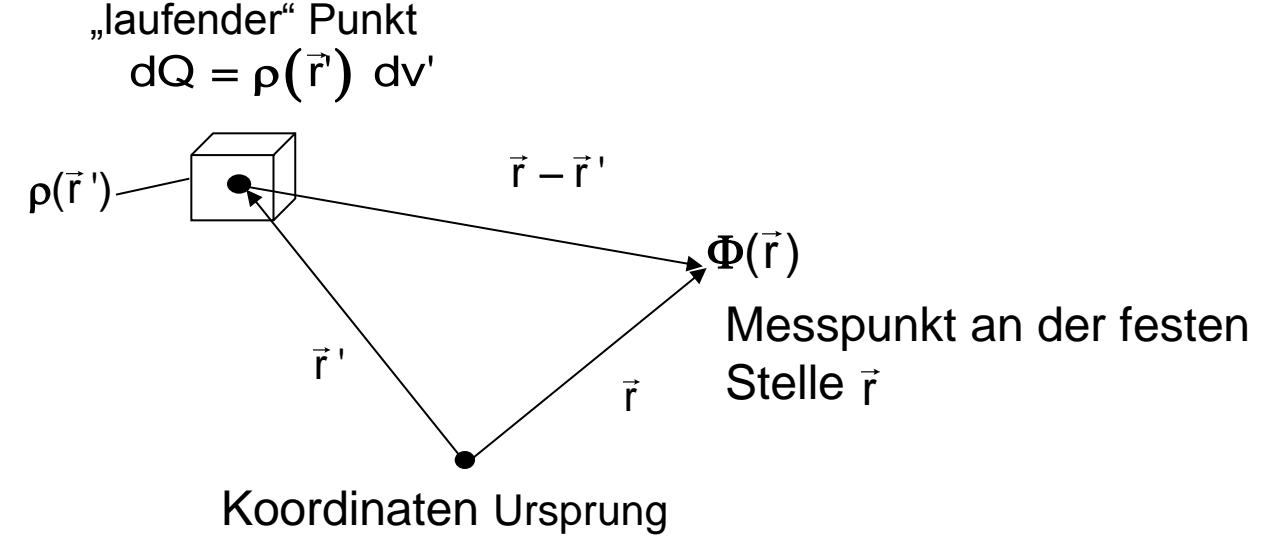
$$\Phi(\vec{r}) = \frac{1}{4\pi\epsilon_{r}\epsilon_{0}} \iiint \frac{\rho(\vec{r}')}{|\vec{r}-\vec{r}'|} dv'$$

Coulomb - Integral

Methode zur Berechnung von  $\Phi$  bei gegebener Raumladungsverteilung  $\rho(\vec{r})$ 

Summation über alle  $\rho(\vec{r}')$  dv'

Integration
 über den
 gesamten
 Raum mit laufender
 Koordinate r
 '



$$\Phi(\vec{r}) = \frac{1}{4\pi\epsilon} \int \frac{\rho(\vec{r}')}{|\vec{r} - \vec{r}'|} dv' \quad \text{und} \quad \vec{E}(\vec{r}) = - \text{ grad } \Phi(\vec{r}) \longleftarrow \quad \text{numerische Differentiation schwierig}$$

Abhilfe: direkte analytische Differentiation

## Nebenrechnung

grad 
$$\frac{1}{|\vec{r}-\vec{r}|} = ?$$

$$\vec{r}-\vec{r}' = (x-x') \vec{e}_x + (y-y') \vec{e}_y + (z-z') \vec{e}_z$$

$$|\vec{r}-\vec{r}'| = \sqrt{(x-x')^2 + (y-y')^2 + (z-z')^2}$$

$$= \vec{e}_x \frac{\partial}{\partial x} \frac{1}{\sqrt{(x-x')^2 + (y-y')^2 + (z-z')^2}} + \vec{e}_y \frac{\partial}{\partial y} \frac{1}{\sqrt{.}} + \vec{e}_z \frac{\partial}{\partial z} \frac{1}{\sqrt{.}}$$

$$= \vec{e}_x \left( -\frac{1}{2} \right) \frac{1}{\sqrt{(x-x')^2 + (y-y')^2 + (z-z')^2}} 2(x-x') + \vec{e}_y \left( -\frac{1}{2} \right) \frac{1}{\sqrt{.}^3} 2(y-y') + \vec{e}_z \cdots$$

$$= -\vec{e}_{x} \frac{(x-x')}{\sqrt{(x-x')^{2} + (y-y')^{2} + (z-z')^{2}}} - \vec{e}_{y} \frac{(y-y')}{\sqrt{\cdot}^{3}} - \vec{e}_{z} \frac{(z-z')}{\sqrt{\cdot}^{3}}$$

$$= -\frac{(\vec{r} - \vec{r}')}{|\vec{r} - \vec{r}'|^3}$$
 q.e.d.

$$\rightarrow \left| \vec{E}(\vec{r}) = + \frac{1}{4\pi\epsilon} \int \frac{\rho(\vec{r}') (\vec{r} - \vec{r}')}{|\vec{r} - \vec{r}'|^3} dv' \right|$$

Keine numerische Differentiation mehr nötig. Numerische Integration ist problemlos

## Zusammenfassung

Def. Potential

Viele Punktladungen; Übergang Kontinuum

$$d\Phi(\vec{r}) = \frac{1}{4\pi\epsilon_r \epsilon_0} \frac{\rho(\vec{r}') dv'}{|\vec{r} - \vec{r}'|}$$

$$\Phi(\vec{r}) = \frac{1}{4\pi\epsilon_r \epsilon_0} \int \frac{\rho(\vec{r}')}{|\vec{r}-\vec{r}'|} dv'$$

Coulomb-Integral

$$\rho(\vec{r}) \text{ geg.} \rightarrow \Phi(\vec{r}) \rightarrow \vec{E}(\vec{r}) = -\text{grad } \Phi(\vec{r})$$

ρ beliebig, Geometrie beliebig

## 3.5 Elektrische Feldenergie

#### 3.5.1 Energiedichte

Das elektrische Feld im Raum trägt an seinem jeweiligen Ort eine gespeicherte Energiedichte, welche proportional zum Quadrat der Feldstärke ist.

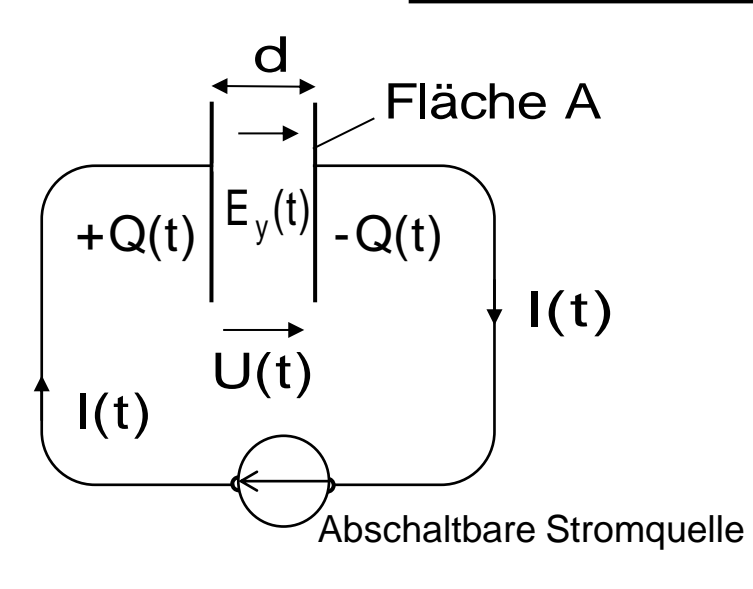
$$W_e = \frac{1}{2} \vec{E} \cdot \vec{D}$$
 Energiedichte des elektrischen Feldes  $W_e = \int_V W_e \ dV$  gesamte elektrische Feldenergie im Volumen V

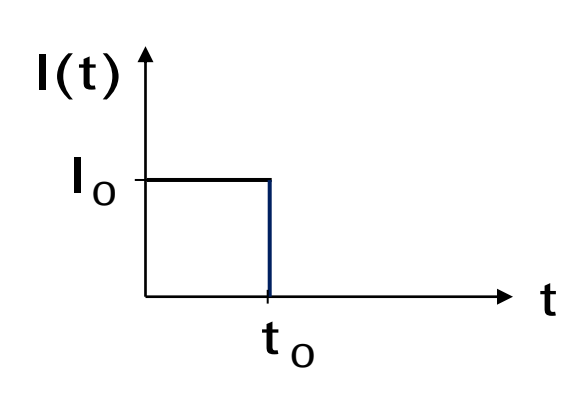
Einheit 
$$(w_e) = \frac{V}{m} \cdot \frac{As}{m^2} = \frac{Joule}{m^3}$$

wenn  $\vec{D} = \boldsymbol{\varepsilon}_{e} \ \boldsymbol{\varepsilon}_{0} \ \vec{E}$  gilt, dann folgt:

$$w_{e} = \frac{\varepsilon_{r} \varepsilon_{0}}{2} E^{2}$$

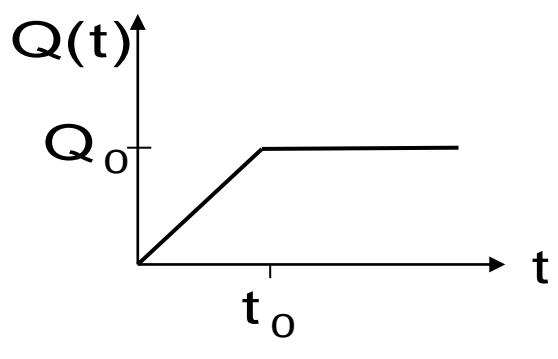
### Veranschaulichung der Energiedichte des elektrischen Feldes





$$I(t) = \begin{cases} I_0 & 0 < t < t_0 \\ 0 & t \ge t_0 \end{cases}$$

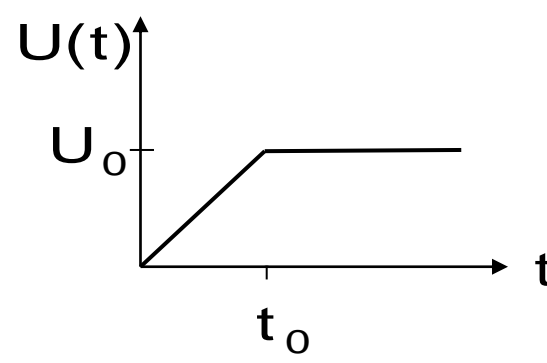
Kondensator ohne Dielektrikum wird allmählich aufgeladen:



$$Q(t) = \begin{cases} I_0 \ t & 0 < t < t_0 \\ Q_0 = I_0 \ t_0 & t \ge t_0 \end{cases}$$

$$E_{y}(t) = \frac{1}{\varepsilon_{0}} \frac{Q(t)}{A}$$

$$\rightarrow U(t) = \frac{1}{\varepsilon_{0}} \frac{d}{A} Q(t)$$



$$U(t) = \begin{cases} \frac{1}{\varepsilon_0} & \frac{d}{A} I_0 t \\ \frac{1}{\varepsilon_0} & \frac{d}{A} I_0 t_0 \end{cases}$$

Aufgenommene elektrische Leistung:

$$P(t) = U(t) I(t) = \begin{cases} \frac{1}{\epsilon_0} & \frac{d}{A} I_0 t I_0 & 0 < t < t_0 \\ 0 & t \ge t_0 \end{cases}$$

Aufgenommene elektrische Energie nach Aufladung  $t \ge t_0$ 

$$W_{UI} = \int_{0}^{t_{0}} P(t) dt = \int_{0}^{t_{0}} \frac{1}{\epsilon_{0}} \frac{d}{A} I_{0}^{2} t dt = \frac{1}{2} \frac{1}{\epsilon_{0}} \frac{d}{A} I_{0}^{2} t_{0}^{2} = \frac{1}{2} \frac{1}{\epsilon_{0}} \frac{d}{A} Q_{0}^{2}$$

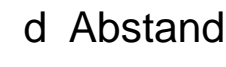
$$E_{y0} = E_{y}(t_{0}) = \frac{1}{\epsilon_{0}} \frac{Q_{0}}{A} \rightarrow Q_{0} = \epsilon_{0} A E_{y0} \rightarrow W_{UI} = \frac{1}{2} \epsilon_{0} E_{y0}^{2} A d$$

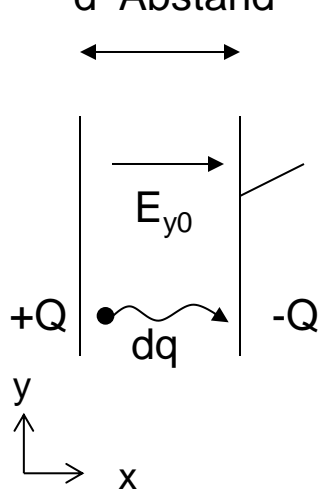
Aufgebaute elektrische Feldenergie nach Aufladung:  $W_e = \int w_e dv$   $E_y$  räumlich konstant im Kondensator mit Volumen A d  $\rightarrow W_e = w_e$  A d

Energiesatz: 
$$W_e \stackrel{!}{=} W_{UI} \longrightarrow w_e \ A \ d \stackrel{!}{=} \frac{1}{2} \ \epsilon_0 \ E_{yo}^2 \ A \ d$$

$$\rightarrow$$
  $\left| \mathbf{w}_{e} = \frac{1}{2} \, \mathbf{\epsilon}_{0} \, \mathbf{E}_{y0}^{2} \right|$  elektrische Feldenergiedichte

## Allmähliche Selbstentladung des Kondensators





A Fläche

Ladung dq wird von + nach - Platte gebracht Entladung in kleinsten Portionen

$$dF_y = dq \cdot E_y$$
 Kraft auf Ladung dq

 $dW = dq \cdot E_v \cdot s$  die dem Feld  $E_v$  entnommene Arbeit

→ z.B. kinetische Energie, Joulesche Wärme

Freigesetzte Energie zur vollständigen Entladung; innen kein Dielektrikum  $\rightarrow \epsilon_r = 1$ 

$$W = \int_{0}^{Q} dW = \int_{0}^{Q} E_{y}(q) \cdot s \cdot dq$$

$$= \int_{0}^{Q} \frac{q}{\varepsilon_{0} A} d dq = \frac{d}{\varepsilon_{0} A} \frac{1}{2} q^{2} \Big|_{0}^{Q}$$

$$= \frac{d}{\varepsilon_{0} A} \frac{1}{2} (\varepsilon_{0} A E_{y0})^{2}$$

Ladung q(t)

 $\mathsf{E}_{\mathsf{y0}}$ 

Entladung

$$\rightarrow W = dA \cdot \frac{1}{2} \epsilon_0 E_{y0}^2 \iff W_e = \frac{1}{2} \epsilon_0 E_{y0}^2$$

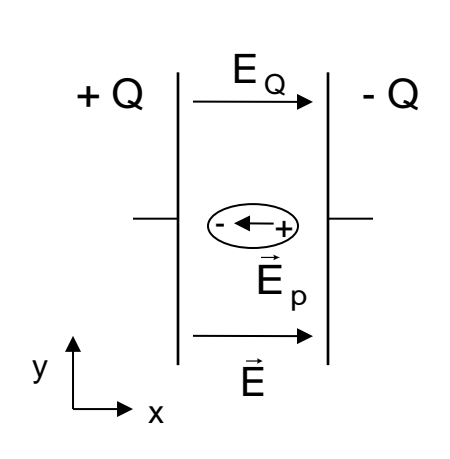
$$\rightarrow \left| \mathbf{w}_{e} = \frac{1}{2} \, \mathbf{\varepsilon}_{0} \, \mathbf{E}_{y0}^{2} \right|$$

## **Einfluss eines Dielektrikums**

Die gespeicherte Feldenergiedichte des elektrischen Feldes ist  $w_e = \frac{1}{2} \epsilon_0 E^2$ 

Warum ist die gesamte Energiedichte  $w_{e ges} = \frac{1}{2} \vec{D} \cdot \vec{E} = \frac{1}{2} \epsilon_0 E_Q E > w_e$ ?

Antwort: Es besteht ein zusätzlich gespeicherter Energieanteil in den Molekülen hervorgerufen von der elektrostatischen Rückstellkraft der getrennten Ladungen



Kraftgleichgewicht im Molekül:  $\vec{F} = q_e \vec{E} = r \vec{s}$ 

Hier ist r die elektrostatische Rückstell-Konstante proportional zur Auslenkung der Ladungen im Molekül

Auslenkung Elektronen durch  $\vec{E}$ :  $\vec{s} = q_e \vec{E}/r$ 

Gespeicherte Energie pro Molekül:  $W_{pm} = \int_{0}^{s} \vec{F} \cdot d\vec{s}' = \int_{0}^{s} r\vec{s}' \cdot d\vec{s}' = \frac{1}{2} rs^{2}$   $= \frac{1}{2} r (q_{e} E/r)^{2}$ 

Gespeicherte Energie pro Molekül:  $W_{pm} = \frac{1}{2} \frac{q_e^2}{r} E^2$ 

Bei N Molekülen pro Volumeneinheit ist die gespeicherte Energiedichte  $w_p$   $w_p = N \cdot W_{pm} = N \cdot \frac{1}{2} \cdot \frac{q_e^2}{r} \cdot E^2$ 

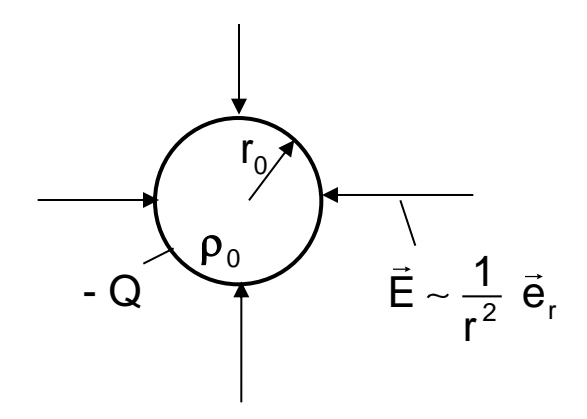
Die gesamte Energiedichte  $w_{e ges}$  ist die Summe der reinen Feldenergiedichte  $w_{e}$  und der in den Molekülen gespeicherten elektrostatischen Energiedichte  $w_{p}$ 

$$W_{e \text{ ges}} = \frac{1}{2} \epsilon_0 E^2 + \frac{1}{2} \frac{N q_e^2}{r} E^2 = \frac{1}{2} \epsilon_0 \underbrace{\left(1 + \frac{N q_e^2}{\epsilon_0 r}\right)}_{\epsilon_r} E^2 = \frac{1}{2} \epsilon_0 \epsilon_r E^2$$

$$\rightarrow \left| \mathbf{w}_{\text{e ges}} = \frac{1}{2} \; \vec{\mathsf{D}} \cdot \; \vec{\mathsf{E}} \right|$$

Hier versteckt sich in Ď bzw. ε<sub>r</sub> die zusätzlich in den Molekülen gespeicherte Energie der elektrostatischen Rückstellkraft

## 3.5.2 Feldenergie einer geladenen Kugel



= Feldenergie innen 
$$(r \le r_0)$$

+ Feldenergie außen 
$$(r > r_0)$$

$$W_{e} = \int_{r \le r_{0}} w_{ei} dv + \int_{r > r_{0}} w_{ea} dv$$

$$\oint \vec{D} \cdot d\vec{f} = \int \rho_0 dv$$

Maxwell

$$\rightarrow$$
 innen  $E_{ri} = \frac{Q}{4\pi\epsilon} \frac{r}{r_0^3}$ 

$$\rightarrow$$
 außen  $E_{ra} = \frac{Q}{4\pi\epsilon} \frac{1}{r^2}$ 

#### Berechnung der Feldenergie im Inneren

$$W_{ei} = \int_{r \le r_0} w_{ei} dv = \int_{r \le r_0} \frac{1}{2} \epsilon E_{ri}^2 dv$$

$$E_{ri} = \frac{Q}{4\pi\epsilon} \frac{r}{r_0^3}$$

$$W_{ei} = \frac{1}{2} \frac{Q^2}{4\pi\epsilon} \frac{1}{5} \frac{r_0^5}{r_0^6} \bigg|_{0}^{r_0} \rightarrow W_{ei} = \frac{1}{2} \frac{Q^2}{4\pi\epsilon} \frac{1}{5} \frac{1}{r_0}$$

## Berechnung der Feldenergie im Äußeren

$$W_{ea} = \int_{r>r_0} \frac{1}{2} \epsilon E_{ra}^2 dv$$

$$E_{ra} = \frac{Q}{4\pi\epsilon} \frac{1}{r^2}$$

$$\rightarrow W_{ea} = \int_{r_0}^{\infty} \int_{0}^{\pi} \int_{0}^{\pi} \frac{1}{2} \varepsilon \frac{Q^2}{(4\pi\varepsilon)^2} \frac{1}{r^4} r^2 \sin\theta d\theta d\phi dr$$

$$= \frac{1}{2} \varepsilon \frac{Q^2}{(4\pi\varepsilon)^2} 2 \cdot 2\pi \int_{r_0}^{\infty} \frac{1}{r^2} dr$$

$$= \frac{1}{2} \frac{Q^2}{4\pi\varepsilon} \left( -\frac{1}{r} \right)_{r_0}^{\infty} \rightarrow W_{ea} = \frac{1}{2} \frac{Q^2}{4\pi\varepsilon} \frac{1}{r_0}$$

$$W_{\text{ges}} = W_{\text{ei}} + W_{\text{ea}} = \frac{1}{2} \left| \frac{Q^2}{4\pi\epsilon} \cdot \frac{1}{r_0} \left( \frac{1}{5} + 1 \right) \right|$$

unabhängig Vorzeichen Q proportional  $r_0$ 

es war:

$$W_{\text{eges}} = \frac{3}{5} \frac{Q^2}{4\pi\epsilon} \frac{1}{r_0}$$

$$W_{\text{eges}} = m_{\text{el}} c^2$$

$$\rightarrow m_{el} = \frac{3}{5} \frac{Q^2}{4\pi\epsilon} \frac{1}{r_0} \frac{1}{c^2}$$

Massenbeitrag des elektrischen Feldes

## Überlegung:

- Elektron hat Masse  $m_e = 9.1 \cdot 10^{-31} \text{ kg}$
- welchem Radius r<sub>0</sub> entspricht diese Masse?

$$r_0 = \frac{3}{5} \frac{Q^2}{4\pi\epsilon} \frac{1}{m_e c^2}$$

$$q_e = -1.6 \cdot 10^{-19} \text{ A} \cdot \text{s}$$

$$\epsilon = 8.8 \cdot 10^{-12} \text{ A} \cdot \text{s/(V} \cdot \text{m)}$$

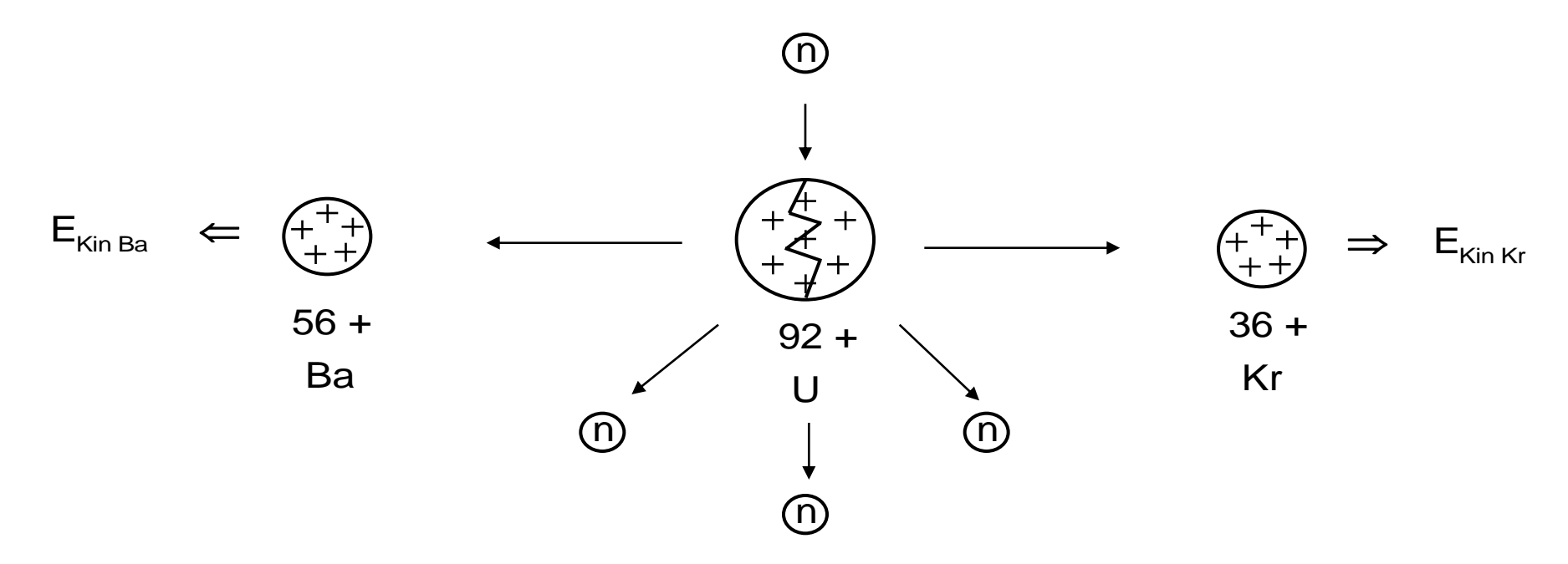
$$c = 3.10^8 \text{ m/s}$$

$$\rightarrow [r_0 = 1.7 \cdot 10^{-15} \text{ m}]$$

WIDERSPRUCH ZU STREU-EXPERIMENTEN

## Hier versagt die klassische Physik

## **Beispiel Uranspaltung**



freigesetzte Energie:

$$1 \text{ kg} \rightarrow \text{E}_{\text{Kin}} = 25 \cdot 10^6 \text{ kWh}$$

$$20000 \text{ t TNT}$$

1 Atomkern 
$$\rightarrow$$
 E<sub>Kin</sub> = 3.2 · 10<sup>-11</sup> Joule

$$W_{\rm e} = \frac{3}{5} \frac{Q^2}{4\pi\epsilon} \frac{1}{r_0}$$

$$W_{eU} = W_{e Ba} + W_{e Kr} + E_{Kin}$$

$$\rightarrow E_{Kin} = \frac{3}{5} \frac{q_e^2}{4\pi\epsilon} \frac{1}{r_U} \left(92^2 - 56^2 - 36^2\right)$$

 $\rightarrow$  E<sub>Kin</sub>  $\approx$  5.6 · 10<sup>-11</sup> Joule 'Maxwell'

 $E_{Kin exp} = 3.2 \cdot 10^{-11}$  Joule "Experiment"

Elektrisches Feld im Urankern ist wesentliche Quelle für 'Kernenergie'

#### 3.5.3 Feldenergie von Anordnungen metallischer geladener Leiter

$$\begin{split} W_{e} &= \frac{1}{2} \int \vec{E} \cdot \vec{D} \; dv \\ &= -\frac{1}{2} \int \operatorname{grad} \; \Phi \cdot \; \vec{D} \; dv \\ &= -\frac{1}{2} \Big\{ \int \operatorname{div}(\Phi \; \vec{D}) \; dv - \int \Phi \; \operatorname{div} \; \vec{D} \; dv \; \Big\} \qquad \left( \operatorname{div}(\Phi \; \vec{D}) = \Phi \; \operatorname{div} \; \vec{D} + \vec{D} \cdot \operatorname{grad} \; \Phi \right) \\ &= -\frac{1}{2} \Big\{ \oint_{F} \Phi \; \vec{D} \cdot \operatorname{d\vec{f}} - \int \Phi \; \rho \; dv \; \Big\} \qquad \left( \operatorname{div}(\Phi \; \vec{D}) = \Phi \; \operatorname{div} \; \vec{D} + \vec{D} \cdot \operatorname{grad} \; \Phi \right) \\ &= -\frac{1}{2} \Big\{ \oint_{F} \Phi \; \vec{D} \cdot \operatorname{d\vec{f}} - \int \Phi \; \rho \; dv \; \Big\} \qquad \left( \operatorname{div}(\Phi \; \vec{D}) = \rho \right) \quad \text{Maxwell} \end{split}$$

$$W_{\rm e} = \frac{1}{2} \int \Phi \rho \, dv$$

Feldenergie im gesamten Raum, dargestellt durch Potential und Raumladungsdichte

Integral über Raum nur dort nötig, wo Raumladung vorhanden

$$W_{\rm e} = \frac{1}{2} \int \Phi \cdot \rho \, dV$$

Feldenergie im gesamten Raum berechnet überall dort, wo  $\rho \neq 0$ 

#### **Spezialfall metallische Leiter**

 $\rightarrow \rho_{\text{innen}} = 0$ , aber Flächenladungsdichte auf Metall-Oberfläche

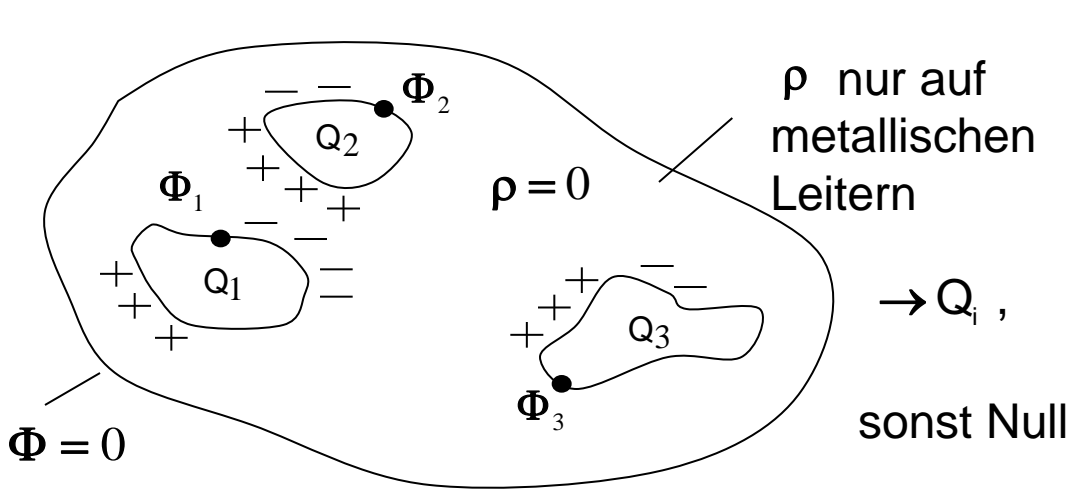
 $\rightarrow \Phi$  = const. auf Metall-Oberfläche

bei N Leitern gilt: da  $\rho = 0$  außerhalb der Leiter, Integration nur in Leitern

$$W_{e} = \frac{1}{2} \cdot \sum_{k=1}^{N} \int \Phi_{k} \cdot \rho_{k} dv$$
$$= \frac{1}{2} \cdot \sum_{k=1}^{N} \Phi_{k} \cdot \int \rho_{k} dv$$

$$W_{e} = \frac{1}{2} \cdot \sum_{k=1}^{N} \Phi_{k} \cdot Q_{k}$$

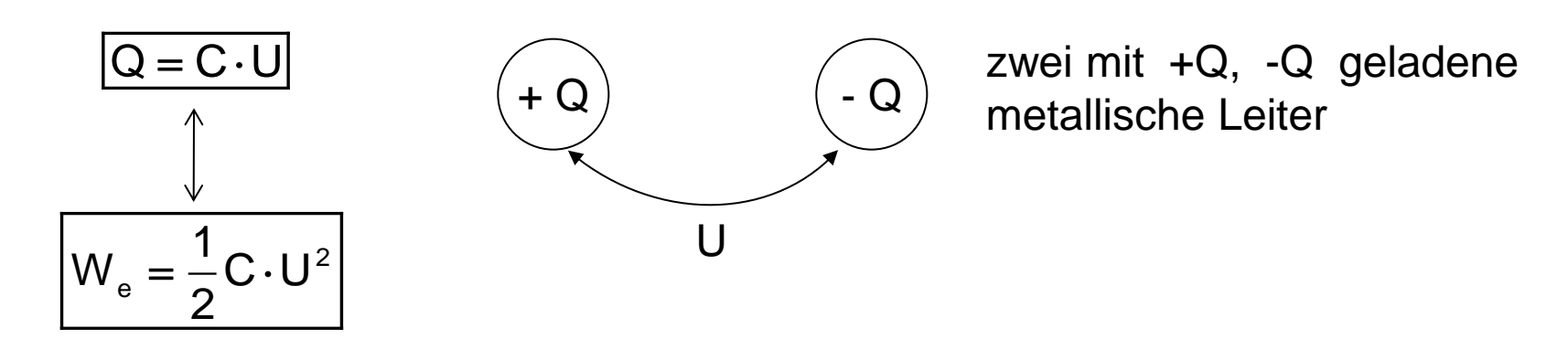
Leiter



# 3.6 Kapazität C

In der Elektrodynamik gibt es zwei Beziehungen von Größen, die durch die gleiche Proportionalitätskonstante C verbunden sind.

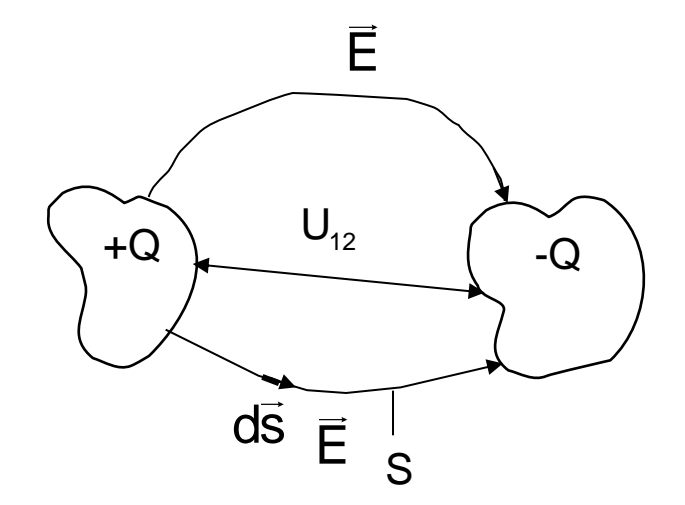
- Die Ladung Q mit der Potentialdifferenz bzw. der Spannung U
- Die elektrische Feldenergie mit der Potentialdifferenz bzw. der Spannung U



Die gemeinsame Proportionalitätskonstante C heißt Kapazität

#### Definition der Kapazität C:

$$C = \left| \frac{Q}{U} \right| = \left| \frac{\oint_{H} \varepsilon \vec{E} \cdot d\vec{f}}{\int_{S} \vec{E} \cdot d\vec{s}} \right|$$

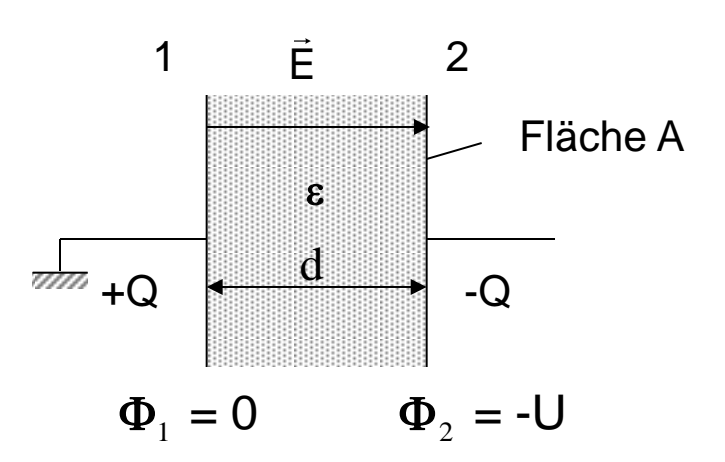


Kapazität nur Funktion der Geometrie unabhängig von Ē

## Berechnung von C

- suche E als Funktion von Q
- berechne  $\Phi_2 \Phi_1 = U_{12}$  aus E als Funktion von Q
- dividiere Q durch U<sub>12</sub>
- Voraussetzung: gleich starke entgegengesetzte Ladungen: +Q –Q = 0

## 3.6.1 Kapazität eines Plattenkondensators

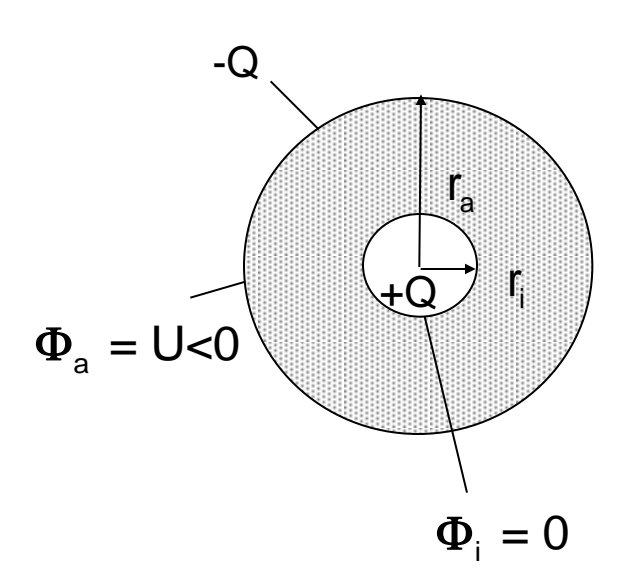


$$\Phi_2 - \Phi_1 = -\int_1^2 \vec{E} d\vec{s} = - E \cdot d$$
  $\sigma = \frac{Q}{A} = D = \epsilon \cdot E$ 

$$E = \frac{Q}{\epsilon \cdot A} \rightarrow U = \frac{-Q}{\epsilon \cdot A} \cdot d \qquad C = \left| \frac{Q}{U} \right| \rightarrow \left| C = \frac{\epsilon \cdot A}{d} \right|$$

$$C = \begin{vmatrix} Q \\ I \end{vmatrix} \rightarrow C = \frac{\varepsilon \cdot A}{\epsilon \cdot A}$$

### 3.6.2 Kapazität eines Kugelkondensators

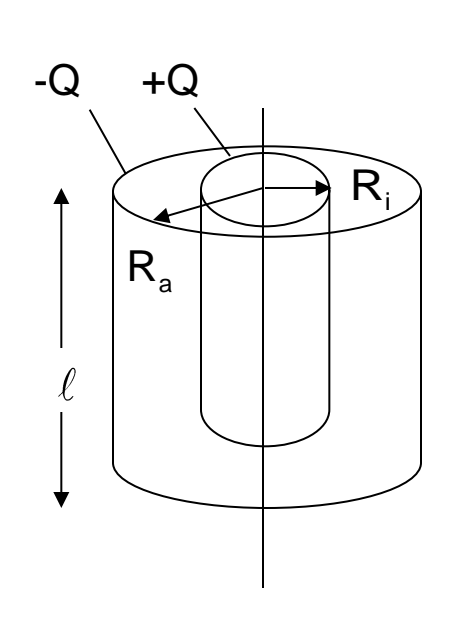


$$\Phi_{a} - \Phi_{i} = -\int_{r_{i}}^{r_{a}} \vec{E} d\vec{s} = -\int_{r_{i}}^{r_{a}} \frac{Q}{4\pi\epsilon r^{2}} dr = -\frac{Q}{4\pi\epsilon} \int_{r_{i}}^{r_{a}} \frac{1}{r^{2}} dr$$

$$U = -\frac{Q}{4\pi\epsilon} \left( -\frac{1}{r} \right)_{r_i}^{r_a} = -\frac{Q}{4\pi\epsilon} \left( \frac{1}{r_i} - \frac{1}{r_a} \right)$$

$$C = \frac{4\pi\epsilon}{\left(\frac{1}{r_{i}} - \frac{1}{r_{a}}\right)}$$

## 3.6.3. Kapazität eines Zylinderkondensators



$$\operatorname{div} \vec{D} = \rho \qquad \int \operatorname{div} \vec{D} \, \operatorname{dv} = \int \rho \, \operatorname{dv} \to \int \vec{D} \, \operatorname{d\vec{f}} = Q$$

Symmetrie: 
$$\vec{D} = D_R \vec{e}_R$$

Zylinder: 
$$d\vec{f} = dz R d\phi \vec{e}_R$$

$$D_R \cdot \ell \cdot 2\pi \cdot R = Q$$
 für  $\ell \gg R_a$ 

$$\mathbf{\varepsilon} \cdot \mathbf{E}_{\mathsf{R}} \cdot \ell \cdot 2\pi \cdot \mathsf{R} = \mathsf{Q}$$

$$\mathsf{E}_\mathsf{R} = \frac{\mathsf{Q}}{2\pi\epsilon\ell} \cdot \frac{1}{\mathsf{R}}$$

$$\Phi_{a} - \Phi_{i} = -\int_{R_{i}}^{R_{a}} \vec{E} \ d\vec{s} = -\frac{Q}{2\pi\epsilon\ell} \cdot \ln R|_{R_{i}}^{R_{a}}$$

$$\Delta \Phi = -\frac{Q}{2\pi\epsilon\ell} \cdot \ln\left(\frac{R_a}{R_i}\right)$$

$$C = \left| \frac{Q}{U} \right|$$

$$C = \frac{2\pi \cdot \epsilon \cdot \ell}{\ln \left(\frac{R_a}{R_i}\right)}$$

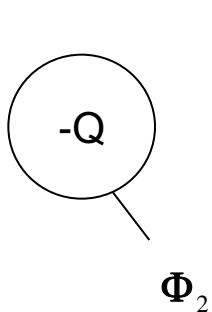
$$\frac{C}{\ell} = \frac{2\pi \cdot \epsilon}{\ln \left(\frac{R_a}{R_i}\right)}$$

Kapazität pro Länge des Koaxialleiters

#### 3.6.4. Verallgemeinerter Kapazitätsbegriff für Vielfachleiter

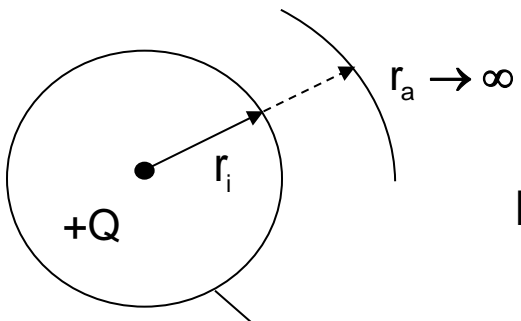
Bisher zwei Leiter





$$Q = C \cdot U$$
$$= C \cdot (\Phi_2 - \Phi_1)$$

Jetzt ein Leiter



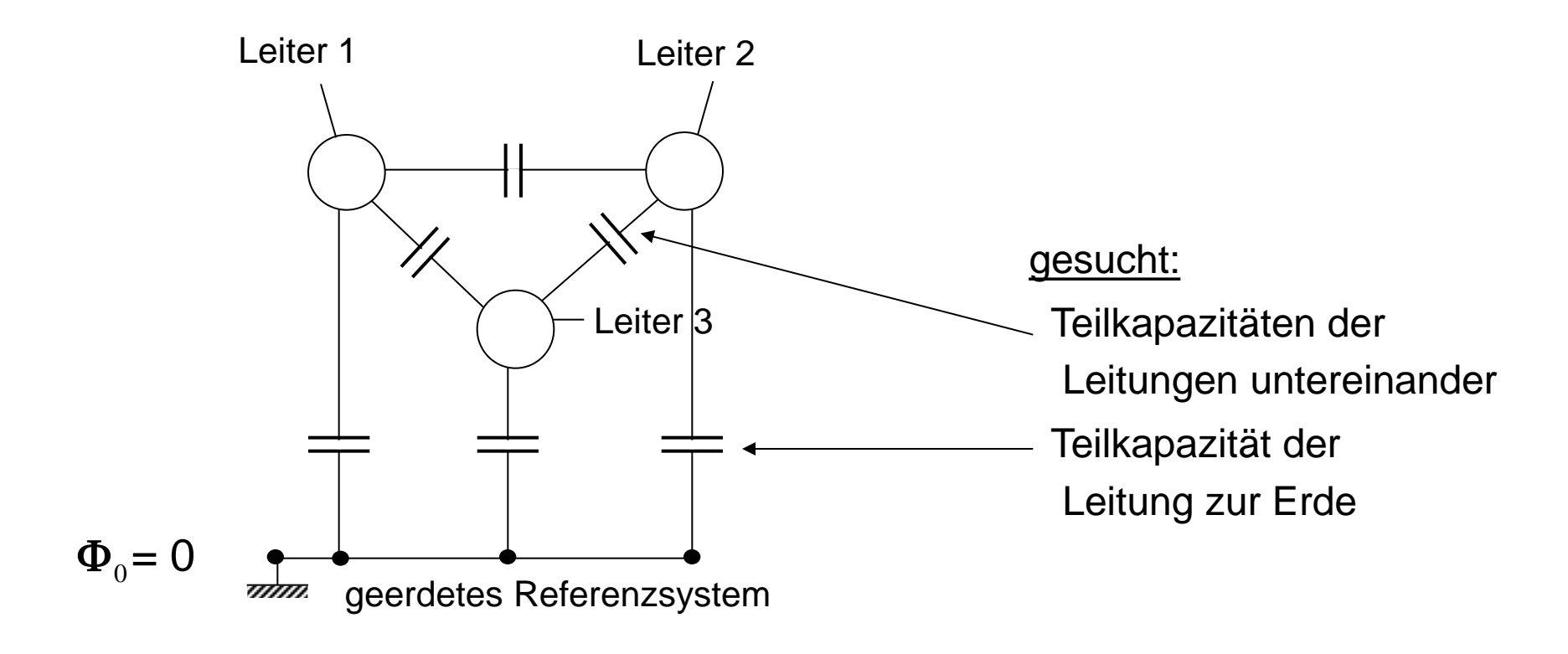
Potential an Kugeloberfläche  $\Phi(r_i)$ :

$$\Phi\left(\mathbf{r}_{i}\right) = \frac{1}{4\pi\varepsilon} \frac{\mathbf{Q}}{\mathbf{r}_{i}}$$

$$Q = C \cdot \Phi(r_i) \rightarrow C = \frac{Q}{\Phi(r_i)} = 4\pi\epsilon r_i$$

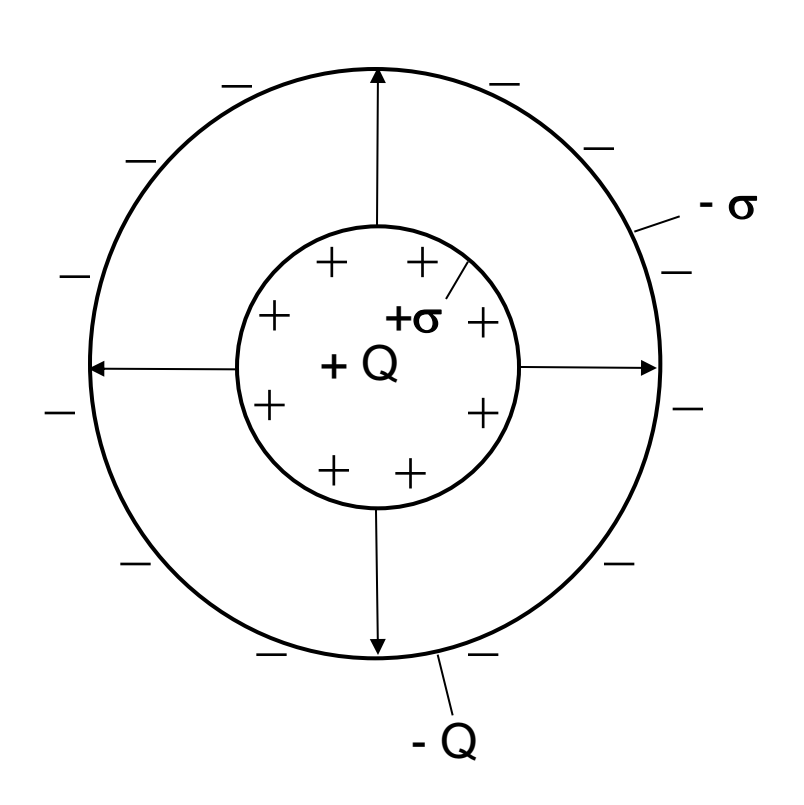
Kapazität C ist die Proportionalitätskonstante für Zusammenhang zwischen Ladung und Potential

## Kapazität dreier Leiter (z.B. Hochspannungsleitungen)



## Symmetrische Ladungsverteilung

#### z.B. Platten-, Koax.-, Kugel - Kondensatoren



Ladungen gleichmäßig auf Oberfläche verteilt

$$\sigma$$
 = const.

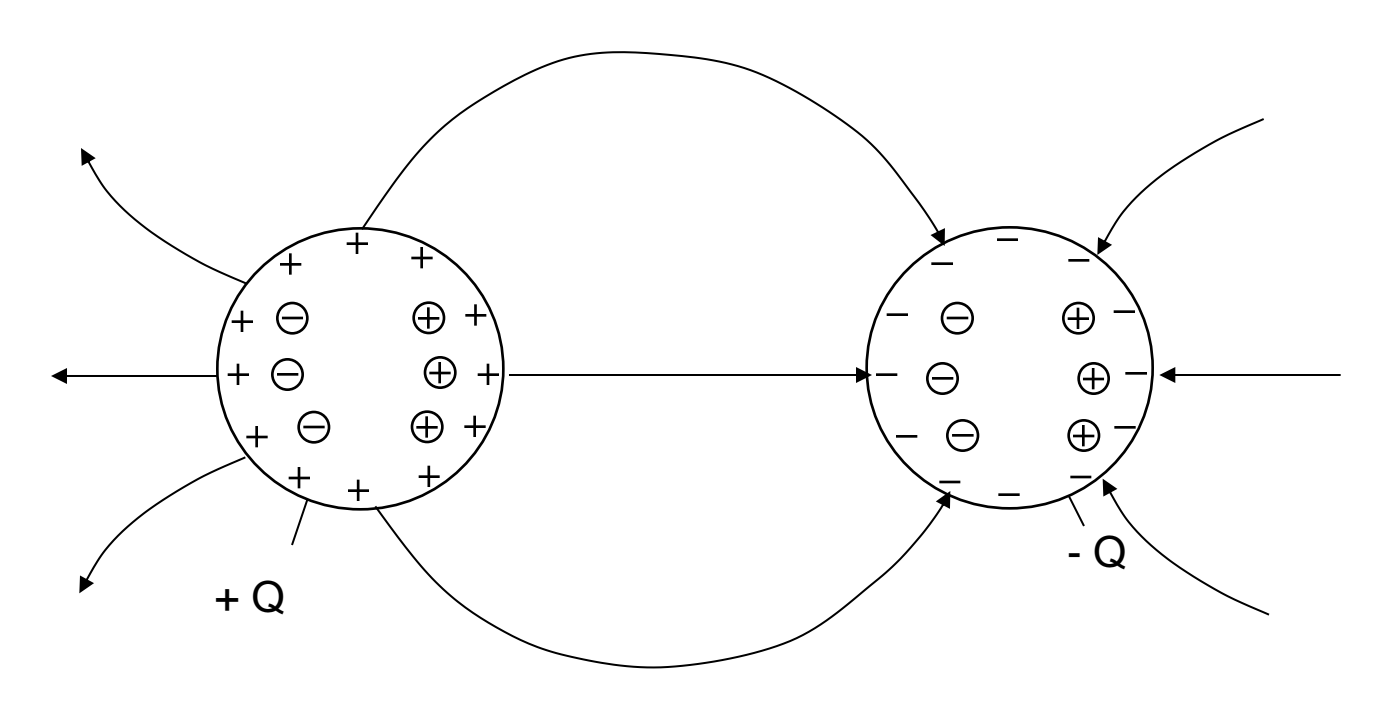
Symmetrische Anordnung

→ Satz vom Hüllenfluss nutzbar

$$\oint \epsilon \, \vec{E} \cdot d\vec{f} = Q$$

Arr Berechnung von  $\vec{E} = \vec{E}(Q)$ 

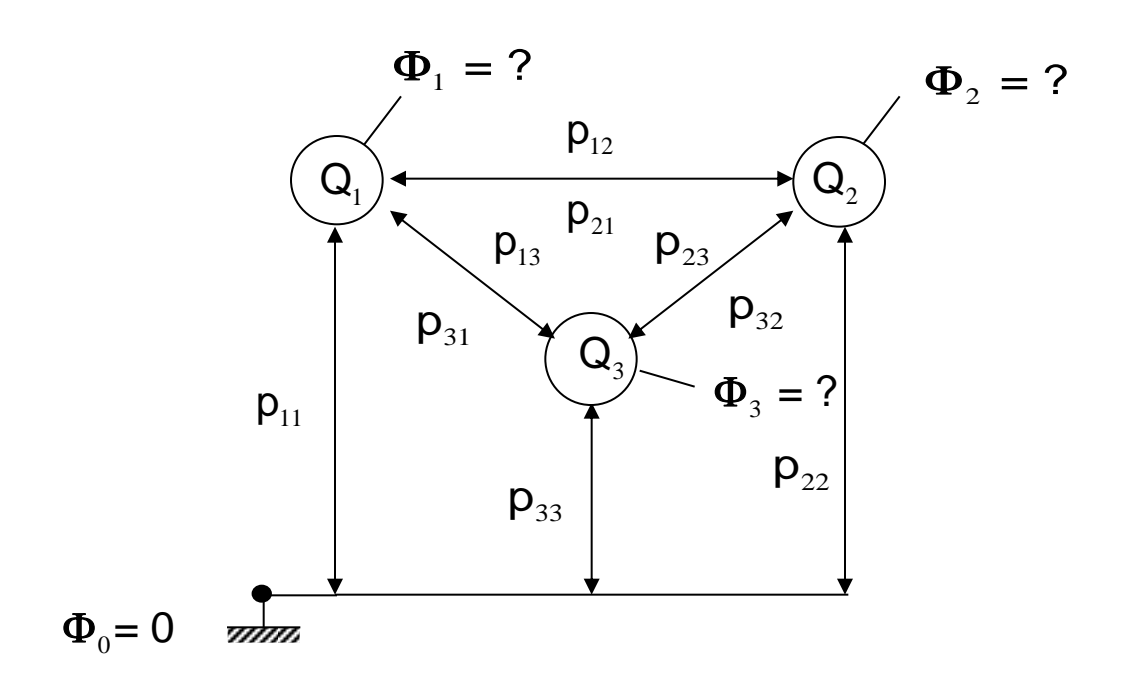
#### Unsymmetrische Ladungsverteilung durch Influenzladungen



Aufgabe: Berechnung von  $\Phi$  aus gegebenem Q

- $\sigma$  = ?  $\neq$  const. "Influenzladungen"; KEINE Symmetrie
- → Satz vom Hüllenfluss oder Coulomb–Integral NICHT nutzbar
  - + Feldlinien senkrecht zur Oberfläche
  - +  $\Phi$  = const. auf Metallen (Äquipotential-Flächen)
- → Methode Laplace Gl. möglich (siehe Kap. 3.7.1)

#### Lösung der Aufgabenstellung mittels Potentialkoeffizienten

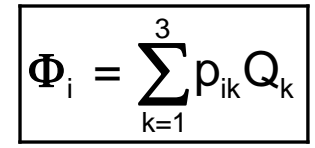


### Fragestellung wie bisher

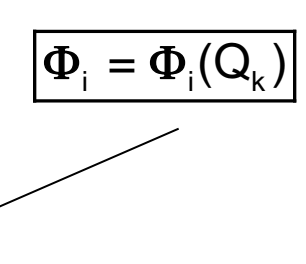
Q<sub>i</sub> = vorgegeben

$$\Phi_k$$
= gesucht

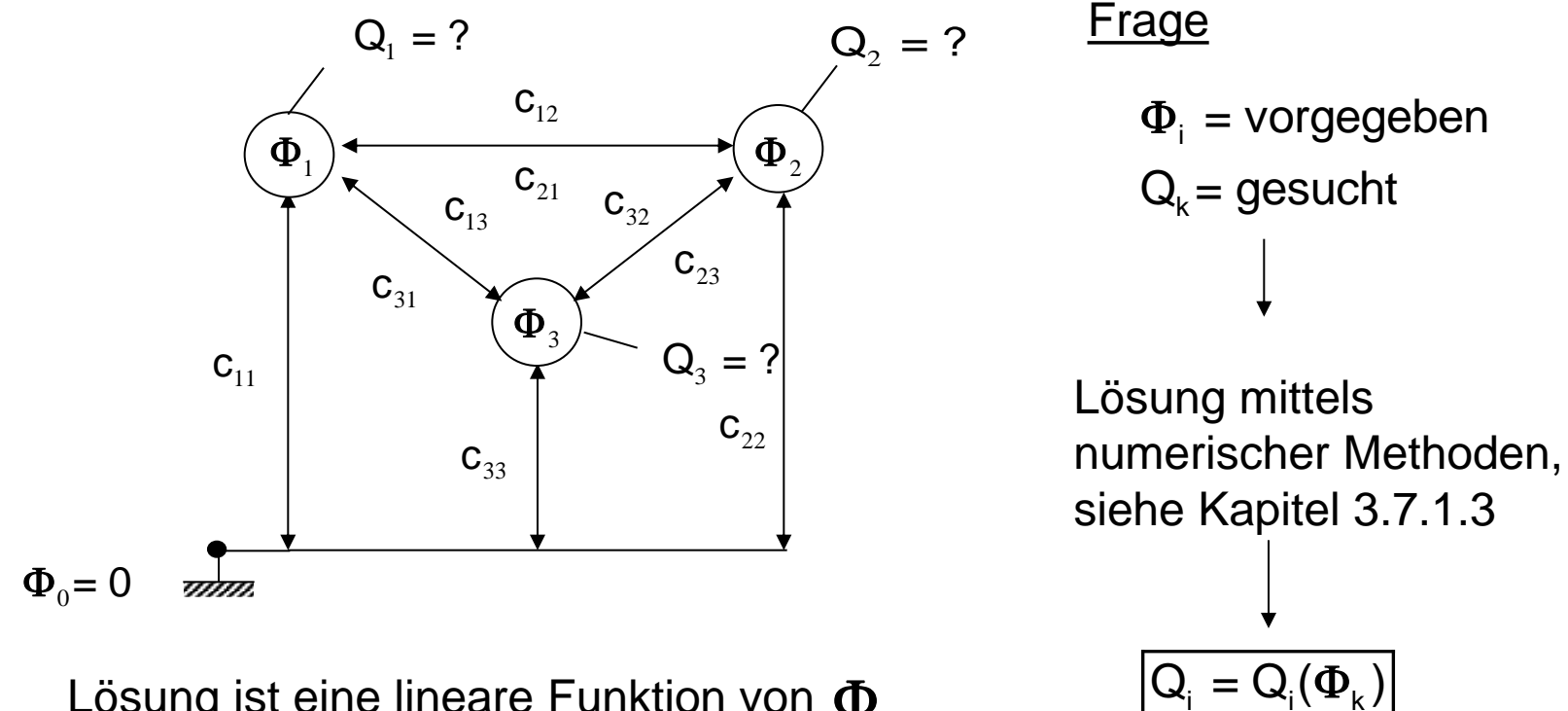
Lösung mittels numerischer Methoden (schwierig)



Potentialkoeffizienten pik



## Lösung der Aufgabenstellung mittels Influenz-Koeffizienten

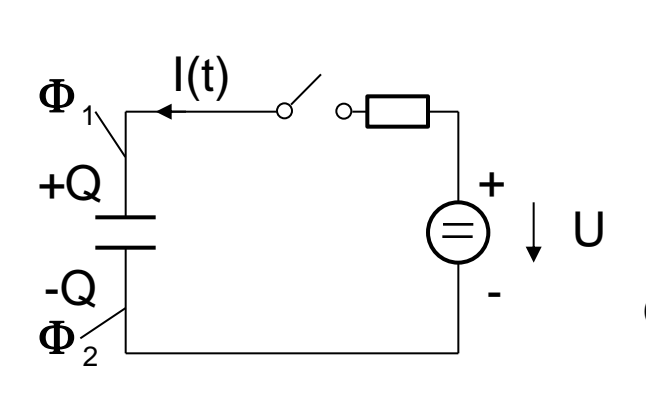


Lösung ist eine lineare Funktion von  $\Phi$ 

$$Q_i = \sum_{k=1}^3 C_{ik} \Phi_k$$

C<sub>ik</sub> = Influenzkoeffizienten; es sind Kopplungskonstanten, keine echten Kapazitäten

## Unterschied von Kapazität des Kondensators und Influenzkoeffizient



$$Q = \int_{0}^{T} I(t) dt$$

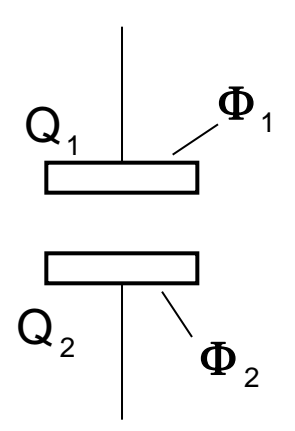
Kondensator, "echte" Kapazität

$$Q = C \cdot (\Phi_1 - \Phi_2) = C \cdot U$$

$$Q_1 = -Q_2 = Q$$

$$C \underline{Kapazit at}$$
"Spezialfall"

$$Q_1 = -Q_2 = Q$$



$$Q_1 = C_{11}\Phi_1 + C_{12}\Phi_2$$

$$Q_2 = C_{21}\Phi_1 + C_{22}\Phi_2$$

$$Q_1, Q_2$$

-Cik Influenzkoeffizienten "allgemeiner Fall"

Die Ladungen sind eine lineare Funktion der Potentiale:

c<sub>ik</sub> = Influenzkoeffizienten;
 es sind Kopplungskonstanten,
 keine echten Kapazitäten

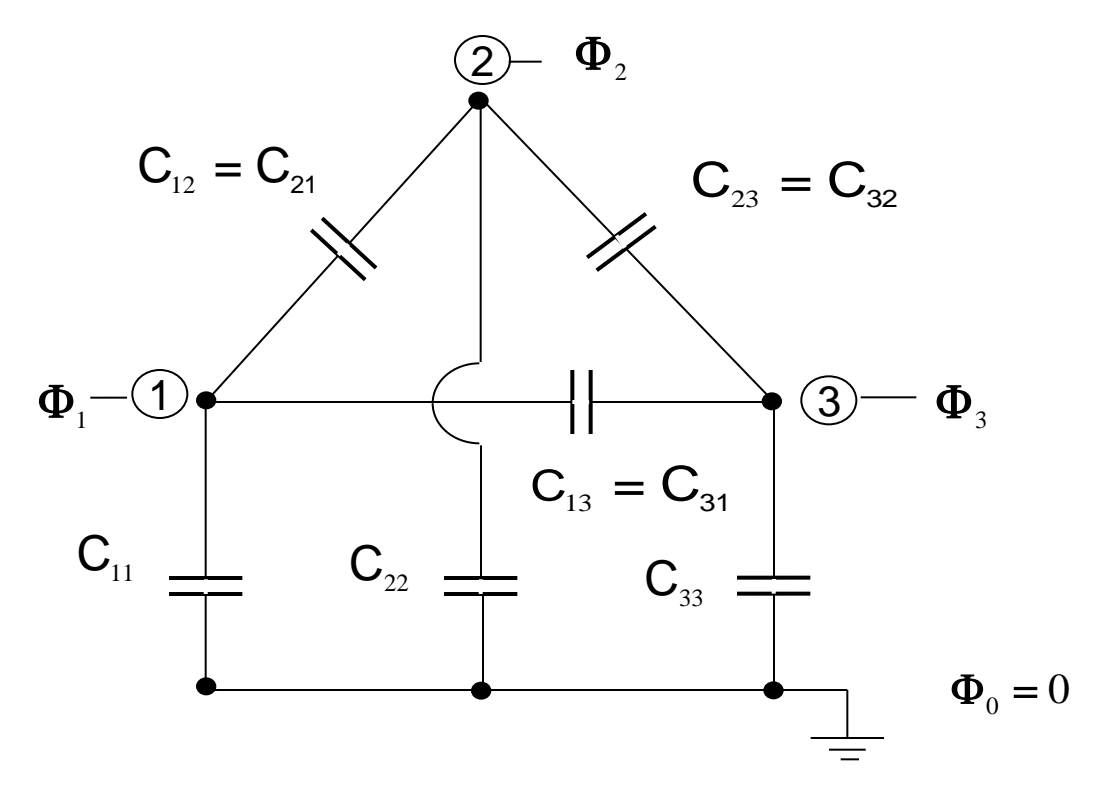
Die Potentiale sind eine lineare Funktion der Ladungen:

p<sub>ik</sub>: Potentialkoeffizienten

 $\{p_{ik}\}$  ist die inverse Matrix von  $\{c_{ik}\}$ 

# Teilkapazitäten C<sub>ii</sub>

"echte" Teilkapazitäten sind wie beim gewöhnlichen Kapazitätsbegriff die Proportionalitätskonstanten zwischen Spannungsdifferenzen und Ladungen



"erwünschte" Darstellung:

$$Q_{1} = C_{11} \Phi_{1} + C_{12} (\Phi_{1} - \Phi_{2}) + C_{13} (\Phi_{1} - \Phi_{3})$$

$$Q_{2} = C_{21} (\Phi_{2} - \Phi_{1}) + C_{22} \Phi_{2} + C_{23} (\Phi_{2} - \Phi_{3})$$

$$Q_{3} = C_{31} (\Phi_{3} - \Phi_{1}) + C_{32} (\Phi_{3} - \Phi_{2}) + C_{33} \Phi_{3}$$

## **Teilkapazitäten**

## "erwünschte" Darstellung mit Teilkapazitäten C<sub>ii</sub>

$$Q_{1} = C_{11} \Phi_{1} + C_{12} (\Phi_{1} - \Phi_{2}) + C_{13} (\Phi_{1} - \Phi_{3})$$

$$Q_{2} = C_{21} (\Phi_{2} - \Phi_{1}) + C_{22} \Phi_{2} + C_{23} (\Phi_{2} - \Phi_{3})$$

$$Q_{3} = C_{31} (\Phi_{3} - \Phi_{1}) + C_{32} (\Phi_{3} - \Phi_{2}) + C_{33} \Phi_{3}$$



"große" C<sub>ij</sub>

≜ Kapazitäten



$$Q_{1} = (C_{11}+C_{12}+C_{13}) \Phi_{1}-C_{12} \Phi_{2}-C_{13} \Phi_{3}$$

$$Q_{2} = (C_{21}+C_{22}+C_{23}) \Phi_{2}-C_{21} \Phi_{1}-C_{23} \Phi_{3}$$

$$Q_{3} = (C_{31}+C_{32}+C_{33}) \Phi_{3}-C_{31} \Phi_{1}-C_{32} \Phi_{2}$$

 $\frac{\text{bisherige Darstellung mit}}{\text{Influenzkoeffizienten}} \ \left\{ \mathbf{c}_{_{ij}} \right\}$ 

Influenzkoeffizienten nicht Kapazitäten

#### "erwünscht"

"bisher"

$$Q_{1} = (C_{11}+C_{12}+C_{13}) \Phi_{1}-C_{12} \Phi_{2}-C_{13} \Phi_{3}$$

$$Q_{2} = (C_{21}+C_{22}+C_{23}) \Phi_{2}-C_{21} \Phi_{1}-C_{23} \Phi_{3}$$

$$Q_{3} = (C_{31}+C_{32}+C_{33}) \Phi_{3}-C_{31} \Phi_{1}-C_{32} \Phi_{2}$$

$$Q_{1} = C_{11} \Phi_{1} + C_{12} \Phi_{2} + C_{13} \Phi_{3}$$

$$Q_{2} = C_{21} \Phi_{1} + C_{22} \Phi_{2} + C_{23} \Phi_{3}$$

$$Q_{3} = C_{31} \Phi_{1} + C_{32} \Phi_{2} + C_{33} \Phi_{3}$$

### Koeffizienten-Vergleich:

$$C_{12} = - C_{12}$$
 $C_{13} = - C_{13}$ 
 $C_{21} = - C_{21}$ 
 $C_{23} = - C_{23}$ 
 $C_{31} = - C_{31}$ 

 $C_{32} = - C_{32}$ 

$$C_{11} - C_{12} - C_{13} = C_{11} \rightarrow C_{11} = C_{11} + C_{12} + C_{13}$$

$$- C_{21} + C_{22} - C_{23} = C_{22} \rightarrow C_{22} = C_{22} + C_{21} + C_{23}$$

$$- C_{31} - C_{32} + C_{33} = C_{33} \rightarrow C_{33} = C_{33} + C_{31} + C_{32}$$

$$\rightarrow C_{ik} = -C_{ik}$$
 und

$$C_{ii} = \sum_{k=1}^{N} C_{ik}$$

wobei  $c_{ik} = c$ 

## **Zusammenfassung**

## Bestimmung der Teilkapazitäten Cik

1) Bestimmung von  $Q_i$  als Funktion von  $\Phi_k$  mittels numerischer Verfahren

$$Q_i = \{c_{ik}\} \Phi_k$$
 Influenzkoeffizienten - Matrix  $\{c_{ik}\}$ 

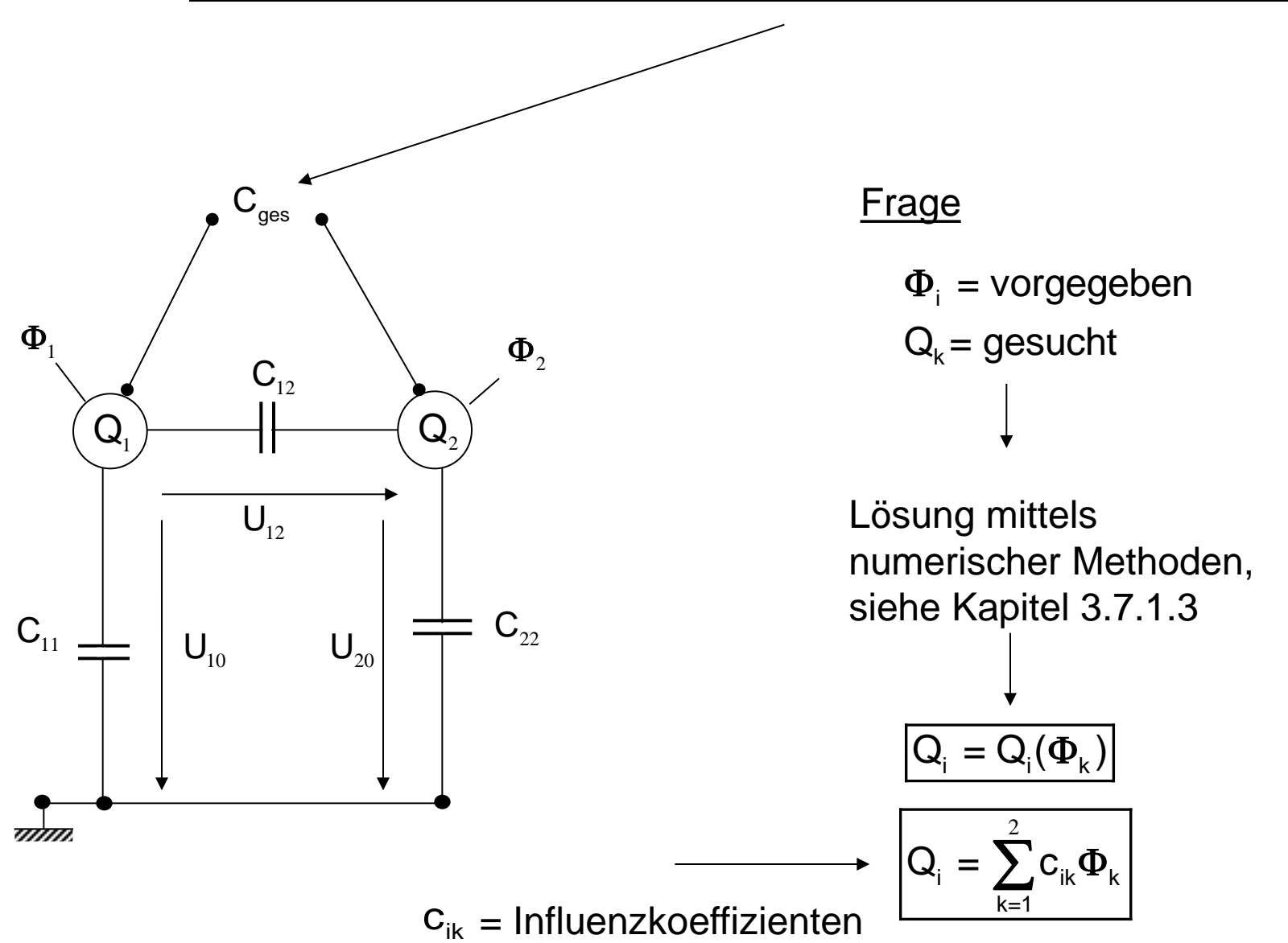
2) Ermitteln der individuellen Teilkapazitäten C<sub>ik</sub>

$$C_{ik} = -C_{ik}$$

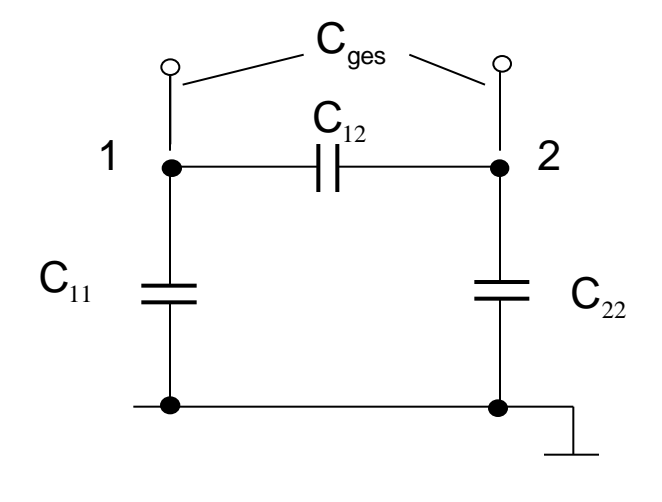
$$C_{ik} = -C_{ik}$$

$$C_{ii} = \sum_{k=1}^{N} C_{ik}$$

## Beispiel: Berechnung der Gesamtkapazität von Doppelleitern

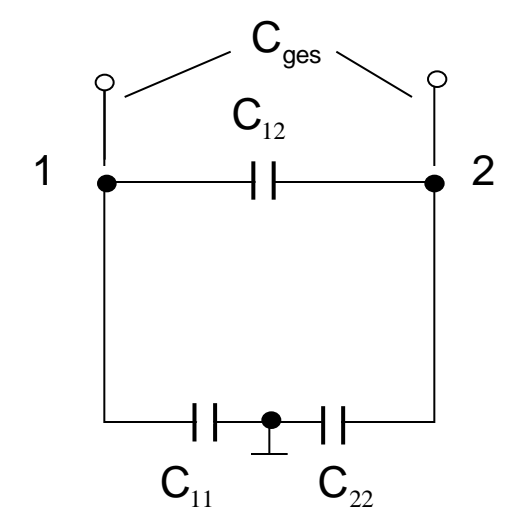


### Gesamtkapazität - Teilkapazität



Für 2 Elektroden mit N=2 gilt:

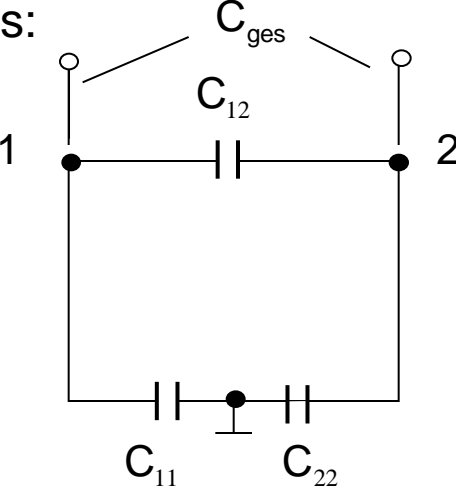
$$C_{12} = - C_{12}$$
 $C_{11} = C_{11} + C_{12}$ 
 $C_{22} = C_{22} + C_{21}$ 



$$C_{ges} = C_{12} + \frac{1}{\frac{1}{C_{11}} + \frac{1}{C_{22}}} \longrightarrow C_{ges} = \frac{c_{11}c_{22} - c_{12}c_{21}}{c_{11} + c_{22} + c_{12} + c_{21}}$$

Die effektive Kapazität  $C_{\text{ges}}$  zwischen zwei Punkten setzt sich aus den Einflüssen aller Teilkapazitäten zusammen.





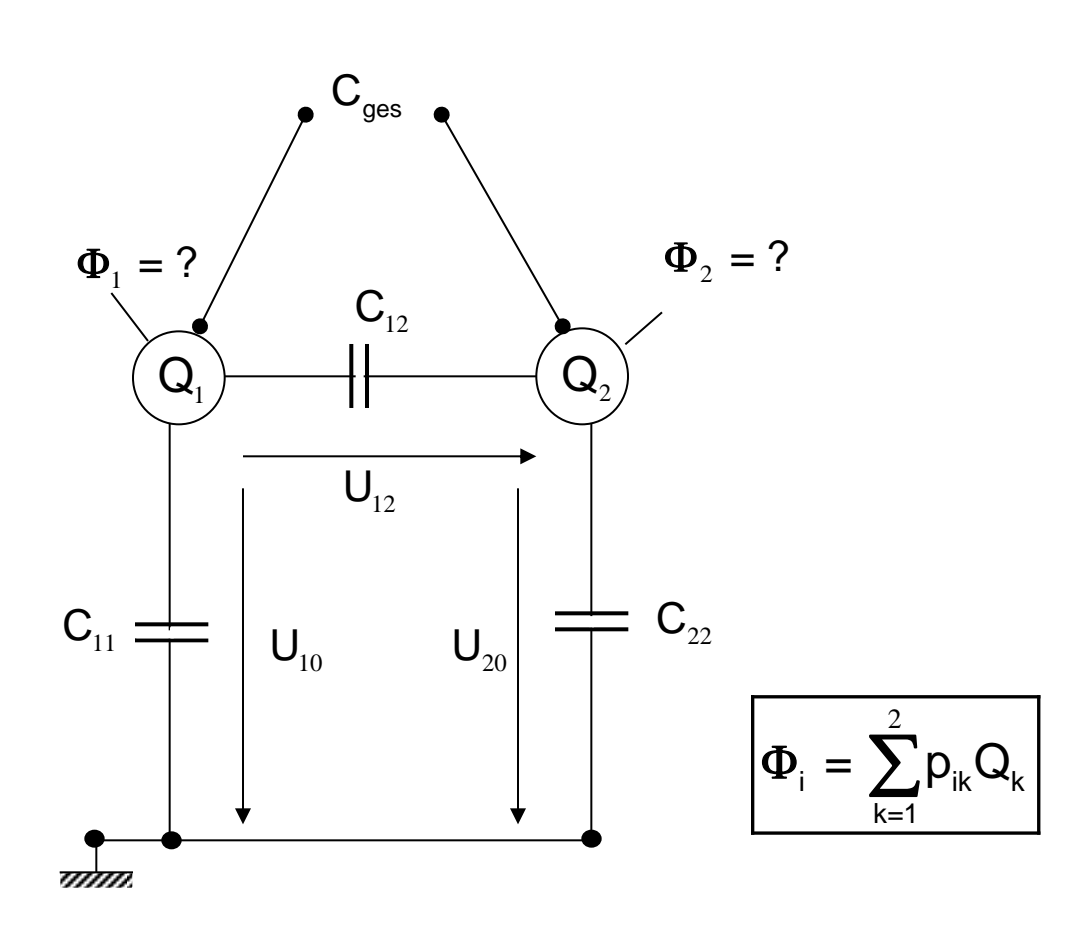
$$C_{ges} = C_{21} + \frac{1}{\frac{1}{C_{11}} + \frac{1}{C_{22}}} = C_{21} + \frac{C_{11} C_{22}}{C_{11} + C_{22}} = \frac{C_{11} C_{21} + C_{22} C_{21} + C_{11} C_{22}}{C_{11} + C_{22}}$$

$$= \frac{-(c_{11} + c_{12})c_{21} - (c_{22} + c_{21})c_{21} + (c_{11} + c_{12})(c_{22} + c_{21})}{c_{11} + c_{12} + c_{21} + c_{22}}$$

$$= \frac{-C_{11}C_{21} - C_{12}C_{21} - C_{21}C_{22} - C_{21}C_{21} + C_{11}C_{22} + C_{11}C_{21} + C_{12}C_{22} + C_{12}C_{21}}{C_{11} + C_{12} + C_{21} + C_{22}}$$

$$= \frac{C_{11}C_{22} - C_{12}C_{21}}{C_{11} + C_{22} + C_{12} + C_{21}}$$
 q.e.d.

### Alternative: Berechnung mittels Potentialkoeffizienten



$$C_{ii} = ?$$

$$\Phi_1 = f_1(Q_1, Q_2)$$

$$\Phi_2 = f_2(Q_1, Q_2)$$

$$\Phi_1 = P_{11} Q_1 + P_{12} Q_2$$

$$\Phi_2 = P_{21} Q_1 + P_{22} Q_2$$

Potentialkoeffizienten  $p_{ik}$ mit  $\{p_{ik}\} = \{c_{ik}\}^{-1}$ 

$$\Phi_{1} = p_{11}Q_{1} + p_{12}Q_{2}$$
$$\Phi_{2} = p_{21}Q_{1} + p_{22}Q_{2}$$

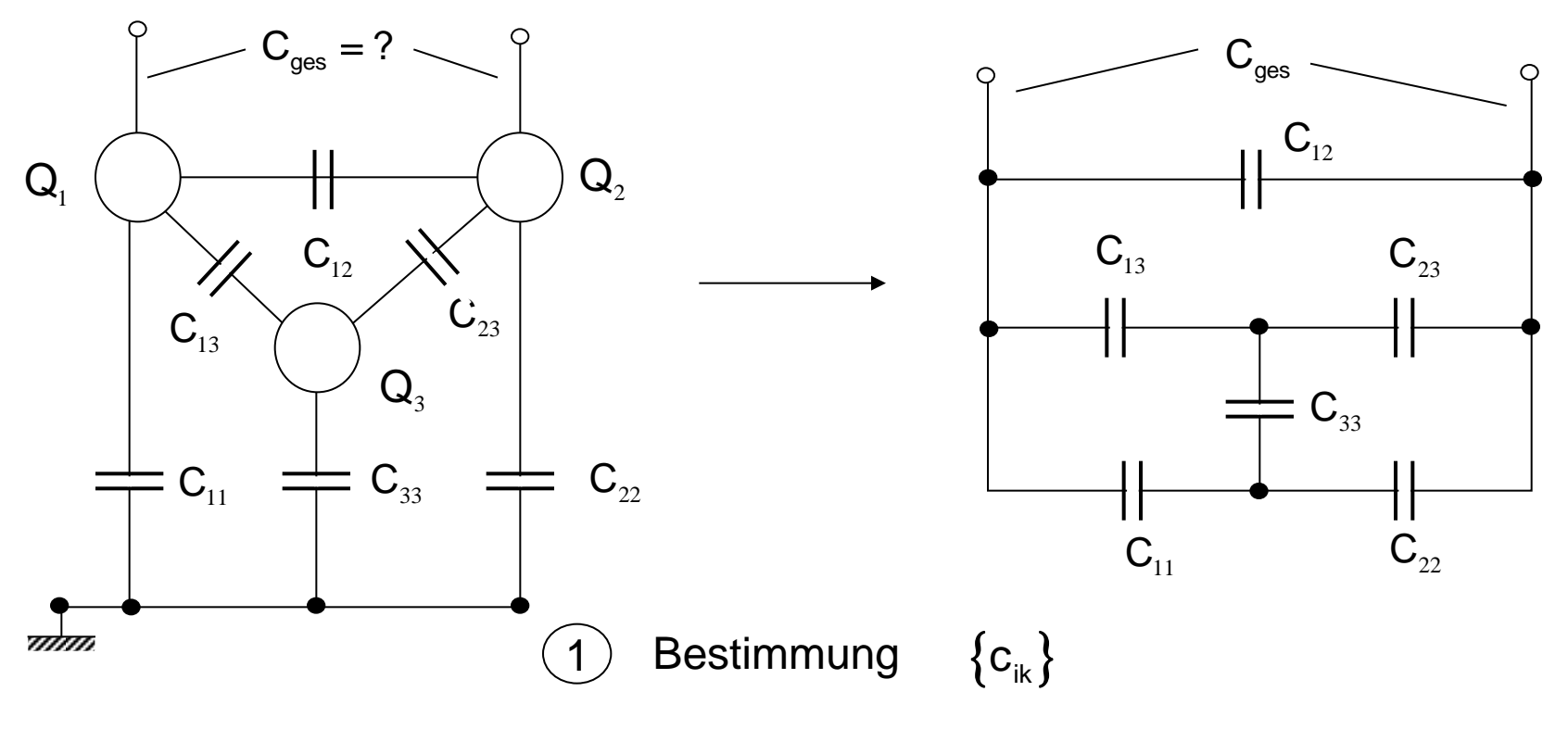
$$Q_1 = -Q_2 \rightarrow \Phi_1 = (p_{11}-p_{12}) Q_1$$
  
 $\Phi_2 = (p_{21}-p_{22}) Q_1$ 

Spannung  $U_{12} = \Phi_1 - \Phi_2$  zwischen Leiter 1 und 2  $U_{12} = (p_{11} - p_{12}) Q_1 - (p_{21} - p_{22}) Q_1$  $= (p_{11} + p_{22} - p_{12} - p_{21}) Q_1$ 

Matrix – Inversion: p → c

$$\rightarrow C_{ges} = \left| \frac{Q_1}{U_{12}} \right| = \left| \frac{1}{p_{11} + p_{22} - p_{12} - p_{21}} \right| = \left| \frac{c_{11}c_{22} - c_{12}c_{21}}{c_{11} + c_{22} + c_{12} + c_{21}} \right|$$

### Beispiel: Berechnung der Gesamtkapazität von Dreifachleitern



2 Teilkapazitäten

$$C_{ik} = -C_{ik}$$

$$C_{ii} = \sum_{k=1}^{N} C_{ik}$$

Serien/Parallel-Schaltung → C<sub>ges</sub>

### Alternative: Berechnung mittels Potentialkoeffizienten

$$\Phi_1 = p_{11}Q_1 + p_{12}Q_2 + p_{13}Q_3$$

$$\Phi_2 = p_{21}Q_1 + p_{22}Q_2 + p_{23}Q_3$$

$$\Phi_3 = p_{31}Q_1 + p_{32}Q_2 + p_{33}Q_3$$

$$\begin{split} &\Phi_1 = p_{11}Q_1 - p_{12}Q_1 = (p_{11} - p_{12}) \ Q_1 \\ &\Phi_2 = p_{21}Q_1 - p_{22}Q_1 = (p_{21} - p_{22}) \ Q_1 \\ &\Phi_3 = p_{31}Q_1 - p_{32}Q_1 = (p_{31} - p_{32}) \ Q_1 \quad \rightarrow \quad \text{Null bei Symmetrie} \quad p_{31} = p_{32} \end{split}$$

$$U_{12} = \Phi_1 - \Phi_2 = (p_{11} - p_{12} - p_{21} + p_{22}) Q_1$$

$$C = \left| \frac{Q}{U} \right| = \frac{1}{p_{11} + p_{22} - p_{12} - p_{21}}$$

### 3.6.5 Zusammenhang gespeicherter Energie mit der Kapazität

### bisher:

gespeicherte Ladung

 $Q = C \cdot U$ 

jetzt:

gespeicherte Energie

$$W_{e} = \frac{1}{2} C U^{2} \longrightarrow W_{e} = \frac{1}{2} \frac{Q^{2}}{C}$$

⇒ Verallgemeinerung auf viele geladene Leiter

Es war: 
$$W_{e} = \sum_{k=1}^{N} \frac{1}{2} \Phi_{k} Q_{k} \rightarrow W_{e} = \frac{1}{2} \sum_{i=1}^{N} \sum_{k=1}^{N} \cdot p_{ik} \cdot Q_{i} \cdot Q_{k}$$
 mit 
$$\Phi_{i} = \sum_{k=1}^{N} p_{ik} \cdot Q_{k}$$

Die Feldenergie ist eine quadratische Funktion der Ladungen.

Oder: 
$$W_e = \frac{1}{2} \sum_{k=1}^{N} \Phi_k Q_k \rightarrow W_e = \frac{1}{2} \sum_{i=1}^{N} \sum_{k=1}^{N} \cdot C_{ik} \cdot \Phi_i \cdot \Phi_k$$

Die Feldenergie ist eine quadratische Funktion der Potentiale.

Vorteil:

Das Feld muss nicht im gesamten Raum bekannt sein; es genügt,  $\Phi$  auf den Elektroden zu messen.

### Gesamtkapazität für N = 1

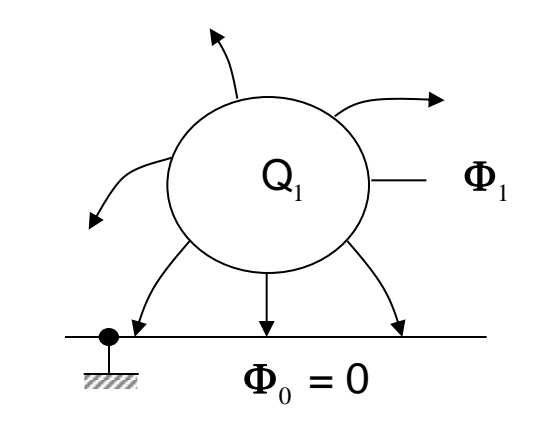
$$Q_1 = C_{11} \cdot \Phi_1$$

entspricht

 $Q = C \cdot U$ 

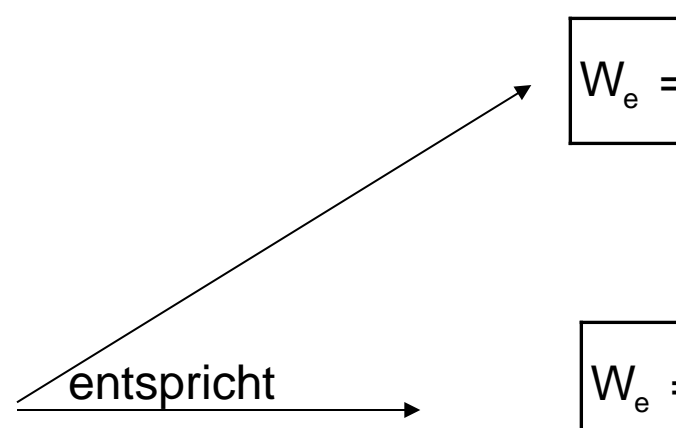
es war für Teilkapazitäten

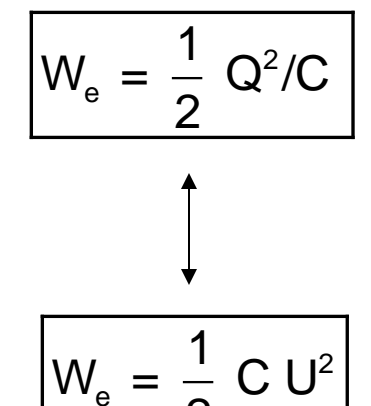
$$C_{ik} = -C_{ik} \\ C_{ii} = \sum_{k=1}^{N} C_{ik}$$
  $\rightarrow$   $C_{11} = C_{11}$ 



Feldenergie des Kondensators:

$$\begin{split} W_{e} &= \frac{1}{2} \; \Phi_{1} Q_{1} \\ &= \frac{1}{2} \; \Phi_{1} \; \left( c_{11} \; \Phi_{1} \right) \; = \frac{1}{2} \; \left( p_{11} \; Q_{1} \right) \; Q_{1} \\ &= \frac{1}{2} \; c_{11} \; \Phi_{1}^{2} \qquad = \frac{1}{2} \; c_{11}^{-1} \; Q_{1}^{2} \\ \hline W_{e} &= \frac{1}{2} \; C_{11} \; \Phi_{1}^{2} \qquad = \frac{1}{2} \; \; Q_{1}^{2} / C_{11} \end{split}$$

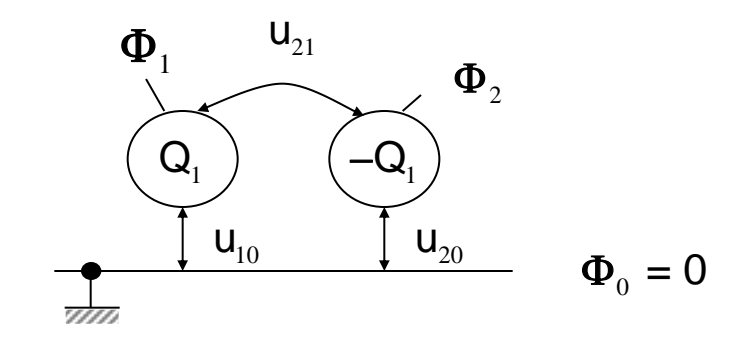




### Berechnung der Gesamtkapazität | N = 2 | mit Hilfe der Gesamtenergie

Weg zur Lösung über  $\Phi = f(Q)$ 

$$\Phi_{1} = p_{11}Q_{1} + p_{12}Q_{2} 
\Phi_{2} = p_{21}Q_{1} + p_{22}Q_{2}$$



$$W_{e} = \frac{1}{2} \left( p_{11} Q_{1}^{2} + p_{12} Q_{2} Q_{1} + p_{21} Q_{1} Q_{2} + p_{22} Q_{2}^{2} \right) \leftarrow W_{e} = \frac{1}{2} \sum_{k=1}^{2} \Phi_{k} Q_{k} = \frac{1}{2} \left( \Phi_{1} Q_{1} + \Phi_{2} Q_{2} \right)$$

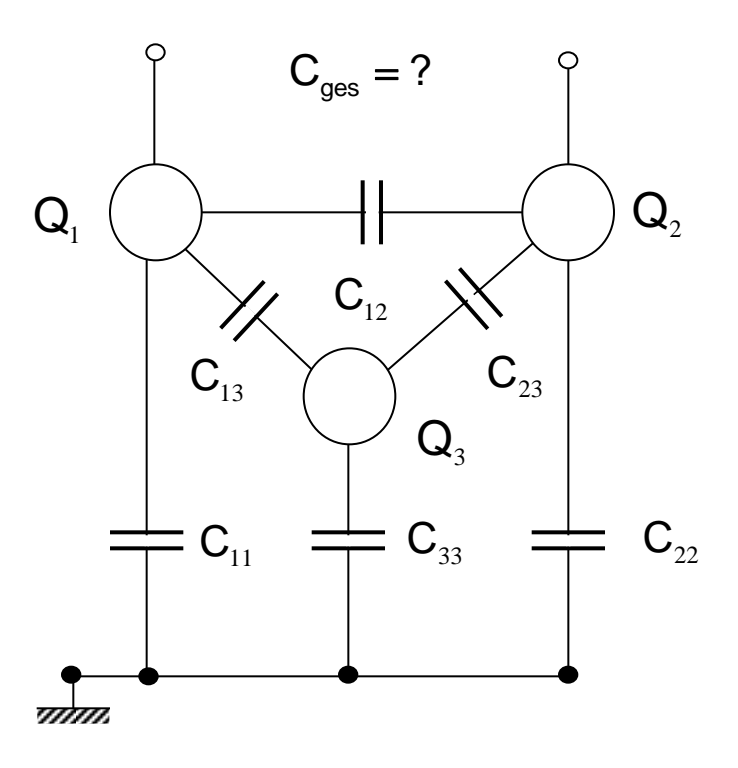
für Kondensator gesetzt:  $Q_2 = -Q_1$ 

$$\rightarrow W_e = \frac{1}{2} (p_{11}Q_1^2 + p_{12}(-Q_1)Q_1 + p_{21}Q_1(-Q_1) + p_{22}(-Q_1)(-Q_1))$$

$$= \frac{1}{2} (p_{11} + p_{22} - p_{12} - p_{21}) Q_1^2 \leftarrow Gesamtenergie$$

$$W_e = \frac{1}{2} \frac{Q_1^2}{C} \rightarrow C_{ges} = \frac{1}{p_{11} + p_{22} - p_{12} - p_{21}}$$
 Gesamtkapazität

### Berechnung der Gesamtkapazität N = 3 mit Hilfe der Gesamtenergie



Berechnung der Gesamtkapazität zwischen den Elektroden 1 und 2 nun nicht über die Teilkapazitäten sondern über die gespeicherte Energie, welche sich durch Aufladung der beiden Elektroden ergibt.

$$\Phi_1 = p_{11}Q_1 + p_{12}Q_2 + p_{13}Q_3$$

$$\Phi_2 = p_{21}Q_1 + p_{22}Q_2 + p_{23}Q_3$$

$$\Phi_3 = p_{31}Q_1 + p_{32}Q_2 + p_{33}Q_3$$

$$Q_2 = - Q_1$$
  
 $Q_3 = 0$   
Aufladung nur der Elektroden 1 und 2

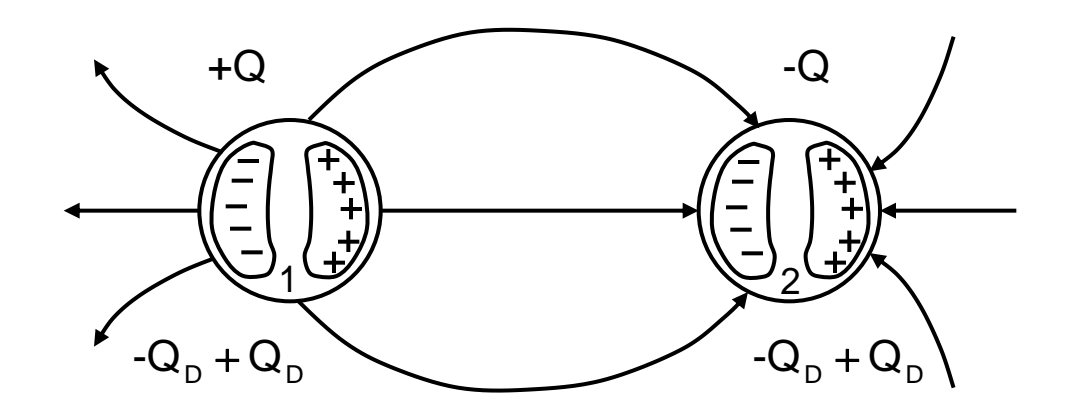
$$W_{e} = \frac{1}{2} \sum_{i=1}^{N} \Phi_{i} Q_{i} = \frac{1}{2} (\Phi_{1} Q_{1} - \Phi_{2} Q_{1} + \Phi_{3} \cdot 0)$$

$$W_{e} = \frac{1}{2} [(p_{11}Q_{1} - p_{12}Q_{1} + 0)Q_{1} - (p_{21}Q_{1} - p_{22}Q_{1} + 0)Q_{1} + (\cdots)\cdot 0]$$

$$W_{e} = \frac{1}{2} (p_{11} + p_{22} - p_{12} - p_{21})Q_{1}^{2}$$

$$W_{e} = \frac{1}{2} \frac{Q^{2}}{C_{ges}} \rightarrow C_{ges} = \frac{1}{(p_{11} + p_{22} - p_{12} - p_{21})}$$

### 3.7 Bestimmung der Kapazität bei Anwesenheit von Influenzladungen



Bestimmung von C schwierig mit Coulomb-Integral:

$$\Phi_{1}(\vec{r}_{1}) = \frac{1}{4\pi\epsilon} \cdot \sum_{i=1}^{2} \left( \int \int \int \frac{\rho_{i}(\vec{r}')}{|\vec{r}_{1} - \vec{r}'|} dv' \right)$$

$$\Phi_{2}(\vec{r}_{2}) = \frac{1}{4\pi\epsilon} \cdot \sum_{i=1}^{2} \left( \int \int \int \frac{\rho_{i}(\vec{r}')}{|\vec{r}_{2} - \vec{r}'|} dv' \right)$$

$$U_{12} = \Phi_2 - \Phi_1$$

$$C = \left| \frac{Q}{U_{12}} \right| = ?$$

#### PROBLEM:

Verteilung  $\rho_i(\vec{r})$  unbekannt nur  $\iiint \rho_i(\vec{r}') dv = \pm Q$  bekannt

### 3.7.1. Lösung durch Anwendung der Laplace-Gleichung

### 3.7.1.1 Herleitung von Laplace- und Poisson-Gleichung

Voraussetzung: E nicht ortsabhängig

$$\overrightarrow{D} = \rho \quad \text{Maxwell}$$

$$\vec{D} = \varepsilon \cdot \vec{E}$$
 Material -Gleichung

$$\text{div } \epsilon \ \vec{\mathsf{E}} = \epsilon \ \text{div } \vec{\mathsf{E}} = -\epsilon \ \text{div } \text{grad } \Phi = \rho$$

Poisson - Gleichung

$$\Delta \Phi = -\frac{\rho}{\epsilon}$$

$$\Delta \Phi = -\frac{\rho}{\epsilon}$$

$$\Delta \Phi = \frac{\partial^2 \Phi}{\partial x^2} + \frac{\partial^2 \Phi}{\partial y^2} + \frac{\partial^2 \Phi}{\partial z^2}$$

Laplace - Gleichung

$$\Delta\Phi=0$$

gültig für Ladungs-freie Raumgebiete  $\rho = 0$ 

### 3.7.1.2 Eindeutigkeitssatz, Randwertprobleme

1. in metallischen Leitern (ohne Ströme) gilt:

$$\vec{\mathsf{E}} = \mathsf{0}$$

$$\Rightarrow$$
 grad  $\Phi = 0 \Rightarrow \Phi = \text{const}$ 

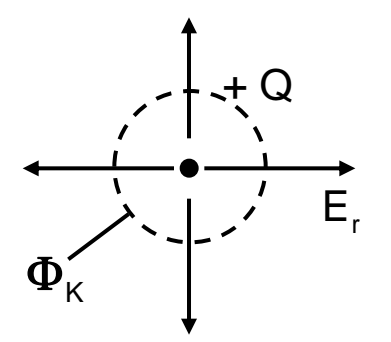
innerhalb und auf der Oberfläche

- 2. Die Potentialverteilung  $\Phi(\vec{r})$  im Raum mit  $\rho=0$  hängt nur von der Potentialverteilung  $\Phi(\vec{r}_{Rand})$  ab
- 3. Die Potentialverteilung wird durch die Laplace Gleichung  $\Delta \Phi = 0$  bestimmt

Die Potentialverteilung in diesem Raum ist eindeutig gegeben, egal, wie  $\Phi(\vec{r}_{Rand})$  auf dem Rand erzeugt wurde.

### **Beispiel**

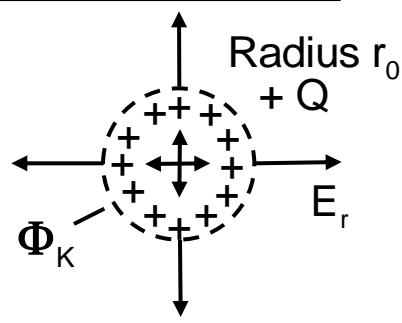
Punktladung, +Q



$$\mathsf{E}_{\mathsf{r}^1} = \frac{\mathsf{Q}}{4\pi\epsilon} \; \frac{1}{\mathsf{r}^2} \; \begin{cases} \mathsf{r} < \mathsf{r}_0 \\ \mathsf{r} \ge \mathsf{r}_0 \end{cases}$$

$$\Phi(r) = \frac{Q}{4\pi\epsilon} \frac{1}{r} \quad \text{für } r \ge r_0$$

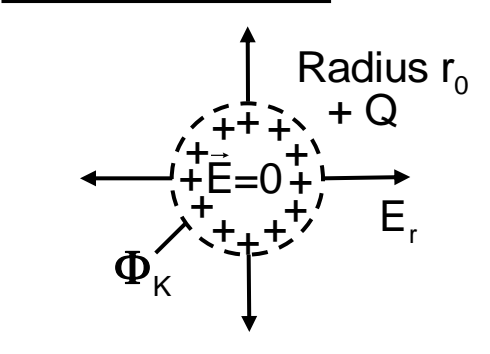
Isolator, +Q



$$\mathsf{E}_{\mathsf{r}^2} = \begin{cases} \frac{\mathsf{Q}}{4\pi\varepsilon} & \frac{\mathsf{r}}{\mathsf{r}_0^3} & \mathsf{r} < \mathsf{r}_0 \\ \frac{\mathsf{Q}}{4\pi\varepsilon} & \frac{1}{\mathsf{r}^2} & \mathsf{r} \ge \mathsf{r}_0 \end{cases}$$

$$\Phi(r) = \frac{Q}{4\pi\epsilon} \frac{1}{r} \quad \text{für } r \ge r_0$$

Leiter,



$$\mathsf{E}_{\mathsf{r}3} = \begin{cases} 0 & \mathsf{r} < \mathsf{r}_0 \\ \frac{\mathsf{Q}}{4\pi\varepsilon} & \frac{1}{\mathsf{r}^2} & \mathsf{r} \ge \mathsf{r}_0 \end{cases}$$

$$\Phi(r) = \frac{Q}{4\pi\varepsilon} \frac{1}{r} \quad \text{für } r \ge r_0$$

Für  $r > r_0$  gilt:  $E_{r1} = E_{r2} = E_{r3}$ 

Randbedingung bei r<sub>o</sub> :

$$\Phi_{Rand} = \Phi(r_0) = \frac{Q}{4\pi\epsilon} \frac{1}{r_0}$$

Potential im Raum  $r > r_0$ :

$$\Phi_{\text{Rand}} = \Phi(\mathbf{r}_0) = \frac{Q}{4\pi\epsilon} \frac{1}{\mathbf{r}_0} \longrightarrow \Phi(\mathbf{r}) = \frac{Q}{4\pi\epsilon} \frac{1}{\mathbf{r}} = \Phi_{\text{Rand}} \cdot \left(\frac{\mathbf{r}_0}{\mathbf{r}}\right)$$

für alle drei Fälle

### Begründung

Aus Maxwell-Gleichungen folgt die Laplace-Gleichung für  $\Phi$ :

$$\Delta \Phi = 0$$

Kartesisch:

$$\frac{\partial^2 \Phi}{\partial x^2} + \frac{\partial^2 \Phi}{\partial y^2} + \frac{\partial^2 \Phi}{\partial z^2} = 0$$

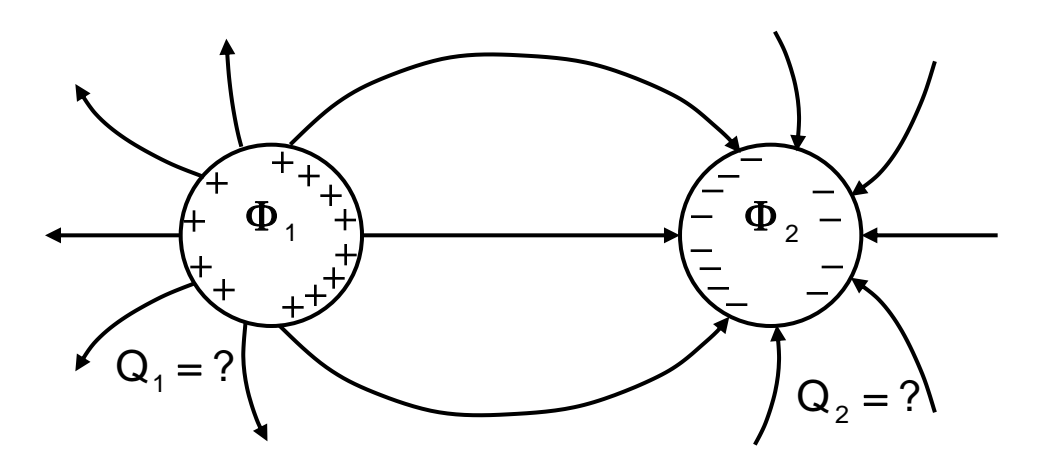
Die Potentialverteilung  $\Phi(\vec{r})$  im leeren Raum muss immer die DGL erfüllen.

Die Lösung einer partiellen DGL ist ausschließlich durch ihre Randbedingungen  $\Phi = \Phi_{\mathsf{Rand}}$  festgelegt.

### 3.7.1.3 Berechnungsmethode von Kapazitäten mit Influenzladungen

gegeben:  $\Phi_1, \Phi_2$ 

gesucht:  $Q_1, Q_2$ 



- Randbedingung: Potentiale und Form der Elektroden
- $\Phi_1 = \Phi_1(\vec{r} = \text{Elektrodenoberfläche}) = \text{const.}$
- $\Phi_2 = \Phi_2(\vec{r} = \text{Elektrodenoberfläche}) = \text{const.}$
- Lösung der Laplace-Gl.

- mit Randbedingung aus  $\Delta \Phi = 0$ 
  - im Raum zwischen/außerhalb der Elektroden

aus (3)

- - Bestimmung von E:  $\vec{E}(\vec{r}) = - \operatorname{grad} \Phi(\vec{r})$
- Speziell auf Elektrodenoberflächen:

 $\left| \oint \varepsilon \, \vec{\mathsf{E}}_{\mathsf{H}_{1,2}} \cdot \mathsf{d}\vec{\mathsf{f}} \right| = \oint \sigma \cdot \mathsf{d}\mathsf{f} = \, \mathsf{Q}_{1,2}$ 

 $|\vec{E}(\vec{r} = Oberfläche) = \vec{E}_{H1,2}(\vec{r}_{Rand})|$ 

Bestimmung Q<sub>1,2</sub>

### Bestimmung der Influenz - Koeffizienten

Algorithmus (1) - (5)liefert:

Influenz - Koeffizienten - Matrix C.,

$$Q_1 = Alg_1 \left( \Phi_1, \Phi_2 \right)$$

$$Q_1 = C_{11} \Phi_1 + C_{12} \Phi_2$$

$$Q_2 = Alg_2 \left( \Phi_1, \Phi_2 \right)$$

$$Q_2 = C_{21} \Phi_1 + C_{22} \Phi_2$$

Bestimmung der C<sub>ik</sub>:

a) setze  $\Phi_1 = 0$ 

$$\Phi_1 = 0$$

$$Q_{la} = Alg_1 (0, \Phi_2)$$

$$Q_{1a} = C_{12} \Phi_2$$

$$Q_{2a} = Alg_2 \left(0, \Phi_2\right)$$

$$Q_{2a} = C_{22} \Phi_2$$

$$\Rightarrow \begin{vmatrix} c_{12} = Alg_1 & (0, \Phi_2)/\Phi_2 \\ c_{22} = Alg_2 & (0, \Phi_2)/\Phi_2 \end{vmatrix}$$

b) setze  $\Phi_2 = 0$ 

$$\Phi_2 = 0$$

$$Q_{1b} = Alg_1 \left( \Phi_1, 0 \right)$$

 $Q_{2b} = Alg_2 \left( \Phi_1, 0 \right)$ 

und

$$Q_{1b} = C_{11} \Phi_1$$

$$Q_{2b} = C_{21} \Phi_1$$

$$\Rightarrow \begin{vmatrix} c_{11} = Alg_1 & (\Phi_1, 0)/\Phi_1 \\ c_{21} = Alg_2 & (\Phi_1, 0)/\Phi_1 \end{vmatrix}$$

### Bestimmung der Teilkapazitäten bzw. der Potentialkoeffizienten

- Bestimmung von Q<sub>k</sub> als Funktion von Φ<sub>i</sub>
- 2) Aus  $Q_i = \{c_{ik}\} \Phi_k$  folgten die Influenz-Koeffizientenmatrix  $\{c_{ik}\}$
- 3) Ermitteln der individuellen Teilkapazitäten

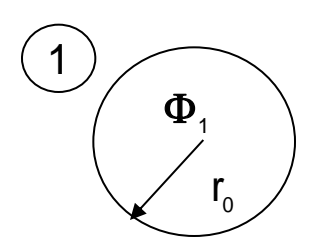
$$C_{ik} = - C_{ik}$$

$$C_{ii} = \sum_{k=1}^{N} C_{ik}$$

4) Oder ermitteln der Potentialkoeffizienten durch Invertierung der Matrix der Influenzkoeffizienten

$$\left\{ p_{ik}\right\} =\left\{ c_{ik}\right\} ^{-1}$$

### 3.7.1.4 Beispiel kugelsymmetrisches Problem



 $\Phi_1$  auf Metallkugel gegeben  $\rightarrow \Phi_1$  = const. "Randbedingung"

$$\rightarrow \Phi_1 = \text{const.}$$
 "F

$$\Phi(\vec{r}) = ?$$
 im Außenraum

Kugelsymmetrie

nur radiale Variation von Φ

$$\Phi = \Phi(r)$$

 $\Phi = \Phi(r)$  unabhängig von  $\vartheta$ ,  $\varphi$ 

$$\Delta \Phi = \frac{1}{r^2} \frac{d}{dr} \left( r^2 \frac{d\Phi(r)}{dr} \right) = 0$$

Laplace-Gl. (r-Abhängigkeit) in Kugelkoordinaten

$$r^{2} \frac{d\Phi(r)}{dr} = C_{1}$$

$$\frac{d\Phi(r)}{dr} = \frac{C_{1}}{r^{2}}$$

$$\Phi(r) = -\frac{c_1}{r} + c_2$$

c<sub>1</sub>, c<sub>2</sub> sind (noch) unbekannte Integrationskonstanten

Bestimmung von c<sub>1</sub>, c<sub>2</sub> aus den Randbedingungen:

- a) Potential auf Kugeloberfläche ist  $\Phi_1 = \text{const.}$
- b) Potential im ∞ soll gegen Null gehen

$$\Phi(r) = -c_1/r + c_2$$
 allg. Lösung der Laplace-Gl.

mit 
$$\Phi(r \to \infty) = 0$$
 folgt  $c_2 = 0$ 

mit 
$$\Phi(\mathbf{r} = \mathbf{r}_0) = \Phi_1$$
 folgt  $-\mathbf{c}_1/\mathbf{r}_0 = \Phi_1 \rightarrow \mathbf{c}_1 = -\mathbf{r}_0 \cdot \Phi_1$ 

$$\rightarrow \boxed{\Phi(r) = \Phi_1 \ \frac{r_0}{r}}$$
 Lösung der Laplace-Gl. im Außenraum für geg. Randbedingungen

(3) Bestimmung von 
$$\vec{E}(\vec{r})$$
:

$$\vec{E}(\vec{r}) = -\operatorname{grad} \Phi(r) = -\frac{\partial}{\partial r} \left( \Phi_1 \frac{r_0}{r} \right) \vec{e}_r = \Phi_1 \frac{r_0}{r^2} \vec{e}_r$$

$$\vec{E}_{H1} = \vec{E}(r_0) = \Phi_1 \frac{r_0}{r_0^2} \vec{e}_r = \Phi_1 \frac{1}{r_0} \vec{e}_r$$

### 5 Bestimmung von Q<sub>1</sub>

$$\oint \varepsilon \vec{E}_{H1} \cdot d\vec{f} = Q_1$$

$$= \varepsilon \cdot \Phi_1 \frac{1}{r_0} \cdot 4 \pi r_0^2 = \varepsilon 4 \pi r_0 \cdot \Phi_1$$

$$\rightarrow \boxed{Q_1 = \varepsilon \Phi_1 4 \pi r_0}$$

Algorithmus (1) - (5) liefert hier also:

$$Q_1 = Alg_1(\Phi_1) = 4 \pi \epsilon r_0 \cdot \Phi_1$$

### Bestimmung des Influenzkoeffizienten

Algorithmus 1 - 5 liefert:

Influenz - Koeffizienten - Matrix cik

$$Q_1 = Alg_1 \left( \Phi_1 \right) = 4 \pi \epsilon r_0 \Phi_1$$

$$Q_1 = C_{11} \Phi_1$$

### Bestimmung von $C_{11}$ :

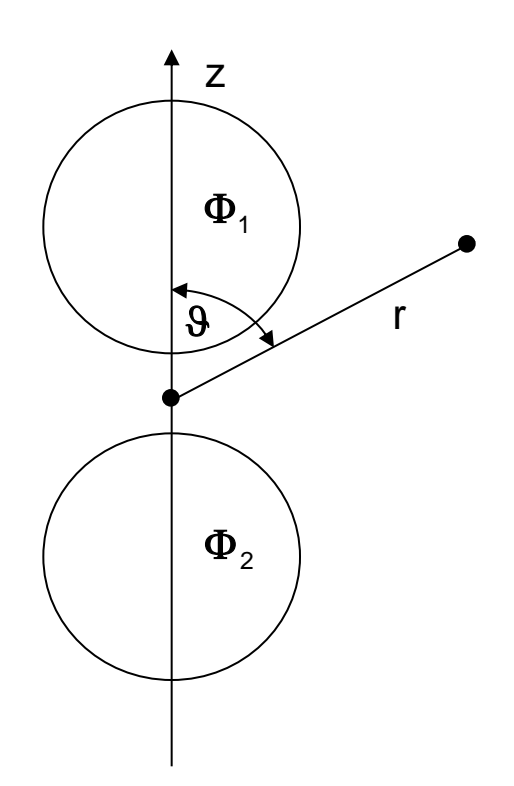
$$c_{11} = Alg_1 \left(\Phi_1\right)/\Phi_1 = \left(4 \pi \epsilon r_0 \Phi_1\right)/\Phi_1$$

$$c_{11} = 4 \pi \epsilon r_0$$

mit  $C_{11} = c_{11}$  folgt auch für die Kapazität

$$C_{11} = 4 \pi \epsilon r_0$$

### 3.7.1.5 Beispiel rotationssymmetrisches Problem



keine Kugelsymmetrie mehr

$$\Phi = \Phi(r, \vartheta)$$
 abhängig von  $\vartheta$ 

$$\Delta \Phi = \frac{1}{r^2} \frac{\partial}{\partial r} \left( r^2 \frac{\partial \Phi(r, \vartheta)}{\partial r} \right) + \frac{1}{r^2} \frac{1}{\sin \vartheta} \frac{\partial}{\partial \vartheta} \left( \sin \vartheta \frac{\partial \Phi(r, \vartheta)}{\partial \vartheta} \right)$$

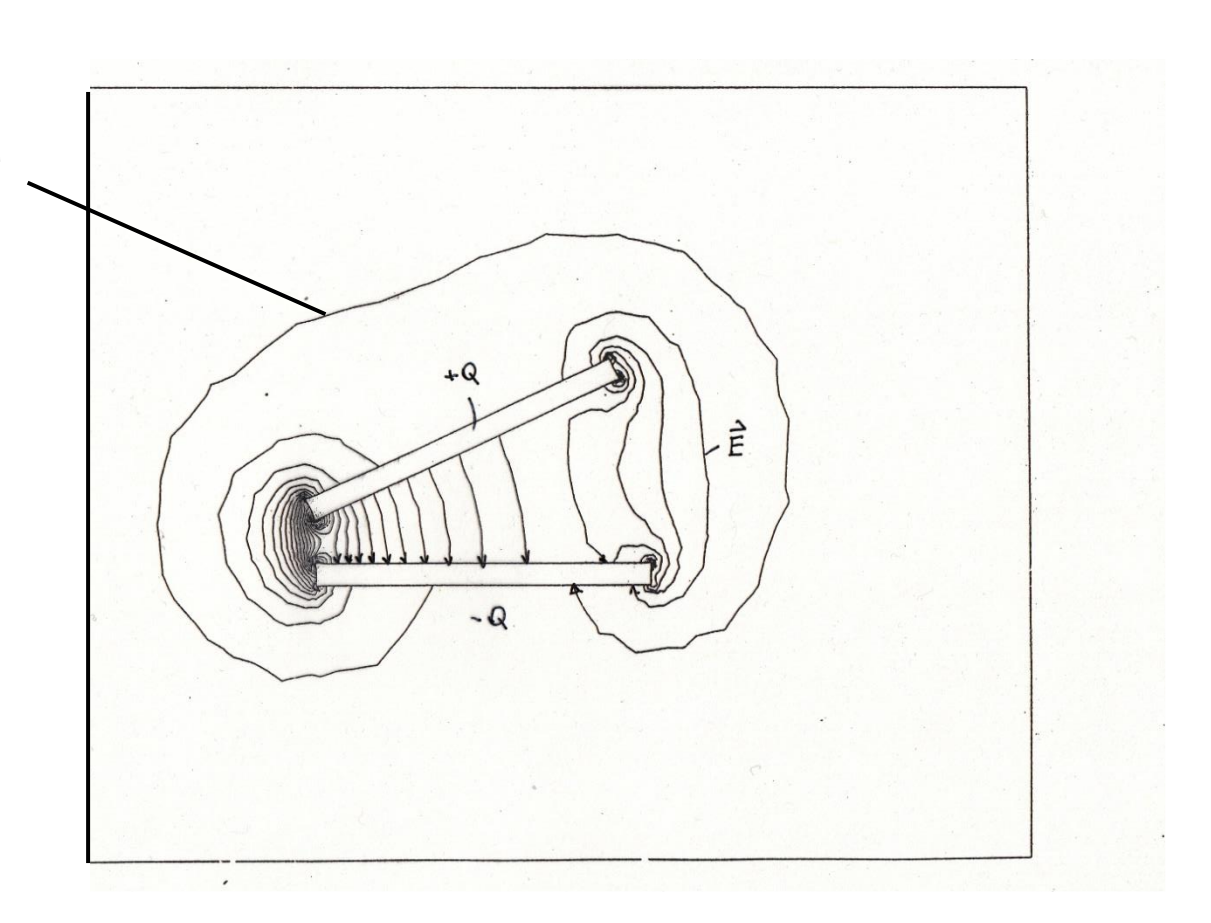


Integration?

Lösung mittels Separation der Variablen oder numerische PDGL - Routine

### 3.7.1.6 Verifikation numerischer Lösungen der Laplace - Gleichung

Beispiel für eine fehlerhafte numerische Simulation



Vergleiche Lösungen von Verfahren

1 und (2)

<u>Verfahren</u> (1) Laplace - Gleichung

$$\Delta\Phi=0$$
  $\Phi_1=\cdots$   $\Phi_2=\cdots$  Laplace geg.Randbedingungen

Raumladungsverteilung (noch) nicht bekannt

 $\Phi(\vec{r})$ 

Lösung der Laplace - Gleichung

$$\rightarrow \vec{E}(\vec{r}) = - \operatorname{grad} \Phi(\vec{r})$$

$$\vec{D}_{H1,2}(\vec{r}) = \varepsilon \cdot \vec{E}_{H1,2}(\vec{r})$$

Feld auf Metalloberflächen 1,2

L,

$$\sigma_{H1,2}(\vec{r}) = \vec{D}_{H1,2}(\vec{r})$$

Oberflächenladungsdichte auf den Metalloberflächen 1,2

\_\_\_

Input für Verfahren

2

# <u>Verfahren</u> 2 Coulomb - Integral

auf Metalloberflächen 1,2 konzentrieren sich die Raumladungen an der Metalloberfläche ≙ Oberflächenladungsdichten σ

$$\rightarrow \rho(\vec{r}) = \begin{cases} \rho_{1,2}(\vec{r}) & \text{für } \vec{r} \approx \text{ Oberfläche 1,2 mit Dicke ds} \\ 0 & \text{sonst} \end{cases}$$

$$\rightarrow \Phi(\vec{r}) = \sum_{i=1}^{2} \left( \frac{1}{4\pi\epsilon} \int_{Vol_{i}} \frac{\rho_{i}(\vec{r}')}{|\vec{r} - \vec{r}_{i}'|} dv' \right)$$

$$= \sum_{i=1}^{2} \left( \frac{1}{4\pi\epsilon} \int_{\text{Vol}_{i}} \frac{\rho_{i} \, ds'}{\left| \vec{r} - \vec{r}_{i} \,' \right|} \, df' \right)$$

mit 
$$dv = df \cdot ds$$
 folgt

mit 
$$\rho \cdot ds = \sigma$$
 folgt

$$\Phi(\vec{r}) = \sum_{i=1}^{2} \left( \frac{1}{4\pi\epsilon} \int_{F_{i}} \frac{\sigma_{ki}(\vec{r}')}{|\vec{r} - \vec{r}_{i}'|} df' \right)$$

$$\Phi(\vec{r}) \stackrel{?}{=} \Phi(\vec{r})$$

Verfahren (2) Verfahren (1)

$$\sigma_{Hi}(\vec{r}) = \vec{D}_{Hi}(\vec{r})$$

Input aus Verfahren (1)

mit

### Zusammenfassung

Lösung der Laplacegleichung ist eine geeignete Methode:

$$\Delta\Phi=0$$

- wenn Äquipotentiallinien durch metallische Flächen vorgegeben sind,
- und wenn das Medium linear und isotrop ist,
- und wenn zwischen den Metallen keine freien Ladungen sind.

### 3.7.2 Lösung der Laplace-Gleichung durch Separation der Variablen

### 3.7.2.1 Kartesische Koordinaten (Rechteck-Hohlleiter)

$$\Delta \Phi = \frac{\partial^2 \Phi}{\partial x^2} + \frac{\partial^2 \Phi}{\partial y^2} + \frac{\partial^2 \Phi}{\partial z^2} = 0$$

$$\Phi = U(x) \cdot V(y) \cdot W(z) \rightarrow V \cdot W \cdot \frac{\partial^2}{\partial x^2} U + U \cdot W \cdot \frac{\partial^2}{\partial y^2} V + U \cdot V \cdot \frac{\partial^2}{\partial z^2} W = 0 \quad \left| \cdot \frac{1}{U \cdot V \cdot W} \right|$$
Separations satz
$$\Rightarrow \frac{1}{U(x)} \frac{\partial^2 U(x)}{\partial x^2} + \frac{1}{V(y)} \frac{\partial^2 V(y)}{\partial y^2} + \frac{1}{W(z)} \frac{\partial^2 W(z)}{\partial z^2} = 0$$

wir haben die Summe dreier Funktionen  $f_x(x)$ ,  $f_y(y)$ ,  $f_z(z)$ ,

diese ist nur Null für alle x, y, z, wenn diese konstant sind

$$f_{x}(x) + f_{y}(y) + f_{z}(z) = 0$$

$$\begin{vmatrix} & & & \\ & & & \\ & & & \end{vmatrix}$$

$$-\alpha^{2} - \beta^{2} + \gamma^{2} = 0$$

wann ist 
$$f_x(x)$$
,  $f_y(y)$ ,  $f_z(z)$ , konstant, unabhängig von x, y, z?

$$f_x(x) = -\alpha^2$$
  $\alpha$  unabhängig von x

$$f_y(y) = -\beta^2$$
  $\beta$  unabhängig von y

$$f_z(z) = +\gamma^2$$
 y unabhängig von z

#### erfüllt für:

$$\frac{1}{U(x)} \frac{d^2 U(x)}{dx^2} = -\alpha^2 \qquad \rightarrow \qquad \frac{d^2 U(x)}{dx^2} + \alpha^2 \cdot U(x) = 0 \qquad \Rightarrow \sin(\alpha x), \cos(\alpha x);$$

$$\frac{1}{V(y)} \frac{d^2 V(y)}{dy^2} = -\beta^2 \qquad \rightarrow \qquad \frac{d^2 V(y)}{dy^2} + \beta^2 \cdot V(y) = 0 \qquad \Rightarrow \sin(\beta y), \cos(\beta y);$$

$$\frac{1}{W(z)} \frac{d^2 W(z)}{dz^2} = +\gamma^2 \qquad \rightarrow \qquad \frac{d^2 W(z)}{dz^2} - \gamma^2 \cdot W(z) = 0 \qquad \Rightarrow e^{\pm \gamma z}$$

 $\gamma^2 = \alpha^2 + \beta^2$ 

Jede Linearkombination ist ebenfalls Lösung der Potentialgleichung

partikuläre Lösung 1

$$\begin{split} \Phi_{ij}(x,y,z) &= A_{ij} \; sin(\alpha_i x) \cdot cos(\beta_j y) \cdot e^{-\gamma_{ij} z} \quad mit \quad \gamma_{ij}^2 = \alpha_i^2 + \beta_j^2 \\ & \qquad \qquad \\ & \qquad \\ & \qquad \qquad \qquad \\ & \qquad \qquad \\ & \qquad \qquad \qquad \\ & \qquad \qquad \\ & \qquad \qquad \qquad \\ & \qquad \qquad \\ & \qquad \qquad \qquad \\ \qquad$$

$$\rightarrow \frac{\partial^2 \Phi_{ij}}{\partial x^2} = A_{ij} (-\alpha_i^2) \sin(\alpha_i x) \cdot \cos(\beta_j y) \cdot e^{-\gamma_{ij} z} = -\alpha_i^2 \Phi_{ij}$$

$$\rightarrow \frac{\partial^2 \Phi_{ij}}{\partial V^2} = -\beta_j^2 \Phi_{ij}$$

$$\rightarrow \frac{\partial^2 \Phi_{ij}}{\partial z^2} = + \gamma_{ij}^2 \Phi_{ij}$$

$$\rightarrow \frac{\partial^2 \Phi_{ij}}{\partial x^2} + \frac{\partial^2 \Phi_{ij}}{\partial y^2} + \frac{\partial^2 \Phi_{ij}}{\partial z^2} = (-\alpha_i^2 - \beta_j^2 + \gamma_{ij}^2) \Phi_{ij} = 0 \cdot \Phi_{ij} = 0$$

 $ightarrow \Phi_{ij}$  ist Teillösung der Laplace - Gl.

## partikuläre Lösung (2)

$$\Phi_{nm}(x,y,z) = A_{nm} \cos(\alpha_n x) \cos(\beta_m y) e^{+\gamma_{nm} z} \quad \text{mit} \quad \gamma_{nm}^2 = \alpha_n^2 + \beta_m^2$$

$$(\text{noch}) \text{ unbekannter Koeffizient}$$

 $ightarrow \Phi_{nm}$  ist ebenfalls Teillösung der Laplace - Gl.

### Zusammengesetzte Lösung:

$$\Phi_{\text{1+2}} = \left(\Phi_{\text{ij}} + \Phi_{\text{nm}}\right)$$

$$\rightarrow \frac{\partial^2 \Phi_{1+2}}{\partial x^2} + \frac{\partial^2 \Phi_{1+2}}{\partial y^2} + \frac{\partial^2 \Phi_{1+2}}{\partial z^2} = 0 \qquad \rightarrow \quad \Phi_{1+2} \qquad \text{ist ebenfalls Lösung}$$

Allgemeine Lösung mit allen Kombinationen von sin, cos, exp (±...)

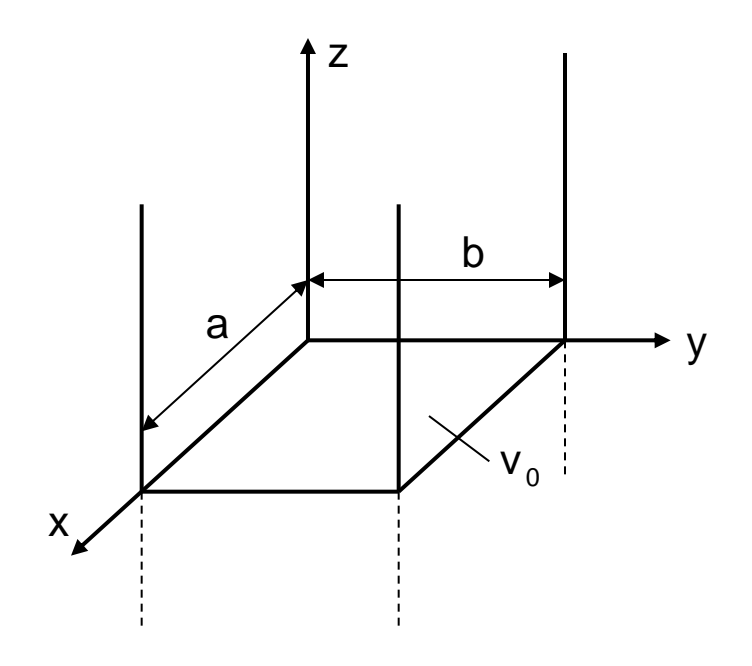
$$\Phi = \sum_{\mathsf{n},\mathsf{m}} \Phi_{\mathsf{n}\mathsf{m}}$$

unbekannte Koeffizienten  $A_{nm}$  bestimmen sich aus Randbedingungen

# Beispiel: Gegeben sei ein rechteckiges metallisches Rohr (Hohlleiter)

### Randbedingungen:

- a)  $\Phi(x,y,z) = 0$  auf dem Rand
- b)  $\Phi(x,y,0)$  vorgegeben =  $V_0(x,y)$
- c) abfallendes Potential in z Richtung



Einschränkung der Lösungsvielfalt durch Randbedingungen  $\Phi = 0$  auf Rand:

$$\Phi(x,y,z) = \sum_{m=1}^{\infty} \sum_{n=1}^{\infty} A_{mn} \cdot \sin(\alpha_n x) \cdot \sin(\beta_m y) \cdot e^{-\gamma_{mn} z}$$

$$\gamma_{mn}^2 = \alpha_n^2 + \beta_m^2$$

nur sin wegen  $\Phi(0, y, z) = 0$  "hintere Wand"

nur sin wegen  $\Phi(x,0,z) = 0$  "linke Wand"

Bestimmung von  $\alpha_n$  und  $\beta_m$  durch Berücksichtigung der weiteren Randbedingungen  $\Phi = 0$ 

am vorderen Deckel 
$$x = a$$
 am rechten Deckel  $y = b$  
$$\Phi(a,y,z) = 0 \to \alpha_n = \frac{n\pi}{a}$$
 
$$\Phi(x,b,z) = 0 \to \beta_m = \frac{m\pi}{b}$$

$$\Phi(x,y,z) = \sum_{m=1}^{\infty} \sum_{n=1}^{\infty} A_{nm} \cdot \sin\left(\frac{n \cdot \pi \cdot x}{a}\right) \cdot \sin\left(\frac{m \cdot \pi \cdot y}{b}\right) \cdot e^{-\gamma_{mn}z} \\ \sin\left(\frac{m \cdot \pi \cdot a}{a}\right) = 0 \\ \sin\left(\frac{m \cdot \pi \cdot b}{b}\right) = 0$$
Randbedingung erfüllt
$$\gamma_{mn} = \sqrt{\left(\frac{n \cdot \pi}{a}\right)^2 + \left(\frac{m \cdot \pi}{b}\right)^2}$$

Bestimmung der Koeffizienten  $A_{nm}$  durch Anpassung an die vorgegebene Randbedingung des Potentialverlaufs  $V_0(x,y)$ 

$$\Phi(x,y,z=0) = V_0(x,y)$$

Sei die Randbedingung z.B.:

$$V_0(x,y) = k \cdot \sin\left(\frac{\pi \cdot x}{a}\right) \sin\left(\frac{\pi \cdot y}{b}\right)$$

$$\boxed{\Phi(x,y,z) = \sum_{m=1}^{\infty} \sum_{n=1}^{\infty} A_{nm} \cdot \sin\left(\frac{n \cdot \pi \cdot x}{a}\right) \cdot \sin\left(\frac{m \cdot \pi \cdot y}{b}\right) e^{-\gamma_{mn} \cdot z}} \quad \Rightarrow A_{nm} = \begin{cases} 0 & n \neq 1, & m \neq 1 \\ k & n = 1, & m = 1 \end{cases}$$

$$\rightarrow \left| \Phi(x, y, z) = k \cdot \sin \left( \frac{\pi \cdot x}{a} \right) \cdot \sin \left( \frac{\pi \cdot y}{b} \right) \cdot e^{-\gamma z} \quad \text{mit} \quad \gamma = \sqrt{\left( \frac{\pi}{a} \right)^2 + \left( \frac{\pi}{b} \right)^2} \quad \text{dim}(k) = V$$

Ist die Laplace - Gleichung erfüllt?

$$\frac{\partial^{2} \Phi}{\partial x^{2}} = -k \left(\frac{\pi}{a}\right)^{2} \cdot \sin \left(\frac{\pi \cdot x}{a}\right) \cdot \sin \left(\frac{\pi \cdot y}{b}\right) \cdot e^{-\gamma z}$$

$$\frac{\partial^{2} \Phi}{\partial y^{2}} = -k \left(\frac{\pi}{b}\right)^{2} \cdot \sin \left(\frac{\pi \cdot x}{a}\right) \cdot \sin \left(\frac{\pi \cdot y}{b}\right) \cdot e^{-\gamma z}$$

$$\frac{\partial^{2} \Phi}{\partial z^{2}} = k \left\{ \left(\frac{\pi}{a}\right)^{2} + \left(\frac{\pi}{b}\right)^{2} \right\} \cdot \sin \left(\frac{\pi \cdot x}{a}\right) \cdot \sin \left(\frac{\pi \cdot y}{b}\right) \cdot e^{-\gamma z}$$

$$\frac{\partial^{2} \Phi}{\partial x^{2}} + \frac{\partial^{2} \Phi}{\partial y^{2}} + \frac{\partial^{2} \Phi}{\partial z^{2}} = 0$$

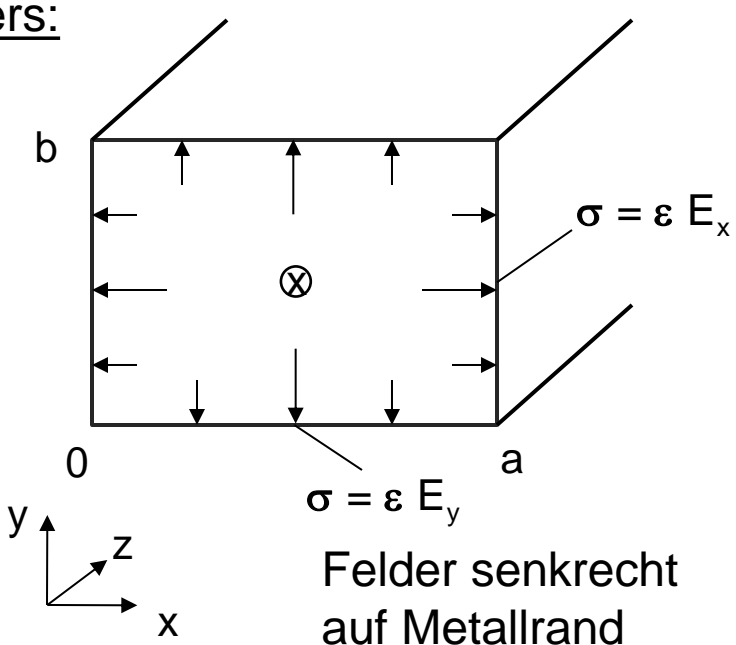
### Berechnung der Felder im Inneren des Hohlleiters:

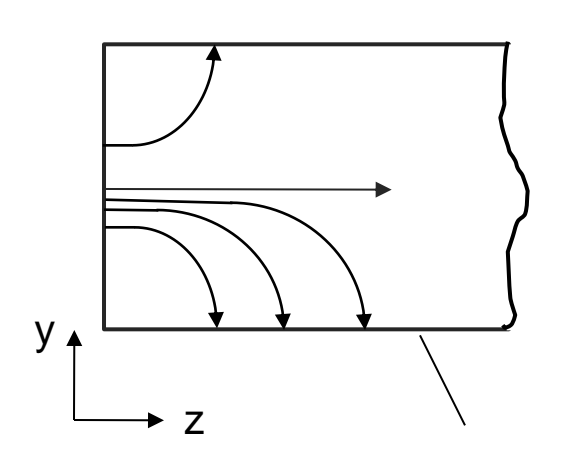
#### **Potential**

$$\Phi = k \sin\left(\frac{\pi x}{a}\right) \sin\left(\frac{\pi y}{b}\right) e^{-\gamma z}$$

Elektrisches Feld  $\vec{E} = ?$ 

$$\begin{split} \mathsf{E}_{\mathsf{z}} &= -\frac{\partial \Phi}{\partial \mathsf{z}} = + \gamma \; \mathsf{k} \; \mathsf{sin} \bigg( \frac{\pi \mathsf{x}}{\mathsf{a}} \bigg) \; \mathsf{sin} \bigg( \frac{\pi \mathsf{y}}{\mathsf{b}} \bigg) \; \mathsf{e}^{-\gamma \mathsf{z}} \\ \mathsf{E}_{\mathsf{x}} &= -\frac{\partial \Phi}{\partial \mathsf{x}} = - \; \mathsf{k} \; \frac{\pi}{\mathsf{a}} \; \mathsf{cos} \bigg( \frac{\pi \mathsf{x}}{\mathsf{a}} \bigg) \; \mathsf{sin} \bigg( \frac{\pi \mathsf{y}}{\mathsf{b}} \bigg) \; \mathsf{e}^{-\gamma \mathsf{z}} \\ \mathsf{E}_{\mathsf{y}} &= -\frac{\partial \Phi}{\partial \mathsf{y}} = - \; \mathsf{k} \; \frac{\pi}{\mathsf{b}} \; \mathsf{sin} \bigg( \frac{\pi \mathsf{x}}{\mathsf{a}} \bigg) \; \mathsf{cos} \bigg( \frac{\pi \mathsf{y}}{\mathsf{b}} \bigg) \; \mathsf{e}^{-\gamma \mathsf{z}} \end{split}$$





### Vorgehen bei allgemeinen Randbedingungen V<sub>0</sub> (x,y)

wenn sich  $V_0(x,y)$  als Produkt zweier Funktionen in x und y darstellen lässt, gilt

$$\Phi(x,y,0) \stackrel{!}{=} V_0(x,y) = f_0(x) \cdot g_0(y) \text{ mit } f_0(x) = 0 \text{ an } x = 0,a$$
 entsprechend Randbed. 
$$g_0(y) = 0 \text{ an } y = 0,b$$
 
$$\Phi = 0 \text{ am Rand}$$

$$\Phi(x,y,z=0) = \sum_{m=1}^{\infty} \sum_{n=1}^{\infty} A_{mn} \sin\left(\frac{n\pi x}{a}\right) \cdot \sin\left(\frac{m\pi y}{b}\right) \stackrel{!}{=} f_0(x) \cdot g_0(y)$$

Zerlegung von  $f_0(x)$ ,  $g_0(y)$  nach Fourier:

$$f_0(x) = \sum_{n=1}^{\infty} a_n \sin\left(\frac{n\pi x}{a}\right) \quad \text{mit} \quad a_n = \frac{2}{a} \int_0^a f_0(x) \sin\left(\frac{n\pi x}{a}\right) dx$$

$$g_0(x) = \sum_{m=1}^{\infty} b_m \sin\left(\frac{m\pi y}{b}\right) \quad \text{mit} \quad b_m = \frac{2}{b} \int_0^b g_0(y) \sin\left(\frac{m\pi y}{b}\right) dy$$

Koeffizientenvergleich:

$$A_{mn} = a_n \cdot b_m$$

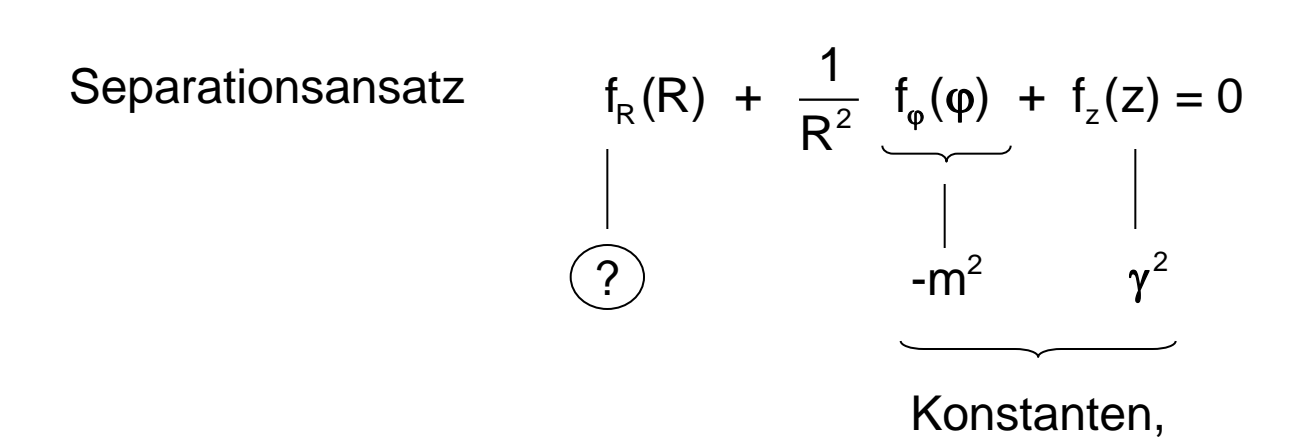
$$a_n \cdot b_m$$

#### 3.7.2.2 Zylinderkoordinaten (Rundhohlleiter)

$$\Delta \Phi = \frac{1}{R} \cdot \frac{\partial}{\partial R} \left( R \frac{\partial \Phi}{\partial R} \right) + \frac{1}{R^2} \cdot \frac{\partial^2 \Phi}{\partial \varphi^2} + \frac{\partial^2 \Phi}{\partial z^2} = 0$$

$$\Phi = U(R) \cdot V(\varphi) \cdot W(z) \rightarrow \frac{1}{U(R)} \cdot \frac{1}{R} \cdot \frac{\partial}{\partial R} \left( R \frac{\partial U}{\partial R} \right) + \frac{1}{V(\varphi)} \cdot \frac{1}{R^2} \cdot \frac{\partial^2 V}{\partial \varphi^2} + \frac{1}{W} \frac{\partial^2 W}{\partial z^2} = 0$$

unabhängig von φ bzw. z



#### 3.7.2.3 Kugelkoordinaten

$$\Delta \Phi = \frac{1}{r^2} \frac{\partial}{\partial r} \left( r^2 \frac{\partial \Phi}{\partial r} \right) + \frac{1}{r^2 \sin \vartheta} \frac{\partial}{\partial \vartheta} \left( \sin \vartheta \frac{\partial \Phi}{\partial \vartheta} \right) + \frac{1}{r^2 \sin^2 \vartheta} \frac{\partial^2 \Phi}{\partial \varphi^2} = 0$$
 /\frac{r^2 \sin^2 \theta}{U \cdot V \cdot W}

$$\Phi = \mathsf{U}(\mathsf{r}) \cdot \mathsf{V}(\vartheta) \cdot \mathsf{W}(\varphi)$$

$$\rightarrow \frac{\sin^2 \theta}{U(r)} \frac{\partial}{\partial r} \left( r^2 \frac{U(r)}{\partial r} \right) + \frac{\sin \theta}{V(\theta)} \frac{\partial}{\partial \theta} \left( \sin \theta \frac{\partial V(\theta)}{\partial \theta} \right) + \underbrace{\frac{1}{W(\phi)} \frac{\partial^2 W(\phi)}{\partial \phi^2}}_{-m^2} = 0$$

Separationsansatz

$$\rightarrow \frac{d^2W(\varphi)}{\partial \varphi^2} + m^2W(\varphi) = 0$$

gewöhnliche DGL der sin-,cos-Funktionen

 $\rightarrow$  W( $\phi$ ) ~ sin(m $\phi$ ), cos(m $\phi$ )

m ganze Zahl: Erfüllung der Randbedingung

$$W(\varphi) = W(\varphi + 2\pi)$$

### 3.7.3 Lösung der Poisson - Gleichung

$$\left| \Delta \Phi \left( \vec{r} \right) = - \frac{\rho \left( \vec{r} \right)}{\varepsilon} \right|$$

$$\Phi(\vec{r}) = \Phi_{P}(\vec{r}) + \Phi_{L}(\vec{r})$$

 $\Phi_{P}(\vec{r})$ : partikuläre Lösung

 $\Phi_{L}(\vec{r})$ : homogene Lösung der Laplace-Gleichung; ungleich Null im Falle von geladenen Elektroden; Randbedingungen durch deren Potentiale.

Lösung der Poisson - Gleichung (partikuläre Lösung):

$$\Phi_{P}(\vec{r}) = \frac{1}{4\pi\epsilon} \int \frac{\rho(\vec{r}')}{|\vec{r} - \vec{r}'|} dv'$$

Coulomb - Integral

#### 3.7.4 Spiegelungsmethode

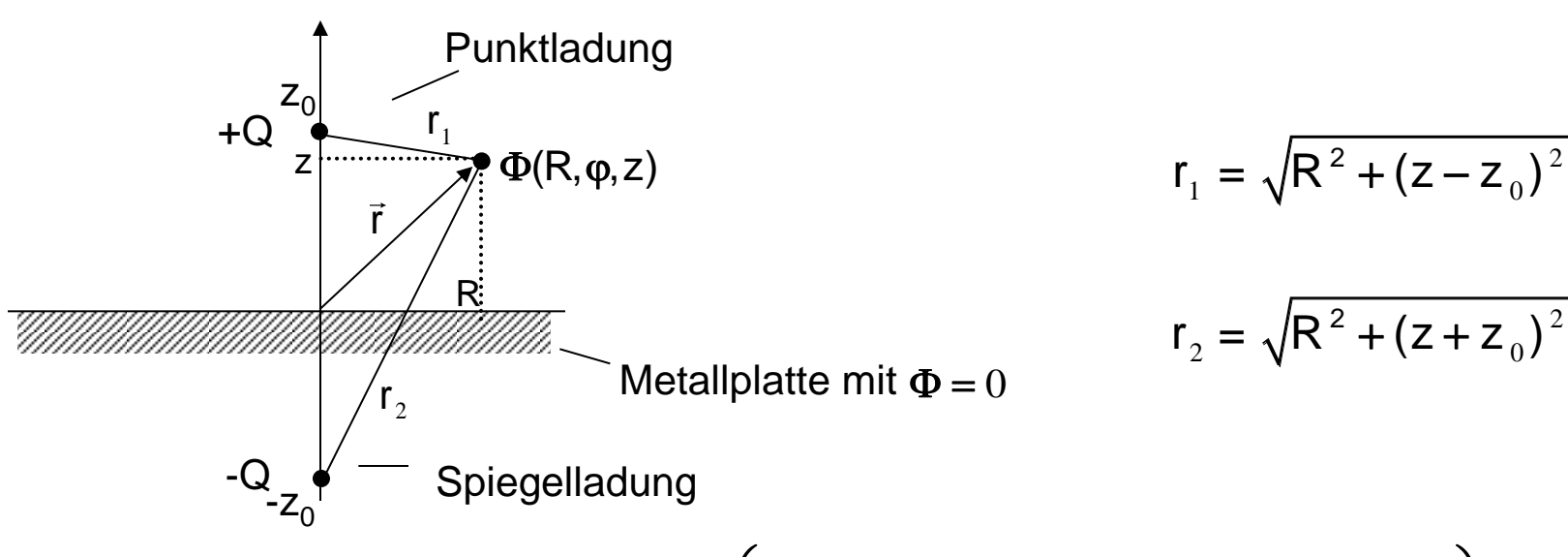
"elektrisches Spiegelbild"

Anwendungsbereich: Punktförmige Ladungen vor Metallplatten

Vorgehen: Metallplatte "wegdenken" und durch Anbringen von "fiktiven" Ladungen eine

Äquipotentialfläche an der Stelle der Metallplatte mit gleichem Potential erzeugen.

Beispiel: Punktladung vor ebener Metallplatte



$$\Phi(R, \varphi, z) = \frac{1}{4\pi\epsilon} \left( \frac{Q}{r_1} - \frac{Q}{r_2} \right) = \frac{1}{4\pi\epsilon} \left( \frac{1}{\sqrt{R^2 + (z - z_0)^2}} - \frac{1}{\sqrt{R^2 + (z + z_0)^2}} \right) \cdot Q$$

 $\Phi(R, \varphi, z) = 0$  für z = 0 und beliebige  $R, \varphi$  (entspricht Potentialfläche der Metallplatte)

#### **Zylinderkoordinaten**

wegen Zylindersymmetrie

$$\Phi(R, \varphi, z) = \frac{1}{4\pi\epsilon} \left( \frac{Q}{r_1} - \frac{Q}{r_2} \right)$$

$$= \frac{1}{4\pi\epsilon} Q \left( \frac{1}{\sqrt{R^2 + (z - z_0)^2}} - \frac{1}{\sqrt{R^2 + (z + z_0)^2}} \right)$$

$$\begin{split} \vec{E} &= - \text{grad } \Phi = - \frac{\partial \Phi}{\partial R} \ \vec{e}_R - \frac{1}{R} \ \frac{\partial \Phi}{\partial \phi} \ \vec{e}_{\phi} - \frac{\partial \Phi}{\partial z} \ \vec{e}_z \\ &= - \frac{Q}{4\pi\epsilon} \Biggl[ \Biggl( - \frac{R}{\left( R^2 + (z - z_0)^2 \right)^{\frac{3}{2}}} + \frac{R}{\left( R^2 + (z + z_0)^2 \right)^{\frac{3}{2}}} \Biggr) \vec{e}_R \\ &+ \Biggl( \frac{- (z - z_0)}{\left( R^2 + (z - z_0)^2 \right)^{\frac{3}{2}}} + \frac{(z + z_0)}{\left( R^2 + (z + z_0)^2 \right)^{\frac{3}{2}}} \Biggr) \vec{e}_z \\ &+ 0 \cdot \vec{e}_{\phi} \Biggr] \end{split}$$

Auf Metallplattenoberfläche bei z = 0 gilt:

$$\vec{E}$$
 (R, z=0) = 0 ·  $\vec{e}_R$  -  $\frac{Q}{4\pi\epsilon} \frac{2 z_0}{\left(R^2 + z_0^2\right)^{3/2}} \vec{e}_z$ 

Das elektrische Feld steht senkrecht auf der Metalloberfläche.

Die Oberflächenladungsdichte  $\sigma(R)$  ist gegeben durch

$$\sigma(R) = \varepsilon E_z (R, z=0)$$

$$= -\frac{Q}{4\pi} \frac{2z_0}{(R^2 + z_0^2)^{3/2}}$$

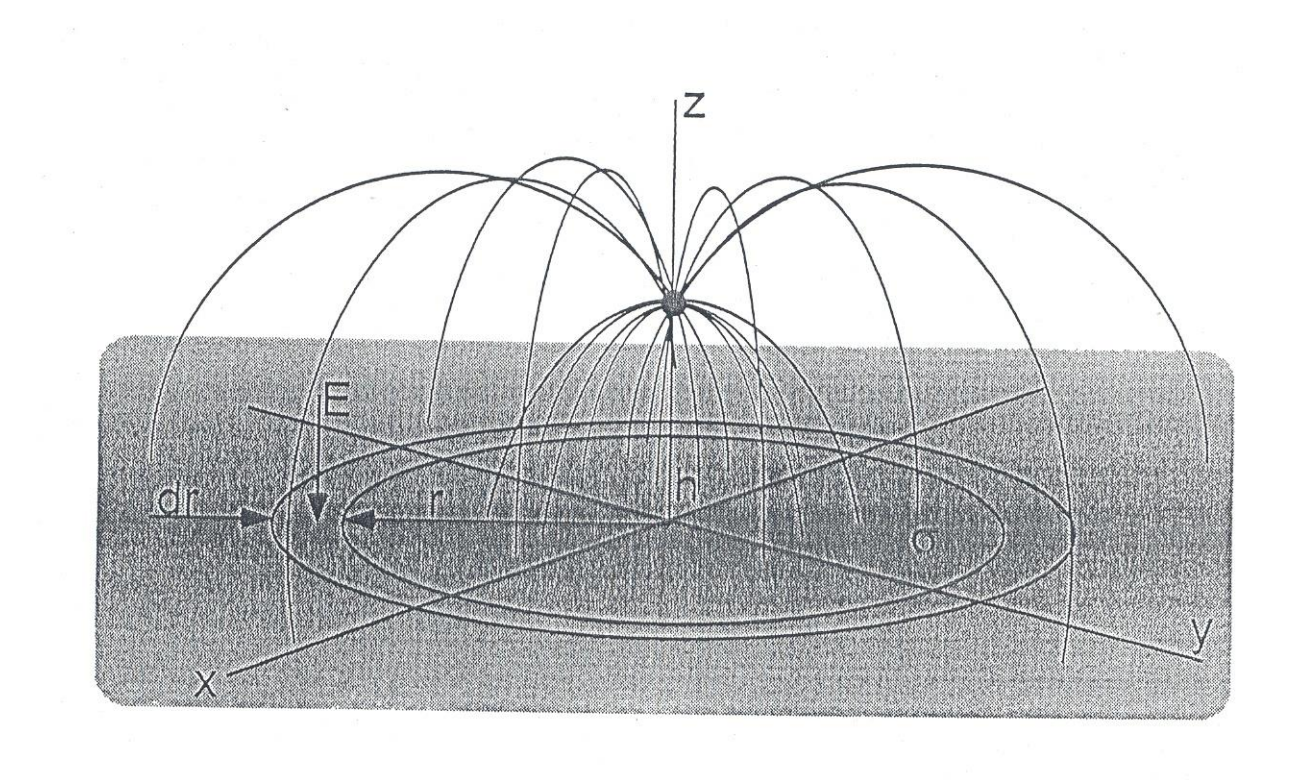
Die gesamte Influenzladung auf der Metallplatte

$$Q_{inf} = \int_{F} \sigma \, df = \int_{0}^{\infty} \int_{0}^{2\pi} \sigma(R) \, R \, d\phi \, dR$$

$$= -\frac{Q}{4\pi} \cdot 2\pi \int_{0}^{\infty} \frac{2 \, z_0}{\left(R^2 + z_0^2\right)^{\frac{3}{2}}} \, R \, dR$$

$$= -Q \cdot z_0 \left[ \frac{-1}{\left(R^2 + z_0^2\right)^{\frac{1}{2}}} \right]_{0}^{\infty} = +Q \, z_0 \left(0 - \frac{1}{z_0}\right) = -Q$$

ist gleich groß wie die Punktladung Q, aber mit negativem Vorzeichen.



## 4 Stationäre elektrische Strömungsfelder

### 4.1 Erhaltung der Ladung

$$rot \vec{H} = \vec{J} + \frac{\partial}{\partial t} \vec{D}$$

Maxwell 
$$rot \vec{H} = \vec{J} + \frac{\partial}{\partial t} \vec{D}$$
  $\rightarrow div rot \vec{H} = div \vec{J} + div \frac{\partial \vec{D}}{\partial t}$ 

$$0 = \operatorname{div} \vec{J} + \frac{\partial}{\partial t} \operatorname{div} \vec{D}$$

$$\operatorname{div}\!\left(\operatorname{rot}\;\overrightarrow{H}\right) \equiv 0$$

Maxwell 
$$| \text{div } \vec{D} = \rho |$$

### Kontinuitätsgleichung der Ladung

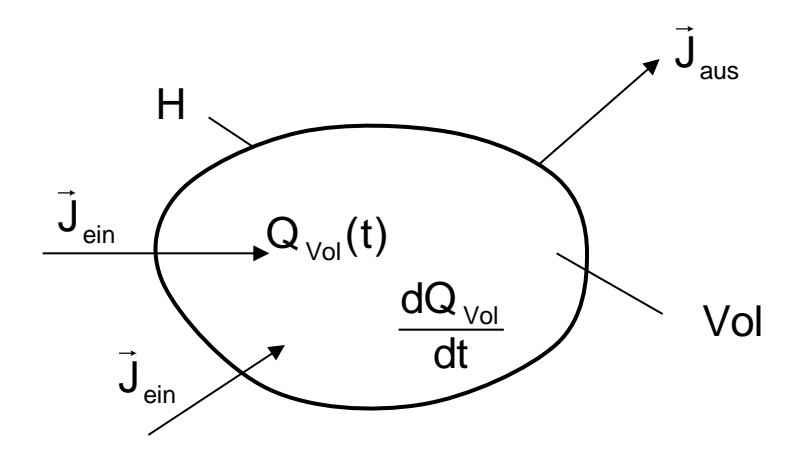
$$\left| \operatorname{div} \vec{J} + \frac{\partial}{\partial t} \rho = 0 \right|$$

$$\int \operatorname{div} \vec{J} \, dv + \frac{\partial}{\partial t} \int \rho \, dv = 0 \qquad \rightarrow \oint \vec{J} \cdot d\vec{f} + \frac{\partial}{\partial t} \int \rho \, dv = 0$$

Bilanzgleichung der Ladung

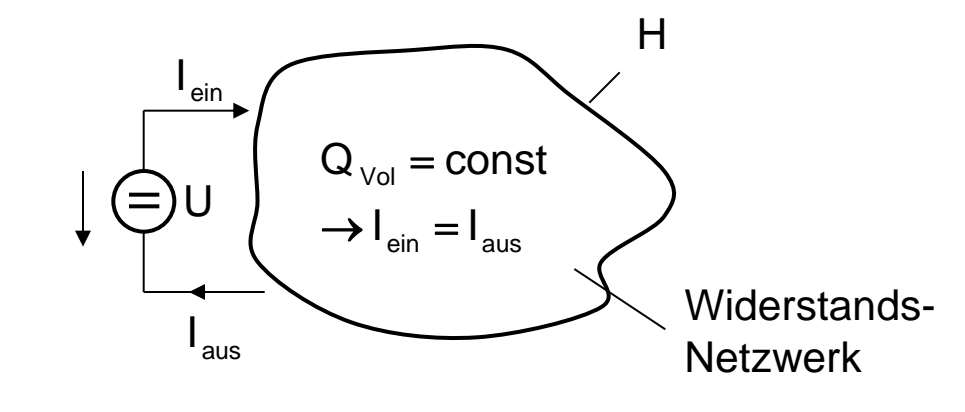
$$\oint \vec{J} \cdot d\vec{f} + \frac{dQ_{vol}}{dt} = 0$$
 Ladung geht nicht verloren

$$\oint_{H} \vec{J} \cdot d\vec{f} = - \frac{dQ_{Vol}}{dt}$$

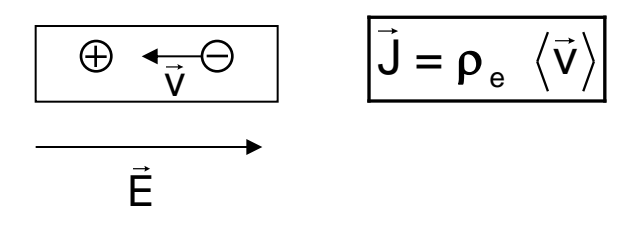


 $Q_{Vol} = const. z.B. Null$ 

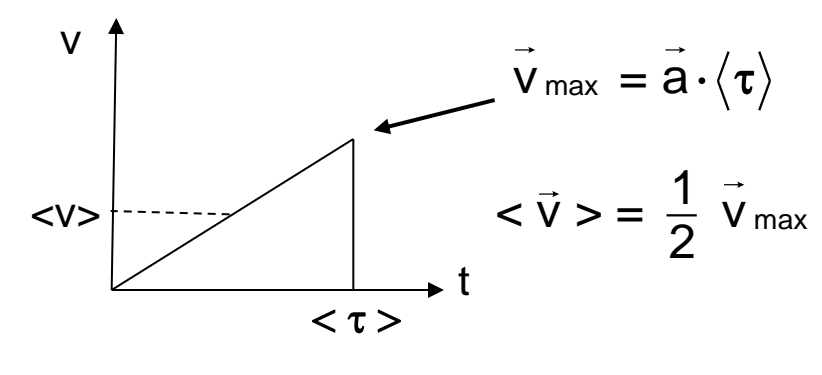
Ladungs-Erhaltung



### **4.2 Ohmsches Gesetz**



$$\vec{F} = m_e \vec{a} = q_e \vec{E} \rightarrow \vec{a} = \frac{q_e}{m_e} \vec{E}$$



$$\rightarrow$$
  $\vec{v} = \vec{a} \cdot t = \frac{q_e}{m_e} \vec{E} \cdot t$ 

Stöße Elektron/Ion → Abbremsung → mittl. freie Flugzeit <τ>zwischen zwei Stößen

$$\rightarrow <\vec{v}> = \frac{1}{2} \frac{q_e}{m_e} < \tau > \vec{E}$$

$$\rightarrow \vec{J} = \rho_e \frac{1}{2} \frac{q_e}{m_e} < \tau > \vec{E} \rightarrow \vec{J} = \kappa \vec{E}$$

#### **Ohmsches Gesetz**

Die Bewegung der Elektronen im Metall ist die Überlagerung aus

- zufällig gerichteter thermischer Bewegung, abhängig von Temperatur T

$$<\vec{v}_{th}>=0$$
  $< v_{th}>=f(T) \neq 0$ 

- gerichteter Bewegung in Richtung des elektr. Feldes, abhängig von E

$$\langle \vec{V} \rangle \sim \vec{E}$$
  $\langle V^{th} \rangle \gg \langle V \rangle$ 

- wobei

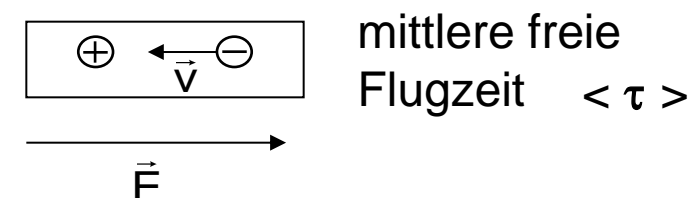
die mittlere freie Weglänge zwischen zwei Stößen des Elektrons mit den Ionen < s > abhängig ist von den Abständen der Ionen voneinander

Die mittlere Stoßzeit  $<\tau>$  ergibt sich aus der mittleren freien Weglänge < s > und der dominanten thermischen Geschwindigkeit < v  $_{th}(T)$  >

$$| \langle \tau (T) \rangle = \frac{\langle s \rangle}{\langle v_{th}(T) \rangle} \rightarrow \vec{J} = \rho_e \frac{1}{2} \frac{q_e}{m_e} \frac{\langle s \rangle}{\langle v_{th}(T) \rangle} \vec{E} \rightarrow \vec{J} = \kappa(T) \vec{E}$$

$$| mit \kappa(T) \sim \frac{\langle s \rangle}{\langle v_{th}(T) \rangle}$$

### 4.3 Ohmsche Verlustleistung



$$\vec{F} = m_e \vec{a} = q_e \vec{E} \rightarrow \vec{v}_{max} = \frac{q_e}{m_e} \vec{E} \cdot < \tau >$$

Kin. Energie des Einzelelektrons:

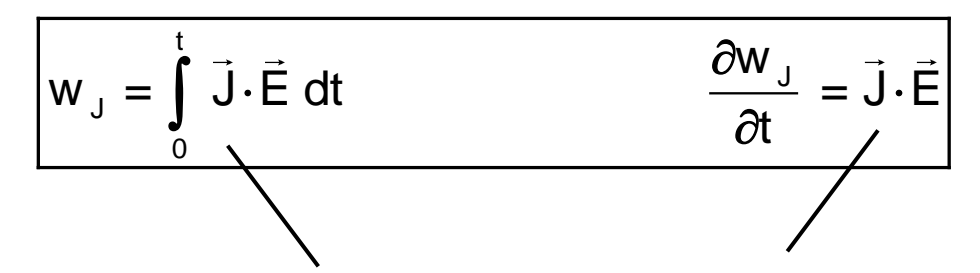
$$E_{kin} = \frac{1}{2} m_e v_{max}^2$$

Anzahl Elektronen pro Volumeneinheit

$$n = \frac{\rho_{el}}{q_{e}}$$

- Beschleunigung der Elektronen durch el. Feld
- Stöße Elektronen/Ionen
- Abbremsung der Elektronen
- Abgabe kinetische Energie in thermische Energie
- Erwärmung
- Joulesche Verluste

Umgesetzte Energie pro Volumeneinheit in Stoßzeit  $\langle \tau \rangle$ :



"verheizte" Joulesche Wärme

Leistungsdichte

Einheit (w<sub>j</sub>) = 
$$\frac{A}{m^2} \cdot \frac{V}{m} \cdot s = \frac{Joule}{m^3}$$

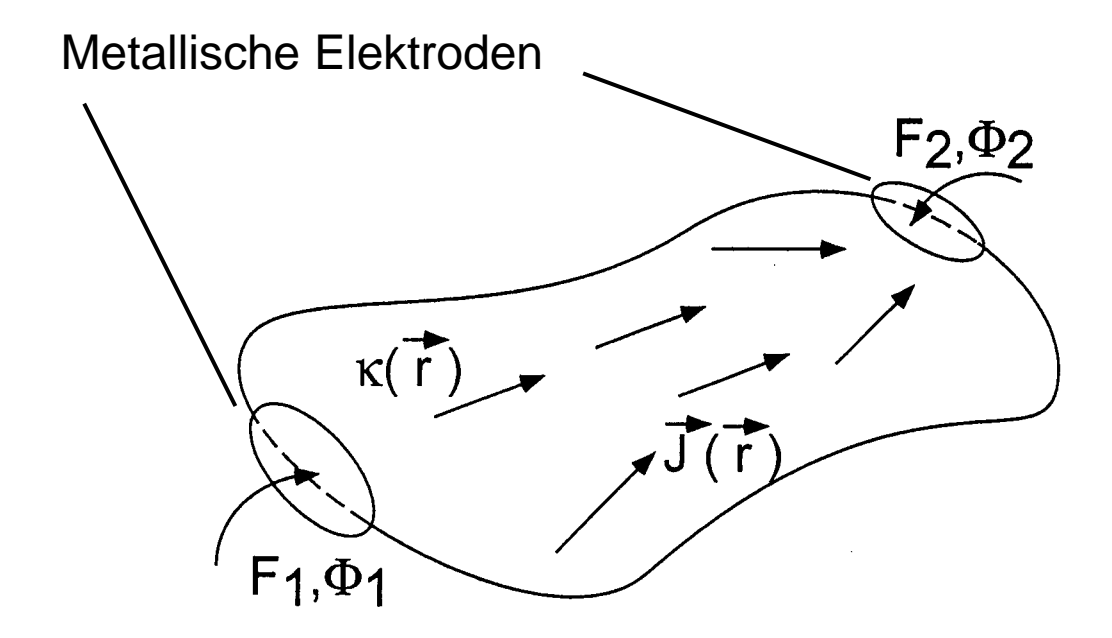
$$\vec{J} = \kappa \cdot \vec{E}$$
  $\rightarrow W_J = \kappa \int_0^t \vec{E}^2 dt = \frac{1}{\kappa} \int_0^t \vec{J}^2 dt$ 

#### **Gesamtleistung:**

$$\frac{dW_J}{\partial t} = \int \vec{J} \cdot \vec{E} \ dv = \int \vec{J} \cdot \vec{E} \ d\vec{f} \ d\vec{s} = U \cdot I$$

$$\frac{dW_J}{\partial t} = R \cdot I^2 = \frac{U^2}{R}$$

#### **4.4 Ohmscher Widerstand**



$$U = \Phi_2 - \Phi_1 = -\int_1^2 \vec{E} d\vec{s} \qquad I = \int_E \vec{J} d\vec{f}$$

$$R = \frac{U}{I} = \frac{-\int_{1}^{2} \vec{E} d\vec{s}}{\int_{F_{1}} \vec{J} d\vec{f}} = \frac{\Phi_{2} - \Phi_{1}}{\int_{F_{1}} \vec{J} d\vec{f}}$$

$$I = \int_{F_c} \vec{J} d\vec{f}$$

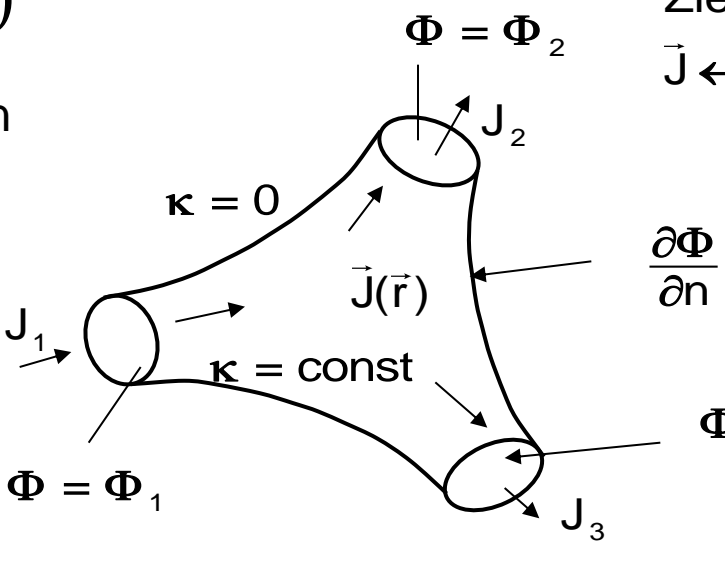
 $\Phi_2$  und  $\Phi_1$  sind bekannt.

Verteilung von J über Elektroden unbekannt

### 4.5 Laplace-Gleichung für stationäre Strömungsfelder

Ziel: Berechnung von  $J(\vec{r})$ innen bei gegebenen Randbedingungen an den Ein-Ausgängen

 $\Phi_1$ ,  $\Phi_2$ ,  $\Phi_3$ 



Ziel:

$$\vec{J} \leftarrow \kappa \vec{E} \leftarrow -\kappa \text{ grad} \Phi \Phi = ?$$

$$\frac{\partial \Phi}{\partial n} = 0$$

$$\Phi = \Phi_3$$

Randbedingungen für Laplace-Gleichung für  $\rho = 0$ im Inneren

Im Inneren für  $\rho = 0$ 

$$\rightarrow$$
  $\vec{E} = - \operatorname{grad} \Phi$ 

$$\rightarrow$$
 div  $\vec{D} = 0$ 

$$\operatorname{div}\left(\varepsilon\cdot\vec{\mathsf{E}}\right)=0$$

Linear & isotrop mit 
$$\vec{D} = \varepsilon \cdot \vec{E}$$
  $\rightarrow$  div  $(\varepsilon \cdot \vec{E}) = 0$   $\rightarrow \varepsilon$  div grad  $\Phi + \text{grad } \varepsilon \cdot \text{grad } \Phi = 0$ 

$$\rightarrow$$
 div grad  $\Phi = 0$ 

Null bei  $\varepsilon = \text{const.}$ 

$$\Delta \Phi = 0$$
 Laplace-Gleichung

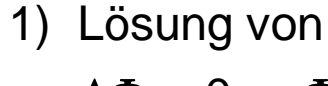
$$\vec{J} = \kappa \cdot \vec{E} = -\kappa \cdot \text{grad } \Phi$$

$$\Delta\Phi = 0$$

$$\frac{1}{R} \frac{\partial}{\partial R} \left( R \frac{\partial \Phi}{\partial R} \right) + \frac{1}{R^2} \frac{\partial^2 \Phi}{\partial \varphi^2} + \frac{\partial^2 \Phi}{\partial z^2} = 0$$

$$\frac{\partial \Phi}{\partial z} = c_1$$

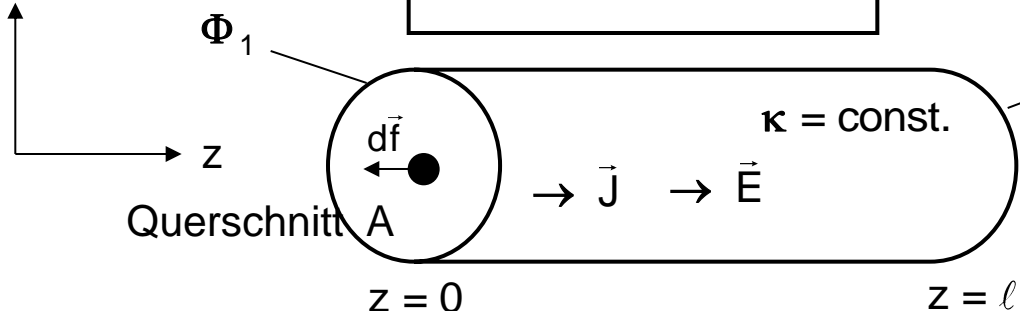
$$\Phi(z) = c_1 \cdot z + c_2$$



$$\Delta\Phi = 0 \Rightarrow \Phi(z)$$

2) 
$$\vec{E} = -grad \Phi$$

3) 
$$\vec{J} = \kappa \vec{E}$$



#### Randbedingungen:

$$\Phi(z=0) = \Phi_1 \rightarrow c_2 = \Phi_1$$

$$\Phi(z = \ell) = \Phi_2$$
  $\rightarrow$   $C_1 \ell + \Phi_1 = \Phi_2$   $\rightarrow$   $C_1 = (\Phi_2 - \Phi_1)/\ell$ 

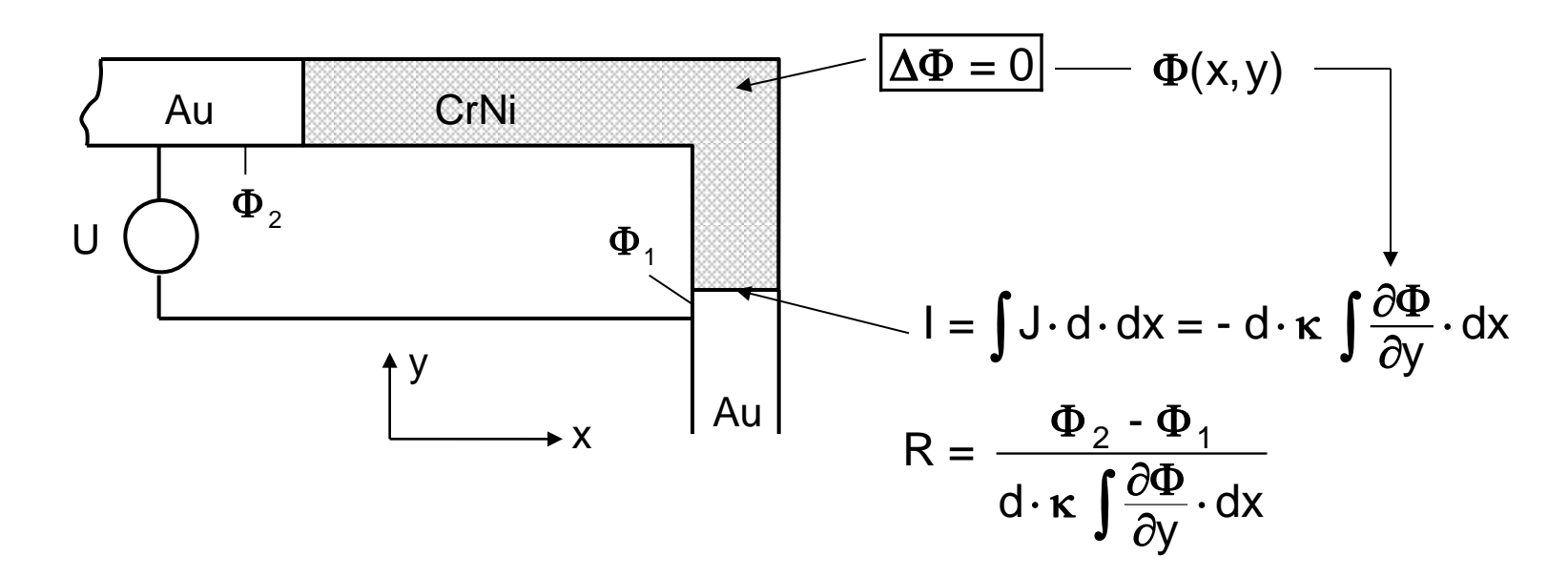
$$\rightarrow \Phi(z) = \frac{(\Phi_2 - \Phi_1)}{\ell} \cdot z + \Phi_1 \qquad \vec{E}$$

$$R = \frac{-\int \vec{E} \, d\vec{s}}{\int \vec{J} \, d\vec{f}} = \frac{\Phi_2 - \Phi_1}{-\kappa \cdot \frac{\partial \Phi}{\partial z} (-A)} = \frac{\Phi_2 - \Phi_1}{\kappa \cdot \frac{\Phi_2 - \Phi_1}{\ell} \cdot A} = \boxed{\frac{\ell}{\kappa \cdot A} = R}$$

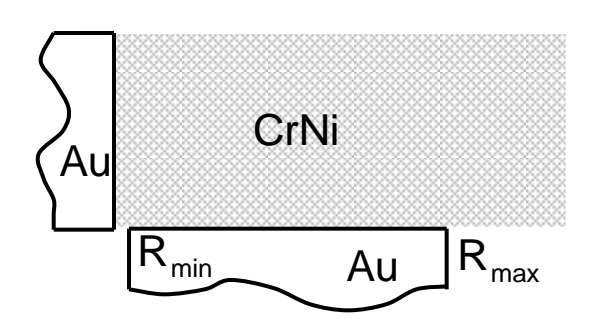
Beispiel: Gegeben: leitendes Widerstandsmaterial als strukturierter Dünnfilm (Dicke d)

Gesucht: Stromdichte im Material und Gesamtwiderstand

Struktur 1:



Struktur 2:



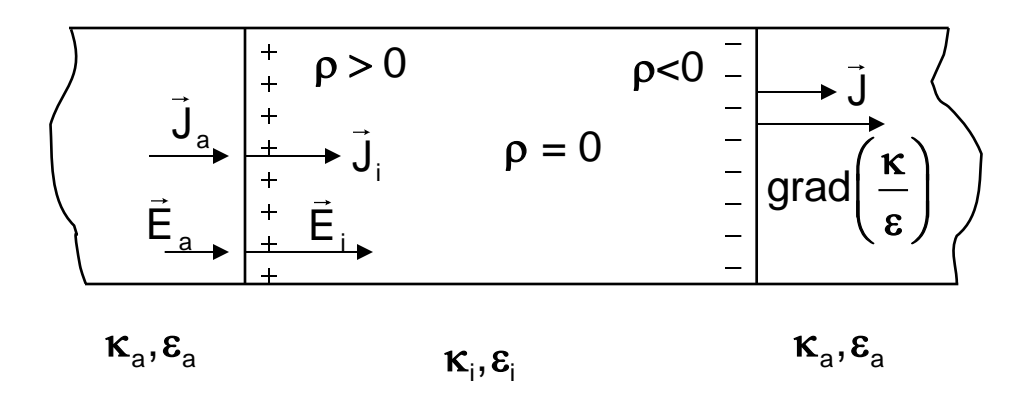
### 4.6 Stromdichte und Raumladungsdichte an Grenzflächen

$$\begin{split} \text{div } \vec{J} + \frac{\partial \rho}{\partial t} &= 0 \end{split} \quad \text{Station\"{a}r hei} \quad \text{Rt} \quad \frac{\partial \rho}{\partial t} &= 0 \\ \vec{D} &= \epsilon \cdot \vec{E} \\ \vec{J} &= \kappa \cdot \vec{E} \end{split} \quad \vec{J} &= \frac{\kappa}{\epsilon} \; \vec{D} \\ \rightarrow \text{div } \left(\frac{\kappa}{\epsilon} \; \vec{D}\right) &= 0 \end{split}$$
 
$$\frac{\kappa}{\epsilon} \cdot \text{div } \vec{D} + \vec{D} \cdot \text{grad } \left(\frac{\kappa}{\epsilon}\right) &= 0 \\ \vec{div } \vec{D} &= \rho \; \text{und } \vec{D} = \epsilon/\kappa \; \vec{J} \; \Rightarrow \; \frac{\kappa}{\epsilon} \cdot \rho + \frac{\epsilon}{\kappa} \; \vec{J} \cdot \text{grad } \left(\frac{\kappa}{\epsilon}\right) &= 0 \end{split}$$
 
$$Zusammenhang \; zwischen \; Strömen \; und \; dadurch \; erzeugten \; Raumladungen \end{split}$$

In Gebieten ungeladener Leiter, wo  $\frac{\kappa}{\epsilon}$  konstant ist, gibt es keine freie Raumladung.

An Grenzflächen mit unterschiedlichen ε oder κ können Ladungen auftreten, solange Ströme fließen.

#### Grenzflächen - Ladungen



$$\left(\frac{\kappa_{i}}{\epsilon_{i}}\right) < \left(\frac{\kappa_{a}}{\epsilon_{a}}\right)$$
 "gute Außenleiter"

$$\boxed{\frac{\kappa}{\epsilon}\rho = -\frac{\epsilon}{\kappa} \ \vec{J} \cdot \operatorname{grad}\left(\frac{\kappa}{\epsilon}\right)}$$

"Ladungserhaltung": 
$$\vec{J}_a = \vec{J}_i = \vec{J}$$
  
"Ohm"  $\vec{J} = \kappa \vec{E}$   $\kappa_a \vec{E}_a = \kappa_i \vec{E}_i$ 

$$\rightarrow \vec{\mathsf{E}}_{\mathsf{a}} = \frac{\kappa_{\mathsf{i}}}{\kappa_{\mathsf{a}}} \; \vec{\mathsf{E}}_{\mathsf{i}}$$

$$D_i$$
 -  $D_a$  =  $\sigma$  Oberflächenladungs-  
Dichte

$$\vec{D} = \varepsilon_r \varepsilon_0 \vec{E}$$

$$\vec{E}_{a} = \frac{\kappa_{i}}{\kappa_{a}} \vec{E}_{i}$$

$$\vec{E}_{i} = \vec{J}/\kappa_{i}$$

$$\mathbf{\epsilon}_{i} \, \mathbf{\epsilon}_{0} \, \mathbf{E}_{i} \, - \, \mathbf{\epsilon}_{a} \, \mathbf{\epsilon}_{0} \, \mathbf{E}_{a} = \mathbf{\sigma}$$

$$\epsilon_{i} \epsilon_{0} E_{i} - \epsilon_{a} \epsilon_{0} \frac{\kappa_{i}}{\kappa_{a}} E_{i} = \sigma$$

$$\frac{\boldsymbol{\epsilon}_{i} \; \boldsymbol{\epsilon}_{0}}{\boldsymbol{\kappa}_{i}} \cdot \boldsymbol{J} \; - \; \frac{\boldsymbol{\epsilon}_{a} \; \boldsymbol{\epsilon}_{0}}{\boldsymbol{\kappa}_{i}} \; \frac{\boldsymbol{\kappa}_{i}}{\boldsymbol{\kappa}_{a}} \cdot \boldsymbol{J} = \boldsymbol{\sigma}$$

$$\rightarrow \boxed{\sigma = \left(\frac{\varepsilon_{i} \, \varepsilon_{0}}{\kappa_{i}} - \frac{\varepsilon_{a} \, \varepsilon_{0}}{\kappa_{a}}\right) J}$$

An Grenzen unterschiedlicher Leitfähigkeit bzw. rel. Dielektrizitätskonstanten gibt es eine Proportionalität zwischen der Oberflächenladungsdichte und der Stromdichte.

Die Oberflächenladungsdichten verursachen ein elektrisches Feld, welches frei bewegliche Ladungsträger antreibt und so eine Stromdichte erzeugt.

## 5 Streng stationäre Magnetfelder

### 5.1 Kräfte auf bewegte Ladungen und stromdurchflossene Leiter

### Magnetische Flussdichte B

Definiert über Kraft auf bewegte Ladung Q

$$\vec{F} = Q \cdot (\vec{V} \times \vec{B})$$

Ursprünglich definiert über Kraft auf Leiter, durchflossen von Strom I

$$|\vec{F}| = \ell \cdot A \cdot (\vec{J} \times \vec{B}) \qquad \Longleftrightarrow \qquad |\vec{F}| = \ell \cdot I \cdot |\vec{B}|$$

$$= \ell \cdot A \cdot \rho_{el} (\vec{v} \times \vec{B}) \qquad \bullet \qquad \bullet \qquad |\vec{F}| = \ell \cdot I \cdot |\vec{B}|$$

$$= \ell \cdot A \cdot \frac{Q}{\ell \cdot A} (\vec{v} \times \vec{B}) \qquad \bullet \qquad \uparrow \vec{F} \qquad \bullet$$

$$= Q \cdot (\vec{v} \times \vec{B}) \qquad \bullet \qquad \bullet \qquad \uparrow$$

$$= Q \cdot (\vec{v} \times \vec{B}) \qquad \bullet \qquad \bullet \qquad \bullet$$

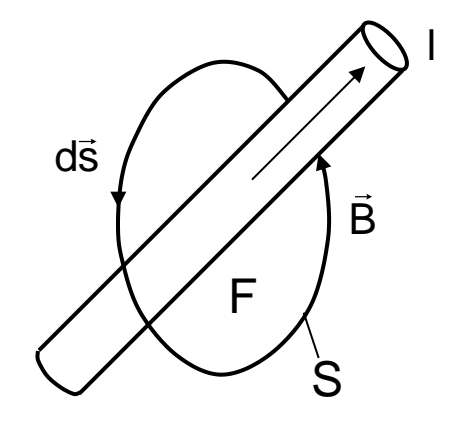
$$\dim\left(\vec{\mathsf{B}}\right) = \frac{\mathsf{Ns}}{\mathsf{As} \cdot \mathsf{m}} = \frac{\mathsf{N} \cdot \mathsf{m}}{\mathsf{A} \cdot \mathsf{m}^2} = \frac{\mathsf{W} \cdot \mathsf{s}}{\mathsf{A} \cdot \mathsf{m}^2} = \frac{\mathsf{V} \cdot \mathsf{A} \cdot \mathsf{s}}{\mathsf{A} \cdot \mathsf{m}^2} = \boxed{\frac{\mathsf{Vs}}{\mathsf{m}^2}} = \mathsf{T} \; ; \quad \mathsf{Tesla}; \; \mathsf{Erdfeld} \; \approx \; 50 \; \mu\mathsf{T}$$

### Magnetische stationäre Flussdichte B:

erzeugt durch alle Ströme (frei und gebunden)

Maxwell: 
$$rot \vec{B} = \mu_0 \vec{J} + \mu_0 \epsilon_0 \partial \vec{E} / \partial t$$

$$\partial/\partial t = 0 \rightarrow \text{rot } \vec{B} = \mu_0 \vec{J} \iff \int_F \text{rot } \vec{B} \cdot d\vec{f} = \oint_S \vec{B} \cdot d\vec{s} = \mu_0 \int_F \vec{J} \cdot d\vec{f}$$

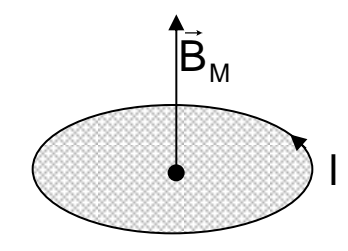


$$\mu_0 = 4\pi \cdot 10^{-7} \, \frac{\text{Vs}}{\text{Am}}$$

 $\mu_0 = 4\pi \cdot 10^{-7} \frac{\text{Vs}}{\text{Am}}$  Permeabilitätskonstante des Vakuums

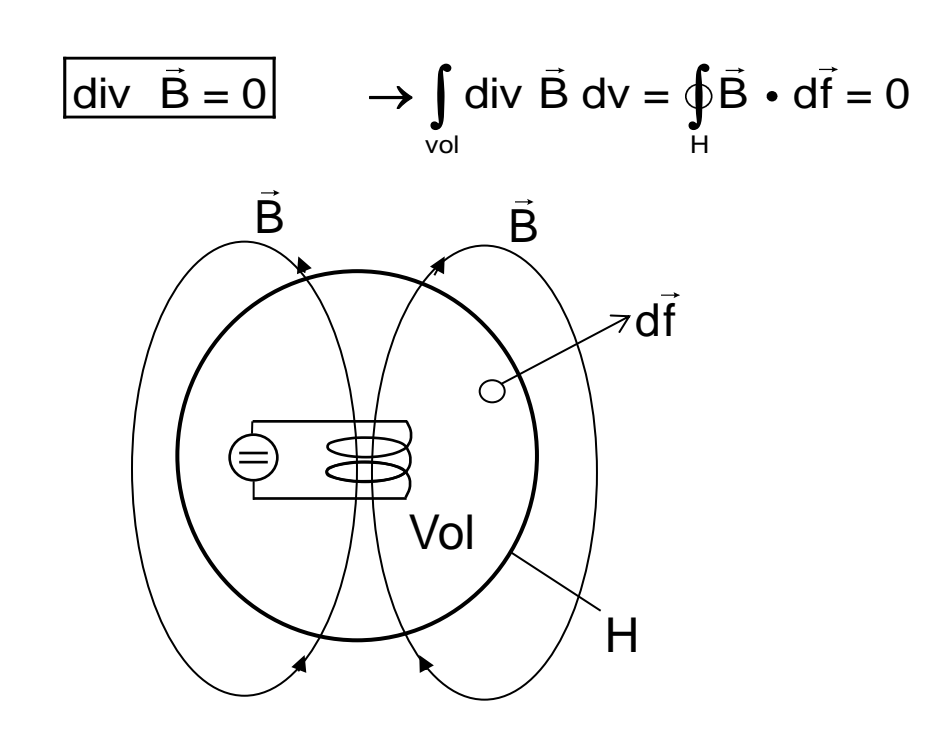
## Magnetisierung B<sub>M</sub>:

erzeugt durch den gemittelten summierten Beitrag aller atomaren Kreisströme der um Atomkerne kreisenden Elektronen



Mikroskopischer Beitrag der Magnetisierung

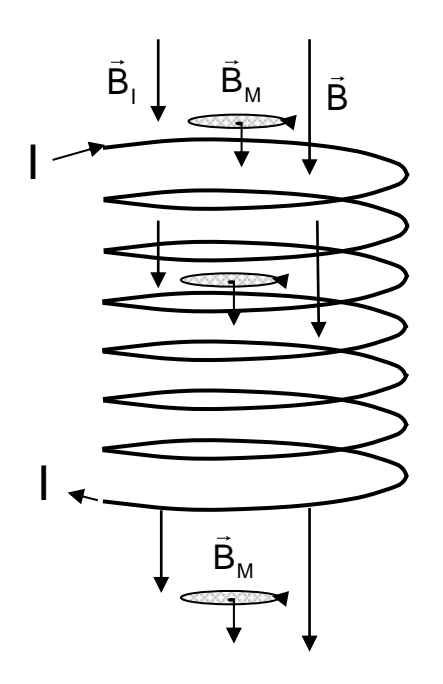
### Quellenfreiheit des Magnetfeldes B



Durch die Hüllfläche H des Volumens Vol gehen genausoviel Feldlinien des Magnetfeldes B hinein wie hinaus: Die Bilanz ist Null.

→ Magnetfelder haben keinen Anfang, sondern sind immer geschlossene Feldlinien.

#### Zusammenspiel von freien Strömen und atomaren Kreisströmen



### Überlagerung

- des durch freie Ströme I erzeugten Feldes B
  <sub>I</sub>
- und der durch gebundene atomare Kreisströme erzeugten Magnetisierung  $\vec{B}_{M}$  (bzw.  $\vec{M}$ )

liefert für das effektive, messbare Gesamtfeld B:

$$\vec{B} = \vec{B}_1 + \vec{B}_M$$

Die gemeinsame Wirkung äußerer freier Ströme und atomarer, gebundener Kreisströme resultiert im messbaren Gesamtfeld.

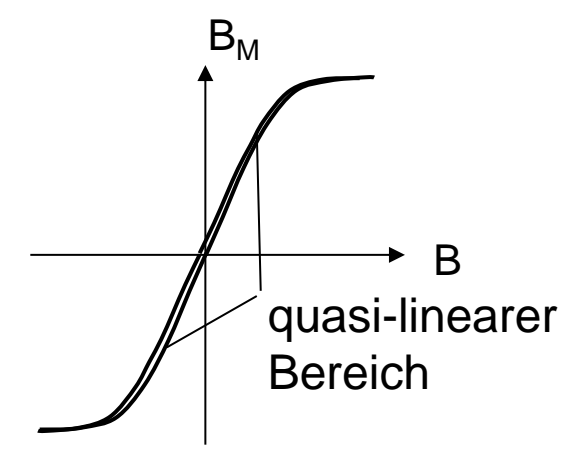
## 5.2 Zusammenhang zwischen H und B - Materialgleichungen

z.B. Ferromagnete:

$$\vec{B} = \vec{B}_I + \vec{B}_M$$

Materialgleichung,

allgemein gültig, nicht zwingend linear



Im Falle linearer Abhängigkeit zwischen  $\vec{B}_{M}$  und  $\vec{B}$  gilt

$$\vec{B}_{M} = \chi_{B} \vec{B}$$
 Proportionalitätskonstante  $\chi_{B}$  (experimentell bestimmt)

$$\rightarrow \vec{B} = \vec{B}_I + \chi_B \vec{B}$$

$$\rightarrow \vec{B} = \frac{1}{\underbrace{1 - \chi_B}} \vec{B}_I \qquad \mu_r \stackrel{\text{Def}}{=} \frac{1}{1 - \chi_B}$$

$$\vec{\mathsf{B}} = \mu_{\mathsf{r}} \ \vec{\mathsf{B}}_{\mathsf{l}}$$

Zusammenhang der historischen Größen  $\vec{H}$ ,  $\vec{M}$  mit  $\vec{B}_{I}$ ,  $\vec{B}_{M}$  und  $\vec{B}$ :

Historische Definition:

Magnetische Feldstärke H und Magnetisierung M:

$$\vec{\mathsf{H}} \stackrel{\mathsf{Def}}{=} \frac{\vec{\mathsf{B}}_{\mathsf{I}}}{\mu_{\mathsf{0}}} \qquad \vec{\mathsf{M}} \stackrel{\mathsf{Def}}{=} \frac{\vec{\mathsf{B}}_{\mathsf{M}}}{\mu_{\mathsf{0}}}$$

Mit

$$\vec{B} = \vec{B}_I + \vec{B}_M$$

ergibt sich die bekannte Schreibweise der Materialgleichung:

$$\vec{\mathsf{B}} = \mu_0 \, (\vec{\mathsf{H}} + \vec{\mathsf{M}})$$

Im Falle eines linearen Zusammenhangs zwischen  $\vec{B}_M$  und  $\vec{B}$  mit  $\vec{B} = \mu_r \vec{B}_l$  ergibt sich mit obiger Definition für  $\vec{H}$  die bekannte Schreibweise

$$\vec{B} = \mu_r \mu_0 \vec{H}$$

### Ziel: Umgehung der Berücksichtigung atomarer Ringströme

rot 
$$\vec{B} = \mu_0 (\vec{J}_{frei} + \vec{J}_{atom})$$
  
 $\vec{B} = \vec{B}_1 + \vec{B}_M = ?$ 

J<sub>frei</sub>: freie Ströme ungebundener Ladungen

 $\vec{J}_{atom}$ : Kreisströme innerhalb von Atomen

Superposition: rot 
$$\vec{B}_1 = \mu_0 \vec{J}_{frei}$$
  
rot  $\vec{B}_M = \mu_0 \vec{J}_{atom}$ 

ist bekannt; damit lässt sich  $\vec{\mathsf{B}}_{\mathsf{l}}$  berechnen.

 $\vec{J}_{\text{atom}}$  ist nicht im Detail bekannt; damit ist  $\vec{B}_{\text{M}}$  nicht brerechenbar.

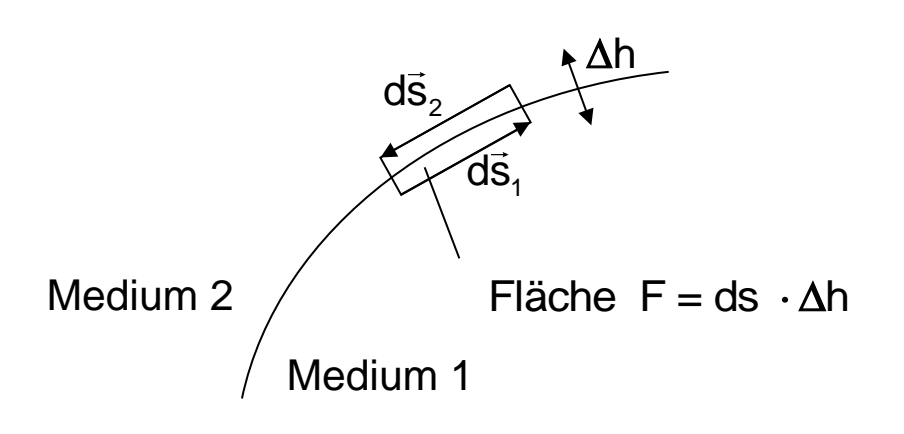
Bei linearer Abhängigkeit zwischen B und B, bekommen wir  $\vec{B} = \mu_r \ \vec{B}_I$ , wobei  $\mu_r$  den Anteil von  $\vec{B}_M$  am Gesamtfeld beinhaltet.

Mit der Definition  $\vec{H} = \vec{B}_1 / \mu_0$  ergibt sich

$$rot \vec{H} = \vec{J}_{frei} \iff \vec{B} = \mu_r \ \mu_0 \ \vec{H}$$

rot  $\vec{H} = \vec{J}_{frei}$   $\leftrightarrow$   $\vec{B} = \mu_r \ \mu_0 \ \vec{H}$  Zur Berechnung von B sind jetzt nur noch freie Ströme, aber keine atomaren Ringströme mehr nötig.

### 5.3 Übergänge an Grenzflächen



$$\boxed{\oint \vec{H} \ d\vec{s} = \int \vec{J} \cdot d\vec{f}} \quad \text{stationärer Fall}$$

Grenzübergang  $\Delta h \rightarrow 0$ ; keine Oberflächenströme

$$\oint \vec{H} \cdot d\vec{s} = \vec{H}_2 \cdot d\vec{s}_2 + \vec{H}_1 \cdot d\vec{s}_1 = \int_{\Delta h \to 0} \vec{J} \cdot d\vec{f} = 0$$

Aufteilung in Tangential- und Normalkomponenten:

$$\vec{H}_i = H_{ti}\vec{e}_t + H_{ni}\vec{e}_n$$
  $i = 1,2$ 

Wegelemente ds;:

$$d\vec{s}_1 = ds \cdot \vec{e}_t$$

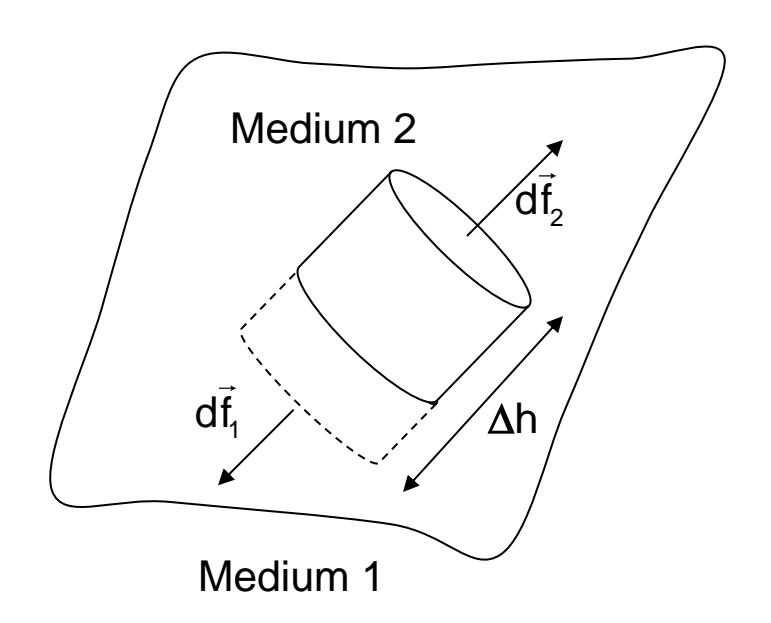
$$d\vec{s}_2 = ds \cdot (-\vec{e}_t)$$

$$\rightarrow \vec{H}_1 \cdot d\vec{s}_1 = (H_{t1}\vec{e}_t + H_{n1}\vec{e}_n) \cdot ds \vec{e}_t = H_{t1} ds$$

$$\rightarrow \vec{H}_2 \cdot d\vec{s}_2 = - H_{t2} \cdot ds$$

$$\rightarrow H_{t1} \cdot ds - H_{t2} \cdot ds = 0 \rightarrow H_{t1} = H_{t2}$$

Die Tangentialkomponente der magn. Feldstärke (bei Abwesenheit von Oberflächenströmen) ist stetig.



$$\oint \vec{B} \cdot d\vec{f} = 0$$

Grenzübergang  $\Delta h \rightarrow 0$ 

Aufteilung in Tangential- und Normalkomponenten:

$$\vec{B}_{i} = B_{ti}\vec{e}_{t} + B_{ni}\vec{e}_{n}$$
  $i = 1,2$ 

Oberflächenelemente df:

oben:  $d\vec{f} = df \cdot \vec{e}_n$ 

unten:  $d\vec{f} = df(-\vec{e}_n)$ 

Rand:  $\Delta h \rightarrow 0 \rightarrow F_{Rand} = 0$ 

$$\oint \vec{B} \cdot d\vec{f} = B_{n2}df - B_{n1}df = 0 \rightarrow B_{n1} = B_{n2}$$

Die Normalkomponente der magn. Flussdichte ist an Grenzflächen stetig.

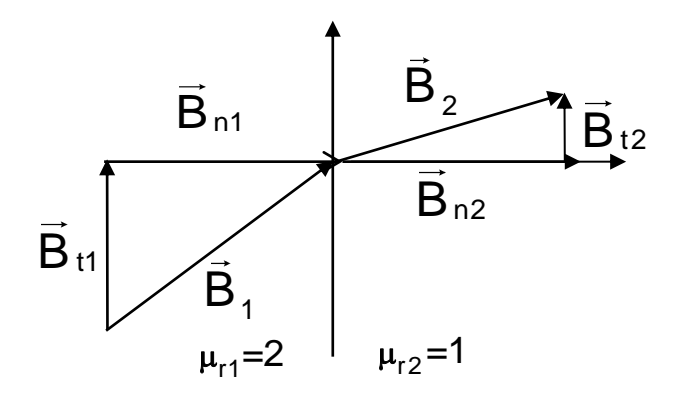
## Vorausgesetzt $B = \mu_r \cdot \mu_0 \cdot \vec{H}$ und keine Oberflächenströme

$$B_{n2} = B_{n1}$$

$$H_{t2} = H_{t1}$$

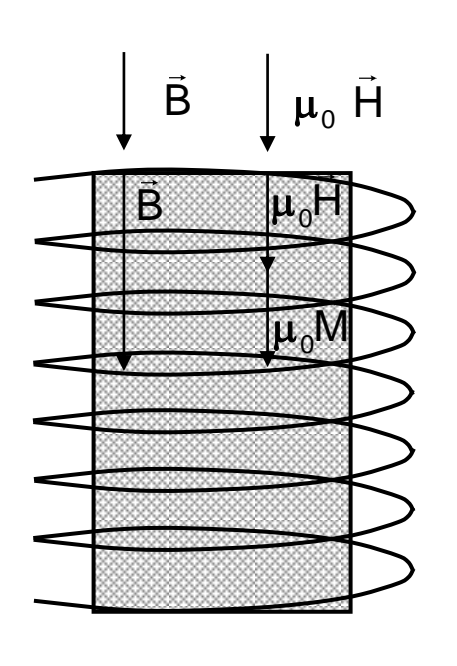
$$\frac{\mathsf{B}_{\mathsf{t2}}}{\mu_{\mathsf{r2}}} = \frac{\mathsf{B}_{\mathsf{t1}}}{\mu_{\mathsf{r1}}}$$

$$\mathsf{B}_{\mathsf{t}^2} = \frac{\mu_{\mathsf{r}^2}}{\mu_{\mathsf{r}^1}} \cdot \mathsf{B}_{\mathsf{t}^1}$$



### 5.4 Ferromagnetika

Starke magnetische Momente mit starker Kopplung



Spontane Magnetisierung großer Bereiche unterhalb T<sub>c</sub>: Curie Temperatur

Ungerade Elektronenzahl, überschüssiges "d - Elektron".

Cr, Mn, Fe, Co, Ni....

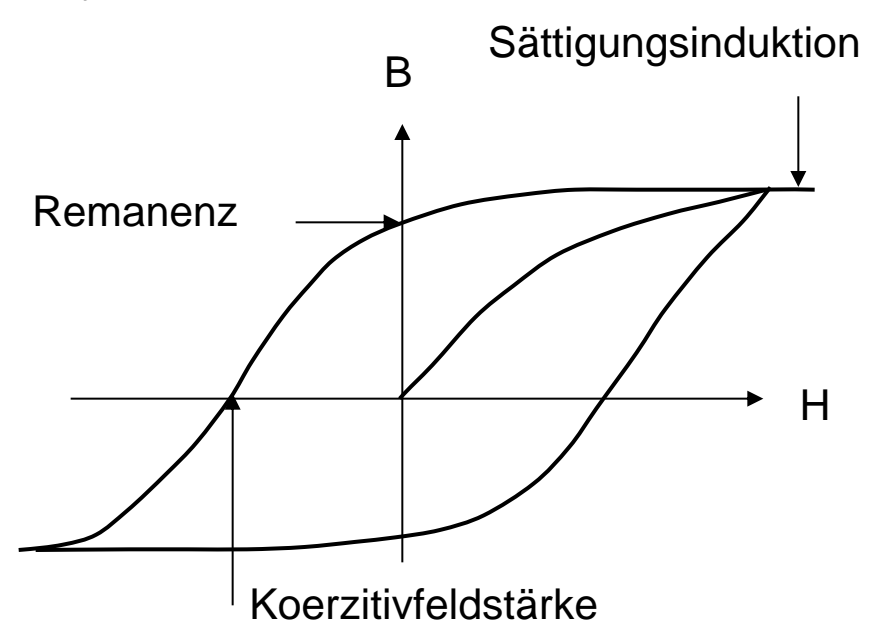
Magnetit Fe<sub>3</sub>O<sub>4</sub>

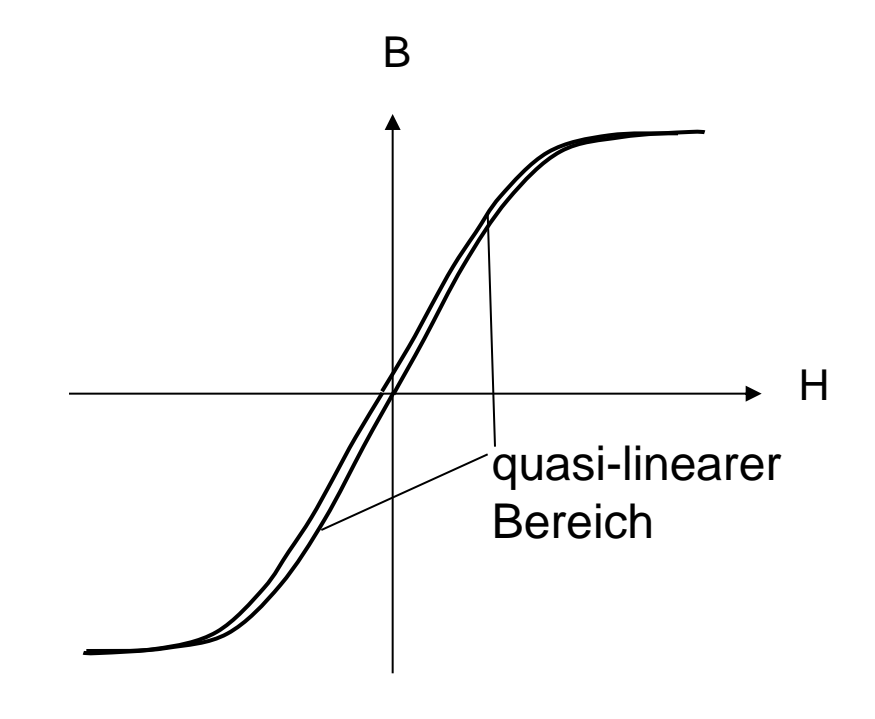
Stark abhängig von Zulegierungen!

$$\vec{B} = \mu_0 \vec{H} + \mu_0 \vec{M}$$

durch Spulenstrom I erzeugt (kann auch Null sein!)

### **Hysterese Kurve:**





#### Hartmagnetische Stoffe:

- große Hysterese,
- gute Permanentmagnete (Alnico, CoSm)

Weichmagnetische Stoffe:

- kleine Hysterese
- gute Abschirmmaterialien
- gute Trafokerne (Permalloy 80% Ni, 20% Fe)

Anfangspermeabilität bis zu  $\mu_r \approx 250~000$ Dynamoblech  $\mu_r \approx 1~000$ 

### 5.5 Durchflutungsgesetz und Symmetrie

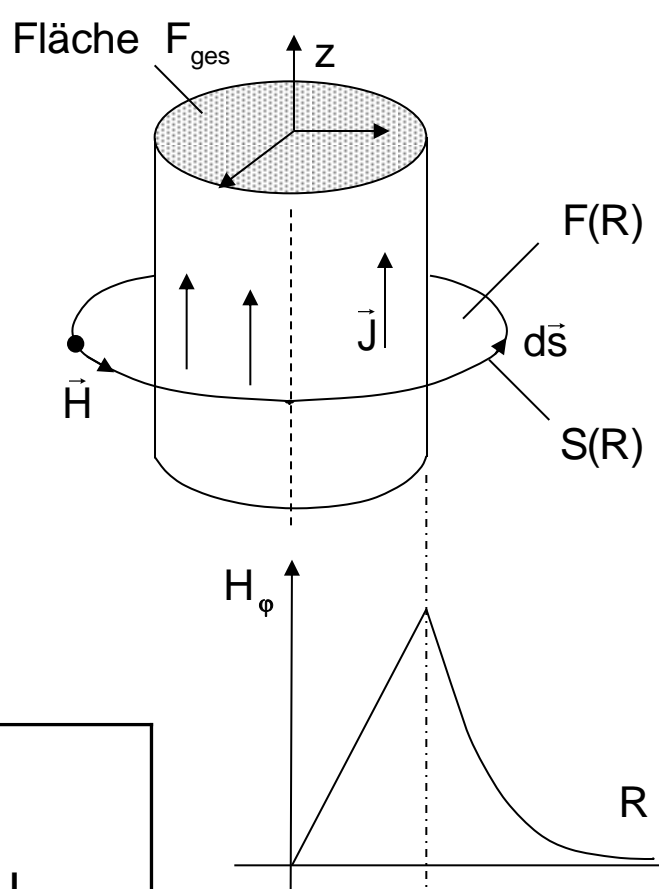
# $\vec{J} = 0 \cdot \vec{e}_r + 0 \cdot \vec{e}_\omega + J_z \cdot \vec{e}_z$

Symmetrie  $\Rightarrow \vec{H} = H_{\omega}(R) \cdot \vec{e}_{\omega}$ 

$$\oint_{S(R)} \vec{H} \cdot d\vec{s} = \int_{F(R)} \vec{J} \cdot d\vec{f}$$
Maxwell

$$\begin{split} \oint_{S(R)} \vec{H} \ d\vec{s} &= \oint_{S(R)} \left( H_{\phi} \cdot \vec{e}_{\phi} \right) \cdot \left( R \ d\phi \ \vec{e}_{\phi} \right) \\ &= \oint_{S(R)} H_{\phi} \left( R \right) \cdot R \cdot d\phi = 2 \cdot \pi \ H_{\phi} \left( R \right) \cdot R \end{split}$$

1. <u>Beispiel:</u> Magnetfeld eines stromdurchflossenen Drahtes

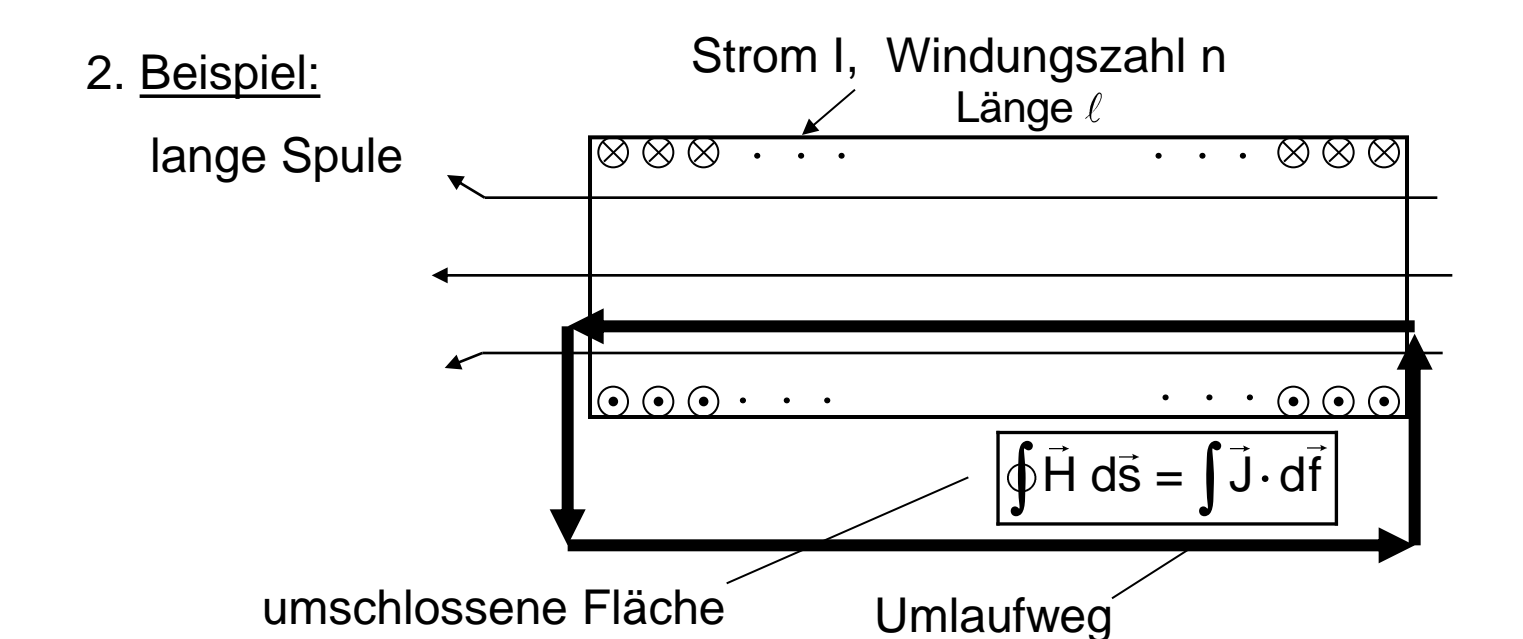


innen

außen: 
$$\int_{F(R)} \vec{J} \, d\vec{f} = I \implies 2\pi \, H_{\phi a}(R) \cdot R \implies H_{\phi a}(R) = \frac{I}{2\pi R}$$
innen: 
$$\int_{F(R)} \vec{J} \, d\vec{f} = \frac{I}{F_{ges}} \cdot \pi \cdot R^2 \implies H_{\phi i}(R) = \frac{I \cdot \pi \cdot R^2}{F_{ges} \cdot 2\pi \, R} = \frac{I}{2 \cdot F_{ges}} \cdot R$$

außen

### 5.6 Berechnung von H in verschiedenen Spulenkonfigurationen



Näherung:

- innen Feld homogen
  - $\rightarrow$  H = const.
- außen Feld Null

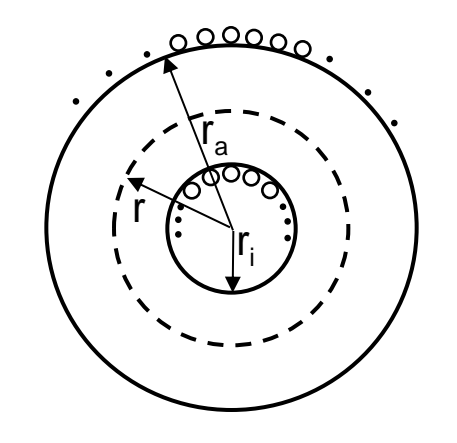
$$\rightarrow$$
 H = 0

$$\rightarrow H \cdot \ell \approx n \cdot I$$

$$\Rightarrow H_z = \frac{n \cdot I}{\ell}$$

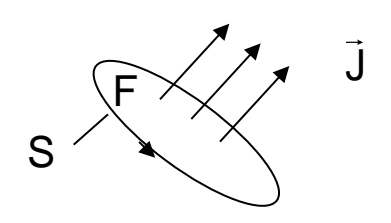
### 3. Beispiel:

Magnetfeld einer Toroidspule



In der Zentralebene  $r_i < r < r_a$ :

Innen  $0 < r < r_i$  und außen  $r < r_a$ :  $H_{\phi} = 0$ 



### 5.7 Vektorpotential

Ziel: Berechnung von H aus J

$$\oint_{S} \vec{H} \cdot d\vec{s} = \int_{F} \vec{J} \cdot d\vec{f}$$

wenn H konstant entlang Integrationsweg ds

z.B. 
$$H_{\varphi} \oint_{S} ds_{\varphi} = \int_{F} \vec{J} \cdot d\vec{f} \rightarrow H_{\varphi} = \frac{\int \vec{J} \cdot d\vec{f}}{\oint ds_{\varphi}}$$

$$\rightarrow H_{\varphi} = \frac{\int \vec{J} \cdot d\vec{f}}{\oint ds_{\varphi}}$$

funktioniert nicht, wenn H variabel entlang Integrationsweg

Versuch differentielle Form:

rot 
$$\vec{H} = \vec{J}$$

$$\leftrightarrow$$

$$\frac{\partial H_{z}}{\partial y} - \frac{\partial H_{y}}{\partial z} = J_{x}$$

$$\frac{\partial H_{x}}{\partial z} - \frac{\partial H_{z}}{\partial x} = J_{y}$$

$$\frac{\partial H_{y}}{\partial x} - \frac{\partial H_{x}}{\partial y} = J_{z}$$

-gekoppeltes System partieller DGIn

-keine analytischen Lösungen bekannt

-numerisch schwierig

Einführen

magn. Vektorpotential A

analog zum

el.stat. Potential Φ

#### Ziel:

Verknüpfung von Magnetfeld mit Strömen

$$\vec{J} \longleftrightarrow \vec{B} \longleftrightarrow \vec{A}$$

el.Stromdichte Magnetfeld magn. Vektorpotential

Stationäre Verhältnisse 
$$\left(\frac{\partial}{\partial t} = 0\right)$$
:

Für magn. Feld gilt:

$$\frac{\text{Def.}}{\text{rot } \vec{A} = \vec{B}}$$
Maxwell
$$\frac{\vec{A} = \vec{B}}{\text{magn. Vektorpotential } \vec{A}}$$

Definition erlaubt, da immer gilt

div rot 
$$\vec{A} = 0$$

für beliebige Vektorfunktionen Ä

#### 5.7.1 Definition, Coulomb-Eichung

## Definition: $\vec{B} = rot \vec{A}$

$$B_{x} = \frac{\partial A_{z}}{\partial y} - \frac{\partial A_{y}}{\partial z}$$

$$B_{y} = \frac{\partial A_{x}}{\partial z} - \frac{\partial A_{z}}{\partial x}$$

$$B_z = \frac{\partial A_y}{\partial x} - \frac{\partial A_x}{\partial y}$$

vergl. 
$$\vec{E} = - \operatorname{grad} \Phi$$

$$E_x = -\frac{\partial \Phi}{\partial x}$$

$$E_y = -\frac{\partial \Phi}{\partial y}$$

$$E_z = -\frac{\partial \Phi}{\partial z}$$

$$div \vec{B} = div (rot \vec{A})$$
$$\equiv 0$$

rot 
$$\vec{E} = \text{rot (grad } \Phi)$$
  
 $\equiv 0$ 

$$\vec{A}' = \vec{A} + \text{grad } \Psi$$

$$rot \vec{A}' = rot \vec{A} = \vec{B}$$

beliebige Eichung von Ä

Coulomb Eichung: div 
$$\vec{A} = 0$$

$$\Phi' = \Phi + C$$

$$\operatorname{grad} \Phi ' = \operatorname{grad} \Phi$$

beliebige Lage des Nullpunktes von Φ

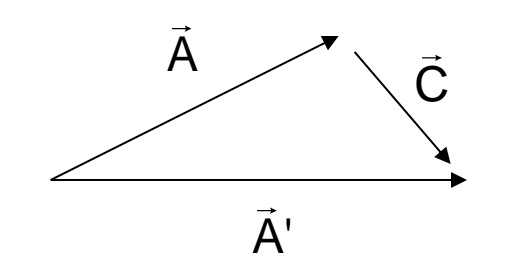
#### **Beweis für Coulomb-Eichung**

Es besteht der Freiheitsgrad der Hinzufügung einer Integrationskonstanten, da das physikalisch reale Magnetfeld B durch Differenzieren (Rotor-Bildung) des magnetischen Vektorpotentials beschrieben wird.

$$\vec{B}(\vec{r}) = \text{rot } \vec{A}(\vec{r})$$

 $=\vec{B}(\vec{r})$ 

Vieldeutigkeit von 
$$\vec{A}$$
:  $\vec{A}'(\vec{r}) = \vec{A}(\vec{r}) + \vec{C}(\vec{r})$  mit  $\vec{C}(\vec{r}) = \text{grad } \psi(\vec{r})$  Beweis: beliebige Funktion



$$\vec{B}'(\vec{r}) = \text{rot } \vec{A}'(\vec{r})$$

$$= \text{rot } \vec{A}(\vec{r}) + \underbrace{\text{rot grad } \psi(\vec{r})}_{\equiv 0}$$

 $\vec{A}(\vec{r})$  repräsentiert das gleiche  $\vec{B}(\vec{r})$  wie das mit grad  $\psi(\vec{r})$  modifizierte  $\vec{A}'(\vec{r})$   $\rightarrow |\vec{A}'| = \vec{A} + \text{grad } \psi|$  Freiheitsgrad für  $\psi$ , frei wählbar

Annahme:  $\vec{A}(\vec{r})$  sei so, dass div  $\vec{A}(\vec{r}) = V_A(\vec{r}) \neq 0$ 

Wunsch: div  $\vec{A}(\vec{r}) = 0$ 

$$\vec{A}'(\vec{r}) = \vec{A}(\vec{r}) + \vec{C}(\vec{r})$$
 mit  $\vec{C}(\vec{r}) = \text{grad } \psi(\vec{r})$ 

$$\rightarrow \text{ div } \vec{A}'(\vec{r}) = \text{div } \vec{A}(\vec{r}) + \text{div } \vec{C}(\vec{r})$$

$$= V_A(\vec{r}) + V_C(\vec{r}) \quad \text{Skalare}$$

$$= V_A(\vec{r}) + V_C(\vec{r})$$
 Skalare

$$\rightarrow V_{C}(\vec{r}) = -V_{A}(\vec{r})$$

$$\rightarrow$$
 div  $\vec{C}$  ( $\vec{r}$ ) = div grad  $\psi(\vec{r}) = -V_A(\vec{r})$ 

$$\rightarrow \Delta \psi(\vec{r}) = -V_A(\vec{r})$$
 Poisson DGI. Bestimmungsgleichung für  $\psi$ 

$$\rightarrow \psi(\vec{r}) = \psi_A(\vec{r})$$
 Lösung  $\psi_A(\vec{r})$  der Poisson Gleichung

$$\rightarrow$$
  $\vec{A}'(\vec{r}) = \vec{A}(\vec{r}) + \text{grad } \psi_A(\vec{r})$ 

$$\rightarrow$$
 div  $\vec{A}'(\vec{r}) = \text{div } \vec{A}(\vec{r}) + \text{div grad } \psi_A(\vec{r})$ 

$$= V_A(\vec{r}) - V_A(\vec{r}) = 0$$

$$\rightarrow \quad |\vec{B}(\vec{r}) = 0| \quad |\vec{B}(\vec{r}) = \text{rot } \vec{A}'(\vec{r})|$$

Es existiert immer ein A, welches B richtig beschreibt, und für welches div A = 0 gilt.

Es existiert unter den vielen, möglichen Vektorpotentialen immer ein Vektorpotential  $\vec{A}$ , welches das Magnetfeld  $\vec{B}$  richtig beschreibt, und für welches div  $\vec{A} = 0$  gilt.

Hätte man ein  $\vec{A}$ ' mit div  $\vec{A}$ '  $\neq$  0 so <u>ließe</u> sich ein  $\vec{\Psi}$  über  $\Delta \psi = \text{div } \vec{A}$ ' finden, welches das richtige  $\vec{A}$  mittels  $\vec{A}$ ' =  $\vec{A}$  + grad  $\psi$  liefert, für welches div  $\vec{A}$  = 0 gilt.

Berechnet man aber  $\vec{A}$  aus den Maxwell-Gleichungen, indem man bei der Berechnung div  $\vec{A}=0$  bereits nutzt, dann erhält man das erwünschte einfachere und auch (siehe oben) erlaubte Ergebnis.

#### 5.7.2 Differentialgleichung des magnetischen Vektorpotentials

Voraussetzung : Medium linear und isotrop  $\vec{B} = \mu \cdot \vec{H}$ 

Maxwell: 
$$\operatorname{rot} \vec{H} = \vec{J} + \frac{\partial \vec{D}}{\partial t}$$
  $\rightarrow \operatorname{rot} \left( \frac{1}{\mu} \cdot \operatorname{rot} \vec{A} \right) = \vec{J}$   $\mu = \operatorname{stückweise\ konstant}$  Definition:  $\vec{B} = \operatorname{rot} \vec{A}$   $\operatorname{rot} \left( \operatorname{rot} \vec{A} \right) = \mu \cdot \vec{J}$   $\operatorname{rot\ rot\ } \vec{A} = \operatorname{grad\ } \operatorname{div\ } \vec{A} - \Delta \vec{A}$   $\rightarrow \Delta \vec{A} = -\mu \cdot \vec{J}$  Coulomb – Eichung!

#### 5.7.2.1 Poisson – Gleichung für das Vektorpotential

in kartesischen Koordinaten

#### 5.7.2.2 Coulomb-Integral als Lösung der Poisson-Gleichung

Differential-Gleichung:  $\Delta \vec{A}(\vec{r}) = -\mu \cdot \vec{J}(\vec{r})$ 

#### Analytische Lösung:

$$\left. \begin{array}{l}
 A_x, J_x \\
 A_y, J_y \\
 A_z, J_z
 \end{array} \right\}$$

The Lösung:
$$A_{x}, J_{x}$$

$$A_{y}, J_{y}$$

$$A_{z}, J_{z}$$

$$A_{z}, J_{z}$$

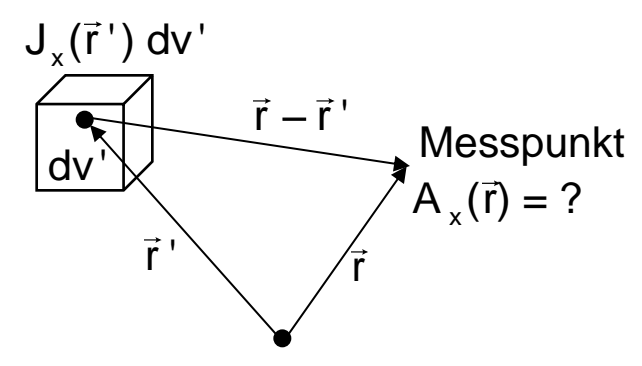
$$A_{z}(\vec{r}) = \frac{\mu}{4\pi} \iiint \frac{J_{x}(\vec{r}')}{|\vec{r} - \vec{r}'|} dv'$$

$$A_{z}(\vec{r}) = \frac{\mu}{4\pi} \iiint \frac{J_{y}(\vec{r}')}{|\vec{r} - \vec{r}'|} dv'$$

$$A_{z}(\vec{r}) = \frac{\mu}{4\pi} \iiint \frac{J_{z}(\vec{r}')}{|\vec{r} - \vec{r}'|} dv'$$

x, y, z - Komponenten unabhängig voneinander; daher einzeln lösbar

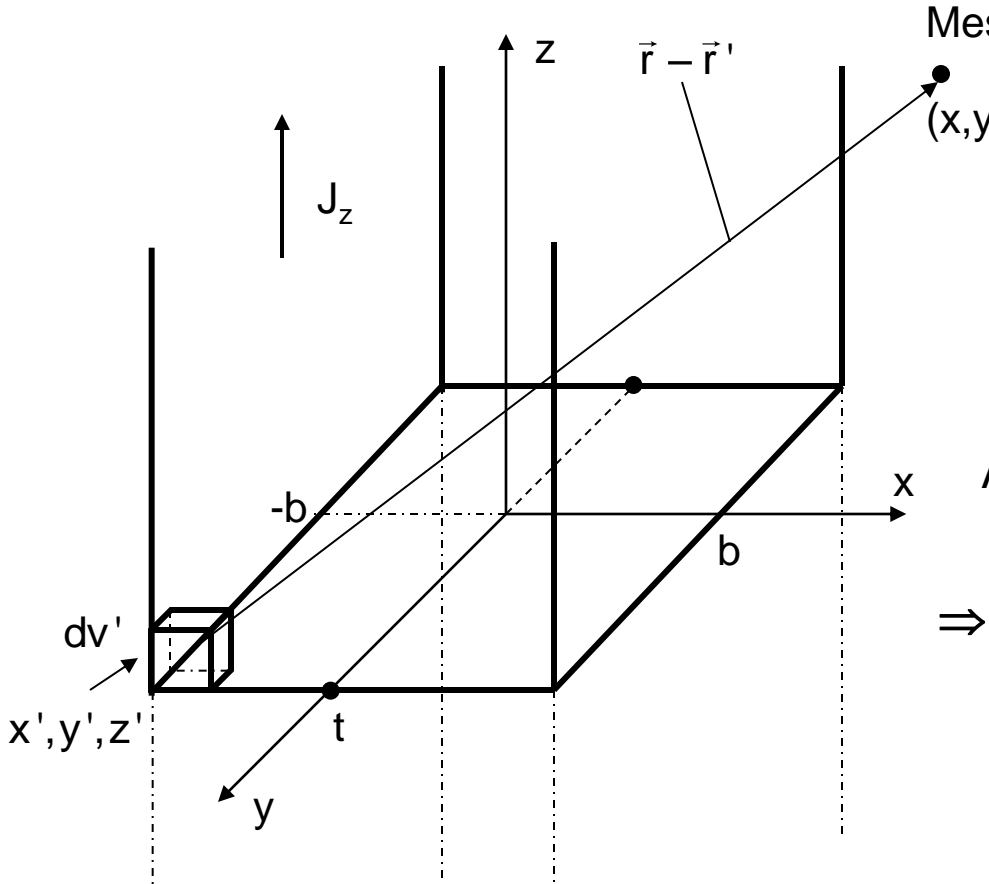
"laufender" Punkt



Koordinaten-Nullpunkt

Beispiel für 
$$\vec{A}(\vec{r}) = \frac{\mu}{4\pi} \int \frac{\vec{J}(\vec{r}')}{|\vec{r} - \vec{r}'|} dv'$$

Leiter mit rechteckigem Querschnitt, Vektorpotential am Messpunkt P außerhalb des Leiters.



Messpunkt P

$$J_z = const.$$

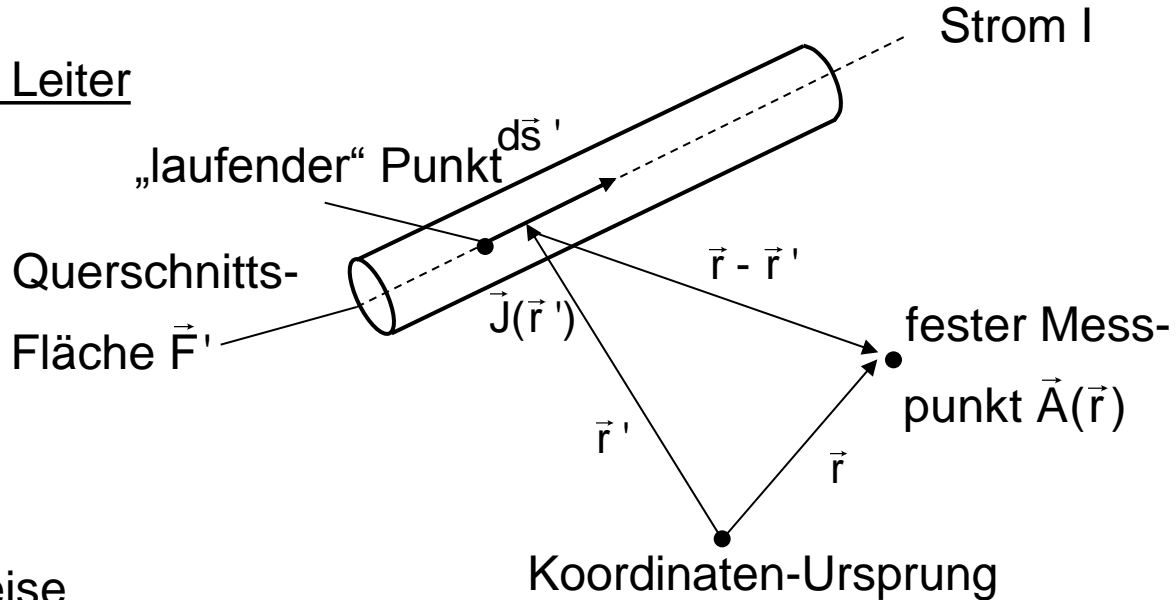
$$A_{z}(x,y,z) = \frac{\mu}{4\pi} J_{z} \cdot \int_{-b-t}^{b} \int_{0}^{t} \frac{dx' dy' dz'}{\sqrt{(x-x')^{2} + (y-y')^{2} + (z-z')^{2}}}$$

$$\Rightarrow \vec{A} = A_z(x,y,z)\vec{e}_z$$

Das Integral wird hier nicht weiter aufgelöst.

#### Spezialfall:

#### Magn. Vektorpotential A für dünne Leiter



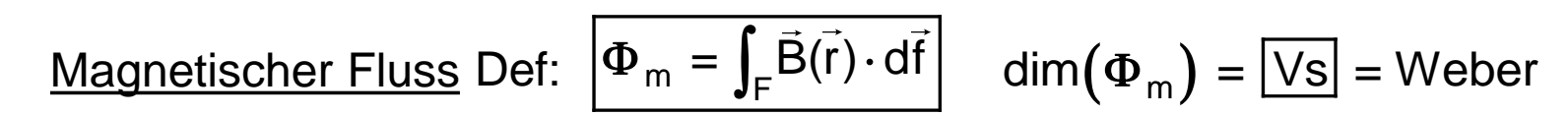
für dünne Leiter gilt näherungsweise

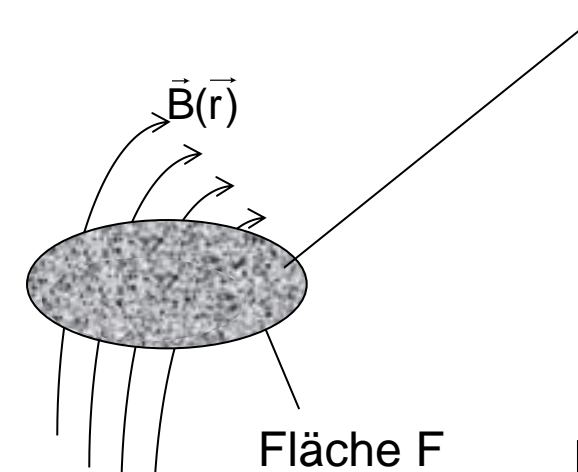
$$\vec{J}(\vec{r}') \cdot dv' = \vec{J}(\vec{r}') \cdot \vec{F}' \cdot d\vec{s}' = I \cdot d\vec{s}'$$

$$\vec{A}(\vec{r}) = \frac{\mu}{4\pi} \iiint \frac{\vec{J}(\vec{r}')}{|\vec{r} - \vec{r}'|} dv'$$

Allgemeiner Fall

#### 5.7.2.3 Magnetischer Fluss und Vektorpotential





$$\Phi_{m} = \int \vec{B} d\vec{f}$$
 #  $\vec{B} = rot \vec{A}$ 

$$\Phi_{\rm m} = \int {\rm rot} \ \vec{A} \ d\vec{f}$$
 # Stokes

$$\Phi_{\rm m} = \oint_{\rm S} \vec{\sf A} \; {\sf d}\vec{\sf s}$$

 $\vec{\mathsf{B}}$ 

 $\Phi_{\mathsf{m}}$  .

wäre hier eine Leiterschleife mit 1 Windung, dann ergäbe sich eine Induktionsspannung

$$U_{ind} = \frac{-d\Phi_{m}}{dt}$$

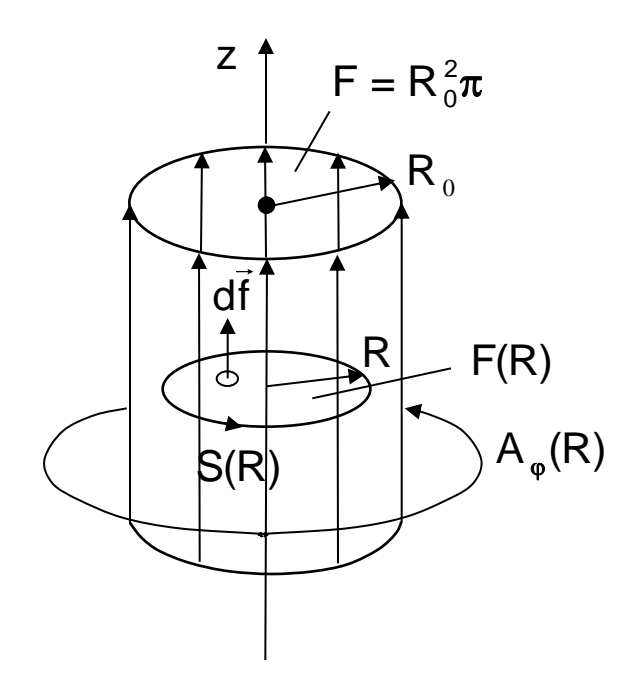
außen gilt:

$$\vec{\mathsf{B}} = 0!$$

$$\vec{A} \neq 0!$$

À

Beispiel: Vektorpotential eines zylindrischen homogenen Magnetfeldes



$$\vec{B} = \begin{cases} B_0 \vec{e}_z & R \le R_0 \\ 0 & R > R_0 \end{cases} \rightarrow \Phi_{m \text{ ges}} = B_0 R_0^2 \pi \qquad \leftarrow \Phi_{m} = \int_F \vec{B} \cdot d\vec{f}$$

$$\vec{B} = \text{rot } \vec{A}$$

$$\rightarrow \int_{F(R)} \vec{B} \cdot d\vec{f} = \int_{F(R)} \text{rot } \vec{A} \cdot d\vec{f} = \oint_{S(R)} \vec{A} \cdot d\vec{s} = \Phi_{m}(R)$$

## Berechnung von $\vec{A}$ aus $\vec{B}$

Innen 
$$R \leq R_0$$

$$\int_{F(R)} (B_0 \vec{e}_z) \cdot (d\vec{f} \vec{e}_z) = B_0 R^2 \pi$$

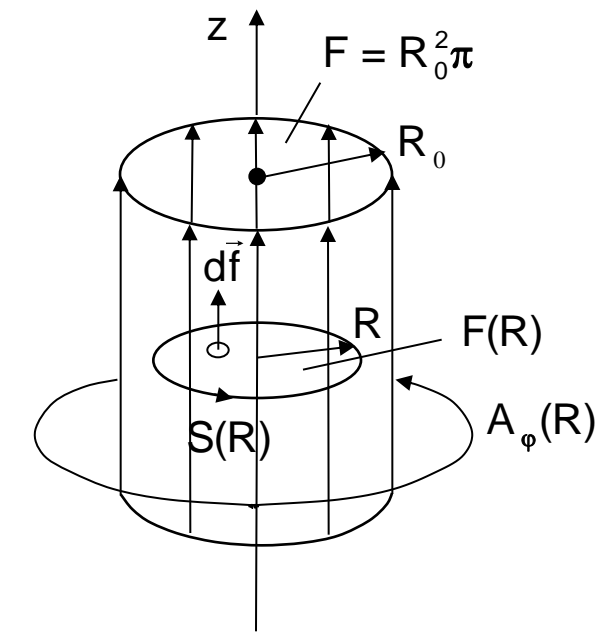
$$= \oint_{C(R)} (A_{\varphi} (R) \vec{e}_{\varphi}) \cdot (R d\varphi \vec{e}_{\varphi}) = A_{\varphi} (R) 2 \pi R$$

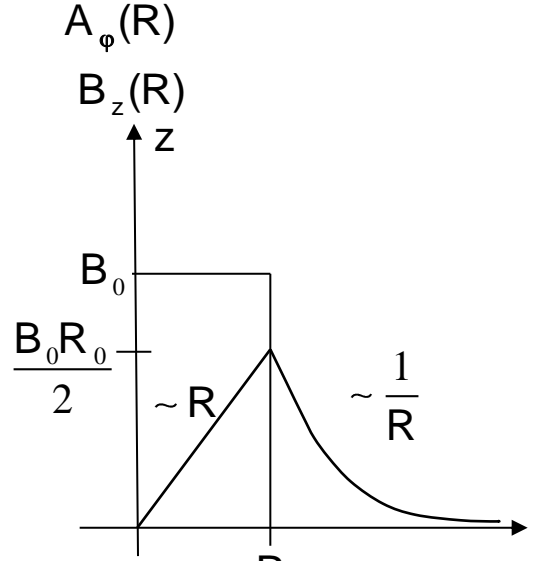
$$\rightarrow \quad \vec{A}(R) = \frac{B_0}{2} R \vec{e}_{\varphi}$$

## Außen $R > R_0$

$$\int_{\mathsf{F}(\mathsf{R})} \vec{\mathsf{B}} \cdot d\vec{\mathsf{f}} = \mathsf{B}_0 \; \mathsf{R}_0^2 \; \pi = \Phi_{\mathsf{m ges}}$$

$$\rightarrow |\vec{A}(R) = \frac{B_0 R_0^2}{2} \frac{1}{R} \vec{e}_{\varphi}$$





À ist mathematisch außerhalb der Spule ungleich Null.

Trotzdem ist dort keine messbare physikalische Größe:

$$\vec{B} = 0$$
 und damit  $\vec{F} = q(\vec{v} \times \vec{B}) = 0$ 

## Umkehrung: Berechnung von B aus A

#### Innen:

$$\vec{B}(R) = \text{rot } \vec{A}(R) = \vec{e}_z \left( \frac{1}{R} \frac{\partial}{\partial R} (R A_{\varphi}(R)) \right)$$

$$= \vec{e}_z \left( \frac{1}{R} \frac{\partial}{\partial R} (R \cdot \frac{B_0}{2} R) \right) = \vec{e}_z \left( \frac{1}{R} \cdot \frac{B_0}{2} 2 R \right) = B_0 \vec{e}_z$$

#### Außen:

$$\vec{B}(R) = \vec{e}_z \left( \frac{1}{R} \frac{\partial}{\partial R} \left( R \cdot \frac{B_0 R_0^2}{2} \frac{1}{R} \right) \right) = \vec{e}_z \left( \frac{1}{R} \frac{\partial}{\partial R} \left( \frac{B_0 R_0^2}{2} \right) \right) = 0$$

$$\begin{split} \int\limits_{F(R>R_0)} \vec{B} \cdot d\vec{f} &= \Phi_{\underset{ges}{m}} = \oint\limits_{S(\underset{ges}{R>R_0})} \vec{A} \cdot d\vec{s} = \oint\limits_{2\pi} \left( \frac{B_0 R_0^2}{2} \; \frac{1}{R} \; \vec{e}_{_{\phi}} \right) \cdot \; \left( R \; d\phi \; \vec{e}_{_{\phi}} \right) \\ &= \int\limits_{0}^{2\pi} \frac{B_0 R_0^2}{2} \; d\phi = B_0 R_0^2 \; \pi = \Phi_{\underset{ges}{m}} \end{split}$$

- -außen messbares phys.Feld B = Null
- -außen <u>nicht messbares</u> Vektorpot. ungleich Null
- -Kenntnis von A außen genügt, den Fluss innen zu berechnen

#### 5.8 Biot-Savart-Gesetz und Anwendung auf einfache Leitergeometrie

Ziel: direkte Berechnung von  $\vec{B}$  aus  $\vec{J}$  (ohne magnetisches Vektorpotential  $\vec{A}$ )

$$|\vec{A}(\vec{r}) = \frac{\mu}{4\pi} \iiint \frac{\vec{J}(\vec{r}')}{|\vec{r} - \vec{r}'|} dv'$$

 $|\vec{A}(\vec{r}) = \frac{\mu}{4\pi} \iiint \frac{\vec{J}(\vec{r}')}{|\vec{r} - \vec{r}'|} dv' |$  Lösung der Poisson-Gleichung für  $\vec{A}$ ;  $\vec{A}$  ist hier nur eine mathematische Zwischenlösung

$$|\vec{B}(\vec{r})| = rot_{(\vec{r})} |\vec{A}(\vec{r})|$$
 # rot: differenziere bezüglich der ungestrichenen Koordinaten

$$\rightarrow \vec{\mathsf{B}}(\vec{\mathsf{r}}) = \cot \left\{ \frac{\mu}{4\pi} \iiint \frac{\vec{\mathsf{J}}(\vec{\mathsf{r}}')}{\left|\vec{\mathsf{r}} - \vec{\mathsf{r}}'\right|} \mathsf{d}\mathsf{v}' \right\} = \frac{\mu}{4\pi} \iiint \cot \left( \frac{\vec{\mathsf{J}}(\vec{\mathsf{r}}')}{\left|\vec{\mathsf{r}} - \vec{\mathsf{r}}'\right|} \right) \mathsf{d}\mathsf{v}'$$

$$= \frac{\mu}{4\pi} \iiint \left( \frac{1}{\left|\vec{\mathsf{r}} - \vec{\mathsf{r}}'\right|} \cdot \cot \vec{\mathsf{J}}(\vec{\mathsf{r}}') + \operatorname{grad} \frac{1}{\left|\vec{\mathsf{r}} - \vec{\mathsf{r}}'\right|} \times \vec{\mathsf{J}}(\vec{\mathsf{r}}') \right) \mathsf{d}\mathsf{v}'$$

$$= \frac{\mu}{4\pi} \iiint \left( \frac{1}{\left|\vec{\mathsf{r}} - \vec{\mathsf{r}}'\right|} \cdot \cot \vec{\mathsf{J}}(\vec{\mathsf{r}}') + \operatorname{grad} \frac{1}{\left|\vec{\mathsf{r}} - \vec{\mathsf{r}}'\right|} \times \vec{\mathsf{J}}(\vec{\mathsf{r}}') \right) \mathsf{d}\mathsf{v}'$$

$$= \frac{1}{\left|\vec{\mathsf{r}} - \vec{\mathsf{r}}'\right|} \quad \text{und} \quad \vec{\mathsf{G}} = \vec{\mathsf{J}}$$

$$\vec{B}(\vec{r}) = \frac{\mu}{4\pi} \iiint \left( \frac{1}{|\vec{r} - \vec{r}'|} \cdot \text{rot } \vec{J}(\vec{r}') + \text{grad} \frac{1}{|\vec{r} - \vec{r}'|} \times \vec{J}(\vec{r}') \right) dv'$$

$$= \frac{\mu}{4\pi} \iiint \left( 0 + \text{grad} \frac{1}{|\vec{r} - \vec{r}'|} \times \vec{J}(\vec{r}') \right) dv'$$

$$\vec{J}(\vec{r}') \text{ ist } \underline{\text{keine}} \text{ Funktion der ungestrichenen Koordinate } \vec{r}$$

$$= \frac{\mu}{4\pi} \iiint \left( -\frac{\left(\vec{r} - \vec{r}'\right)}{\left|\vec{r} - \vec{r}'\right|^{3}} \times \vec{J}\left(\vec{r}'\right) \right) dv' \qquad + \qquad \qquad \# \text{ grad } \frac{1}{\left|\vec{r} - \vec{r}'\right|} = -\frac{\left(\vec{r} - \vec{r}'\right)}{\left|\vec{r} - \vec{r}'\right|^{3}}$$

$$\vec{B}(\vec{r}) = \frac{\mu}{4\pi} \iiint \frac{\vec{J}(\vec{r}') \times (\vec{r} - \vec{r}')}{|\vec{r} - \vec{r}'|^3} dv'$$

Biot - Savart Gesetz

Damit ist das Feld B direkt aus der Stromdichte J durch Integration berechenbar.

#### <u>Nebenrechnung</u>

grad 
$$\frac{1}{|\vec{r}-\vec{r}|} = ?$$

$$\vec{r}-\vec{r}' = (x-x') \vec{e}_x + (y-y') \vec{e}_y + (z-z') \vec{e}_z$$

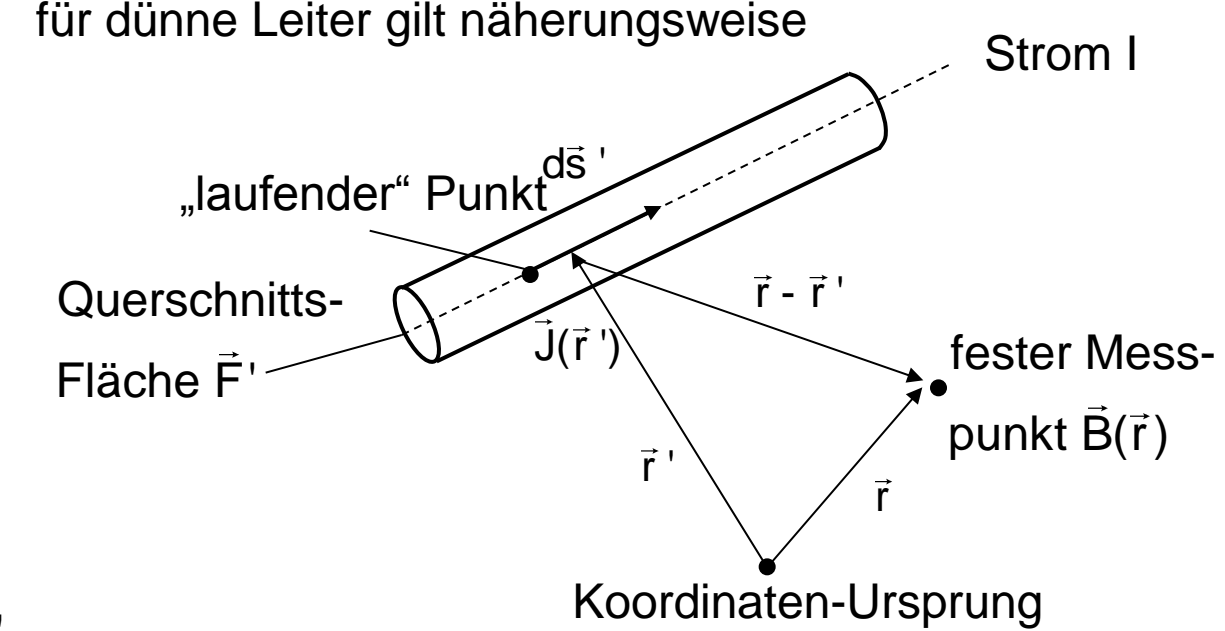
$$|\vec{r}-\vec{r}'| = \sqrt{(x-x')^2 + (y-y')^2 + (z-z')^2}$$

$$= \vec{e}_x \frac{\partial}{\partial x} \frac{1}{\sqrt{(x-x')^2 + (y-y')^2 + (z-z')^2}} + \vec{e}_y \frac{\partial}{\partial y} \frac{1}{\sqrt{.}} + \vec{e}_z \frac{\partial}{\partial z} \frac{1}{\sqrt{.}}$$

$$= \vec{e}_x \left( -\frac{1}{2} \right) \frac{1}{\sqrt{(x-x')^2 + (y-y')^2 + (z-z')^2}} 2(x-x') + \vec{e}_y \left( -\frac{1}{2} \right) \frac{1}{\sqrt{.}^3} 2(y-y') + \vec{e}_z \cdots$$

$$= -\vec{e}_{x} \frac{(x-x')}{\sqrt{(x-x')^{2} + (y-y')^{2} + (z-z')^{2}}} - \vec{e}_{y} \frac{(y-y')}{\sqrt{\cdot}^{3}} - \vec{e}_{z} \frac{(z-z')}{\sqrt{\cdot}^{3}}$$

$$= -\frac{(\vec{r} - \vec{r}')}{|\vec{r} - \vec{r}'|^3}$$
 q.e.d.



$$\vec{B}(\vec{r}) = \frac{\mu}{4\pi} \iiint \frac{\vec{J}(\vec{r}') \times (\vec{r} - \vec{r}')}{|\vec{r} - \vec{r}'|^3} dv'$$

Biot - Savart

$$\vec{J}(\vec{r}') \cdot dv' = \vec{J}(\vec{r}') \cdot \vec{F}' \cdot d\vec{s}' = I \cdot d\vec{s}'$$

$$\rightarrow \vec{B}(\vec{r}) = \frac{\mu}{4\pi} \int_{\text{Leiter}} \frac{I \cdot d\vec{s}' \times (\vec{r} - \vec{r}')}{|\vec{r} - \vec{r}'|^3}$$

$$\vec{B}(\vec{r}) = \frac{\mu \cdot I}{4\pi} \cdot \int \frac{d\vec{s}' \times (\vec{r} - \vec{r}')}{|\vec{r} - \vec{r}'|^3}$$

Magnetfeld B als Funktion des Leitungsstroms I und der Leitergeometrie

Beispiel: gerader Leiter in z-Richtung

$$\vec{B}(\vec{r}) = \frac{\mu I}{4\pi} \int \frac{d\vec{s}' \times (\vec{r} - \vec{r}')}{|\vec{r} - \vec{r}'|^3}$$

$$\vec{e}_z \times \vec{e}_x = \vec{e}_y$$

$$\vec{e}_z \times \vec{e}_y = -\vec{e}_x$$

$$\vec{e}_z \times \vec{e}_z = 0$$

$$d\vec{s}' = dz' \vec{e}_z$$

$$\vec{r}' \Rightarrow \begin{cases} x' = x_0 \\ y' = y_0 \end{cases} \text{ fest}$$

$$z' \text{ variabel}$$

Beispiel: gerader Leiter in z-Richtung
$$\vec{B}(\vec{r}) = \begin{cases}
\vec{B}(\vec{r}) = \\
\vec{\mu} \vec{I} \int \frac{d\vec{s}' \times (\vec{r} - \vec{r}')}{|\vec{r} - \vec{r}'|^3} & \vec{e}_z \times \vec{e}_x = \vec{e}_y \\
\vec{e}_z \times \vec{e}_z = 0
\end{cases}$$

$$\vec{e}_z \times \vec{e}_z = \vec{e}_x \\
\vec{e}_z \times \vec{e}_z = 0$$

$$\vec{r} \Rightarrow \begin{cases}
x' = x_0 \\
y' = y_0 \\
z'
\end{cases}$$

$$\vec{r} \Rightarrow \begin{cases}
x', y', z' \\
y' = y_0 \\
z'
\end{cases}$$

$$\vec{r} \Rightarrow \vec{B}(x, y, z)$$

$$\vec{r} \Rightarrow \vec{r} \Rightarrow \vec{r$$

$$\begin{split} \vec{B}(x,y,z) &= \frac{\mu I}{4\pi} \int_{z_1}^{z_2} \frac{\vec{e}_z \times ((x-x_0) \vec{e}_x + (y-y_0) \vec{e}_y + (z-z') \vec{e}_z)}{((x-x_0)^2 + (y-y_0)^2 + (z-z')^2)^{\frac{3}{2}}} dz' \\ &= \frac{\mu I}{4\pi} \left( \vec{e}_y \int_{z_1}^{z_2} \frac{(x-x_0) dz'}{((x-x_0)^2 + (y-y_0)^2 + (z-z')^2)^{\frac{3}{2}}} - \vec{e}_x \int_{z_1}^{z_2} \frac{(y-y_0) dz'}{((x-x_0)^2 + (y-y_0)^2 + (z-z')^2)^{\frac{3}{2}}} + 0 \right) \end{split}$$

speziell Draht auf z-Achse, d.h.  $x_0 = 0$ ,  $y_0 = 0$ 

$$x_0 = 0, y_0 = 0$$

$$\vec{B}(x,y,z) = \frac{\mu}{4\pi} \left[ \vec{e}_y \int_{z_1}^{z_2} \frac{x \cdot dz'}{\left(x^2 + y^2 + (z-z')^2\right)^{\frac{3}{2}}} - \vec{e}_x \int_{z_1}^{z_2} \frac{y \cdot dz'}{\left(x^2 + y^2 + (z-z')^2\right)^{\frac{3}{2}}} \right]$$

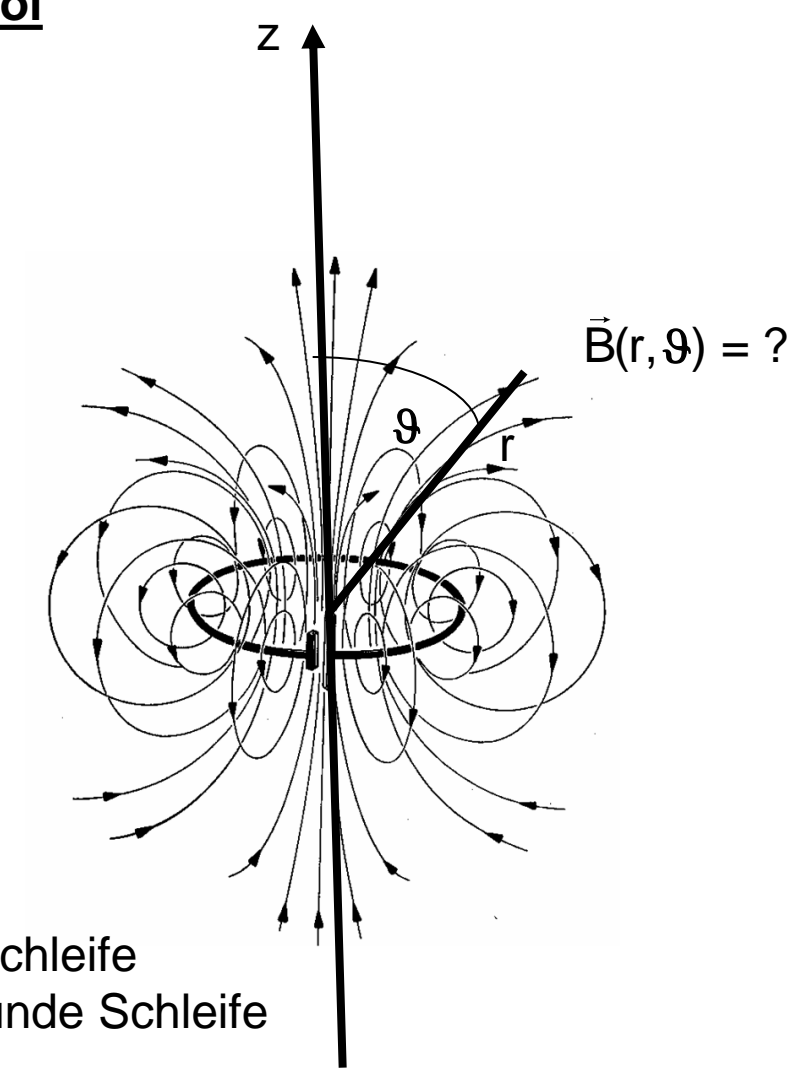
#### 5.9 Magnetischer Dipol

#### Ziel:

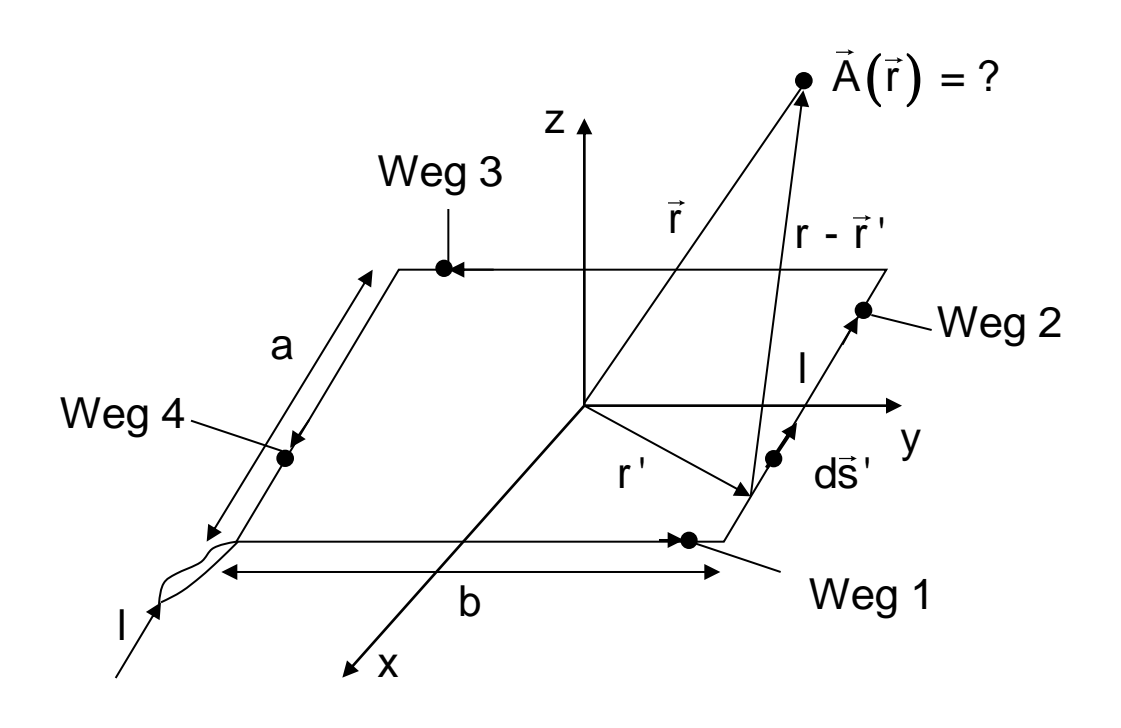
Berechnung des Magnetfeldes des magnetischen Dipols  $\vec{B}(r, \vartheta)$  in Abhängigkeit vom Abstand rund dem Winkel  $\vartheta$ 

#### Methode:

- Vereinfachung durch Betrachtung einer rechteckigen an Stelle einer runden Leiterschleife
- Berechnung des Vektorpotentials in kartesischen Koordinaten
- Näherung für sehr kleine Abmessung der Leiterschleife
- Nachweis der Äquivalenz der Lösung auch für runde Schleife
- Transformation in Kugelkoordinaten
- Berechnung der magnetischen Flussdichte B



#### Vektorpotential einer rechteckigen Leiterschleife



kleine Schleife bei z=0

$$|\vec{A}(\vec{r}) = \frac{\mu \cdot I}{4\pi} \int_{\text{Leiter}} \frac{d\vec{s}'}{|\vec{r} - \vec{r}'|}$$

$$\vec{A}(\vec{r}) = \frac{\mu \cdot I}{4\pi} \left( \int_{\text{Weg1}} \frac{dy'}{\left|\vec{r} - \vec{r}'\right|} \vec{e}_y + \int_{\text{Weg2}} \frac{dx'}{\left|\vec{r} - \vec{r}'\right|} \vec{e}_x + \int_{\text{Weg3}} \frac{dy'}{\left|\vec{r} - \vec{r}'\right|} \vec{e}_y + \int_{\text{Weg4}} \frac{dx'}{\left|\vec{r} - \vec{r}'\right|} \vec{e}_x \right)$$

$$A_{x} = \frac{\mu \cdot I}{4\pi} \left( \int_{\substack{+a/2 \\ \text{Weg2}}}^{-a/2} \frac{dx'}{|\vec{r} - \vec{r}'|} + \int_{\substack{-a/2 \\ \text{Weg4}}}^{+a/2} \frac{dx'}{|\vec{r} - \vec{r}'|} \right) \quad \text{und} \quad A_{y} = \frac{\mu \cdot I}{4\pi} \left( \int_{\substack{-b/2 \\ \text{Weg1}}}^{+b/2} \frac{dy'}{|\vec{r} - \vec{r}'|} + \int_{\substack{+b/2 \\ \text{Weg3}}}^{-b/2} \frac{dy'}{|\vec{r} - \vec{r}'|} \right) \quad \text{und} \quad A_{z} = 0$$

#### Berechnung für sehr kleine Schleife

$$\frac{1}{|\vec{r} - \vec{r}'|} = \frac{1}{\sqrt{(x - x')^2 + (y - y')^2 + z^2}}$$
 wobei  $z' = 0$ 

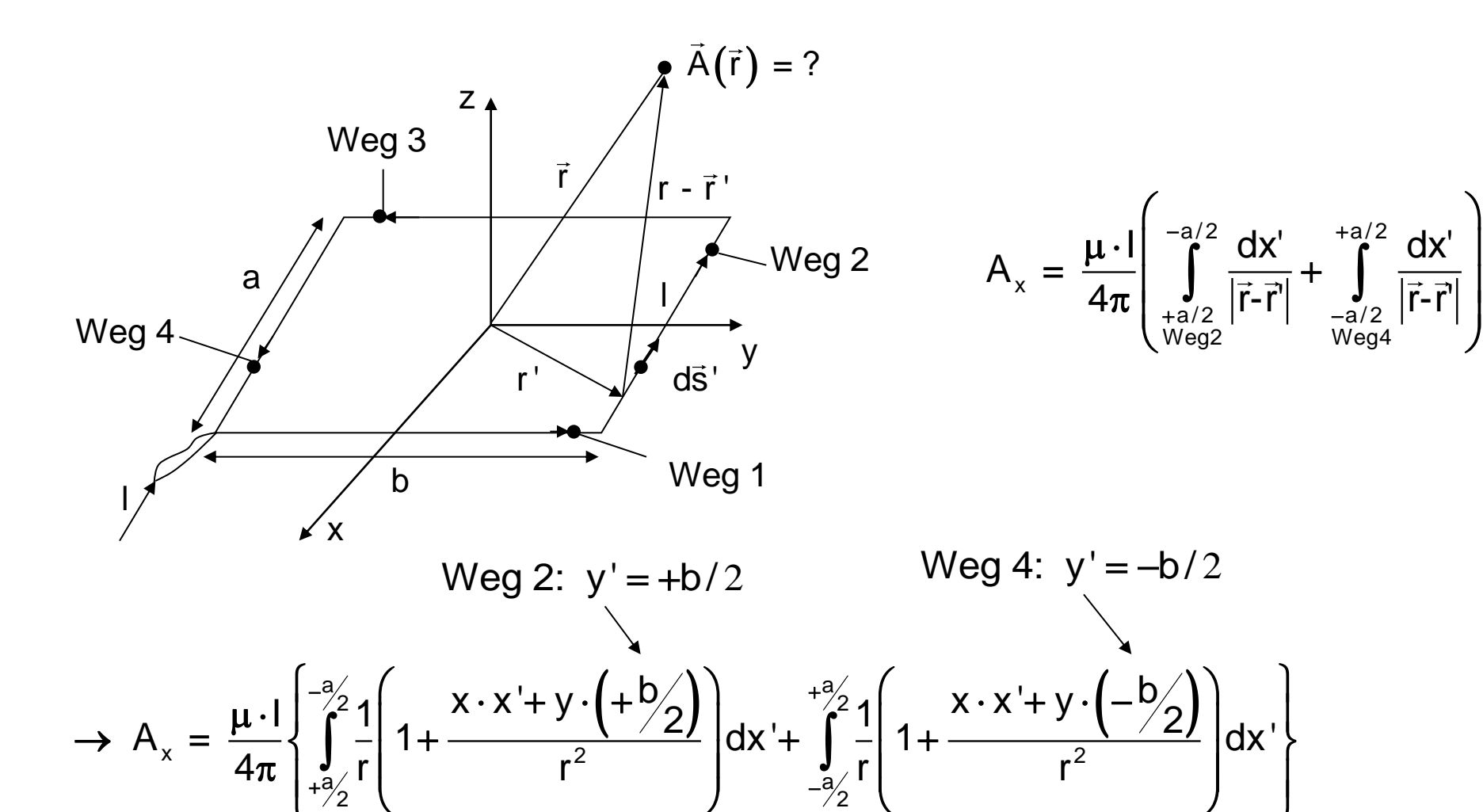
$$= \frac{1}{\sqrt{x^2 - 2x \, x' + x'^2 + y^2 - 2y \, y' + y'^2 + z^2}}$$
 wobei  $x', y' \ll x, y$ 

$$\approx \frac{1}{\sqrt{x^2 + y^2 + z^2 - 2x \, x' - 2y \, y'}}$$
 wobei  $x^2 + y^2 + z^2 = r^2$ 

$$= \frac{1}{r\sqrt{1 - \frac{2x \, x' + 2y \, y'}{r^2}}}$$
 Näherung  $\frac{1}{\sqrt{1 + \sigma}} \approx 1 - \frac{1}{2} \, \sigma$ 

$$\sigma \ll 1$$

$$\approx \frac{1}{r} \left( 1 + \frac{x \, x' + y \, y'}{r^2} \right)$$



$$= \frac{\mu \cdot l}{4\pi} \cdot \frac{1}{r^3} \cdot \left(\frac{b}{2}\right) \cdot y \underbrace{\int_{+\frac{a}{2}}^{-\frac{a}{2}} dx' - \int_{-\frac{a}{2}}^{+\frac{a}{2}} dx'}_{-\frac{a}{2}} = -\frac{\mu \cdot l}{4\pi} \cdot \frac{1}{r^3} \cdot a \cdot b \cdot y$$

$$a \cdot b = F \text{ (Fläche)}$$

Weg 3

$$\vec{r}$$
 $r - \vec{r}'$ 

Weg 2

Weg 1

Weg 2
$$A_{y} = \frac{\mu \cdot I}{4\pi} \left( \int_{-b/2}^{+b/2} \frac{dy'}{|\vec{r} - \vec{r}'|} + \int_{+b/2}^{-b/2} \frac{dy'}{|\vec{r} - \vec{r}'|} \right)$$

Weg 1: 
$$x' = +a/2$$
 Weg 3:  $x' = -a/2$ 

$$A_y = \frac{\mu \cdot l}{4\pi} \left\{ \int_{-b/2}^{+b/2} \frac{1}{r} \left( 1 + \frac{x \cdot (+a/2) + y \cdot y'}{r^2} \right) dy' + \int_{+b/2}^{-b/2} \frac{1}{r} \left( 1 + \frac{x \cdot (-a/2) + y \cdot y'}{r^2} \right) dy' \right\}$$

$$= \frac{\mu \cdot l}{4\pi} \cdot \frac{1}{r^3} \cdot \left(\frac{a}{2}\right) \cdot x \underbrace{\begin{cases} \int_{-b/2}^{+b/2} dy' - \int_{+b/2}^{-b/2} dy' \\ -\frac{b}{2} & \text{otherwise} \end{cases}}_{\text{$+2b$}} = + \frac{\mu \cdot l}{4\pi} \cdot \frac{1}{r^3} \cdot a \cdot b \cdot x$$

$$a \cdot b = F \text{ (Fläche)}$$

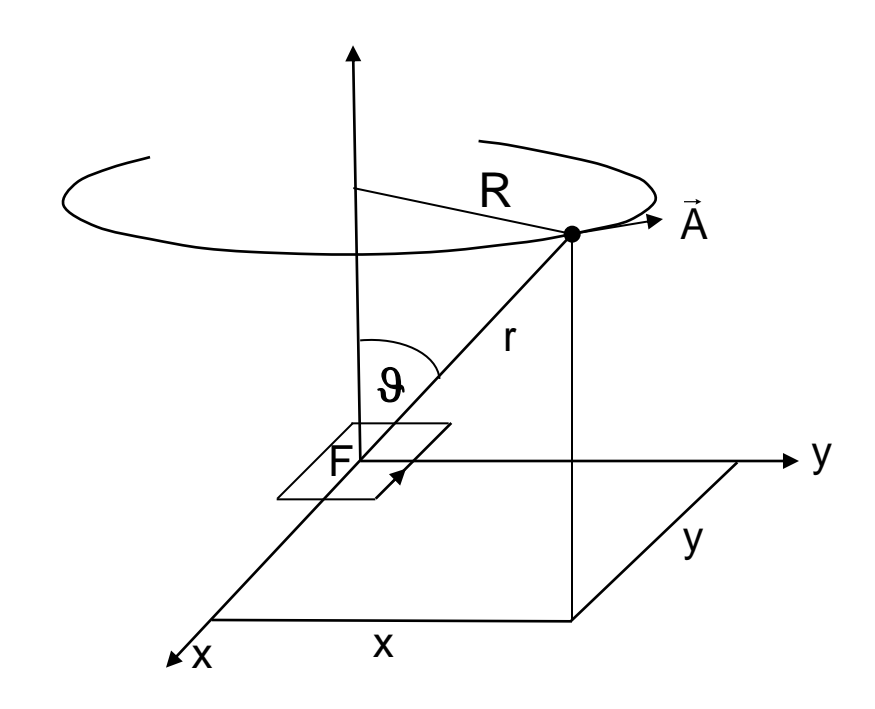
# Lösung $\vec{A}(x,y,z)$ für Drahtschleife:

$$A_{x} = -\frac{\mu \cdot I}{4\pi} \cdot \frac{1}{r^{3}} \cdot F \cdot y$$

$$A_{y} = +\frac{\mu \cdot I}{4\pi} \cdot \frac{1}{r^{3}} \cdot F \cdot x$$

$$A_{z} = 0$$

mit 
$$F = a \cdot b$$
 (Fläche)



- Das Ergebnis ist auf Grund der Annahme sehr kleiner Abmessungen der Schleife unabhängig von den Abmessungen a und b der Schleife.
- Sowohl eine sehr schmale Schleife mit a < b als auch eine quadratische Schleife mit a = b liefert das gleiche Ergebnis für gleiche Schleifenflächen F= a b.
- Daher gilt dieses Ergebnis auch für eine Schleife mit rundem Querschnitt.

#### Kartesische Koordinaten → Kugelkoordinaten

$$A_x(x, y, z) = -k y$$

$$A_y(x, y, z) = +k x \quad \text{mit Abkürzung } k = \frac{\mu l}{4\pi} \frac{F}{r^3}$$

$$A_z(x, y, z) = 0$$

1 Ortsvektoren 
$$(x, y, z) \rightarrow (r, \vartheta, \phi)$$

$$A_{x}(r, \vartheta, \varphi) = -k r \sin \vartheta \sin \varphi$$

$$A_{y}(r, \vartheta, \varphi) = +k r \sin \vartheta \cos \varphi$$

$$A_{z}(r, \vartheta, \varphi) = 0$$

$$A_r = A_x \sin \vartheta \cos \varphi + A_y \sin \vartheta \sin \varphi + 0$$
$$= -k r \sin^2 \vartheta \sin \varphi \cos \varphi + k r \sin^2 \vartheta \cos \varphi \sin \varphi = 0$$

$$A_{\vartheta} = A_{x} \cos \vartheta \cos \varphi + A_{y} \cos \vartheta \sin \varphi$$
$$= -k r \sin \vartheta \cos \vartheta \sin \varphi \cos \varphi + k r \sin \vartheta \cos \vartheta \cos \varphi \sin \varphi = 0$$

$$A_{\varphi} = -A_{x} \sin \varphi + A_{y} \cos \varphi$$

$$= + k r \sin \vartheta \sin^{2} \varphi + k r \sin \vartheta \cos^{2} \varphi$$

$$= k r \sin \vartheta \left( \sin^{2} \varphi + \cos^{2} \varphi \right) = k r \sin \vartheta$$

mit Abkürzung  $k = \frac{\mu I}{4\pi} \frac{F}{r^3}$ 

$$\rightarrow \left| \vec{A}(r,\vartheta) = \frac{\mu}{4\pi} \cdot F \cdot \frac{\sin\vartheta}{r^2} \cdot \vec{e}_{\varphi} \right|$$

$$\rightarrow \vec{A}(r,\vartheta) = \frac{\mu}{4\pi} \cdot \vec{F} \cdot \frac{\sin\vartheta}{r^2} \vec{e}_{\varphi}$$

$$\vec{B}(r,\vartheta) = rot \left( A_{\varphi} \vec{e}_{\varphi} \right)$$

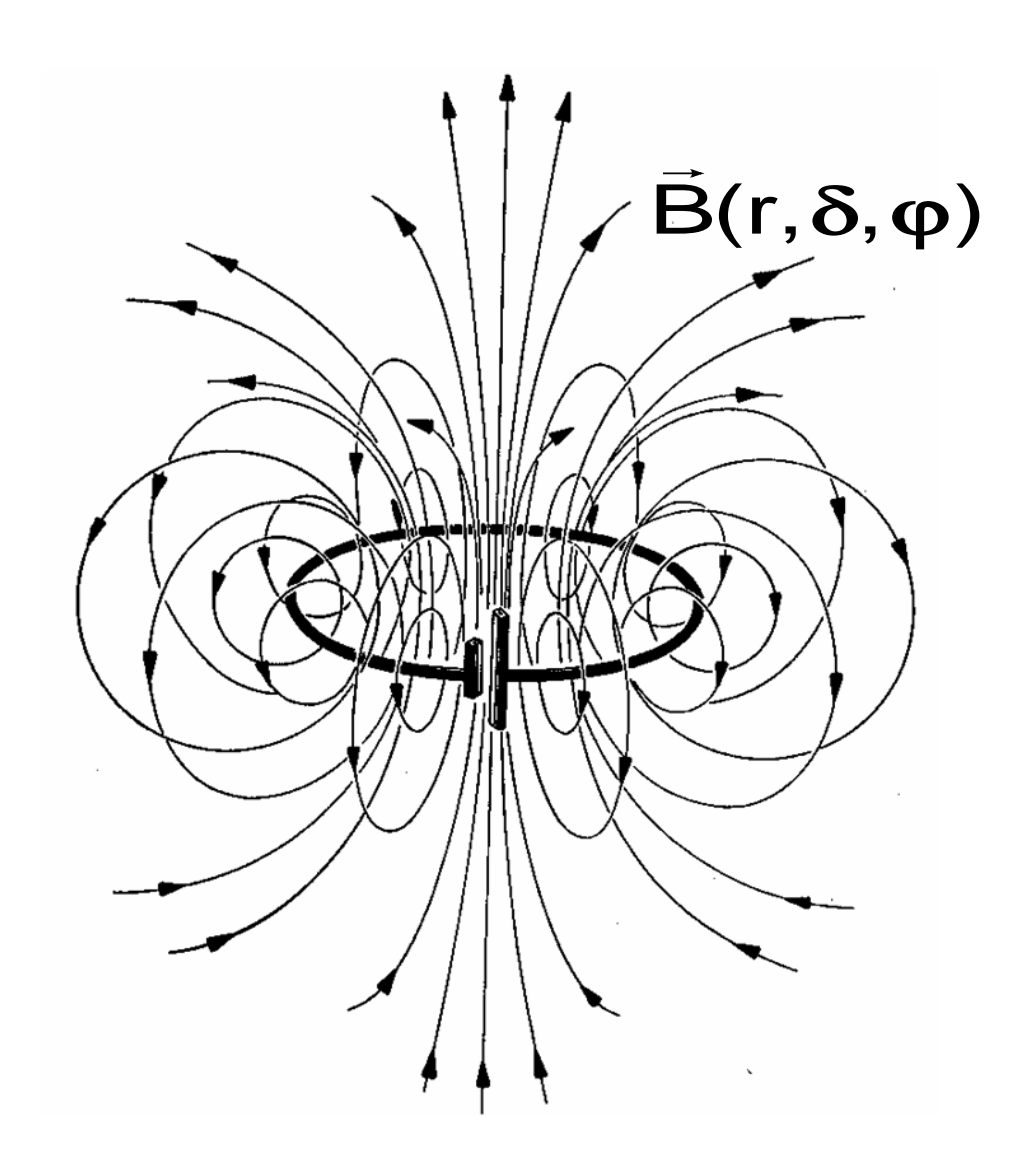
$$= \frac{1}{r \sin \vartheta} \left( \frac{\partial}{\partial \vartheta} \left( A_{\varphi} \sin \vartheta \right) \right) \vec{e}_{r} + \frac{1}{r} \left( -\frac{\partial}{\partial r} \left( r A_{\varphi} \right) \right) \vec{e}_{\vartheta} + 0 \cdot \vec{e}_{\varphi}$$

$$= \frac{\mu \, I}{4\pi} \, F \left[ \frac{1}{r \sin \vartheta} \, \frac{\partial}{\partial \vartheta} \left( \frac{1}{r^2} \sin^2 \vartheta \right) \vec{e}_r - \frac{1}{r} \frac{\partial}{\partial r} \left( \frac{1}{r} \sin \vartheta \right) \vec{e}_\vartheta \right]$$

$$= \frac{\mu \, I}{4\pi} \, F \left[ \left( \frac{1}{r \sin \vartheta} \, \frac{1}{r^2} \, 2 \sin \vartheta \, \cos \vartheta \right) \vec{e}_r - \frac{1}{r} \left( -\frac{1}{r^2} \sin \vartheta \right) \vec{e}_\vartheta \right]$$

$$= \frac{\mu \, I}{4\pi} \, F \left[ \frac{2 \cos \vartheta}{r^3} \, \vec{e}_r + \frac{\sin \vartheta}{r^3} \, \vec{e}_\vartheta \right]$$

#### **Ergebnis**



$$B_{r} = \frac{\mu}{4\pi} I \cdot F \frac{2 \cos \theta}{r^{3}}$$

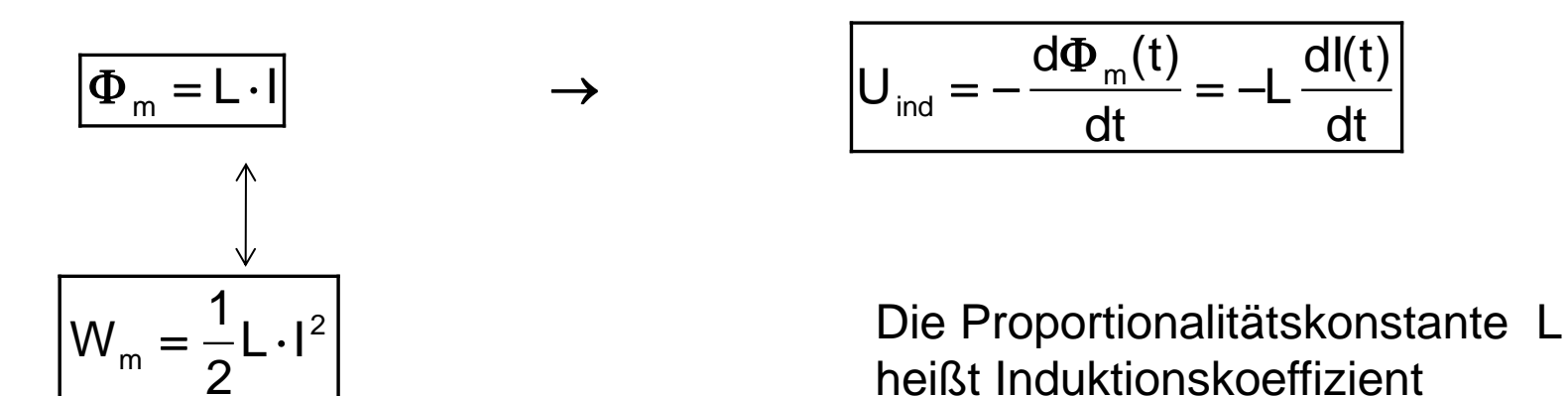
$$B_{\theta} = \frac{\mu}{4\pi} I \cdot F \frac{\sin \theta}{r^{3}}$$

$$B_{\phi} = 0$$

## 6 Induktionskoeffizient L

In der Elektrodynamik gibt es zwei Beziehungen von Größen, die durch die gleiche Proportionalitätskonstante L verbunden sind.

- Der magnetische Fluss mit dem erzeugenden Strom
- Die magnetische Feldenergie mit dem erzeugenden Strom

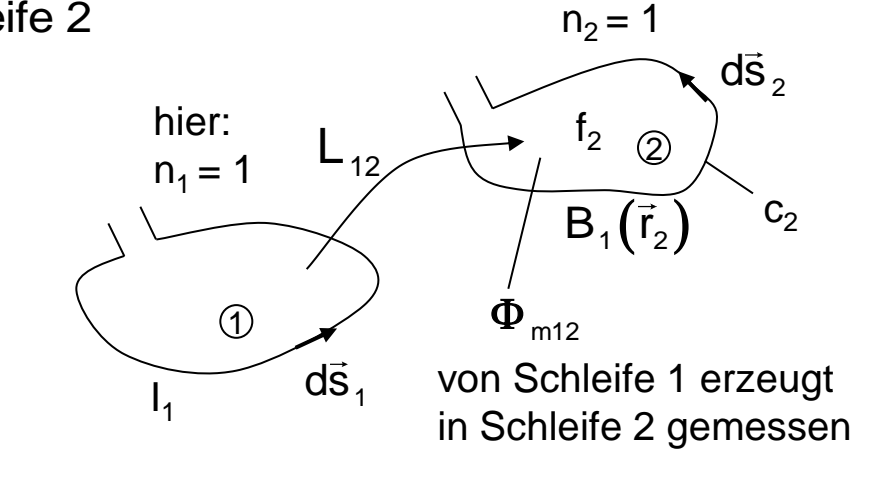


#### 6.1 Induktionskoeffizient und magnetischer Fluss

Voraussetzungen: dünne Leiter bilden geschlossene Drahtschleifen

**Gegeninduktion**  $\Phi_{m12}$ : von Strom I<sub>1</sub> erzeugt und in Schleife 2 gemessen

$$\begin{split} & \Phi_{\text{m12}} = \int\limits_{f_2} \vec{B}_1(\vec{r}_2) \cdot d\vec{f}_2 \quad \vec{r}_2 \text{ ist Ortsvektor innerhalb Schleife 2} \\ & = \int\limits_{f_2} \text{rot } \vec{A}_1(\vec{r}_2) \cdot d\vec{f}_2 \\ & = \oint\limits_{c_2} \vec{A}_1(\vec{r}_2) \cdot d\vec{s}_2 \qquad \vec{A}_1(\vec{r}_2) = \frac{\mu \cdot l_1}{4\pi} \int \frac{d\vec{s}_1}{|\vec{r}_1 - \vec{r}_2|} \end{split}$$



hier:

**Gegeninduktion:** eine Windung: n Windungen:

 $L_{12} = \Phi_{m12} / I_1$   $L_{12}^{(n_2)} = n_2 \Phi_{m12} / I_1$ 

Selbstinduktion: n Windungen:

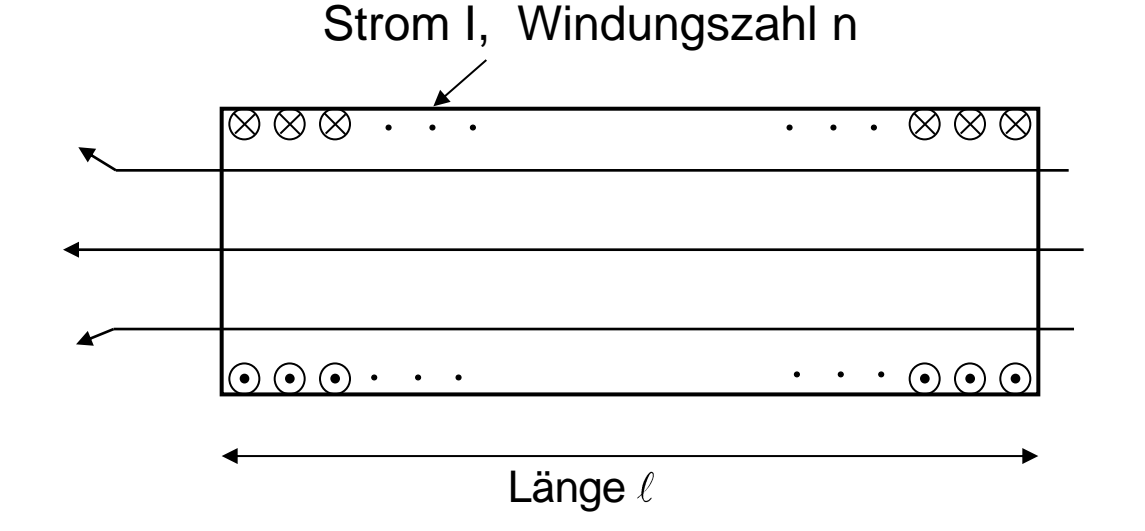
$$L_{11}^{(n_1)} = n_1 \Phi_{m1} / I_1$$

## Selbstinduktivität einer langen Spule mit Kern



Querschnittsfläche

B ≈ const. über A



$$\oint \vec{H} \cdot d\vec{s} = \int \vec{J} \cdot d\vec{f}$$

magn. Fluss im Querschnitt 
$$\Phi_{m} = B \cdot A = \mu_{0} \cdot \mu_{r} \cdot H \cdot A$$

Durchflutungsgesetz:

$$\Phi_{m} = \mu_{0} \cdot \mu_{r} \frac{A \cdot n}{\ell} \cdot I \qquad H \cdot \ell \approx n \cdot I$$

$$\mathbf{n} \cdot \mathbf{\Phi}_{\mathsf{m}} = \mu_{\mathsf{0}} \cdot \mu_{\mathsf{r}} \frac{\mathbf{A} \cdot \mathsf{n}^{2}}{\ell} \cdot \mathsf{I} \quad \Longleftrightarrow \boxed{\mathbf{n} \cdot \mathbf{\Phi}_{\mathsf{m}} = \mathsf{L} \cdot \mathsf{I}} \Rightarrow \boxed{\mathbf{L} = \mu_{\mathsf{0}} \cdot \mu_{\mathsf{r}} \frac{\mathbf{A} \cdot \mathsf{n}^{2}}{\ell}}$$

#### 6.2 Induktionskoeffizient und magnetische Feldenergie

$$w_e = \frac{1}{2} \vec{E} \cdot \vec{D}$$
 Energiedichte des elektrischen Feldes  $W_e = \int w_e dv$  gesamte elektrische Feldenergie

Einheit (w<sub>e</sub>) = 
$$\frac{V}{m} \cdot \frac{As}{m^2} = \frac{Joule}{m^3}$$

wenn  $D = \varepsilon \vec{E}$  gilt, dann folgt:

$$W_e = \frac{\varepsilon}{2} E^2$$

$$w_m = \frac{1}{2} \vec{H} \cdot \vec{B}$$
 Energiedichte des magnetischen Feldes  $W_m = \int w_m dv$  gesamte magnetische Feldenergie

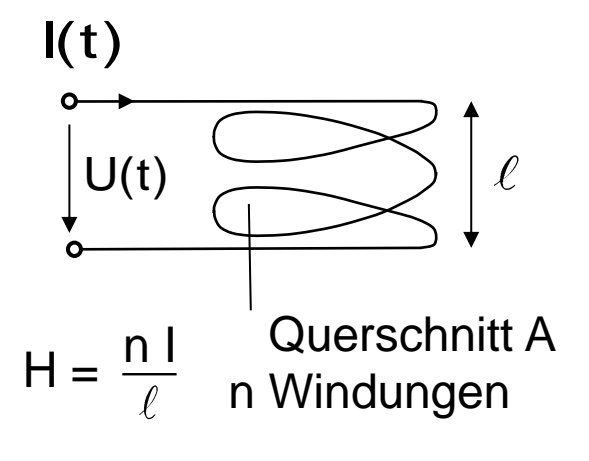
Einheit (w<sub>m</sub>) = 
$$\frac{A}{m} \cdot \frac{Vs}{m^2} = \frac{Joule}{m^3}$$

wenn  $B = \mu \cdot \vec{H}$  gilt, dann folgt:

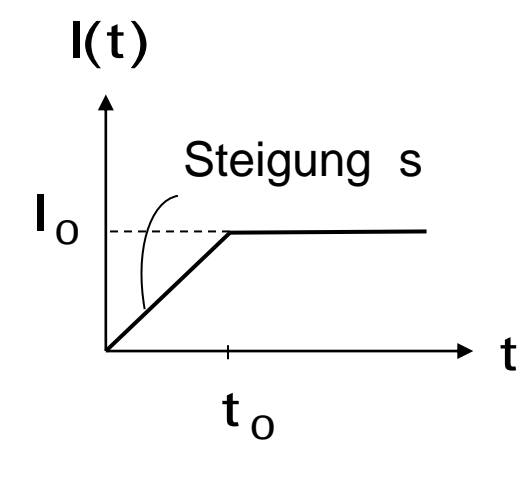
$$w_m = \frac{\mu}{2} H^2$$

#### Veranschaulichung der magnetischen Feldenergie

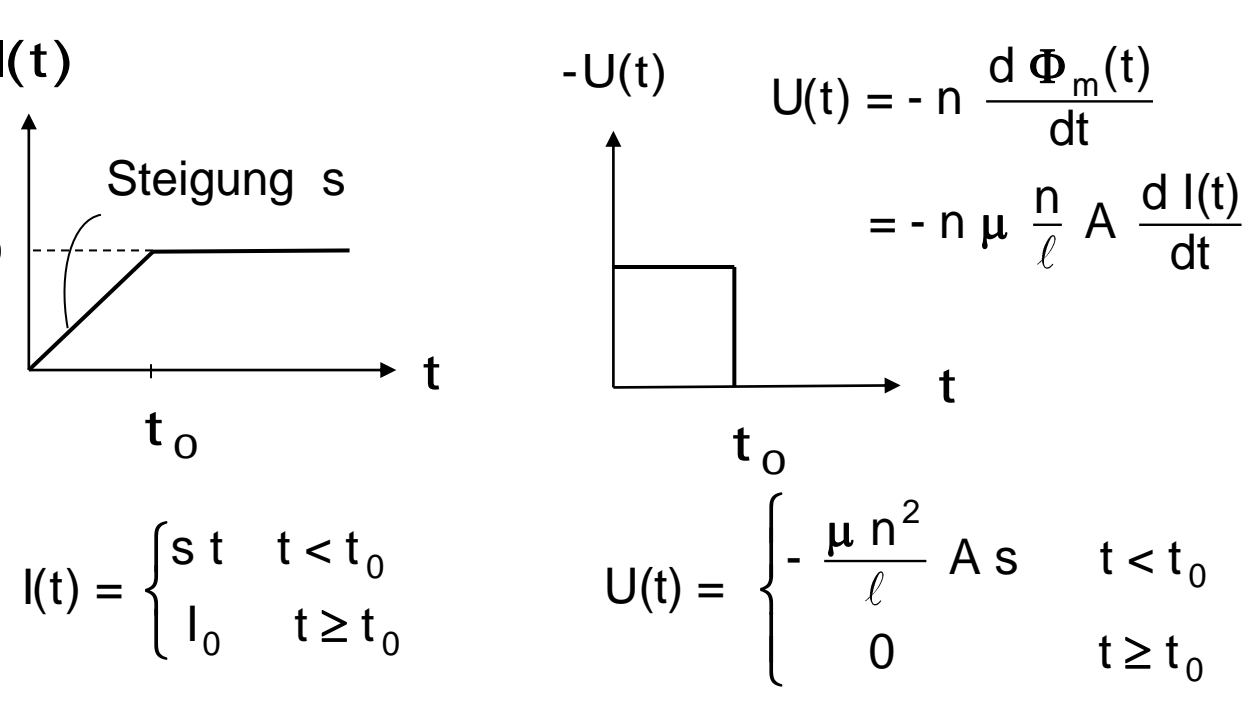
Strom wird in eine Spule eingespeist, ein Magnetfeld baut sich auf



$$\Phi_{m}(t) = \mu H(t) A = \mu \frac{n}{\ell} I(t) A$$



$$I(t) = \begin{cases} s t & t < t_0 \\ I_0 & t \ge t_0 \end{cases}$$



Aufgenommene elektrische Leistung:

$$P(t) = U(t) \cdot I(t) = \begin{cases} -\left(\frac{\mu n^2}{\ell} A s\right) (s t) & t < t_0 \\ 0 & t \ge t_0 \end{cases}$$

Gesamte aufgenommene elektrische Energie nach t ≥ t<sub>0</sub>

$$W_{UI} = \int_{0}^{t_{0}} P(t) dt = -\frac{\mu n^{2}}{\ell} A s^{2} \frac{1}{2} t_{0}^{2} = -\frac{1}{2} \frac{\mu n^{2} A}{\ell} I_{0}^{2}$$

$$H_{0} = \frac{n I_{0}}{\ell} \longrightarrow I_{0} = \frac{\ell H_{0}}{n} \longrightarrow W_{UI} = -\frac{1}{2} \mu H_{0}^{2} A \ell$$

Gesamte aufgebaute magnetische Feldenergie:  $W_m = \int w_m dv$ 

Magnetfeld H räumlich konstant in Spule mit Volumen  $A\ell \longrightarrow W_m = w_m A \ell$ 

Energiesatz: 
$$W_m \stackrel{!}{=} W_{UI} \longrightarrow W_m A \ell \stackrel{!}{=} -\frac{1}{2} \mu H_0^2 A \ell$$

$$\rightarrow \left| \mathbf{w}_{m} = \frac{1}{2} \mu H_{0}^{2} \right|$$
 magnetische Feldenergiedichte

#### Ziel: Berechnung der Feldenergie über die erzeugenden Ströme

Energiedichte des magn. Feldes:

$$W_{m} = \frac{1}{2} \vec{H} \cdot \vec{B}$$

$$W_{m} = \frac{1}{2} \int \vec{H} \cdot \vec{B} \, dv$$

Ziel: Feldenergie als Funktion

der erzeugenden Ströme bestimmen

#### Gesamte Feldenergie:

$$W_m = \frac{1}{2} \int \vec{H} \cdot rot \vec{A} dv$$

und div
$$(\vec{A} \times \vec{H}) = \vec{H} \cdot \text{rot } \vec{A} - \vec{A} \cdot \text{rot } \vec{H}$$

$$W_m = \frac{1}{2} \int div(\vec{A} \times \vec{H}) dv + \frac{1}{2} \int \vec{A} \cdot rot \vec{H} dv$$
 und Gaußsatz und rot  $\vec{H} = \vec{J}$ 

$$W_{m} = \frac{1}{2} \oint (\vec{A} \times \vec{H}) \cdot d\vec{f} + \frac{1}{2} \int \vec{A} \cdot \vec{J} dv$$

und 
$$\oint (\vec{A} \times \vec{H}) \cdot d\vec{f} = 0$$
 über "Fernkugel"

$$W_{m} = \frac{1}{2} \int \vec{A} \cdot \vec{J} \, dv \quad \text{mit} \quad \vec{A}(\vec{r}) = \frac{\mu}{4\pi} \int \frac{\vec{J}(\vec{r}\,')}{|\vec{r}\,-\vec{r}\,'|} \, dv' \, \rightarrow \, \boxed{W_{m} = \frac{1}{2} \cdot \frac{\mu}{4\pi} \, \iint \frac{\vec{J}(\vec{r}\,) \cdot \vec{J}(\vec{r}\,')}{|\vec{r}\,-\vec{r}\,'|} \, dv \, dv'}$$

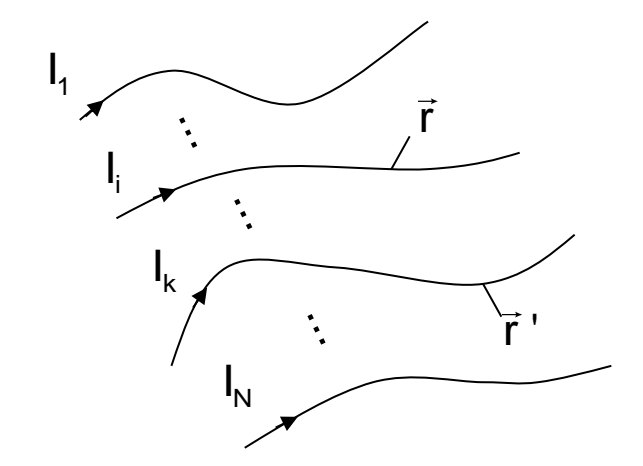
$$W_{m} = \frac{1}{2} \frac{\mu}{4\pi} \iint \frac{\vec{J}(\vec{r}) \cdot \vec{J}(\vec{r}')}{|\vec{r} \cdot \vec{r}'|} dv dv'$$

magnetische Feldenergie als Funktion der Stromdichte  $\vec{J}(\vec{r})$ 

Spezialfall: N Leiter wobei  $\vec{J}(\vec{r}) = 0$  außerhalb der Leiter

$$\rightarrow W_{m} = \frac{1}{2} \frac{\mu}{4\pi} \iint_{i=1}^{N} \sum_{k=1}^{N} \frac{\vec{J}_{i}(\vec{r}) \cdot \vec{J}_{k}(\vec{r}')}{|\vec{r} - \vec{r}'|} dv dv'$$

$$= \frac{1}{2} \sum_{i=1}^{N} \sum_{k=1}^{N} \left( \frac{\mu}{4\pi} \frac{1}{I_{i} \cdot I_{k}} \iint_{i} \frac{\vec{J}_{i}(\vec{r}) \cdot \vec{J}_{k}(\vec{r}')}{|\vec{r} - \vec{r}'|} dv dv' \right) I_{i} \cdot I_{k}$$



Def. Lik Induktionskoeffizienten

 $W_{m} = \frac{1}{2} \sum_{i=1}^{N} \sum_{k=1}^{N} L_{ik} I_{i} I_{k}$  Einheit: Henry  $1H = \frac{1}{\Lambda^{2}} = \frac{1 \text{ VAs}}{\Lambda^{2}} = \frac{1 \text{ Vs}}{\Lambda^{2}}$ 

I<sub>i</sub> = Gesamtstrom durch Leiter i

$$L_{ii} = \frac{1}{I_i^2} \cdot \frac{\mu}{4\pi} \cdot \iiint_{\text{Leiter i}} \iiint_{\text{Leiter i}} \frac{\vec{J}_i(\vec{r}) \cdot \vec{J}_i(\vec{r}')}{|\vec{r} - \vec{r}'|} \ dv \ dv'$$

Selbstinduktionskoeffizienten

$$L_{ik} = \frac{1}{I_i \cdot I_k} \cdot \frac{\mu}{4\pi} \cdot \iiint_{\text{Leiter i}} \iiint_{\text{Leiter k}} \frac{\vec{J}_i(\vec{r}) \cdot \vec{J}_k(\vec{r}')}{|\vec{r} - \vec{r}'|} \text{ dv dv'}$$
Gegeninduktionskoeffizienten

$$(L_{ik} = L_{ki})$$

$$\rightarrow \boxed{W_{m} = \frac{1}{2} \sum_{i=1}^{N} \sum_{k=1}^{N} L_{ik} \cdot I_{i} \cdot I_{k}}$$

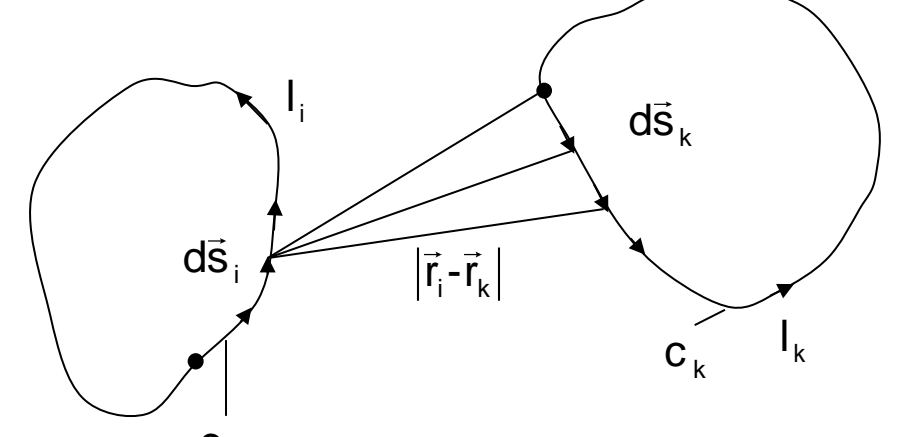
z.B.: 
$$N = 1$$
  $W_m = \frac{1}{2} L I^2$ 

z.B.: 
$$N = 2$$
  $W_m = \frac{1}{2} L_{11} I_1^2 + L_{12} I_1 I_2 + \frac{1}{2} L_{22} I_2^2$ 

#### Gegeninduktionskoeffizient dünner Leiter

$$\begin{split} L_{ik} &= \frac{1}{I_i \cdot I_k} \frac{\mu}{4\pi} \iiint \frac{\vec{J}_i(\vec{r}) \cdot \vec{J}_k(\vec{r}')}{\left| \vec{r} \cdot \vec{r}' \right|} \; dv_i \; dv'_k \qquad \text{mit } \vec{J}_i \; dv_i = \vec{J}_i \cdot df_i \; d\vec{s}_i = I_i d\vec{s}_i \\ &= \frac{1}{I_i \cdot I_k} \frac{\mu}{4\pi} \; I_i \; I_k \oint_{c_i} \oint_{c_i} \frac{d\vec{s}_i \cdot d\vec{s}_k}{\left| \vec{r}_i \cdot \vec{r}_k \right|} \end{split}$$

$$\rightarrow \boxed{ L_{ik} = \frac{\mu}{4\pi} \oint_{c_i} \oint_{c_k} \frac{d\vec{s}_i \cdot d\vec{s}_k}{\left| \vec{r}_i - \vec{r}_k \right|} } \quad L_{ik} = L_{ki}$$



dies ist der Beweis, dass die Proportionalität von  $L_{ik}$  für die Feldenergie die gleiche Größe ist wie die für den magnetischen Fluss

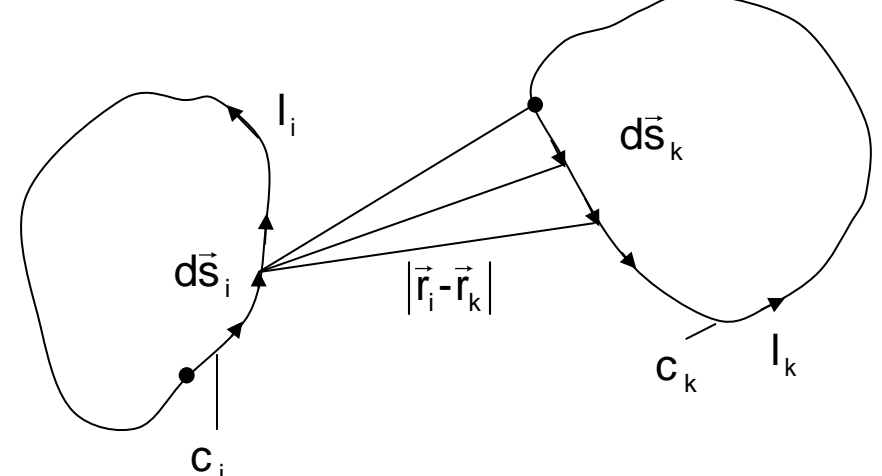
$$\Phi_{m ik} = L_{ik} \cdot I_{k}$$

#### Gegeninduktionskoeffizient dünner Leiter

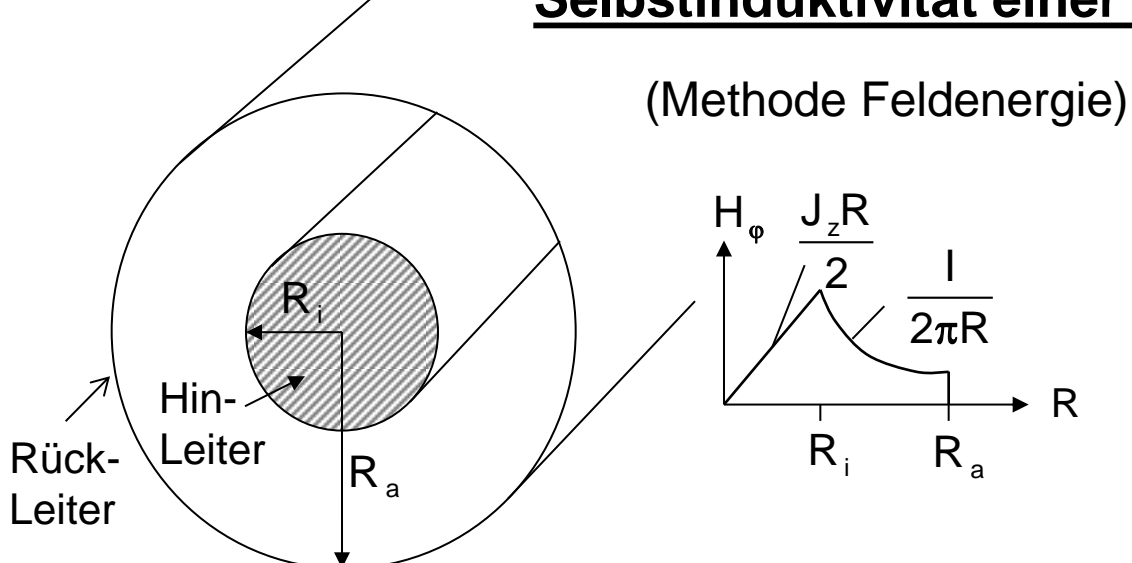
$$L_{ik} = \frac{1}{I_i \cdot I_k} \frac{\mu}{4\pi} \iiint \frac{\vec{J}_i(\vec{r}) \cdot \vec{J}_k(\vec{r}')}{|\vec{r} \cdot \vec{r}'|} dv_i dv_k$$
 mit  $\vec{J}_i dv_i = J_i df_i d\vec{s}_i = I_i d\vec{s}_i$ 

$$= \frac{1}{I_i \cdot I_k} \frac{\mu}{4\pi} I_i I_k \oint \oint \frac{d\vec{s}_i \cdot d\vec{s}_k}{|\vec{r}_i \cdot \vec{r}_k|}$$

$$\rightarrow \boxed{ \mathsf{L}_{\mathsf{ik}} = \frac{\mu}{4\pi} \oint_{\mathsf{c}_{\mathsf{i}}} \oint_{\mathsf{c}_{\mathsf{k}}} \frac{d\vec{\mathsf{s}}_{\mathsf{i}} \cdot d\vec{\mathsf{s}}_{\mathsf{k}}}{\left| \vec{\mathsf{r}}_{\mathsf{i}} - \vec{\mathsf{r}}_{\mathsf{k}} \right|} \quad \mathsf{L}_{\mathsf{ik}} = \mathsf{L}_{\mathsf{ki}} }$$



# Selbstinduktivität einer Koaxialleitung



Radius Hinleiter: R<sub>i</sub>
Radius Außenradius: R<sub>a</sub>
Dazwischen Isolator
Längenabschnitt:  $\ell$ 

Sehr dünner Rückleiter dort keine innere Induktivität

J<sub>z</sub> konstant über Leiterquerschnitt

Berechnung über die Feldenergie: im Innendraht gilt:

$$\begin{split} W_{\text{mi}} &= \int w_{\text{mi}} \; dv = \frac{\mu}{2} \cdot \int H_{\phi i}^{\ 2} \; dv = \frac{\mu}{2} \cdot \int \frac{J_z^2}{4} \; R^2 \, dv \\ &= \frac{\mu}{2} \cdot \frac{J_z^2}{4} \int_0^2 \int_0^2 \int_0^R R^2 \cdot R \cdot dR \; d\phi \; dz \\ &= \frac{\mu}{2} \cdot \frac{J_z^2}{4} \cdot \ell \cdot 2\pi \cdot \frac{R_i^4}{4} \qquad \text{mit} \; J_z = I/(\pi \cdot R_i^2) \\ &= \frac{\mu \cdot I^2}{16 \cdot \pi} \cdot \ell \; \longleftrightarrow \; \boxed{W_{\text{mi}} = \frac{1}{2} L_i \; I^2} \to L_i = \frac{\mu \cdot \ell}{8 \cdot \pi} \; \Longrightarrow \; \boxed{\frac{L_i}{\ell} = \frac{\mu}{8 \cdot \pi}} \end{split}$$

## zwischen den beiden Leitern im Isolator gilt:

$$\begin{split} W_{\text{ma}} &= \int w_{\text{ma}} \; dv = \frac{\mu}{2} \cdot \int H_{\phi a}^{2} \; dv = \frac{\mu}{2} \int_{0}^{\ell} \int_{0}^{2\pi} \int_{R_{i}}^{R_{a}} \frac{l^{2}}{4\pi^{2}R^{2}} \; R \; dR \; d\phi \; dz \\ &= \frac{\mu}{2} \; \frac{l^{2}}{4\pi^{2}} \cdot \ell \cdot 2\pi \cdot \int_{R_{i}}^{R_{a}} \frac{1}{R} \; dR = \frac{\mu}{4\pi} \cdot \ell \cdot l^{2} \cdot \ln \; \frac{R_{a}}{R_{i}} \\ W_{\text{ma}} &= \frac{1}{2} \; L_{a} \cdot l^{2} \quad \Rightarrow \; L_{a} = \frac{\mu}{2\pi} \cdot \ell \cdot \ln \; \frac{R_{a}}{R_{i}} \qquad \rightarrow \frac{L_{a}}{\ell} = \frac{\mu}{2\pi} \cdot \ln \; \frac{R_{a}}{R_{i}} \; \text{ äußere Selbstinduktion} \end{split}$$

Im Bereich R > R<sub>a</sub> außerhalb der beiden Leiter ist

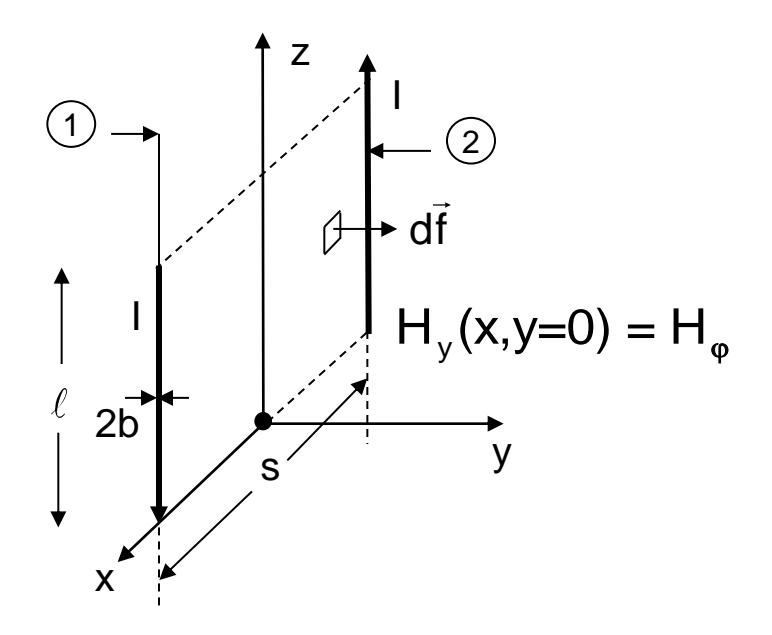
$$\boxed{H_{\phi}(R > R_a) = 0} \qquad \text{wegen} \qquad \oint_{\text{Kreis} > R_a} \vec{H} \cdot d\vec{s} = \int \vec{j} \cdot d\vec{f} = I_{\text{hin}} - I_{\text{rück}} = 0$$

# Selbstinduktivität von Doppelleitungen

Doppelleitung, Abstand s, symm. zur z-Achse Drahtradius b

Gesucht:

die Selbstinduktivität pro Länge



Berechnung über den Fluss  $\Phi_a$ zwischen den Drähten

$$\Phi_{a} = \int \vec{B}_{a} \cdot d\vec{f} = \ell \cdot \int_{-s/2+b}^{+s/2-b} B_{y} dx = \ell \cdot \mu_{0} \int_{-s/2+b}^{+s/2-b} H_{y} dx$$

$$d\vec{f} = dz dx \vec{e}_{y} \qquad B_{y} \text{ in } x,z\text{-Ebene}$$

$$B_y$$
 in x,z-Ebene

B hängt nicht von z ab

$$\rightarrow$$
 B<sub>y</sub>(x, y=0)

In der gesamten x-z-Ebene für y = 0 gilt:  $H_{\varphi}(y=0) = H_{y}$ 

$$H_{\varphi} = \frac{I}{2\pi R} \rightarrow H_{y} = H_{\varphi}^{(1)} + H_{\varphi}^{(2)} = \frac{I}{2\pi (\frac{S}{2} - x)} + \frac{I}{2\pi (\frac{S}{2} + x)}$$

$$\begin{split} \Phi_{a} &= \mu_{0} \cdot \ell \int_{-s_{2}^{+b}}^{+s_{2}^{+-b}} H_{y} \ dx = \mu_{0} \cdot \ell \ \frac{1}{2\pi} \cdot \left\{ -\ln\left(\frac{s_{2}^{+} - x}{s_{2}^{+-b}}\right) + \ln\left(\frac{s_{2}^{+} + x}{s_{2}^{+-b}}\right) + \ln\left(\frac{s_{2}^{+} - x}{s_{2}^{+-b}}\right) \right\} \\ &= \mu_{0} \cdot \ell \cdot \frac{1}{2\pi} \cdot \left\{ -\ln(b) + \ln(s-b) + \ln(s-b) - \ln(b) \right\} = \mu_{0} \cdot \ell \cdot \frac{1}{\pi} \cdot \ln\left(\frac{s-b}{b}\right) \end{split}$$

## Innere Selbstinduktivität Li

$$L_i / \ell = L_{i1} / \ell + L_{i2} / \ell$$
 Summe der beiden Leitungen 1 und 2

# Gesamtinduktivität L<sub>ges</sub>

$$L_{ges} / \ell = \frac{\mu_0}{\pi} \ln \left( \frac{s-b}{b} \right) + \frac{\mu_0}{4\pi}$$

# Zusammenfassung

## **Induktivität**

- Energiedichte des magn. Feldes  $W_m = \frac{1}{2} \int \vec{H} \cdot \vec{B} dv$ 

1 
$$W_m = \frac{1}{2} \sum_{i=1}^{N} \sum_{k=1}^{N} L_{ik} I_i \cdot I_k$$

$$W_{mik}$$
 berechnen  $\rightarrow L_{ik} = \frac{W_{mik}}{I_i I_k}$ 

einfach nur bei N=1, d.h. i=k

- Magnetischer Fluss $\Phi_{m} = \int \vec{B} \cdot d\vec{f} = \oint \vec{A} \cdot d\vec{s}$ 

$$\bigcirc$$
  $\Phi_{mik} = L_{ik} I_{i}$ 

$$\Phi_{\text{mik}}$$
 berechnen  $\rightarrow \left[ L_{\text{ik}} = \Phi_{\text{mik}} \right]_{i}$ 

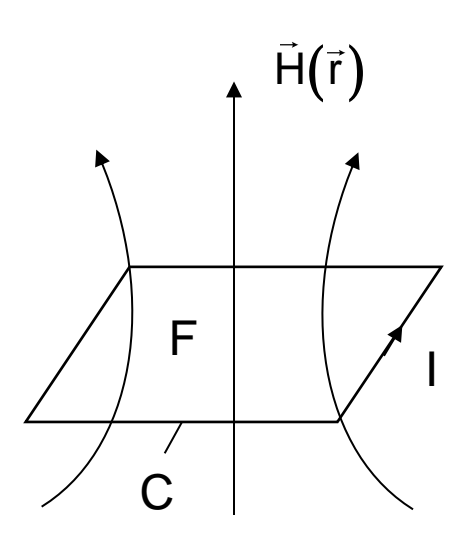
- für 1 sowie 2 gilt

$$L_{ik} = \frac{\mu}{4\pi} \oint_{C_i} \oint_{C_k} \frac{d\vec{s}_i \cdot d\vec{s}_k}{|\vec{r}_i - \vec{r}_k|}$$

berechnen 
$$\rightarrow L_{ik} = \frac{\mu}{4\pi} \oint_{C_i} \oint_{C_k} \frac{d\vec{s}_i \cdot d\vec{s}_k}{|\vec{r}_i - \vec{r}_k|}$$

$$\rightarrow$$
  $L_{ik} \bigcirc = L_{ik} \bigcirc$ 

# Alternativen zur Berechnung von W<sub>m</sub>



- Raum ≫
   1000×1000×1000
   = 10<sup>9</sup> Stützstellen
- Fläche =100×100= 10<sup>4</sup> Stützstellen
- 3 Kurve = 4 x 100 400 Stützstellen

- ①  $W_m = \frac{1}{2} \int \mu \vec{H}^2 dv = \frac{1}{2} L \cdot I^2$  $\vec{H}$  im ganzen Raum

B nur innerhalb Fläche F

$$L = \frac{\int \vec{B} \cdot d\vec{f}}{I}$$

# 7 Quasistationäre Felder

$$\begin{aligned} \operatorname{div} \, \vec{\mathsf{D}} &= \rho & \qquad \oint \vec{\mathsf{D}} \cdot \operatorname{d}\vec{\mathsf{f}} &= \int \rho \, \operatorname{dv} \\ \operatorname{rot} \, \vec{\mathsf{E}} &= -\frac{\partial \vec{\mathsf{B}}}{\partial \mathsf{t}} & \qquad \oint \vec{\mathsf{E}} \cdot \operatorname{d}\vec{\mathsf{s}} &= -\frac{\mathsf{d}}{\mathsf{d}\mathsf{t}} \int \vec{\mathsf{B}} \cdot \operatorname{d}\vec{\mathsf{f}} \\ \operatorname{rot} \, \vec{\mathsf{H}} &= \vec{\mathsf{J}} & \qquad \oint \vec{\mathsf{H}} \cdot \operatorname{d}\vec{\mathsf{s}} &= \int \vec{\mathsf{J}} \cdot \operatorname{d}\vec{\mathsf{f}} \\ \operatorname{div} \, \vec{\mathsf{B}} &= 0 & \qquad \oint \vec{\mathsf{B}} \cdot \operatorname{d}\vec{\mathsf{f}} &= 0 \end{aligned}$$

$$rac{\partial \vec{\mathsf{D}}}{\partial \mathsf{t}} \ll \vec{\mathsf{J}}$$

↑ quasistationär

Zeitliche Änderungen der Feldgrößen wirken sich sofort im gesamten betrachteten Gebiet aus.

rot 
$$\vec{E}_w = -\frac{\partial \vec{B}}{\partial t}$$
 Wirbelfeld, erzeugt durch  $\frac{\partial \vec{B}}{\partial t}$ 

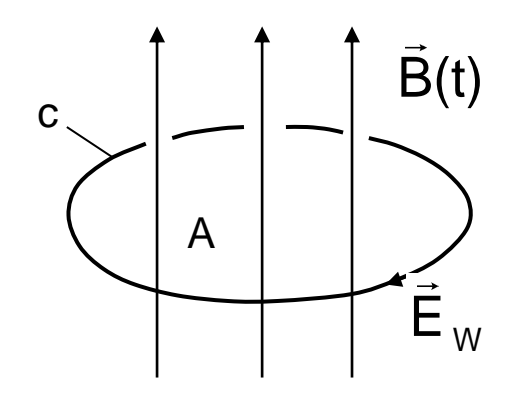
$$\operatorname{div}(\varepsilon \vec{E}_{Q}) = \rho$$
 Quellenfeld, erzeugt durch  $\rho$ 

$$\vec{E}_{o} = - \operatorname{grad} \Phi$$
 Def. von  $\Phi$ 

rot 
$$\vec{E}_Q = - \text{ rot } \text{ grad } \Phi = 0$$

$$\vec{\mathsf{E}} = \vec{\mathsf{E}}_{\mathsf{Q}} + \vec{\mathsf{E}}_{\mathsf{W}}$$

# 7.1 Induktionsgesetz für zeitlich sich ändernde Felder oder zeitlich variable Randkurven



Fall A: zeitlich variables B-Feld; konstante Fläche A bzw. Randkurve C

Maxwell:

$$rot \vec{E}_{w} = - \frac{\partial \vec{B}}{\partial t}$$

Ändert sich die magnetische Flussdichte an einem Punkt, so entstehen dort wirbelartige elektrische Felder.

In einer leitfähigen Leiterschleife mit geöffneten Enden geschieht folgendes:

$$\vec{\mathsf{E}}_{\mathsf{W}} \longrightarrow \rho_{+}, \; \rho_{-}$$

 $\vec{E}_{W} \rightarrow \rho_{+}, \ \rho_{-} \quad \vec{E}_{W}$  erzeugt Ladungstrennung in der Drahtschleife

$$\rho_+, \rho_- \rightarrow \vec{\mathsf{E}}_{\mathsf{Q}}$$

 $\rho_+, \rho_- \rightarrow \vec{E}_0$   $\rho_+, \rho_-$  erzeugen elektrisches Quellenfeld

$$\vec{\mathsf{E}}_{\mathsf{Q}} \longrightarrow \Phi_{\mathsf{1}} , \Phi_{\mathsf{2}}$$

 $\vec{E}_{\Omega} \longrightarrow \Phi_{1}$ ,  $\Phi_{2}$   $\vec{E}_{\Omega}$  lässt sich durch elektrisches Potential beschreiben

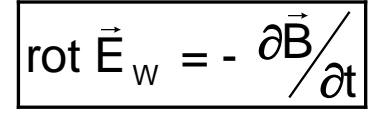
$$\Phi_{\scriptscriptstyle 1}$$
 ,  $\Phi_{\scriptscriptstyle 2} \to U_{\scriptscriptstyle ind}$ 

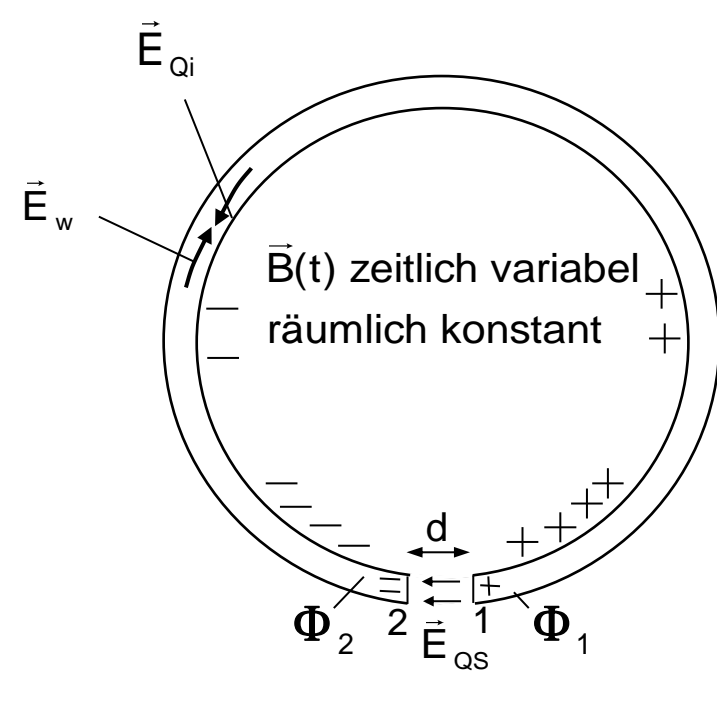
Potentialdifferenz lässt sich als el. Induktionsspannung messen

$$\rightarrow U_{ind} = -\frac{d}{dt} \Phi_m$$
 wobei  $A = const.$ 

Andert sich zeitlich die magnetische Flussdichte bzw. der magnetische Fluss, so wird in einer offenen Leiterschleife eine elektrische Spannung induziert.

offene Leiterschleife mit Luftspalt





$$\int rot \vec{E}_{W} \cdot d\vec{f} = -\int \frac{\partial \vec{B}}{\partial t} \cdot d\vec{f}$$

$$\oint \vec{E}_{W} \cdot d\vec{s} = -\frac{d\Phi_{m}}{dt}$$

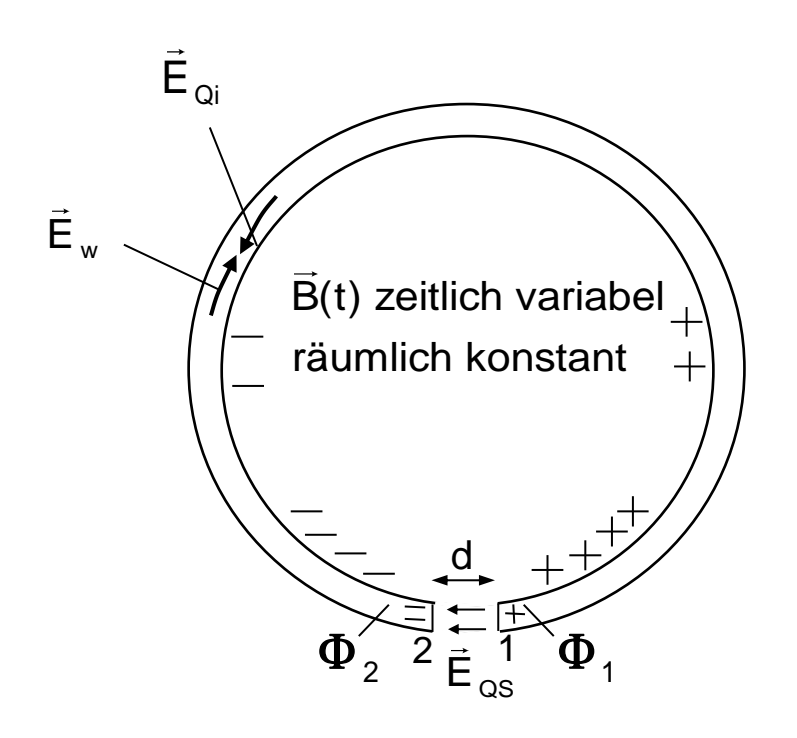
$$\vec{E}_{W} \to \rho_{+}, \rho_{-} \to \vec{E}_{Q}$$

$$\vec{J} = \kappa_{i} (\vec{E}_{Qi} + \vec{E}_{w}) \stackrel{!}{=} 0 \to \vec{E}_{Qi} = -\vec{E}_{w}$$

Stromdichte ist durch gegenläufige Felder Null

$$U_{ind} = \Phi_2 - \Phi_1 = -\int_1^2 \vec{E}_{QS} \cdot d\vec{s}$$

 $\vec{E}_{QS}$  ist im Spalt unbekannt, aber in Drahtschleife bekannt  $(\vec{E}_{Qi} = -\vec{E}_{W})$ , Integral wegunabhängig  $\rightarrow$  Integration durch Drahtschleife statt über Spalt



#### **INNERES DES LEITERS:**

Das elektrisches Feld im Inneren des Leiters ist Null, da sich Quellenfeld und Wirbelfeld gegenseitig auslöschen.

$$\vec{\mathsf{E}}_{\mathsf{ges}} = \vec{\mathsf{E}}_{\mathsf{Q}} + \vec{\mathsf{E}}_{\mathsf{w}} = 0$$

#### LUFTSPALT:

Das elektrische Feld im Luftspalt ist abhängig von der Länge des Luftspaltes d.

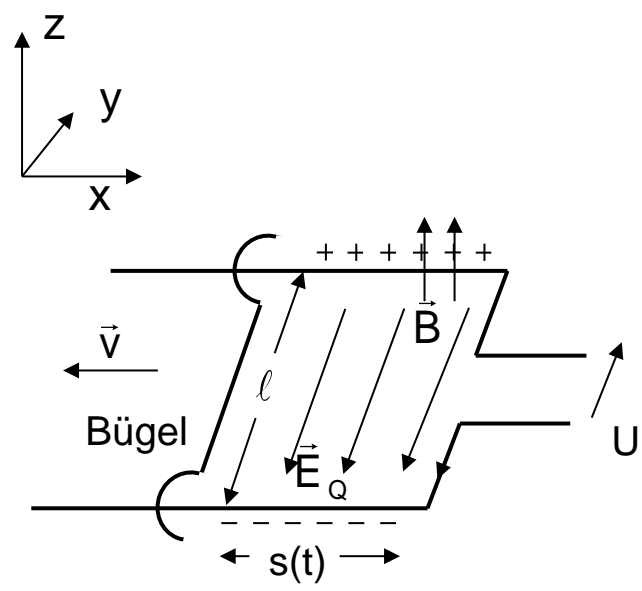
Bei sehr kleinem d wird es sehr groß und übersteigt die Größenordnung des Wirbelfeldes.

Die Induktionsspannung ist unabhängig von d.

$$U_{ind} = -\int_{1}^{2} \vec{E}_{Qi} \cdot d\vec{s} = +\int_{1}^{2} \vec{E}_{W} \cdot d\vec{s} = -\frac{d\Phi_{m}}{dt}$$

$$\vec{E}_{QS} \approx \frac{U_{ind}}{d} \vec{e}_{S} = -\frac{d\Phi_{m}}{dt} \frac{1}{d} \vec{e}_{S}$$

Fall B: zeitlich konstantes B-Feld; zeitlich variable Fläche A(t) bzw. Randkurve C(t)



$$U = E_{y} \cdot \ell = -v_{x} \cdot B_{z} \cdot \ell$$

$$= -\ell \cdot (ds(t)/dt) \cdot B_{z} \quad und \quad \ell \cdot s(t) = A(t)$$

$$= -(dA(t)/dt) \cdot B_{z} = -d(A(t) \cdot B_{z})/dt$$

Ändert sich die Fläche oder Richtung der Leiterschleife, entsteht durch  $\vec{v} \times \vec{B}$  Kräfte ein elektrisches Feld und damit eine elektrische Spannung U.

Magnetische Kräfte auf bewegte Ladungen wirken gegen elektrostatische Kräfte. Im Kräfte-Gleichgewicht gilt:

$$q \cdot (\vec{v} \times \vec{B}) + q \cdot \vec{E}_{Q} = 0$$
  
 $\rightarrow \vec{E}_{Q} = -(\vec{v} \times \vec{B})$ 

Für bewegte Medien gilt nicht mehr  $\vec{J} = \kappa \cdot \vec{E}$ , sondern  $\vec{J} = \kappa \cdot (\vec{E} + \vec{v} \times \vec{B})$ 

# Zusammenfassung

$$\Phi_{m}(t) = \int_{A(t)} \vec{B} \cdot d\vec{f} = B_{0}(t) A(t)$$

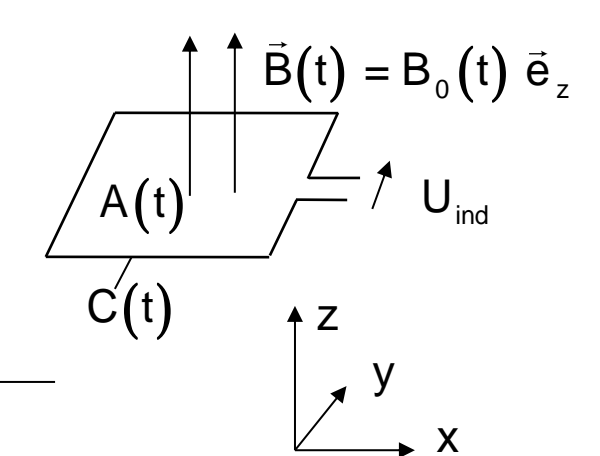
(hier B räumlich konstant)

Effekt  $\hat{B}$ :  $\vec{B} = \vec{B}(t)$  zeitlich variabel

rot 
$$\vec{E} = -\partial \vec{B}(t)/\partial t$$
  $\rightarrow$ 

rot 
$$\vec{E} = -\partial \vec{B}(t)/\partial t$$
  $\rightarrow \oint_{C(t)} \vec{E} \cdot d\vec{s} = -\int_{A(t)} \frac{\partial \vec{B}(t)}{\partial t} \cdot d\vec{f}$ 

$$U_{ind A} = - \frac{\partial B_0(t)}{\partial t} \cdot A(t)$$



Effekt B: A = A(t) zeitlich variabel

$$\vec{E} + (\vec{v} \times \vec{B}) = 0 \rightarrow \vec{E}(t) = -v_x B_0 \vec{e}_y$$

$$\vec{E}(t) = -v_x B_0 \vec{e}_y$$

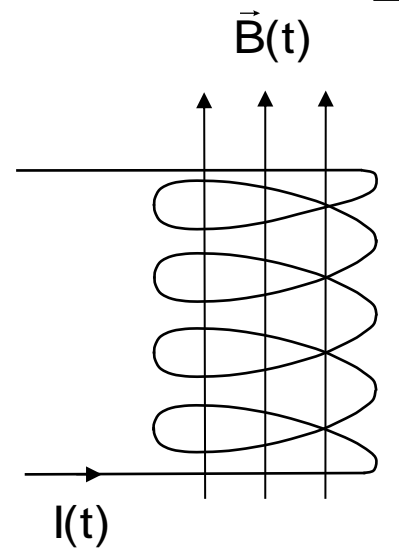
$$U_{B} = -\frac{\partial A(t)}{\partial t} \cdot B_{0}(t)$$

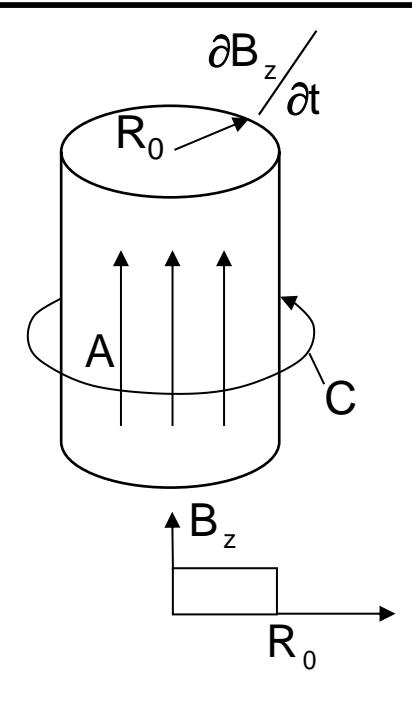
Gesamtwirkung von Effekt (A) + (B)

$$U_{ind} = -\frac{\partial B_0(t)}{\partial t} A(t) - \frac{\partial A(t)}{\partial t} B_0(t) = -\frac{d \Phi_m(t)}{dt}$$

Die Induktionsspannung wird erzeugt durch effektive Änderung des Flusses, hervorgerufen aber durch zwei ganz unterschiedliche Prozesse

## 7.2 Eigenschaften der Wirbelfelder

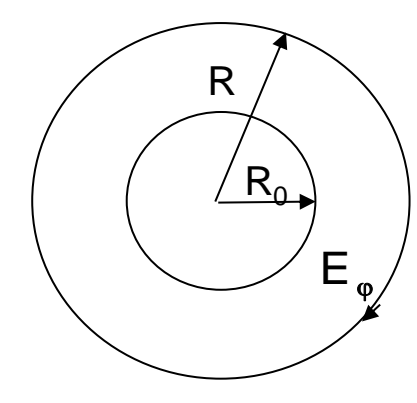




Berechnung des Wirbelfeldes E<sub>W</sub>

$$-\vec{\mathsf{E}}_{\mathsf{o}}=?$$

 Einfluss der Lage der Sekundärwindung



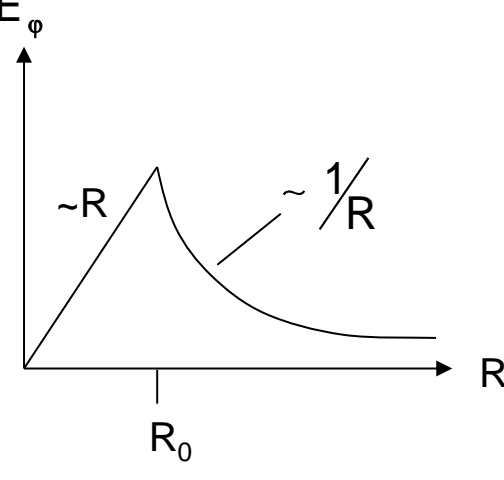
$$\int_{A(R)} rot \ \vec{E} \cdot d\vec{f} = \oint_{C(R)} \vec{E} \cdot d\vec{s} = -\int_{A(R)} \frac{\partial \vec{B}}{\partial t} \cdot d\vec{f}$$

$$R < R_{0} \qquad E_{\phi}(R) \cdot 2\pi R = -\frac{\partial B_{z}}{\partial t} \cdot R^{2}\pi$$

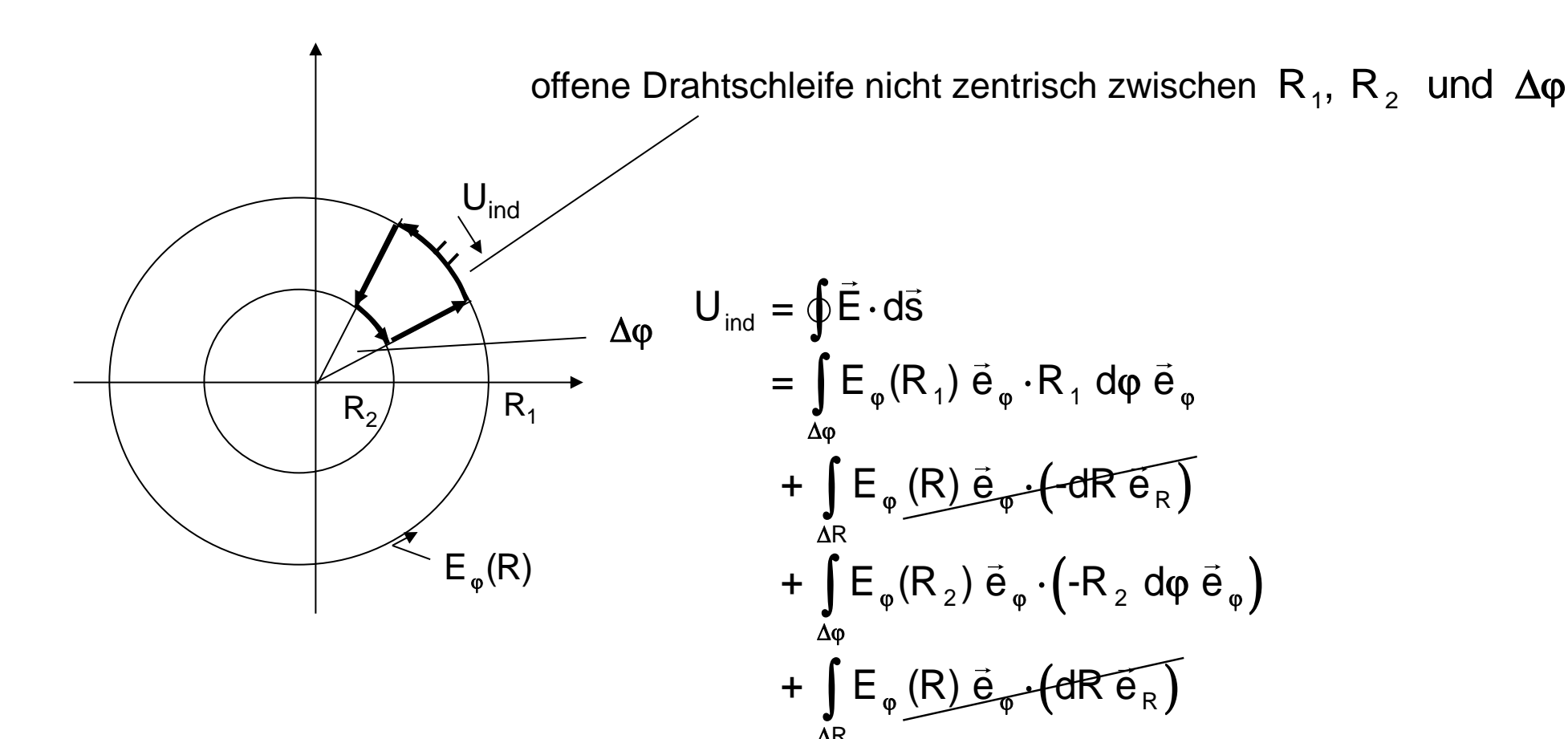
$$\rightarrow E_{\phi}(R) = -\frac{\partial B_{z}}{\partial t} \cdot \frac{R}{2}$$

$$R > R_{0} \qquad E_{\phi}(R) \cdot 2\pi R = -\frac{\partial B_{z}}{\partial t} \cdot R_{0}^{2}\pi$$

$$\rightarrow E_{\phi}(R) = -\frac{\partial B_{z}}{\partial t} \cdot \frac{R_{0}^{2}}{2R}$$



Das elektrische Wirbelfeld befindet sich innerhalb sowie außerhalb des Magnetfeldes



$$U_{ind} = \oint \vec{E} \cdot d\vec{s} = E_{\varphi}(R_1) \cdot R_1 \Delta \varphi - E_{\varphi}(R_2) \cdot R_2 \Delta \varphi$$

#### Drahtschleife innerhalb des Magnetfeldes:

$$\mathsf{E}_{\varphi}(\mathsf{R}) = -\frac{\partial \mathsf{B}_{z}}{\partial \mathsf{t}} \frac{\mathsf{R}}{2}$$

$$\rightarrow U_{ind} = E_{\varphi}(R_1) \cdot R_1 \Delta \varphi - E_{\varphi}(R_2) \cdot R_2 \Delta \varphi = -\frac{\partial B_z}{\partial t} \left( \frac{R_1^2 - R_2^2}{2} \right) \Delta \varphi = -\frac{\partial \Phi_{m \text{ Schleife}}}{\partial t}$$

Schleifenfläche

Spannung wird induziert

#### Drahtschleife außerhalb des Magnetfeldes:

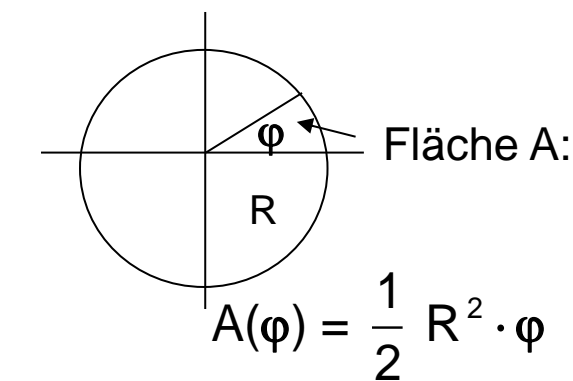
$$\mathsf{E}_{\varphi}(\mathsf{R}) = -\frac{\partial \mathsf{B}_{z}}{\partial \mathsf{t}} \frac{\mathsf{R}_{0}^{2}}{2\mathsf{R}} \neq 0$$

$$\rightarrow U_{ind} = E_{\varphi}(R_1) \cdot R_1 \Delta \varphi - E_{\varphi}(R_2) \cdot R_2 \Delta \varphi = -\frac{\partial B_z}{\partial t} \left( \frac{R_0^2}{2R_1} R_1 - \frac{R_0^2}{2R_2} R_2 \right) \Delta \varphi = 0$$

Es wird KEINE Spannung induziert

#### Drahtschleife außerhalb des Magnetfeldes, aber dieses umhüllend:

$$\begin{aligned} & U_{\text{ind}} = \oint\limits_{C(R)} \vec{E} \cdot d\vec{s} = E_{\phi}(R_1) \cdot 2\pi R_1 \\ & = -\frac{\partial B_z}{\partial t} \frac{R_0^2}{2R_1} \cdot 2\pi R_1 = -\frac{\partial B_z}{\partial t} R_0^2 \pi = -\frac{\partial \Phi_{\text{m Schleife}}}{\partial t} \rightarrow \text{Spannung wird induziert} \end{aligned}$$



246

# Lokale Wirbel von E

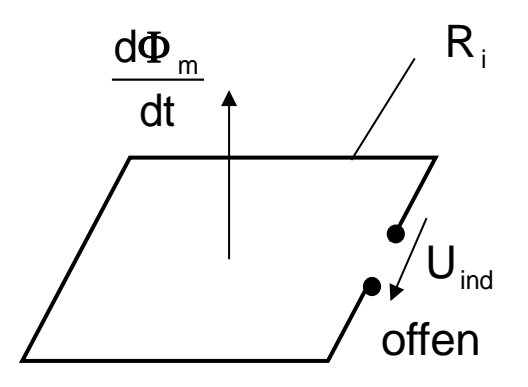
rot 
$$\vec{E} = -\partial \vec{B}/\partial t$$
  
rot  $\left(E_{\varphi}(R) \vec{e}_{\varphi}\right) = \frac{1}{R} \frac{\partial}{\partial R} \left(R E_{\varphi}(R)\right) \vec{e}_{z}$   
innen: 
$$= \frac{1}{R} \frac{\partial}{\partial R} \left(-\frac{\partial B_{z}}{\partial t} R^{2}/2\right) \vec{e}_{z}$$

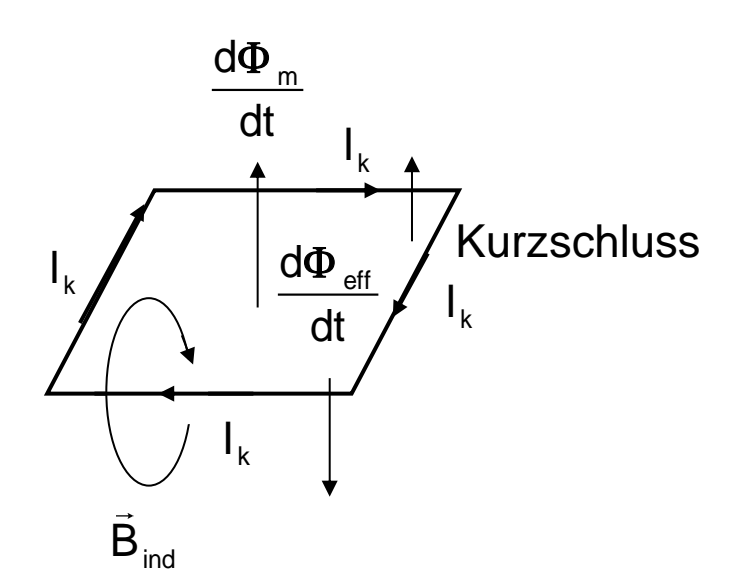
$$= \frac{1}{R} \left(-\frac{\partial B_{z}}{\partial t} \frac{2R}{2}\right) \vec{e}_{z} = -\frac{\partial B_{z}}{\partial t} \vec{e}_{z}$$

$$= \frac{1}{R} \frac{\partial}{\partial R} \left(-\frac{\partial B_{z}}{\partial t} \frac{R_{0}^{2}}{2R} R\right) = 0$$

⇒ Induktionsspannungen entstehen nur in Leiterschleifen, in denen es lokale Wirbel rot E ≠ 0, d.h. geschlossene Feldlinien von E gibt.

#### 7.3 Rückwirkung des Induktionsstroms auf den magnetischen Fluss





$$U_{ind} = \frac{-d\Phi_{m}}{dt} \qquad \downarrow^{+} U_{ind} \qquad Kurzschluss$$

$$I_{k} = \frac{U_{ind}}{R_{i}} \neq -\frac{1}{R} \frac{d\Phi_{m}}{dt} \qquad \frac{dI_{k}(t)}{dt}$$

$$I_{k} = -\frac{1}{R_{i}} \frac{d\Phi_{eff}}{dt} = -\frac{1}{R_{i}} \left(\frac{d\Phi_{m}}{dt} + \frac{d\Phi_{ind}}{dt}\right)$$
Differential gleichung für I. (t)

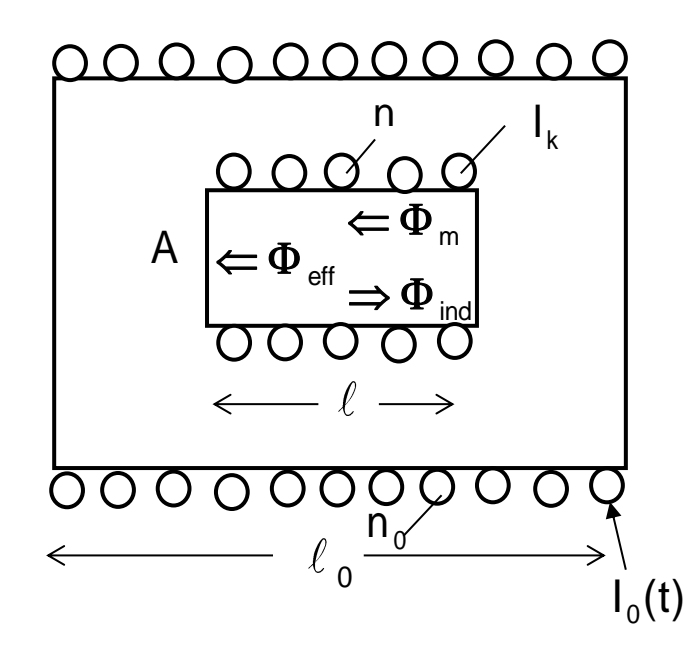
Differentialgleichung für  $I_k(t)$ 

$$\Phi_{\text{eff}} = \Phi_{\text{m}} + \Phi_{\text{ind}}$$

Der effektive Fluss, der bei zeitlicher Variation ein elektrisches Wirbelfeld und dadurch eine Induktionsspannung erzeugt, setzt sich aus der Überlagerung

- des Flusses vom externen Magnetfeld sowie
- des Flusses vom Magnetfeld des induzierten Stromes der Leiterschleife zusammen.

#### Beispiel: Kleine supraleitende Spule innerhalb großer normaler Spule



Kleine Spule: Große Spule:

Querschnitt A

Windungszahl n Windungszahl n<sub>0</sub>

Innenwiderstand R<sub>i</sub>

$$\rightarrow \vec{B} = B_0(t) \vec{e}_z = \frac{\mu n_0}{\ell_0} I_0(t) \vec{e}_z$$

kleine Spule offen: 
$$U_{ind} = -n \frac{d\Phi_m(t)}{dt} = -n A \frac{dB_0(t)}{dt}$$

$$I_{k} = -\frac{1}{R_{i}} n \frac{d\Phi_{eff}(t)}{dt} = -\frac{1}{R_{i}} n \left( \frac{d\Phi_{m}(t)}{dt} + \frac{d\Phi_{ind}(t)}{dt} \right)$$

$$\frac{d\Phi_{ind}(I_{k})}{dt} = n\Delta \frac{\mu dI_{k}}{dt} \rightarrow DGI$$

Supraleitung: 
$$R_i = 0$$

Damit 
$$I_k \neq \infty \rightarrow \frac{d\Phi_{ind}(t)}{dt} = -\frac{d\Phi_m(t)}{dt}$$

$$A \ \frac{\mu n}{\ell} \ \frac{dI_k(t)}{dt} = -A \ \frac{dB_0(t)}{dt} \ \rightarrow \ \frac{dI_k(t)}{dt} = -\frac{\ell}{\mu n} \ \frac{dB_0(t)}{dt}$$

$$I_{k}(t) = I_{0} - \frac{\ell}{\mu n} B_{0}(t)$$

Der Kurzschlussstrom im Supraleiter folgt der Änderung des äußeren Magnetfeldes  $B_0(t)$ 

Anfangswert, Integrationskonstante

$$\frac{d\Phi_{ind}(t)}{dt} \stackrel{!}{=} - \frac{d\Phi_{m}(t)}{dt}$$

$$\rightarrow \Phi_{ind}(t) = \Phi_{0} - \Phi_{m}(t)$$

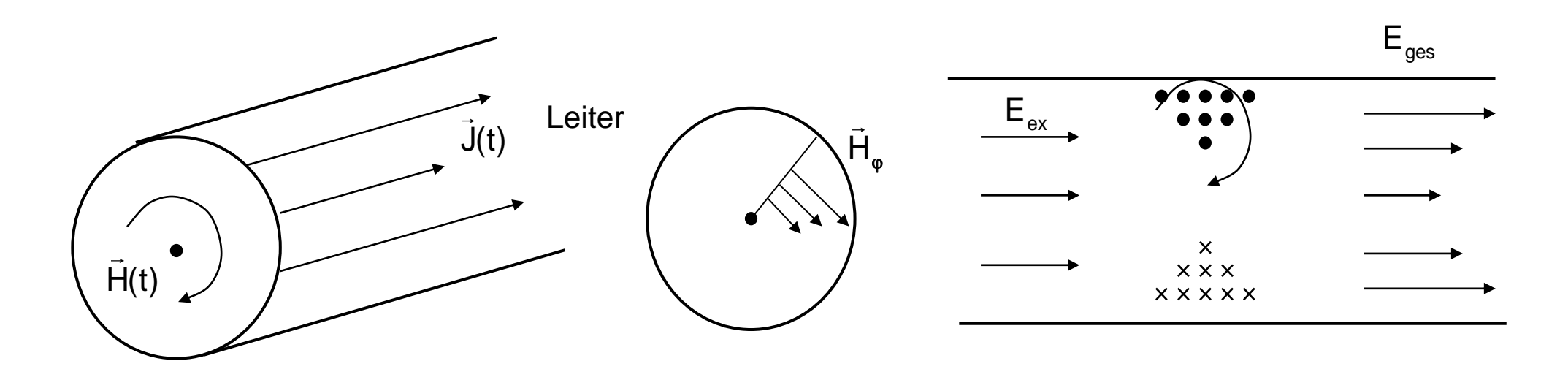
Anfangswert, Integrationskonstante

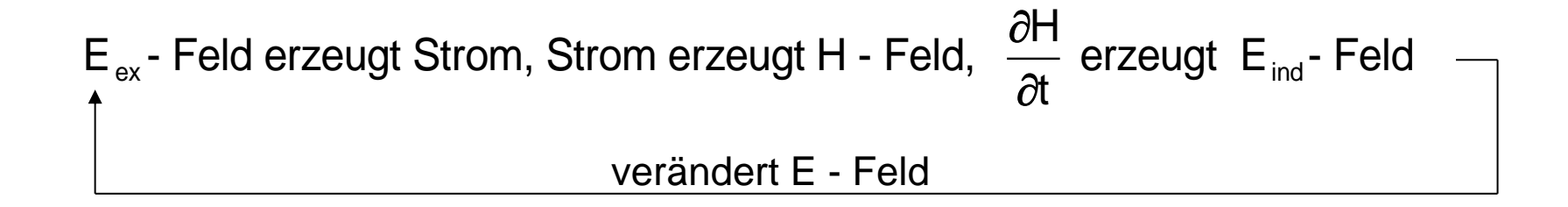
$$\rightarrow \begin{array}{|c|} \Phi_{\text{eff}}(t) = \Phi_{\text{m}}(t) + \Phi_{\text{ind}}(t) \\ = \Phi_{0} = \text{const} \end{array}$$

Der effektive Fluss im Supraleiter bleibt unabhängig von äußeren Magnetfeldern konstant auf seinem ursprünglichen Wert  $\Phi_0$  eingefroren.

# 7.4 Rückwirkung des Magnetfeldes auf elektrische Wechselfelder (Skin-Effekt)

Problem:





# 7.5 Diffusionsgleichung für J

$$\vec{J} = \kappa \cdot \vec{E}$$

$$rot \vec{E} = -\frac{\partial \vec{B}}{\partial t}$$

$$\left| \text{rot } \vec{\mathsf{E}} \right| = -\left| \frac{\partial \vec{\mathsf{B}}}{\partial \mathsf{t}} \right| \qquad \Rightarrow \frac{1}{\kappa} \cdot \text{ rot } \vec{\mathsf{J}} = -\mu \left| \frac{\partial \vec{\mathsf{H}}}{\partial \mathsf{t}} \right|$$

 $\Rightarrow \frac{\partial \vec{H}}{\partial t} = -\frac{1}{\kappa \mu} \text{ rot } \vec{J}$ 

Ziel:

Suche einer Bestimmungsgleichung nur für J

$$rot \vec{H} = \vec{J}$$

$$\Rightarrow$$
 rot  $\frac{\partial \vec{H}}{\partial t} = \frac{\partial \vec{J}}{\partial t}$ 

$$\rightarrow \text{rot } \frac{\partial \vec{H}}{\partial t} = \text{rot} \left( -\frac{1}{\kappa \mu} \text{ rot } \vec{J} \right) = -\frac{1}{\kappa \mu} \cdot \text{rot rot } \vec{J} = -\frac{1}{\kappa \mu} \left( \text{grad div } \vec{J} - \Delta \vec{J} \right) = \frac{\partial \vec{J}}{\partial t}$$

$$\vec{J} \qquad \underbrace{\text{div rot } \vec{H}}_{0} = \text{div } \vec{J} \rightarrow \text{div } \vec{J} = 0$$

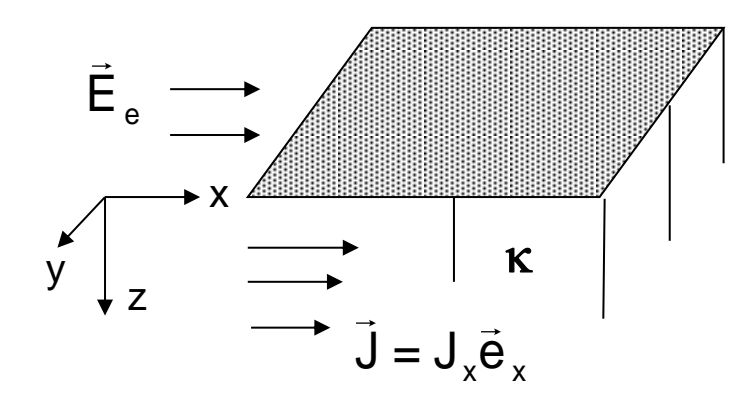
$$\rightarrow \left| \Delta \vec{J} = \kappa \mu \cdot \frac{\partial \vec{J}}{\partial t} \right|$$

 $\rightarrow \left| \Delta \vec{J} = \kappa \mu \cdot \frac{\partial \vec{J}}{\partial t} \right|$  "Diffusions - Gleichung" für Stromdichte

# 7.6 Skin - Effekt

#### ebener Fall:

- oben kein Strom
- innen Strom



$$\Delta \vec{J} = \kappa \mu \frac{\partial \vec{J}}{\partial t}$$

J konstant in y- und x-Richtung aber variabel in die Tiefe in z-Richtung

$$\frac{\partial^2 J_x}{\partial z^2} = \kappa \mu \frac{\partial J_x}{\partial t}$$

 $\frac{\partial^2 J_x}{\partial z^2} = \kappa \mu \frac{\partial J_x}{\partial t} \qquad \text{Ansatz: } \vec{J}(z,t) = J_x(z) e^{j\omega t} \cdot \vec{e}_x$ 

$$\rightarrow \frac{\partial^2 J_x(z)}{\partial z^2} = j \omega \kappa \mu J_x(z)$$

allg. Lösung 
$$J_x(z) = c_1 e^{+\sqrt{j\omega\kappa\mu}\cdot z} + c_2 e^{-\sqrt{j\omega\kappa\mu}\cdot z}$$

Abkürzung:

$$d = \sqrt{\frac{2}{\omega \kappa \mu}}$$

 $d = \sqrt{\frac{2}{\omega \kappa \mu}} \quad \text{und Mathematik: } \sqrt{j} = \frac{1+j}{\sqrt{2}}$ 

$$\rightarrow$$
  $J_x(z) = c_1 e^{(j+1)z/d} + c_2 e^{-(j+1)z/d}$ 

 $\bigcup_{z \in J_{z}(0)} J_{z}(0)$  Stromdichte am Rand z = 0

$$\rightarrow \qquad J_x(z) = J_x(0) e^{-jz/d} \cdot e^{-z/d}$$

 exponentieller Abfall mit Eindringtiefe d

#### **Beispiel: zylindrischer Draht**

Zylinderkoordinaten 
$$J_R = 0$$
  $J_{\varphi} = 0$   $J_z = J_z(R) \cdot e^{j\omega t}$ 

Laplace Operator für z-Komponente:

$$\Delta J_{z} = \frac{1}{R} \frac{\partial}{\partial R} \left( R \cdot \frac{\partial}{\partial R} J_{z}(R) \right) + ... \frac{\partial}{\partial \varphi} + ... \frac{\partial}{\partial z} = \frac{1}{R} \cdot R \cdot \frac{\partial^{2}}{\partial R^{2}} J_{z}(R) + \frac{1}{R} \cdot \frac{\partial}{\partial R} J_{z}(R)$$

$$\rightarrow \left[ \frac{\partial^2}{\partial R^2} J_z(R) + \frac{1}{R} \cdot \frac{\partial}{\partial R} J_z(R) = +j\omega\kappa\mu \cdot J_z(R) \right]$$

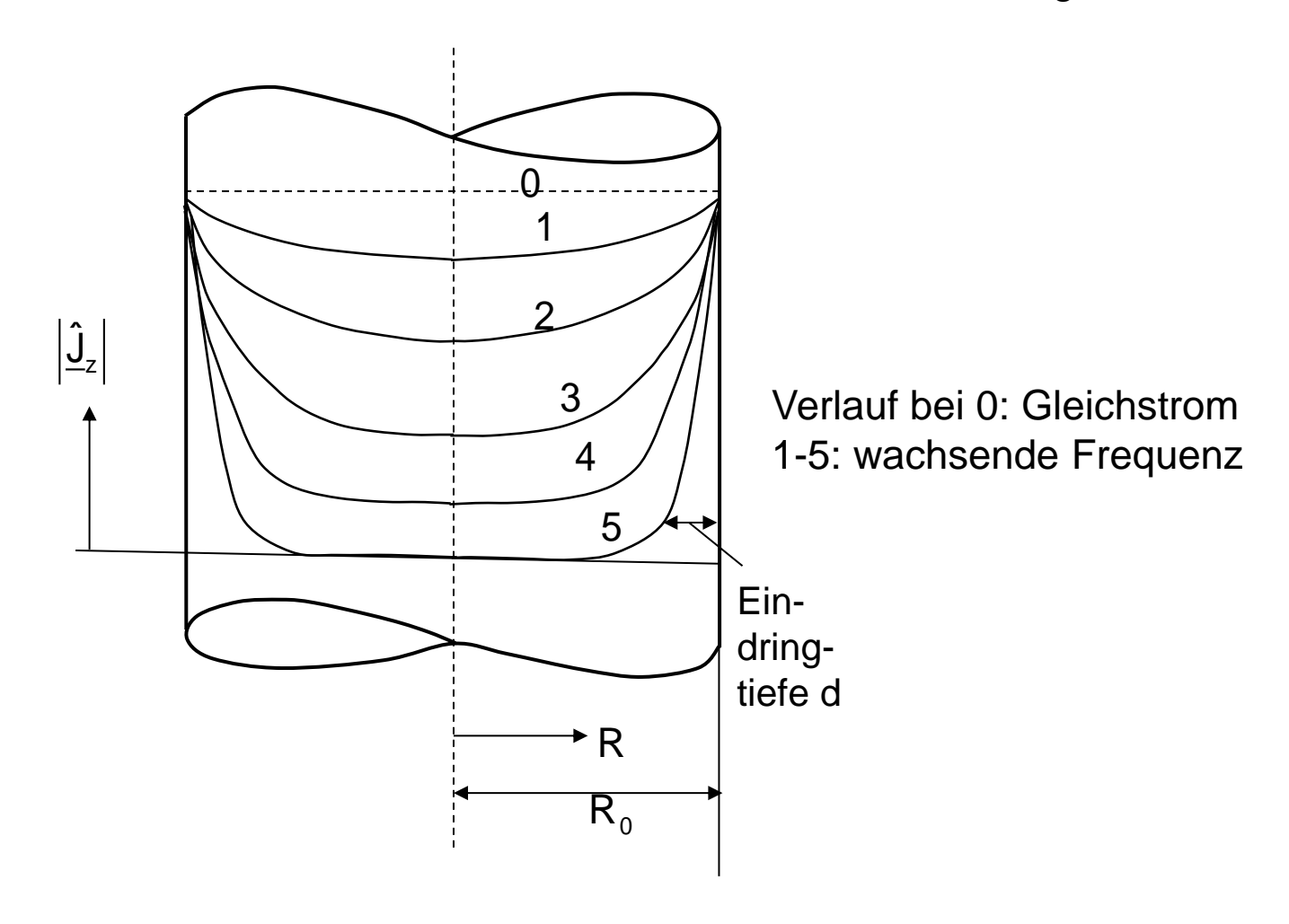
DGL für radiale Verteilung der Stromdichte

#### Lösung der DGL liefert:

$$\rightarrow \boxed{d = \sqrt{\frac{2}{\omega\mu\kappa}} = Eindringtiefe}$$

gleiche Größe wie Eindringtiefe auf einem ebenen Leiter

Definition der Eindringtiefe d: J auf 1/e abgefallen



 $\Leftarrow$ 

#### Zahlenbeispiel Kupfer:

$$\kappa = 5.8 \cdot 10^7 \frac{A}{Vm}$$

$$d = \sqrt{\frac{2}{\omega\mu\kappa}}$$

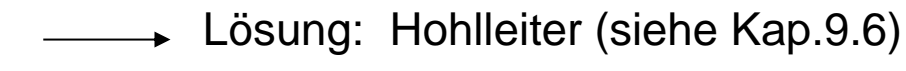
$$\mu = \mu_0 = 4\pi \cdot 10^{-7} \frac{\text{Vs}}{\text{Am}}$$

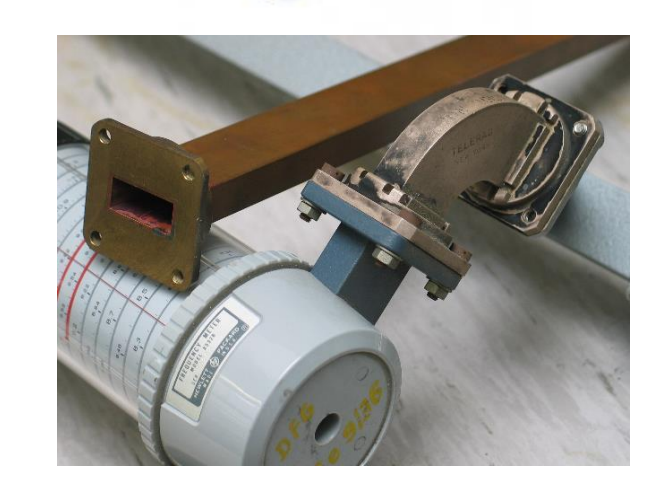
$$d = 2,0 \text{ mm}$$

$$f = 100\ 000\ Hz$$
  $d = 0,20\ mm$ 

vermindert sich mit wachsendem  $\omega$  und  $\kappa$ 

Problem: effektive Leistungs - HF - Übertragung





# 8 Feldenergie und Energiestromdichte

## 8.1 Leistungsbilanz mittels Poynting Vektor

$$\operatorname{rot} \vec{H} = \vec{J} + \frac{\partial \vec{D}}{\partial t} \quad \Rightarrow \quad -\vec{E} \cdot \operatorname{rot} \vec{H} = -\vec{E} \cdot \vec{J} - \vec{E} \cdot \frac{\partial \vec{D}}{\partial t} \qquad / \cdot \vec{E}$$

$$\operatorname{rot} \vec{E} = -\frac{\partial}{\partial t} \vec{B} \quad \Rightarrow \quad \vec{H} \cdot \operatorname{rot} \vec{E} = -\vec{H} \cdot \frac{\partial \vec{B}}{\partial t} \qquad / \cdot \vec{H}$$

$$\vec{H} \cdot \text{rot } \vec{E} - \vec{E} \cdot \text{rot } \vec{H} = - \vec{E} \cdot \vec{J} - \vec{E} \cdot \frac{\partial \vec{D}}{\partial t} - \vec{H} \cdot \frac{\partial \vec{B}}{\partial t}$$

aus Formelsammlung:  $\operatorname{div}(\vec{E} \times \vec{H}) = \vec{H} \cdot \operatorname{rot} \vec{E} - \vec{E} \cdot \operatorname{rot} \vec{H}$ 

Def.: 
$$\vec{S} = (\vec{E} \times \vec{H})$$
 Poynting Vektor

div 
$$\vec{S} = -\vec{E} \cdot \vec{J} - \vec{E} \cdot \frac{\partial \vec{D}}{\partial t} - \vec{H} \cdot \frac{\partial \vec{B}}{\partial t}$$
  $\iff$  differentielle Leistungsbilanz

Einheit 
$$(\vec{S}) = \frac{V}{m} \cdot \frac{A}{m} = \frac{Watt}{m^2} = \frac{Joule}{m^2 \cdot s}$$

Poynting-Vektor beschreibt die Energie, die pro Zeit durch eine Fläche fließt: "Energiestromdichte"

#### **Energiedichte der Felder**

$$w_e = \frac{1}{2} \vec{E} \cdot \vec{D} = \frac{1}{2} \epsilon E^2$$
 Energiedichte des el. Feldes  $W_e = \int w_e dv$  gesamte el. Feldenergie

Einheit 
$$(w_e) = \frac{V}{m} \cdot \frac{As}{m^2} = \frac{Joule}{m^3}$$

$$\frac{\partial w_e}{\partial t} = \frac{1}{2} \epsilon \frac{\partial}{\partial t} (\vec{E}^2(t)) = \frac{1}{2} \epsilon 2 \vec{E}(t) \frac{\partial \vec{E}(t)}{\partial t} \rightarrow \boxed{\frac{\partial w_e}{\partial t} = \vec{E} \cdot \frac{\partial \vec{D}}{\partial t}}$$

$$w_m = \frac{1}{2} \vec{H} \cdot \vec{B} = \frac{1}{2} \mu H^2$$
 Energiedichte des magn. Feldes  $W_m = \int w_m dv$  gesamte magn. Feldenergie

Einheit 
$$(w_m) = \frac{A}{m} \cdot \frac{Vs}{m^2} = \frac{Joule}{m^3}$$

$$\frac{\partial w_m}{\partial t} = \frac{1}{2} \mu \frac{\partial}{\partial t} (\vec{H}^2(t)) = \frac{1}{2} \mu 2 \vec{H}(t) \frac{\partial \vec{H}(t)}{\partial t} \rightarrow \boxed{\frac{\partial w_m}{\partial t} = \vec{H} \cdot \frac{\partial \vec{B}}{\partial t}}$$

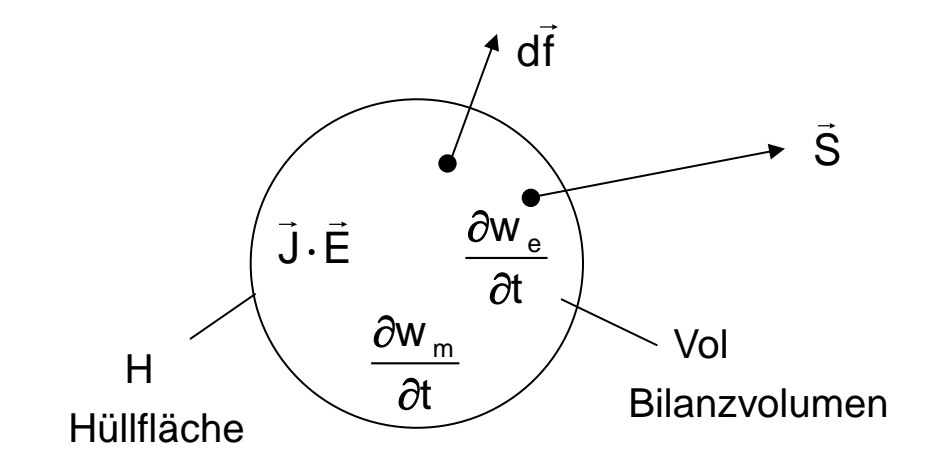
#### Übergang zur integralen Leistungsbilanz innerhalb eines Volumens

$$\operatorname{div}\left(\underbrace{\vec{E} \times \vec{H}}_{\vec{S}}\right) = - \vec{E} \cdot \vec{J} - \vec{E} \frac{\partial \vec{D}}{\partial t} - \vec{H} \frac{\partial \vec{B}}{\partial t}$$

$$\operatorname{div} \vec{S} = -\frac{\partial}{\partial t} \left( w_j + w_e + w_m \right)$$

$$\int_{Vol} \operatorname{div} \vec{S} \, dv = -\frac{\partial}{\partial t} \int_{Vol} \left( w_j + w_e + w_m \right) dv$$

$$\left| \oint_{H} \vec{S} \cdot d\vec{f} + \frac{\partial}{\partial t} \int_{Vol} (w_{j} + w_{e} + w_{m}) dv = 0 \right|$$



#### Die Summe aus:

- der aus einem Volumen herausströmenden Energie
- der im Volumen "verheizten" Jouleschen Wärmeleistung
- der Änderung der im Volumen enthaltenen elektrischen Feldenergie
- der Änderung der im Volumen enthaltenen magnetischen Feldenergie

ist Null.

## 8.2 Beispiel einfallende Welle auf verlustbehaftetes Medium

- Teil der Welle wird reflektiert
- eindringende Welle wird absorbiert und produziert ohmsche Verluste

Leistungsdichte der einfallenden Welle:  $\vec{S}_E = (\vec{E} \times \vec{H})_E \vec{S}_E$ 

Leistungsdichte der reflektierten Welle:  $\vec{S}_R = (\vec{E} \times \vec{H})_R$ 

Ohmsche Verluste in leitfähigem Medium:  $\vec{E} \cdot \vec{J}$ 

 $\vec{S}_R$   $\vec{d}\vec{f}$ Fläche A

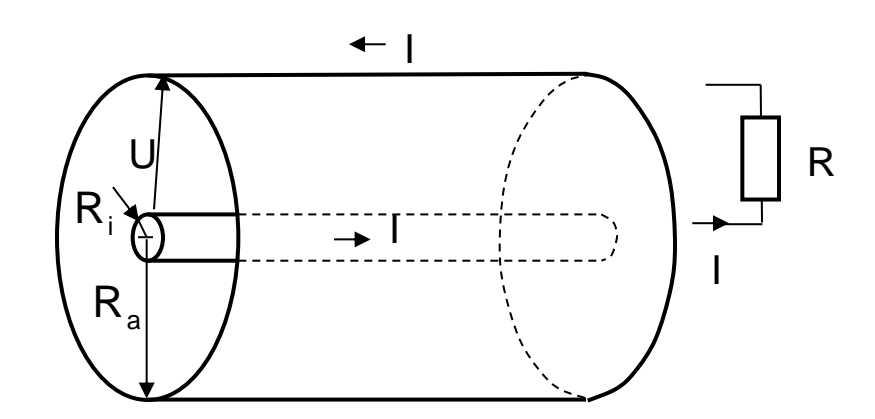
Volumen V

 $\vec{E}(x,t)$ 

$$\oint_{H} \vec{S} \cdot d\vec{f} + \frac{\partial}{\partial t} \int_{Vol} (w_j + w_e + w_m) dv = 0$$

$$\rightarrow \oint_{H} \vec{S} \cdot d\vec{f} = |\vec{S}_{R}| \cdot A - |\vec{S}_{E}| \cdot A = - \int_{V} \vec{E} \cdot \vec{J} dv$$
Energie - Erhaltung

## 8.3 Beispiel Energietransport im Koaxialleiter



- Spannung U zwischen Innenleiter und Außenrückleiter
- Strom I fließt durch Koaxialleiter
   Koaxialleiter sei verlustfrei  $\kappa \to \infty$

$$\rightarrow \vec{J} = \kappa \cdot \vec{E} \rightarrow E_z = 0$$

Zylinder-Koordinaten:

$$(mit Q = C U)$$

$$\vec{E} = E_R \cdot \vec{e}_R = \frac{Q}{2\pi\epsilon \cdot \ell R} \cdot \vec{e}_R = \frac{2\pi\epsilon \cdot \ell}{\ln\!\left(\!\!\!\begin{array}{c} R_a \\ R_i \end{array}\!\!\!\right)} \cdot U \cdot \frac{1}{2\pi\epsilon \cdot \ell R} \cdot \vec{e}_R = \frac{U}{\ln\!\left(\!\!\!\begin{array}{c} R_a \\ R_i \end{array}\!\!\!\right)} R \cdot \vec{e}_R$$

für 
$$R_i < R < R_a$$
 sonst:  $E_R = 0$ 

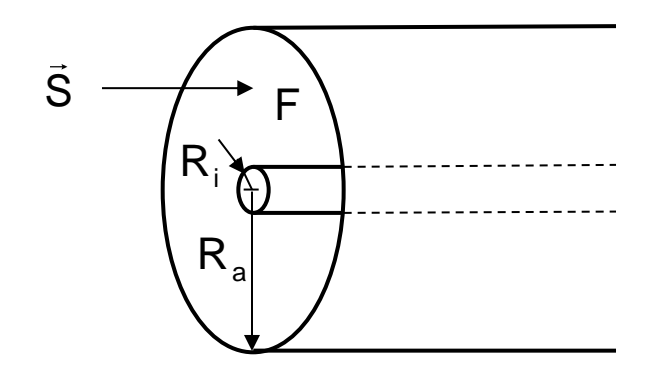
sonst: 
$$E_R = 0$$

$$\vec{H} = H_{\varphi} \cdot \vec{e}_{\varphi} = \frac{I}{2\pi R} \cdot \vec{e}_{\varphi}$$

$$\rightarrow \vec{E} \times \vec{H} = E_R \cdot H_{\phi} \cdot \vec{e}_z = \frac{U}{\ln(R_a/R_i)} \cdot \frac{1}{2\pi} \cdot \frac{1}{R^2} \cdot \vec{e}_z$$
 Poyntingvektor ~  $\frac{1}{R^2}$  weist zum Verbraucher

$$\vec{E} \times \vec{H} = E_R \cdot H_{\phi} \cdot \vec{e}_z = \frac{U}{\ln(R_a/R_i)} \cdot \frac{1}{2\pi} \cdot \frac{1}{R^2} \cdot \vec{e}_z$$

Poynting - Vektor  $\vec{S}(R)$ 



$$\int_{F} \vec{S} \cdot d\vec{f} = \frac{U \cdot I}{2\pi \cdot ln \binom{R_a}{R_i}} \cdot \int_{0}^{2\pi} \int_{R_i}^{R_a} \frac{1}{R^2} R dR d\phi$$

$$= \frac{U \cdot I}{2\pi \cdot \ln \left( \frac{R_a}{R_i} \right)} \cdot 2 \cdot \pi \cdot \int_{R_i}^{R_a} \frac{1}{R} dR$$

$$= \frac{U \cdot I}{\ln \left( \frac{R_a}{R_i} \right)} \cdot \ln \left( \frac{R_a}{R_i} \right) = U \cdot I$$

gesamte in den Querschnitt eintretende Leistung

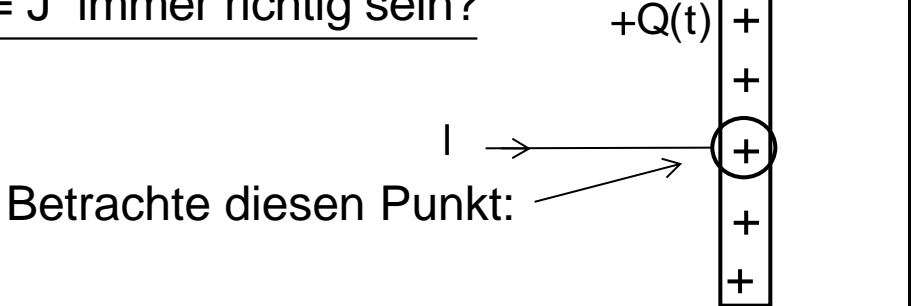
 ⇒ Die gesamte Leistung wird durch das Feld <u>zwischen</u> Innen- und Außenleiter transportiert

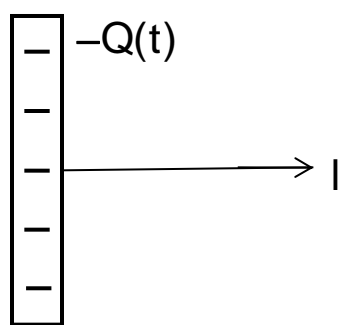
# 9 Schnell veränderliche Felder

## 9.1 Verschiebungsstrom und dessen Magnetfeld

Frage: Kann rot  $\vec{H} = \vec{J}$  immer richtig sein?

Aufladen eines Kondensators





Erhaltung der Ladung heißt:

$$\oint \vec{J} \, d\vec{f} \, + \, \frac{\partial}{\partial t} \int \rho \, dv = 0 \quad \Longleftrightarrow \quad \text{div } \vec{J} + \, \frac{\partial}{\partial t} \rho = 0 \quad \Longleftrightarrow \quad$$

An dieser Stelle im Raum gilt also:

div 
$$\vec{J} \neq 0$$

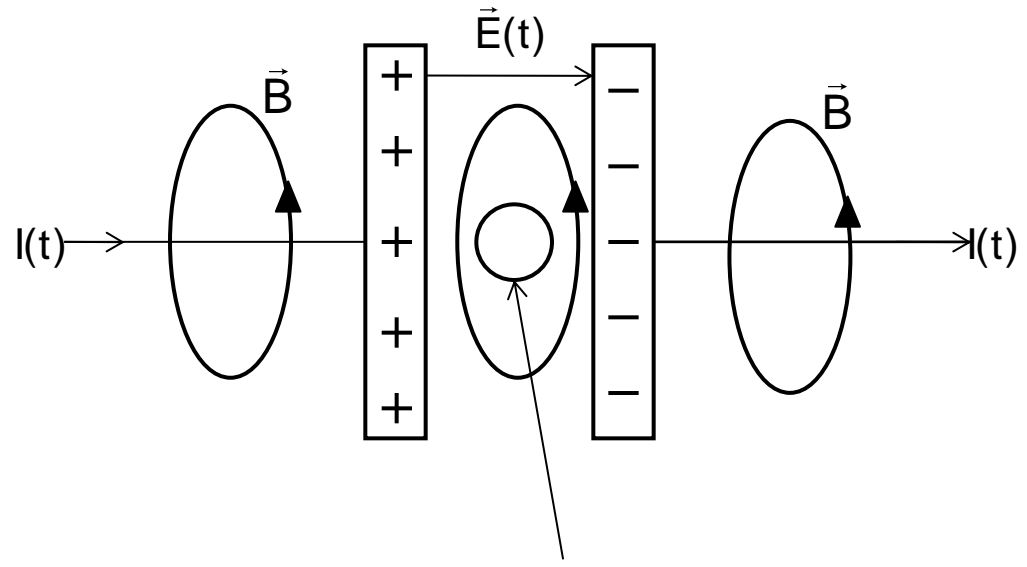
eser Stelle im Raum gilt also: 
$$\text{div } \vec{J} \neq 0$$
  
Für rot  $\vec{H} = \vec{J}$  würde gelten:  $\text{div } \vec{J} = \text{div rot } \vec{H} \equiv 0$ 

rot  $\vec{H} = \vec{J} + \partial \vec{D} / \partial t$ Richtig ist:

und damit:

div rot  $\vec{H} = \text{div } \vec{J} + \frac{\partial}{\partial t} \text{ div } \vec{D}$  und div  $\vec{D} = \rho$ 

$$0 = \operatorname{div} \ \vec{J} + \frac{\partial}{\partial t} \rho$$



Betrachte nun diesen Punkt:

wenn gilt:  $rot \vec{H} = \vec{J} + \partial \vec{D}/\partial t$  und an diesem Punkt  $\vec{J}$  Null ist

dann folgt: rot  $\vec{H} = \partial \vec{D}/\partial t$   $\longleftrightarrow$   $\oint \vec{H} \cdot d\vec{s} = \int (\partial \vec{D}/\partial t) \cdot d\vec{f}$ 

es gibt auch Magnetfelder in Bereichen mit  $\vec{J} = 0$ wenn zeitlich variable elektrische Felder vorliegen mit  $\partial \vec{D}/\partial t \neq 0$ 

# Berücksichtigung von atomaren Ringströmen und molekularen Ladungsverschiebungen

$$\vec{J}_{ges} = \vec{J}_{frei} + \vec{J}_{P} + \vec{J}_{atom}$$

mit  $\vec{J}_{frei}$ : Ströme freier Elektronen/Ionen, erstere z.B. in Metallen

J<sub>P</sub>: Ladungsverschiebungen in Molekülen dielektrischer
 Materialien bei zeitlich variablen Vorgängen

J<sub>atom</sub>: Kreisströme in para- und ferromagnetischen Materialien, verantwortlich für die atomaren Elementarmagnete

Rückblick: Berücksichtigung magn. Materialien mit atomaren Ringströmen  $\vec{J}_{atom}$ 

$$\begin{aligned} &\text{rot } \vec{\mathsf{B}} = \mu_0 \left( \vec{\mathsf{J}}_{\text{frei}} + \vec{\mathsf{J}}_{\text{P}} + \epsilon_0 \frac{\partial \vec{\mathsf{E}}}{\partial t} \right) + \mu_0 \ \vec{\mathsf{J}}_{\text{atom}} \\ &\vec{\mathsf{B}} = \vec{\mathsf{B}}_{\text{IPF}} + \vec{\mathsf{B}}_{\text{M}} \end{aligned}$$

 $\vec{B}_{\text{IPE}}$ : hervorgerufen durch freie Ströme  $\vec{J}_{\text{frei}}$ , durch Polarisationsströme in Molekülen  $\vec{J}_{\text{P}}$  sowie durch zeitliche Variation des  $\vec{E}$ -Feldes

 $\vec{B}_{M}$ : hervorgerufen durch atomare Ringströme  $\vec{J}_{atom}$ 

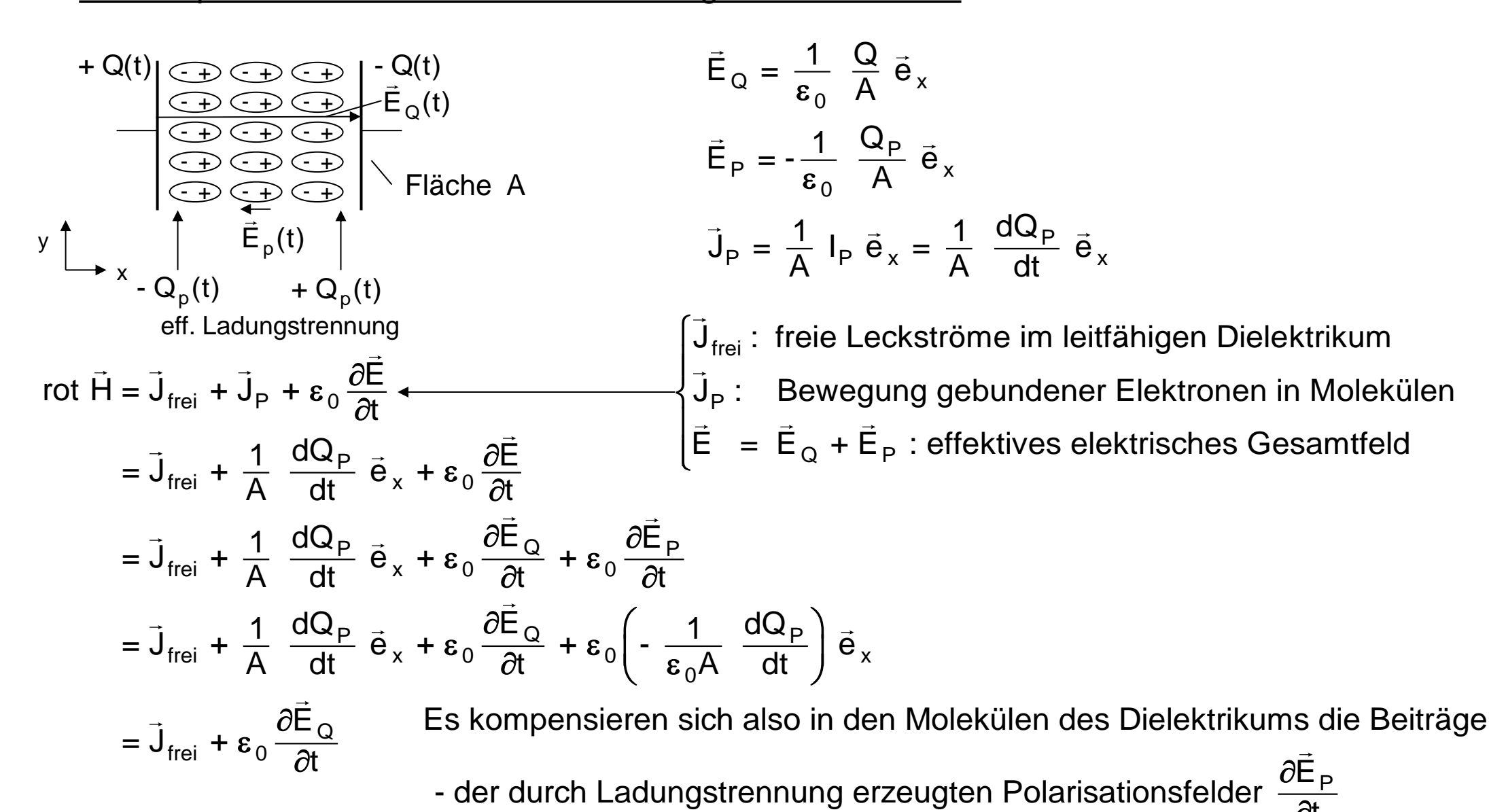
Superposition: rot 
$$\vec{B}_{IPE} = \mu_0 \left( \vec{J}_{frei} + \vec{J}_P + \epsilon_0 \frac{\partial \vec{E}}{\partial t} \right)$$
 und rot  $\vec{B}_M = \mu_0 \vec{J}_{atom}$ 

Bei linearer Abhängigkeit zwischen  $\vec{B}$  und  $\vec{B}_M$  bekommen wir  $\vec{B} = \mu_r \ \vec{B}_{IPE}$ , wobei  $\mu_r$  den Anteil von  $\vec{B}_M$  am Gesamtfeld beinhaltet

Mit der Definition  $\vec{H} = \vec{B}_{\text{IPE}} \, / \, \mu_0$  ergibt sich schließlich

$$rot \vec{H} = \vec{J}_{frei} + \vec{J}_{P} + \epsilon_{0} \frac{\partial \vec{E}}{\partial t} \quad und \quad \vec{B} = \mu_{r} \mu_{0} \vec{H}$$

# Berücksichtigung molekularer Ladungsbewegungen am Beispiel eines Kondensators mit leitfähigem Dielektrikum:



- und der Bewegung der gebundenen Elektronen J<sub>P</sub>

267

rot 
$$\vec{H} = \vec{J}_{frei} + \epsilon_0 \frac{\partial \vec{E}_Q}{\partial t}$$

Mit der Definition  $\vec{D} = \epsilon_0 \vec{E}_Q$  erhalten wir

$$rot \vec{H} = \vec{J}_{frei} + \frac{\partial \vec{D}}{\partial t} \quad und \quad \vec{B} = \mu_r \ \mu_0 \ \vec{H}$$

Hierbei verbergen sich in

 $\vec{B}$ : das effektive Gesamtmagnetfeld, welches mittels  $\mu_r$  zusätzlich zu  $\vec{B}_{\text{IPE}}$  die atomaren Ringströme  $\vec{J}_{\text{atom}}$  beinhaltet

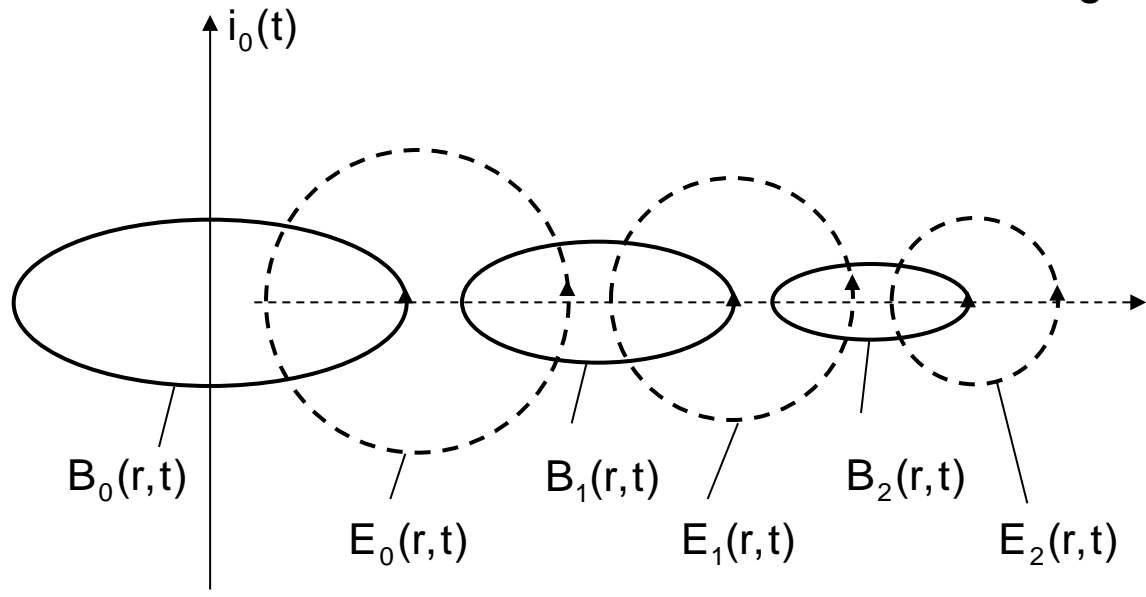
 $\vec{H}$ : die Magnetfeldanteile  $\vec{B}_{IPE}$ , die durch  $\vec{J}_{frei}$ ,  $\vec{J}_{P}$  und  $\partial \vec{E}/\partial t$  erzeugt werden

 $\vec{J}_{\text{frei}}$ : die Ströme von ungebundenen Elektronen und Ionen, z.B. die Elektronen in Leitern

 $\vec{D}$ : die das Magnetfeld erzeugende Wirkung von  $\vec{E}_Q$ ; die Wirkungen von  $\vec{E}_P$  sowie  $\vec{J}_P$  der Ladungsverschiebungen in dielektrischen Molekülen kompensieren sich gegenseitig

### Wellenvorgang bei schnell veränderlichen Feldern

Wellenausbreitung im leeren Raum → keine Ladungen, keine Stromdichte nötig



$$rot \vec{B} = \mu_0 \vec{J} + \epsilon_0 \mu_0 \partial \vec{E} / \partial t \qquad rot \vec{E} = -\partial \vec{B} / \partial t$$

Wellenausbreitung durch Kopplung  $\partial \vec{E}/\partial t \Rightarrow \vec{B} \quad \partial \vec{B}/\partial t \Rightarrow \vec{E}$ 

# 9.2 Wellengleichung für Nichtleiter

$$\rho = 0$$
  $\vec{J} = 0$ 

$$\begin{array}{ll} \mbox{div} \; \vec{D} = 0 & \vec{D} = \epsilon \cdot \vec{E} \; \Rightarrow \; \mbox{div} \; \vec{E} = 0 \\ \mbox{div} \; \vec{B} = 0 & \vec{B} = \mu \cdot \vec{H} \; \Rightarrow \; \mbox{div} \; \vec{H} = 0 \end{array} \right\} \; \; \mbox{für} \; \; \epsilon, \mu = const.$$

$$rot \vec{H} = \varepsilon \cdot \frac{\partial}{\partial t} \vec{E}$$

$$rot \left(rot \vec{E}\right) = -\mu \cdot rot \frac{\partial}{\partial t} \vec{H}$$

rot  $\left(\operatorname{rot} \vec{\mathsf{E}}\right) = -\mu \cdot \operatorname{rot} \frac{\partial}{\partial t} \vec{\mathsf{H}}$  Ziel: Entkoppeln der PDGIn für E und H; → H eliminieren

grad div 
$$\vec{E} - \Delta \vec{E} = -\mu \cdot \frac{\partial}{\partial t}$$
 rot  $\vec{H}$ 

$$\Delta \vec{\mathsf{E}} - \mu \cdot \boldsymbol{\varepsilon} \cdot \frac{\partial^2 \vec{\mathsf{E}}}{\partial t^2} = 0$$

Abkürzung 
$$\mu \epsilon = \frac{1}{c^2}$$

$$\rightarrow \left[ \Delta \vec{E} - \frac{1}{c^2} \cdot \frac{\partial^2 \vec{E}}{\partial t^2} \right] = 0$$

Wellengleichung für das elektrische Feld

$$\left| \text{rot } \vec{\mathsf{H}} = \varepsilon \cdot \frac{\partial}{\partial \mathsf{t}} \vec{\mathsf{E}} \right| \quad \text{"Maxwell"}$$

$$\left| \text{rot } \vec{\mathsf{E}} = -\mu \cdot \frac{\partial}{\partial \mathsf{t}} \vec{\mathsf{H}} \right|$$

$$rot \left(rot \vec{H}\right) = \varepsilon \cdot rot \frac{\partial}{\partial t} \vec{E}$$

Ziel: E eliminieren

grad div 
$$\vec{H} - \Delta \vec{H} = \varepsilon \cdot \frac{\partial}{\partial t}$$
 rot  $\vec{E}$ 

$$\Delta \vec{H} - \varepsilon \cdot \mu \cdot \frac{\partial^2 \vec{H}}{\partial t^2} = 0 \qquad \text{Abkürzung} \qquad \mu \ \varepsilon \stackrel{\text{Def.}}{=} \ \frac{1}{C^2}$$

$$\mu \epsilon = \frac{1}{C^2}$$

$$\rightarrow \boxed{\Delta \vec{H} - \frac{1}{c^2} \cdot \frac{\partial^2 \vec{H}}{\partial t^2} = 0}$$
 Wellengleichung für magnetisches Feld

und

$$\Delta \vec{E} - \frac{1}{c^2} \cdot \frac{\partial^2 \vec{E}}{\partial t^2} = 0$$

Wellengleichung für elektrisches Feld Aber:  $\vec{E}$  und  $\vec{H}$ sind mit einander verkoppelt

$$\Delta \vec{E} - \frac{1}{c^2} \cdot \frac{\partial^2 \vec{E}}{\partial t^2} = 0$$

Freie Ausbreitung im leeren Raum, kartesische Koordinaten

$$\frac{\partial^{2}\vec{E}}{\partial x^{2}} + \frac{\partial^{2}\vec{E}}{\partial y^{2}} + \frac{\partial^{2}\vec{E}}{\partial z^{2}} - \frac{1}{c^{2}} \cdot \frac{\partial^{2}\vec{E}}{\partial t^{2}} = 0$$

Ebene Wellen:

$$\rightarrow \frac{\partial}{\partial y} = 0, \quad \frac{\partial}{\partial z} = 0$$

Wellenausbreitung in x-Richtung

$$\rightarrow \partial/\partial x \neq 0$$

→ 
$$\frac{\partial^2 E_x}{\partial x^2} - \frac{1}{c^2} \cdot \frac{\partial^2 \vec{E}_x}{\partial t^2} = 0$$
 ← Longitudinale Wellen: gibt es die im freien Raum? NEIN!

$$\frac{\partial^2 E_y}{\partial x^2} - \frac{1}{c^2} \cdot \frac{\partial^2 E_y}{\partial t^2} = 0$$

$$\longrightarrow \frac{\partial^2 E_z}{\partial x^2} - \frac{1}{c^2} \cdot \frac{\partial^2 E_z}{\partial t^2} = 0$$

es sind 2 unabhängige Wellengleichungen

### 9.2.1 Lösungen für ebene Wellen

Ausbreitung in x-Richtung:

y-Richtung von E

$$E_x = E_z = 0$$

$$\frac{\partial^{2} E_{y}(x,t)}{\partial x^{2}} - \frac{1}{c^{2}} \cdot \frac{\partial^{2} E_{y}(x,t)}{\partial t^{2}} = 0$$

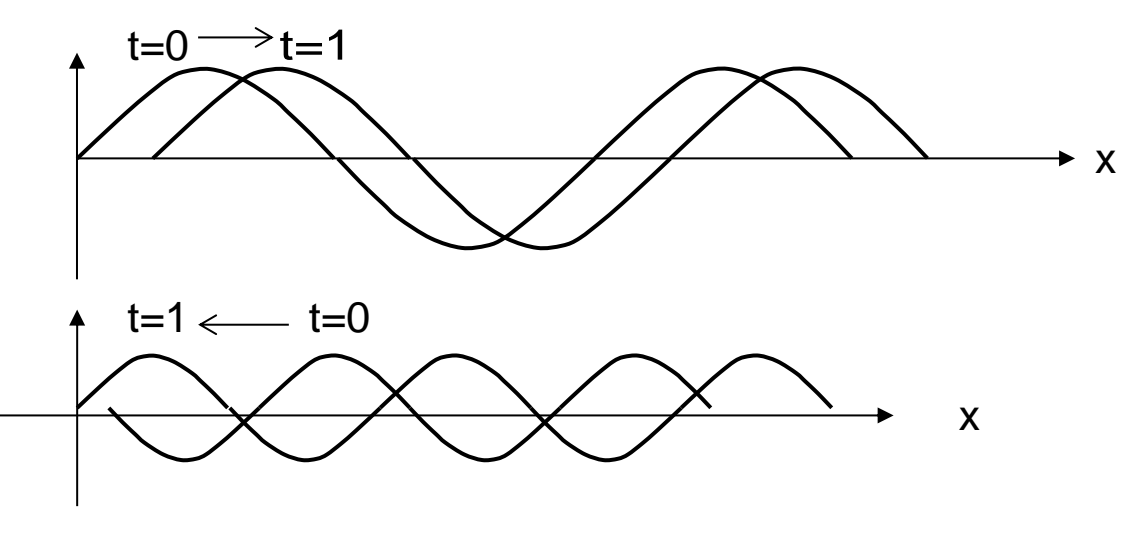
$$E_y = f\left(t - \frac{x}{C}\right) + g\left(t + \frac{x}{C}\right)$$

Dieser Ansatz löst die Wellengleichungen mit beliebigen Funktionen f und g.

z.B. 
$$f(t - \frac{x}{c}) = E_f \sin(\omega_f \cdot (t - \frac{x}{c}))$$

Wellenmuster f läuft in +x-Richtung

z.B. 
$$g(t + \frac{x}{C}) = E_g \sin(\omega_g \cdot (t + \frac{x}{C}))$$
  
Wellenmuster g  
läuft in -x-Richtung



#### **Beweis**

$$E_{y}(x,t) = f(t \mp \frac{x}{c})$$
 =  $E_{y0} cos(\omega \cdot (t \mp \frac{x}{c}))$ 

$$\rightarrow \frac{\partial E_y}{\partial x} = \pm \frac{\omega}{c} E_{y0} \sin(\omega \cdot (t \mp x/c))$$

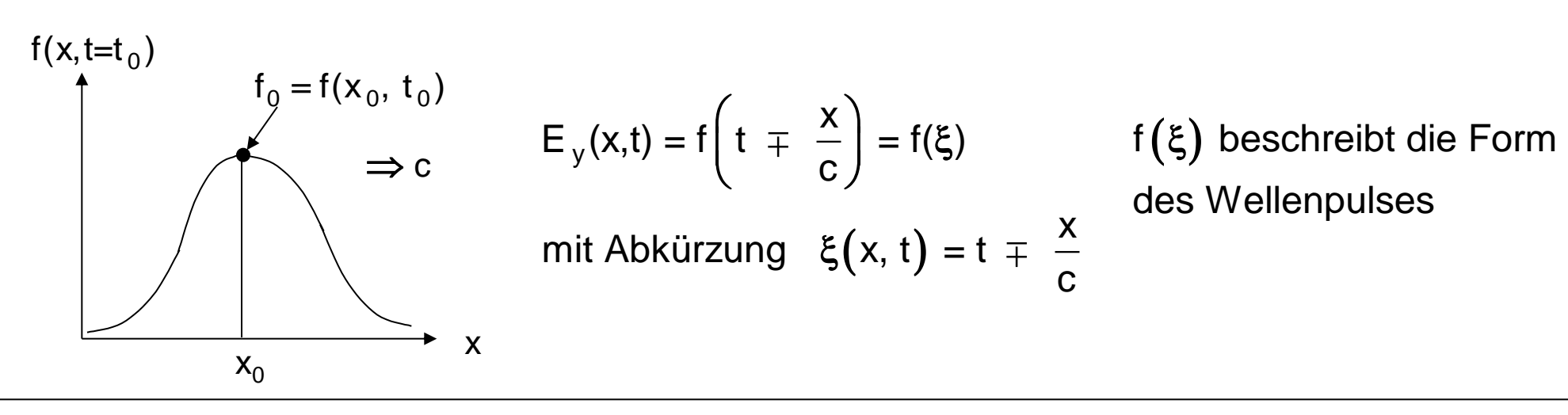
$$\rightarrow \frac{\partial^2 E_y}{\partial x^2} = -\frac{\omega^2}{c^2} E_{y0} \cos \left(\omega \cdot \left(t \mp \frac{x}{c}\right)\right) = -\frac{\omega^2}{c^2} E_y$$

$$\rightarrow \frac{\partial E_y}{\partial t} = -\omega E_{y0} \sin(\omega \cdot (t \mp x/c))$$

$$\rightarrow \frac{\partial^2 E_y}{\partial t^2} = -\omega^2 E_{y0} \cos \left(\omega \cdot \left(t \mp \frac{x}{c}\right)\right) = -\omega^2 E_y$$

$$\rightarrow \frac{\partial^2 E_y}{\partial x^2} - \frac{1}{c^2} \frac{\partial^2 E_y}{\partial t^2} = \left( -\frac{\omega^2}{c^2} E_y \right) - \frac{1}{c^2} \left( -\omega^2 E_y \right) = 0 \quad \text{qed}$$

# Wie schnell und in welche Richtung wandert die Welle?



$$E_y(x,t) = f\left(t \mp \frac{x}{c}\right) = f(\xi)$$

Wellengeschwindigkeit = Änderung der Orte konstanter Amplitude  $f_0 = f(x_0, t_0) = f(\xi_0)$  pro Zeit

$$\xi(x, t) = t \mp \frac{x}{c} = \xi_0 = \text{const.}$$
 gesucht  $(x, t)$  - Paare für  $\xi_0 = \text{const.}$ 

$$\rightarrow \frac{d\xi(x,t)}{dt} = 1 \mp \frac{1}{c} \frac{dx}{dt} = \frac{d\xi_0}{dt} = 0$$

$$\rightarrow \frac{dx}{dt} = \pm c = \frac{\pm 1}{\sqrt{\epsilon \mu}}$$

 $\rightarrow \left| \frac{dx}{dt} \right| = \pm c = \frac{\pm 1}{\sqrt{\epsilon \mu}} \right|$  Wellengeschwindigkeit in (+) positiver bzw. (-) negativer x - Richtung

### Verkopplung von elektrischem u. magnetischem Feld

E und H sind verkoppelt durch:  $rot \vec{H} = \varepsilon \cdot \frac{\partial \vec{E}}{\partial t}$ 

$$rot \vec{H} = \varepsilon \cdot \frac{\partial \vec{E}}{\partial t}$$

Ebene Wellenausbreitung entlang der x-Achse mit  $\vec{E} = E_v(x,t) \vec{e}_v$ 

$$\rightarrow \left(\text{rot } \vec{H}\right)_{y} = \left(\frac{\partial H_{x}}{\partial z} - \frac{\partial H_{z}}{\partial x}\right) \vec{e}_{y} = \epsilon \frac{\partial E_{y}}{\partial t} \vec{e}_{y}$$

$$\rightarrow \boxed{-\frac{\partial H_z}{\partial x} = \epsilon \frac{\partial E_y}{\partial t}}$$

 $\rightarrow \left| -\frac{\partial H_z}{\partial x} \right| = \varepsilon \left| \frac{\partial E_y}{\partial t} \right|$  Einsetzen der allgemeinen Lösungen der Wellengleichungen liefert:

$$\mathsf{E}_{y}(\mathsf{x},\mathsf{t}) = \mathsf{E}_{0} \; \mathsf{f}\left(\mathsf{t} \; \mp \frac{\mathsf{x}}{\mathsf{c}}\right) \quad \stackrel{\mathsf{z.B.}}{=} \; \mathsf{E}_{y0} \; \mathsf{cos}\left(\boldsymbol{\omega} \cdot \left(\mathsf{t} \; \mp \; \frac{\mathsf{x}}{\mathsf{c}}\right)\right)$$

$$H_z(x,z) = H_0 f(t \mp \frac{x}{c})$$
 =  $H_{z0} cos(\omega \cdot (t \mp \frac{x}{c}))$ 

$$\rightarrow -\left(\pm\frac{\omega}{c}\right)H_z = \varepsilon(-\omega)E_y$$

$$\rightarrow H_z = \pm \epsilon c E_y \text{ und } c = \frac{1}{\sqrt{\epsilon \mu}} \rightarrow H_z = \pm \sqrt{\frac{\epsilon}{\mu}} E_y$$
 
$$H_z = \pm \sqrt{\frac{\epsilon}{\mu}} E_z$$

Analog gilt für die Richtung des elektrischen Feldes in z-Richtung mit E,

$$H_y = \mp \sqrt{\frac{\epsilon}{\mu}} E_z$$

### Wellenwiderstand

$$\frac{\mathsf{E}_{\mathsf{y}}}{\mathsf{H}_{\mathsf{z}}} = \sqrt{\frac{\mu_{\mathsf{r}}\mu_{\mathsf{0}}}{\varepsilon_{\mathsf{r}}\varepsilon_{\mathsf{0}}}} = \Gamma$$

"Definition: Wellenwiderstand"

Achtung !!  $\Gamma$  hat nichts

mit einem

Ohmschen Widerstand zu tun.

$$\Gamma_0 = \sqrt{\frac{\mu_0}{\epsilon_0}} = \sqrt{\frac{4\pi \cdot 10^{-7}}{8.85 \cdot 10^{-12}}} \sqrt{\frac{\frac{Vs}{Am}}{\frac{As}{Vm}}} = 377 \sqrt{\frac{V^2}{A^2}}$$

$$\left| \Gamma_0 = 377 \, \frac{\mathsf{V}}{\mathsf{A}} \right|$$

 $\left|\Gamma_0 = 377 \frac{V}{\Delta}\right|$  Wellenwiderstand des Vakuums:

Naturkonstante des Vakuums (ähnlich c<sub>0</sub>)

Der Wellenwiderstand (Dimension Ohm) ist die feste Proportionalitätskonstante zwischen elektrischen und magnetischen Feldvektoren ebener Wellen im Vakuum

#### **Transversalwellen**

$$f(t-x/c)$$

Welle in +x-Richtung

$$H_z = + \sqrt{\frac{\epsilon}{\mu}} E_y$$

 $E_y$  und  $H_z$  in Phase

# Rücklaufende Welle:

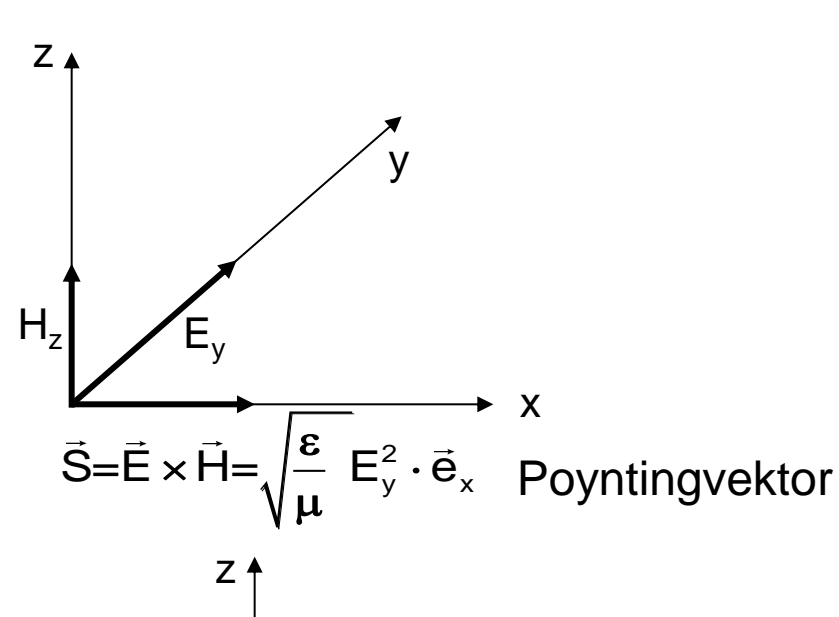
$$g(t + x/c)$$

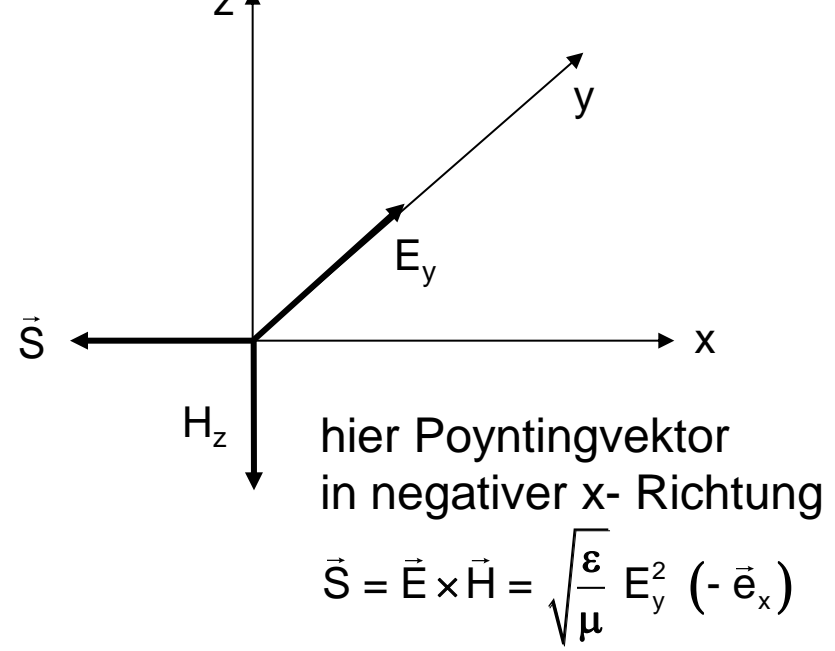
Welle in

-x-Richtung

$$H_z = -\sqrt{\frac{\varepsilon}{\mu}} E_y$$

E<sub>y</sub> und H<sub>z</sub> in Phase | mit umgekehrtem Vorzeichen





### Gibt es ebene Longitudinalwellen?

Longitudinal:  $\vec{E}$  und  $\vec{H}$  würden in Ausbreitungsrichtung x weisen Versuch Ansatz:

$$E_{x}(x,t) = f_{x}(t-x/c) \qquad H_{x}(x,t) = g_{x}(t-x/c)$$

$$= E_{x0} \cos\left(\omega \cdot \left(t-\frac{x}{c}\right)\right) \qquad = H_{x0} \cos\left(\omega \cdot \left(t-\frac{x}{c}\right)\right)$$

$$\frac{\text{div } \vec{D} = 0}{\rho = 0} \qquad \frac{\text{div } \vec{B} = 0}{\rho = 0}$$

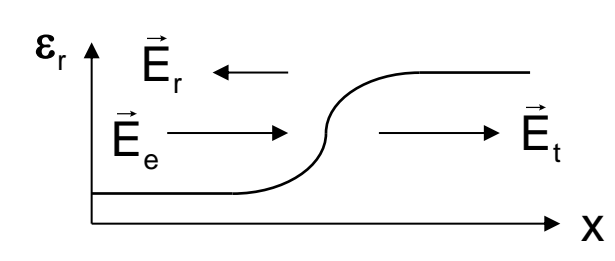
$$\epsilon \frac{\partial E_{x}}{\partial x} = \epsilon \left(+\frac{\omega}{c}\right) E_{x0} \sin\left(\omega \cdot \left(t-\frac{x}{c}\right)\right) \neq 0 \qquad \mu \frac{\partial H_{x}}{\partial x} = \mu \left(+\frac{\omega}{c}\right) H_{x0} \sin\left(\omega \cdot \left(t-\frac{x}{c}\right)\right) \neq 0$$

$$\text{Widerspruch} \qquad Widerspruch$$

Ansatz falsch!

Es gibt keine ebenen Longitudinalwellen

# 9.2.2.2 Reflexionen



Es entstehen Reflexionen an Stellen, an denen  $\varepsilon_r$  sich ändert.

Die bisherige Wellengleichung liefert keine Erklärung für Reflexionen. Ursache ist die Vernachlässigung des Terms div  $\vec{E}$  in der Herleitung der Wellengleichung. Bei räumlich variablem  $\epsilon_r$  gilt statt dessen:

$$\begin{split} &\text{rot } \vec{E} = -\,\mu \,\, \frac{\partial \vec{H}}{\partial t} \quad \text{rot } \vec{H} = \epsilon \,\, \frac{\partial \vec{E}}{\partial t} \\ &\text{rot rot } \vec{E} = -\,\mu \,\, \frac{\partial}{\partial t} \,\, \text{rot } \vec{H} = -\mu \,\epsilon \,\, \frac{\partial^2 \vec{E}}{\partial t^2} \quad \rightarrow \,\, \text{grad div } \vec{E} - \Delta \vec{E} = -\mu \,\epsilon \,\, \frac{\partial^2 \vec{E}}{\partial t^2} \\ &\text{div } \vec{D} = 0 \quad \text{für } \,\, \rho = 0 \\ &\text{div } \left(\epsilon \,\, \vec{E}\right) = \epsilon \,\, \text{div } \vec{E} + \text{grad } \epsilon \, \cdot \vec{E} = 0 \qquad \rightarrow \,\, \text{div } \vec{E} = -\,\, \frac{\text{grad } \epsilon}{\epsilon} \,\, \cdot \vec{E} \\ & \rightarrow \,\, \boxed{\Delta \vec{E} - \mu \epsilon \,\, \frac{\partial^2 \vec{E}}{\partial t^2} = -\text{grad} \left(\frac{\text{grad } \epsilon}{\epsilon \,\, \kappa} \, \cdot \vec{E}\right)} \end{split}$$

Für den Fall, dass die Anregung der Welle durch eine links plazierte Antenne bewirkt wurde, gilt:

Fall 
$$\varepsilon = \text{const} \rightarrow \vec{E} \sim E_e f(t - \frac{x}{c})$$
 keine Reflexion

Fall 
$$\epsilon = \epsilon (x)$$
  $\rightarrow \vec{E} \sim E_e \left(\underbrace{f_t(x)f\left(t - \frac{x}{C}\right) + f_r(x)f\left(t + \frac{x}{C}\right)}_{transmittierte} + \underbrace{f_r(x)f\left(t + \frac{x}{C}\right)}_{reflektierte}\right)$ 

Einfacher Fall: & stückweise konstant (Beispiel Glas/Luft bei Lichtwellen)

$$\vec{E}_{e} \sim f\left(t - \frac{x}{C_{1}}\right), \qquad \vec{E}_{r} \sim f\left(t + \frac{x}{C_{1}}\right), \qquad \vec{E}_{t} \sim f\left(t - \frac{x}{C_{2}}\right)$$
 einfallende reflektierte transmittierte Wellen

Stetigkeit der Tangentialkomponenten an Grenzschicht Glas/Luft:

$$\vec{E}_{e} \xrightarrow{C_{1}} \qquad C_{2} \qquad \rightarrow \boxed{E_{ye} + E_{yr} = E_{yt}} \qquad (1)$$

$$\vec{E}_{r} \xleftarrow{C_{1}} \qquad \vec{E}_{t} \qquad H_{ze} + H_{zr} = H_{zt} \quad \text{mit } H_{z} = \pm \sqrt{\frac{\varepsilon}{\mu}} E_{y}$$

$$\xrightarrow{V} \qquad \varepsilon_{1} \qquad \varepsilon_{2} \qquad \rightarrow \sqrt{\frac{\varepsilon_{1}}{\mu}} E_{ye} - \sqrt{\frac{\varepsilon_{1}}{\mu}} E_{yr} = \sqrt{\frac{\varepsilon_{2}}{\mu}} E_{yt}$$

$$(2)$$

$$\sqrt{\epsilon_1} \; \mathsf{E}_{\mathsf{ye}} + \sqrt{\epsilon_1} \; \mathsf{E}_{\mathsf{yr}} = \sqrt{\epsilon_1} \; \mathsf{E}_{\mathsf{yt}}$$
 (1) erweitert mit  $\sqrt{\epsilon_1}$ 

$$\sqrt{\varepsilon_1} \ \mathsf{E}_{\mathsf{ye}} - \sqrt{\varepsilon_1} \ \mathsf{E}_{\mathsf{yr}} = \sqrt{\varepsilon_2} \ \mathsf{E}_{\mathsf{yt}}$$
 (2)

$$\sum \rightarrow 2 \sqrt{\epsilon_1} \, \mathsf{E}_{\mathsf{ye}} = \left(\sqrt{\epsilon_1} + \sqrt{\epsilon_2}\right) \, \mathsf{E}_{\mathsf{yt}} \quad \rightarrow \quad \left[ \mathsf{E}_{\mathsf{yt}} = \frac{2 \sqrt{\epsilon_1}}{\sqrt{\epsilon_1} + \sqrt{\epsilon_2}} \, \mathsf{E}_{\mathsf{ye}} \right]$$

$$\sqrt{\varepsilon_1} = 1$$

$$\sqrt{\varepsilon_2} = 1,5$$

$$\to E_{yt} = 0.80 E_{ye}$$

#### 9.2.3 Harmonische Wellen

### 9.2.3.1 Sinusförmige elektrische und magnetische Felder

Einführung komplexer Größen wie in der Wechselstromlehre:

$$\vec{H}(\vec{r},t) = \vec{H}(\vec{r}) \cdot e^{j\omega t} \rightarrow \text{Re}[\vec{H}(\vec{r},t)]$$

$$\vec{E}(\vec{r},t) = \vec{E}(\vec{r}) \cdot e^{j\omega t} \rightarrow \text{Re}[\vec{E}(\vec{r},t)]$$

$$\vec{J}(\vec{r},t) = \vec{J}(\vec{r}) \cdot e^{j\omega t} \rightarrow \text{Re}[\vec{J}(\vec{r},t)]$$

$$\rho(\vec{r},t) = \rho(\vec{r}) \cdot e^{j\omega t} \rightarrow \text{Re}[\rho(\vec{r},t)]$$

Hierbei sind die Größen  $\vec{E}(\vec{r})$ ,  $\vec{H}(\vec{r})$ ,  $\vec{J}(\vec{r})$ ,  $\rho(\vec{r})$  usw. komplexe Größen welche die jeweilige Amplitude sowie Phasenlage bestimmen.

Komplexer Poynting-Vektor: 
$$\vec{S} = \frac{1}{2} \vec{E} \times \vec{H}^* = \vec{S}_R + j\vec{S}_I$$

Zeitlicher Mittelwert: 
$$\langle \vec{S}_R \rangle = \frac{1}{2} \text{ Re } \left[ \vec{E} \times \vec{H}^* \right] \langle \vec{S}_I \rangle = \frac{1}{2} \text{ Im } \left[ \vec{E} \times \vec{H}^* \right]$$

# Lösung der harmonischen Wellengleichung

$$\frac{\partial^{2} E_{y}(x,t)}{\partial x^{2}} = \varepsilon \mu \frac{\partial^{2} E_{y}(x,t)}{\partial t^{2}}$$

Harmonischer Ansatz:  $E_v(x,t) = E_0 \cdot e^{j\omega t} \cdot f(x)$ 

Ansatz folgt

- NICHT aus Mathematik oder Maxwell
- sondern aus technisch vorgegebener Anregung der Welle durch Antenne mit fester Frequenz

$$\rightarrow E_0 \cdot e^{j\omega t} \frac{\partial^2 f(x)}{\partial x^2} = \varepsilon \, \mu \left( -\omega^2 \right) \, E_0 \cdot e^{j\omega t} \cdot f(x)$$

$$\rightarrow E_y(x,t) = E_0 \cdot e^{j\omega t} e^{-j\frac{\omega}{c}x} \qquad \rightarrow \boxed{E_y(x,t) = E_0 \cdot e^{j\omega\left(t - \frac{x}{c}\right)}} \quad \text{Welle in pos. x - Richtung}$$

$$\rightarrow E_y(x,t) = E_0 \cdot e^{j\omega t} e^{+j\frac{\omega}{c}x} \rightarrow E_y(x,t) = E_0 \cdot e^{j\omega\left(t + \frac{x}{c}\right)}$$
 Welle in neg. x - Richtung

# <u>Definition der Wellenlänge und Frequenz</u>

$$Re[E_y(x,t)] = Re[E_0 \cdot e^{j\omega(t - \frac{x}{c})}] = E_0 \cos(\omega(t - \frac{x}{c}))$$

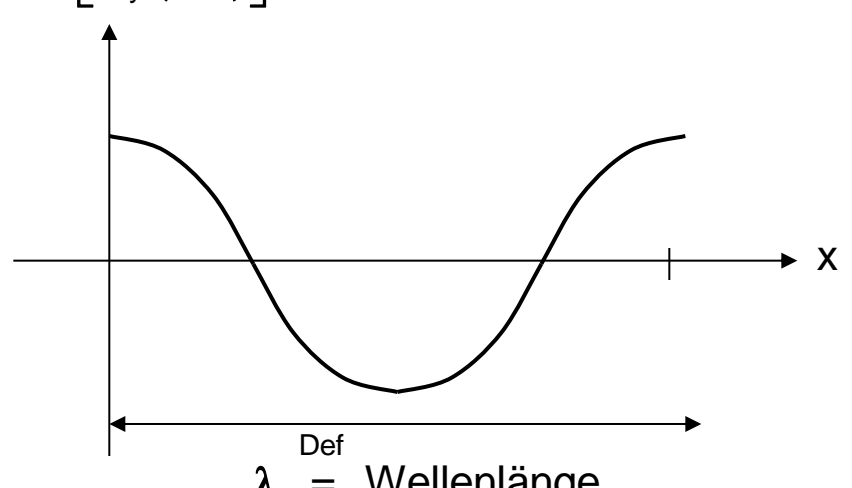
 $Re[E_v(x,0)]$ 

<u>räuml.</u> Abhängigkeit bei t = 0:

$$Re[E_y(x,0)] = E_0 cos(-\frac{\omega}{c} \cdot x)$$

$$\frac{\omega}{c} \cdot \lambda = 2\pi \quad \Rightarrow \boxed{\lambda = \frac{2 \pi c}{\omega}}$$

$$\omega = 2 \pi f \rightarrow \lambda = \frac{c}{f}$$
 Frequenz



 $\lambda$  = Wellenlänge

Abstand zwischen zwei Maxima der Welle, auch Periodenlänge genannt

$$\rightarrow \mathbb{R}e[E_y(x,t)] = E_0 \cos(2\pi(f \cdot t - x/\lambda))$$

Frequenz-Wellenlängen-Darstellung

$$\rightarrow$$
  $E_y(x,t) = E_0 e^{j2\pi(f\cdot t-x/\lambda)}$  Komplexe Darstellung

### <u>Darstellungen der harmonischen Welle durch Wellenzahl k</u>

Wir hatten

$$Re\left[E_{y}(x,t)\right] = Re\left[E_{0} \cdot e^{j\omega\left(t - \frac{x}{c}\right)}\right] = E_{0} \cos\left(\omega\left(t - \frac{x}{c}\right)\right)$$

$$\rightarrow \left[ \text{Re}\left[ \text{E}_{y}(x,t) \right] = \text{E}_{0} \cos(\omega t - kx) \right]$$
 Kreisfrequenz-Wellenzahl-Darstellung

$$\rightarrow$$
  $E_y(x,t) = E_0 e^{j(\omega t - kx)}$  Komplexe Darstellung

In Wellenzahl k ist nun die Wellengeschwindigkeit c enthalten:  $c = \frac{\omega}{k}$ 

# 9.2.3.2 Linear polarisierte Wellen

Lineare Polarisation in y-Richtung:  $\vec{E} = E_y \vec{e}_y$ 

Kreisfrequenz-Wellenzahl-Darstellung

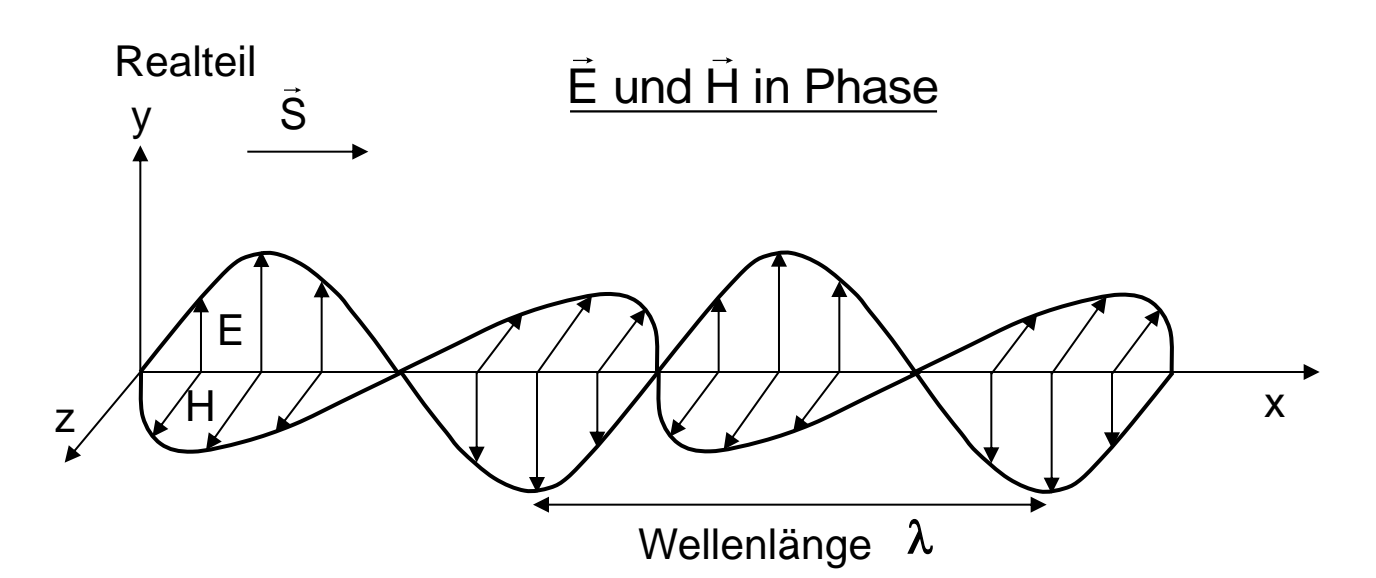
$$\begin{cases} E_y = E_0 \cdot e^{j(\omega t - k \cdot x)} \\ H_z = H_0 \cdot e^{j(\omega t - k \cdot x)} \end{cases} \text{ mit } H_0 = \sqrt{\frac{\varepsilon}{\mu}} \cdot E_0$$

Poynting Vektor: 
$$\vec{S} = \frac{1}{2}(\vec{E} \times \vec{H}^*) = \frac{1}{2}\sqrt{\frac{\epsilon}{\mu}} E_0^2 \vec{e}_x$$

Reelle

Darstellung:

$$E_y(x,t) = E_0 \cos(\omega t - kx)$$
 und  $H_z(x,t) = \sqrt{\frac{\varepsilon}{\mu}} \cdot E_0 \cos(\omega t - kx)$ 



# Lineare Polarisation in y-Richtung: $\vec{E} = E_y \vec{e}_y$ Rücklaufende Welle

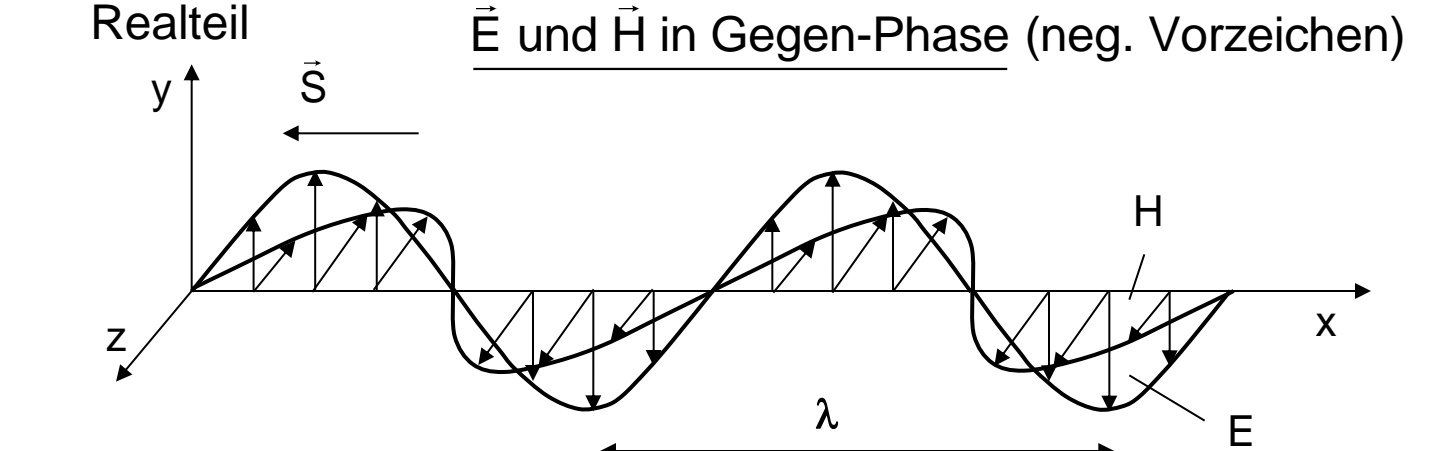
Kreisfrequenz-Wellenzahl-Darstellung

$$\begin{cases} E_y = E_0 \cdot e^{j(\omega t + k \cdot x)} \\ H_z = H_0 \cdot e^{j(\omega t + k \cdot x)} \end{cases} \text{ mit } H_0 = -\sqrt{\frac{\varepsilon}{\mu}} \cdot E_0$$

Poynting Vektor: 
$$\vec{S} = \frac{1}{2}(\vec{E} \times \vec{H}^*) = -\frac{1}{2} \sqrt{\frac{\epsilon}{\mu}} E_0^2 \vec{e}_x$$

Reelle Darstellung:

$$E_y(x,t) = E_0 \cos(\omega t + kx)$$
 und  $H_z(x,t) = -\sqrt{\frac{\epsilon}{\mu}} \cdot E_0 \cos(\omega t + kx)$ 



# 9.2.3.3 Zirkular polarisierte Wellen

E<sub>z</sub> und E<sub>y</sub> sind unabhängig voneinander: jede beliebige Überlagerung ist erlaubt, z.B. 90° Phase

$$E_{z} = E_{0} \cdot e^{j(\omega t - k \cdot x)}$$

$$E_{y} = -j \cdot E_{0} \cdot e^{j(\omega t - k \cdot x)} = E_{0} \cdot e^{j(-\frac{\pi}{2})} \cdot e^{j(\omega t - k \cdot x)}$$

Phasenunterschied 90°

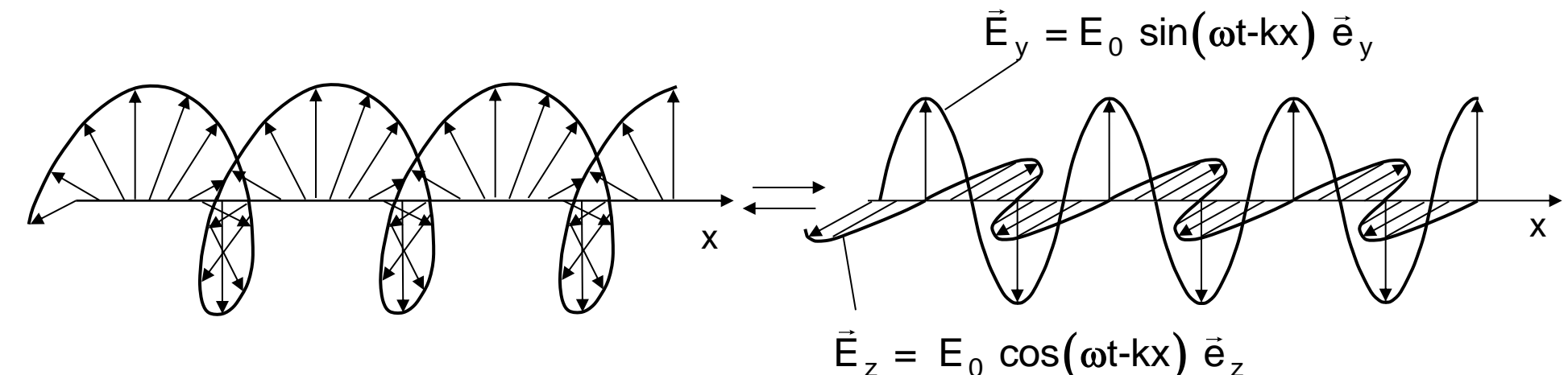
Zirkulare Polarisation:

$$|E_z| = |E_y| = E_0$$

Phasenunterschied  $\pi$ 

$$Re\{E_z(x,t)\} = E_0 \cos(\omega t - kx)$$

$$Re\{E_y(x,t)\} = E_0 \cos(-\pi/2 - \omega t + kx) = E_0 \sin(\omega t - kx)$$



# 9.3 Allgemeine Wellengleichung für leitfähige Medien

$$D = \varepsilon_0 \vec{E}; \ \vec{B} = \mu_0 \vec{H}; \quad \vec{J} = \kappa \vec{E}$$

"Maxwell":

div 
$$\vec{E} = 0$$
 div  $\vec{H} = 0$   
rot  $\vec{E} = -\frac{\partial \vec{B}}{\partial t}$  rot  $\vec{H} = \vec{J} + \frac{\partial \vec{D}}{\partial t}$ 

$$\rightarrow \operatorname{rot}\left(\operatorname{rot}\vec{H}\right) = \operatorname{rot}\vec{J} + \frac{\partial}{\partial t}\operatorname{rot}\vec{D}$$

$$-\Delta \vec{H}$$
 + grad div  $\vec{H}$  =  $\kappa$  rot  $\vec{E}$  -  $\frac{\partial}{\partial t} \left( \epsilon \frac{\partial \vec{B}}{\partial t} \right)$ 

$$-\Delta \vec{H} = -\kappa \ \mu_0 \ \frac{\partial \vec{H}}{\partial t} - \epsilon_0 \ \mu_0 \ \frac{\partial^2 \vec{H}}{\partial t^2}$$

$$\Delta \vec{H} = \kappa \ \mu_0 \ \frac{\partial \vec{H}}{\partial t} + \epsilon_0 \ \mu_0 \ \frac{\partial^2 \vec{H}}{\partial t^2}$$
 "Telegraphen-Gleichung"

### Annahmen für Leiter:

Raumladungsfrei  $\rho = 0$  $\kappa$  ist konstant und  $\epsilon_r = \mu_r = 1$ 

J durch Wellenfeld E angetrieben; keine externen eingeprägten (Antennen-) Ströme

$$\operatorname{rot} \vec{\mathsf{E}} = -\frac{\partial \vec{\mathsf{B}}}{\partial \mathsf{t}}$$
$$\operatorname{rot}(\operatorname{rot} \vec{\mathsf{E}}) = \operatorname{rot}\left(-\mu_0 \frac{\partial \vec{\mathsf{H}}}{\partial \mathsf{t}}\right)$$

$$-\Delta \vec{E} + \underbrace{\text{grad div } \vec{E}}_{=0 \text{ für } \rho=0} = -\mu_0 \frac{\partial}{\partial t} \text{ rot } \vec{H}$$
 raumladungsfrei  $\rho = 0$  
$$-\Delta \vec{E} = -\mu_0 \frac{\partial}{\partial t} \vec{J} - \mu_0 \frac{\partial^2}{\partial t^2} \vec{D}$$
 rot  $\vec{H} = \vec{J} + \frac{\partial \vec{D}}{\partial t}$  und  $\vec{J} = \kappa \vec{E}$ 

$$rot \vec{H} = \vec{J} + \frac{\partial \vec{D}}{\partial t} \quad und \quad \vec{J} = \kappa \vec{E}$$

$$\Delta \vec{E} = \kappa \mu_0 \frac{\partial \vec{E}}{\partial t} + \epsilon_0 \mu_0 \frac{\partial^2 \vec{E}}{\partial t^2}$$
 "Telegraphen-Gleichung"

und von vorhin

$$\Delta \vec{H} = \kappa \mu_0 \frac{\partial \vec{H}}{\partial t} + \epsilon_0 \mu_0 \frac{\partial^2 \vec{H}}{\partial t^2}$$

### 9.3.1 Harmonische ebene Wellen im verlustfreien Fall

ebene Wellen in +x - Richtung laufend

#### Verlustfreier Fall, keine Leitfähigkeit $\kappa = 0$

$$\frac{\partial^2 E_y}{\partial x^2} = \epsilon_0 \mu_0 \frac{\partial^2 E_y}{\partial t^2}$$

$$\frac{\partial^2 E_y}{\partial x^2} = \varepsilon_0 \mu_0 \frac{\partial^2 E_y}{\partial t^2} \qquad \text{mit Ansatz: } E_y \sim e^{j\omega t} \rightarrow \frac{\partial^2 E_y}{\partial x^2} = -\omega^2 \varepsilon_0 \mu_0 E_y$$

$$\frac{\partial^{2} E_{y}}{\partial x^{2}} + \omega^{2} \varepsilon_{0} \mu_{0} E_{y} = 0$$

Lösung: 
$$E_y = E_0 e^{j(\omega t - kx)}$$

Wellenzahl

$$c = \frac{\omega}{k} = \frac{1}{\sqrt{\epsilon_0 \mu_0}} = c_0$$

 $c = \frac{\omega}{k} = \frac{1}{\sqrt{\epsilon_0 \mu_0}} = c_0$  Wellengeschwindigkeit  $c = c_0$ , unabhängig von Frequenz unabhängig von Freguenz

#### 9.3.2 Harmonische ebene Wellen im verlustbehafteten Fall

#### Verlustbehafteter Fall $\kappa \neq 0$

$$\frac{\partial^{2} E_{y}}{\partial x^{2}} = \kappa \mu_{0} \frac{\partial E_{y}}{\partial t} + \mu_{0} \varepsilon_{0} \frac{\partial^{2} E_{y}}{\partial t^{2}}$$

$$\frac{\partial^{2} E_{y}}{\partial x^{2}} = \kappa \mu_{0} \frac{\partial E_{y}}{\partial t} + \mu_{0} \varepsilon_{0} \frac{\partial^{2} E_{y}}{\partial t^{2}} \qquad \text{Ansatz: } E_{y} \sim e^{j\omega t} \rightarrow \frac{\partial^{2} E_{y}}{\partial x^{2}} = j\omega \kappa \mu_{0} E_{y} - \omega^{2} \varepsilon_{0} \mu_{0} E_{y}$$

$$\frac{\partial^{2} E_{y}}{\partial x^{2}} + \omega^{2} \varepsilon_{0} \mu_{0} \left(1 - j \frac{\kappa}{\varepsilon_{0} \omega}\right) E_{y} = 0$$
 Lösung:  $E_{y} = E_{0} e^{j(\omega t - kx)}$ 

# Wellenzahl k komplex

$$k = \sqrt{\omega^2 \varepsilon_0 \mu_0 \left(1 - j \frac{\kappa}{\varepsilon_0 \omega}\right)} \longrightarrow k = k_R - j k_I \longrightarrow k_R = k_R(\omega, \kappa) > 0$$

$$\rightarrow k_R = k_R(\omega, \kappa) > 0$$

$$\rightarrow k_I = k_I(\omega, \kappa) > 0$$

$$\rightarrow$$
  $k = k_R - jk$ 

$$\rightarrow k_{R} = k_{R}(\omega, \kappa) > 0$$

$$\rightarrow$$
  $K_1 = K_1 (\omega, \kappa) > 0$ 

$$\rightarrow \boxed{\mathsf{E}_{\mathsf{y}} = \mathsf{E}_{\mathsf{0}} \cdot \mathsf{e}^{\mathsf{j}(\omega \mathsf{t} - \mathsf{k}_{\mathsf{R}} \mathsf{x})} \cdot \mathsf{e}^{-\mathsf{k}_{\mathsf{I}} \mathsf{x}}}$$

exponentiell abklingende Welle in x - Richtung

$$\rightarrow \boxed{c = \frac{\omega}{k_R} = c (\omega, \kappa)}$$

Wellengeschwindigkeit ist abhängig von der Frequenz und von der Leitfähigkeit

# Komplexe Wellenzahl k

Wir hatten 
$$k^2 = \omega^2 \varepsilon_0 \mu_0 \left( 1 - j \frac{\kappa}{\varepsilon_0 \omega} \right)$$

Aufspaltung in Real- und Imaginärteil:

$$k = k_R - jk_I$$

$$\rightarrow k^2 = k_R^2 - k_I^2 - 2jk_Rk_I$$

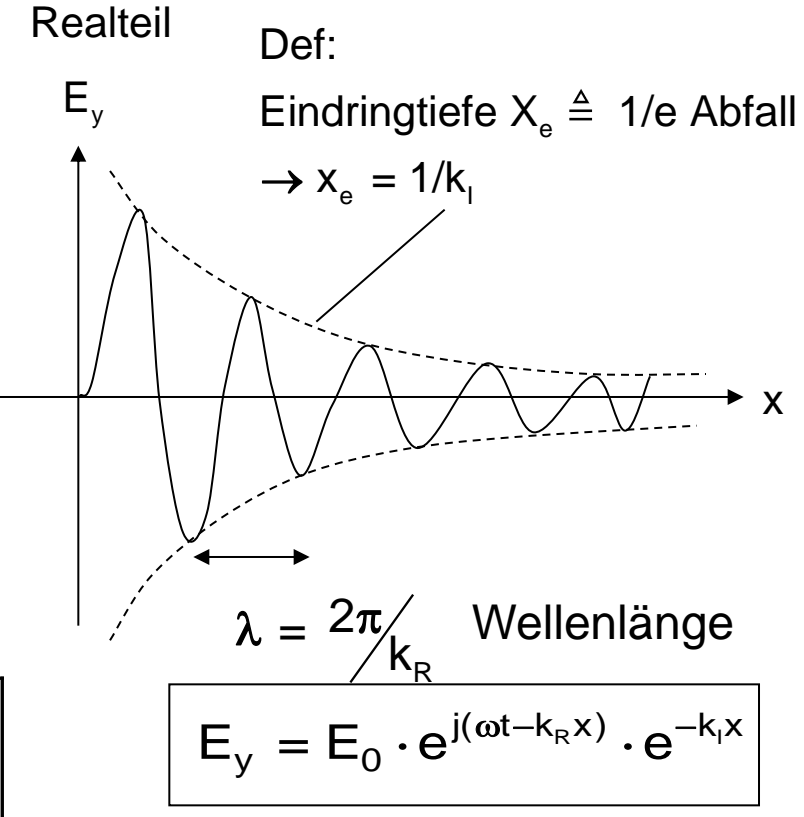
Koeffizientenvergleich:

Realteil 
$$k_R^2 - k_I^2 = \omega^2 \epsilon_0 \mu_0$$
 2 Gleichungen   
Imaginärteil  $2k_R k_I = +\omega \kappa \mu_0$  2 Unbekannte

Auflösung liefert

$$k_{R} = \omega \sqrt{\frac{\epsilon_{0}\mu_{0}}{2}} \sqrt{1 + \sqrt{1 + \left(\frac{\kappa}{\omega\epsilon_{0}}\right)^{2}}}$$

$$k_{I} = \omega \sqrt{\frac{\epsilon_{0}\mu_{0}}{2}} \sqrt{-1 + \sqrt{1 + \left(\frac{\kappa}{\omega\epsilon_{0}}\right)^{2}}}$$



# Grenzfälle

a) sehr geringe Leitfähigkeit

$$\frac{\kappa}{\omega \epsilon_0} \ll 1$$

$$\rightarrow k_{R} = \omega \sqrt{\frac{\varepsilon_{0}\mu_{0}}{2}} \sqrt{1 + \sqrt{1 + \left(\frac{\kappa}{\omega\varepsilon_{0}}\right)^{2}}} \approx \omega \sqrt{\frac{\varepsilon_{0}\mu_{0}}{2}} \sqrt{2}$$

$$\rightarrow \boxed{k_{\text{R}} = \omega \sqrt{\epsilon_0 \mu_0}}$$

wie im verlustfreien Fall:  $\lambda = 2\pi / k_B$  Wellenlänge

$$\rightarrow k_1 = \omega \sqrt{\frac{\epsilon_0 \mu_0}{2}} \sqrt{-1 + \sqrt{1 + \left(\frac{\kappa}{\omega \epsilon_0}\right)^2}} \approx \omega \sqrt{\frac{\epsilon_0 \mu_0}{2}} \sqrt{\frac{1}{2} \left(\frac{\kappa}{\omega \epsilon_0}\right)^2} \qquad \text{mit } \sqrt{1 + \left(\frac{\kappa}{\omega \epsilon_0}\right)^2} \approx 1 + \frac{1}{2} \left(\frac{\kappa}{\omega \epsilon_0}\right)^2$$

mit 
$$\sqrt{1 + \left(\frac{\kappa}{\omega \varepsilon_0}\right)^2} \approx 1 + \frac{1}{2} \left(\frac{\kappa}{\omega \varepsilon_0}\right)^2$$

$$\rightarrow \boxed{k_1 = \frac{\kappa}{2} \sqrt{\frac{\mu_0}{\epsilon_0}}}$$

exponentieller Abfall der Welle in Ausbreitungsrichtung mit Eindringtiefe  $x_e = \frac{1}{k_e}$ 

b) sehr gute Leitfähigkeit (z.B. metallischer Spiegel)

$$\frac{\kappa}{\omega\epsilon_0}\gg 1$$

$$\rightarrow k_{R} = \omega \sqrt{\frac{\epsilon_{0}\mu_{0}}{2}} \cdot \sqrt{1 + \sqrt{1 + \left(\frac{\kappa}{\omega\epsilon_{0}}\right)^{2}}} \approx \omega \sqrt{\frac{\epsilon_{0}\mu_{0}}{2}} \sqrt{\frac{\kappa}{\omega\epsilon_{0}}}$$

$$\rightarrow \boxed{k_{R} = \sqrt{\frac{\omega \mu_{0} \kappa}{2}}}$$

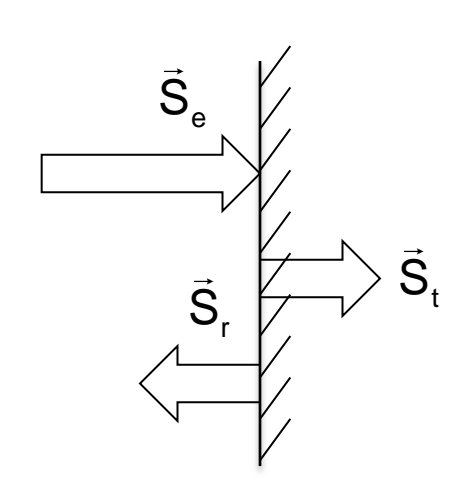
$$\rightarrow k_{l} = \omega \sqrt{\frac{\epsilon_{0}\mu_{0}}{2}} \cdot \sqrt{-1 + \sqrt{1 + \left(\frac{\kappa}{\omega\epsilon_{0}}\right)^{2}}} \approx \omega \sqrt{\frac{\epsilon_{0}\mu_{0}}{2}} \sqrt{\frac{\kappa}{\omega\epsilon_{0}}} \qquad \rightarrow \text{ Eindringtiefe: } x_{e} = \frac{1}{k_{l}}$$

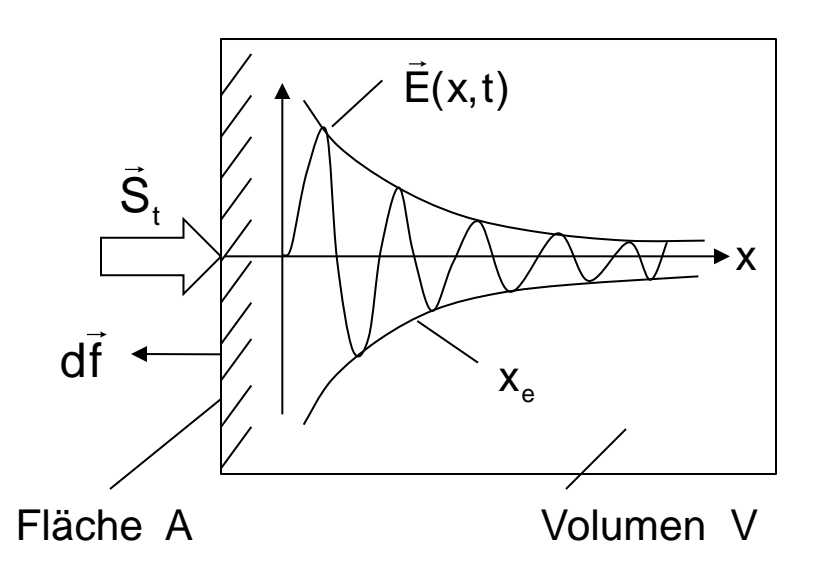
$$\rightarrow \boxed{k_1 = \sqrt{\frac{\omega \mu_0 \kappa}{2}}}$$

Wellenlänge: 
$$\lambda = \frac{2\pi}{k_{p}}$$

Eindringtiefe: 
$$x_e = \frac{1}{k_i}$$

Eindringtiefe (1/e - Abfall) und Wellenlänge haben gleiche Größe Eindringtiefe sinkt mit wachsender Frequenz und Leitfähigkeit





$$\vec{J} = \kappa \vec{E}$$

Ohmsche Verluste:

E • J innerhalb

Eindringtiefe X<sub>e</sub>

$$\left| \vec{S}_{e} \right| = \left| \vec{S}_{r} \right| + \left| \vec{S}_{t} \right|$$

$$\int_{A} \vec{S}_{t} \cdot d\vec{f} = - \int_{V} \vec{E} \cdot \vec{J} dV$$

Bilanz-GI.
Poynting Vektor für Volumen V

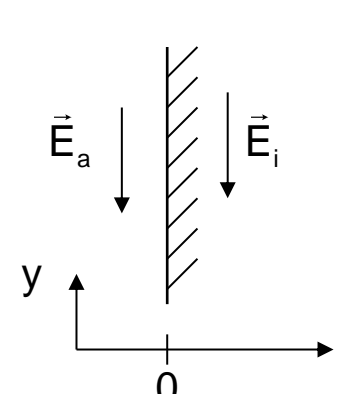
Energie - Erhaltung

$$\rightarrow \left| \vec{S}_r \right| \cdot A = \left| \vec{S}_e \right| \cdot A - \left| \vec{S}_t \right| \cdot A = \left| \vec{S}_e \right| \cdot A - \int_V \vec{E} \cdot \vec{J} \, dv$$

Grenzfall idealer Spiegel:  $\kappa \rightarrow \infty$ 

$$\Rightarrow$$
  $X_e \rightarrow 0 \Rightarrow \int_{V_0} \vec{E} \cdot \vec{J} dv \rightarrow 0 \rightarrow |\vec{S}_r| = |\vec{S}_e|$  alle Strahlung wird reflektiert

# Reflexionen an der Oberfläche guter Leiter



$$\kappa \to \infty$$

Berechnung mit Hilfe der Stetigkeit der Tangentialkomponenten

 $\vec{E}_a = \vec{E}_i \stackrel{!}{=} 0 \rightarrow \text{das Feld vor dem Reflektor } \vec{E}_a \text{ muß also Null sein}$ 

Das Feld vor dem Reflektor setzt sich aus dem Feld  $\vec{E}_e$  der einfallenden Welle und dem Feld  $\vec{E}_r$  der reflektierten Welle zusammen

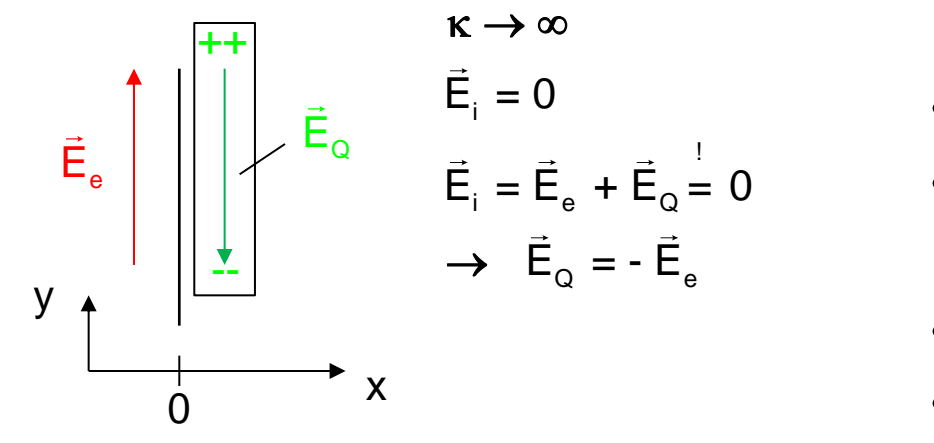
$$\vec{E}_{a} = \vec{E}_{e} + \vec{E}_{r} \stackrel{!}{=} 0 \longrightarrow \vec{E}_{r} = - \vec{E}_{e}$$

$$\vec{E}_{e} = E_{0} \cos(\omega t - kx) \vec{e}_{y}$$

$$\vec{E}_{r} = -E_{0} \cos(\omega t + kx) \vec{e}_{y}$$

Die reflektierte Welle ist gleich stark wie die einfallende, deren Feld hat umgekehrtes Vorzeichen wie die einfallende.

# Physikalische Ursache der Reflexion



$$\kappa \rightarrow \infty$$

$$\vec{\mathsf{E}}_{\scriptscriptstyle i} = 0$$

$$\vec{E}_{i} = \vec{E}_{e} + \vec{E}_{Q} = 0$$

$$\rightarrow \vec{E}_{Q} = -\vec{E}_{e}$$

- E
   erzeugt Ladungstrennung ρ
- ρ erzeugt entgegengerichtetes Quellenfeld E<sub>0</sub>
- Gesamtfeld daher in Leiter Null
- bewegte ρ wirken wie Antenne, die nach links und rechts strahlt

### Eingestrahlte Welle:

$$\vec{E}_{e}(x,t) = E_{e} \cos(\omega t - kx) \vec{e}_{v}$$

Durch Antenne der bewegten Elektronen im Leiter erzeugte Wellen:

$$\vec{E}_t(x,t) = E_Q \cos(\omega t - kx) \vec{e}_y$$

$$\vec{E}_r(x,t) = E_Q \cos(\omega t + kx) \vec{e}_y$$

Resultierende Wellen mit  $\vec{E}_0 = -\vec{E}_e$ :

 $\vec{E}_{t \text{ ges}}(x,t) = (E_e + E_Q) \cos(\omega t - kx) \vec{e}_v = 0$  Keine Transmission durch destruktive Interferenz

$$\vec{E}_{rges}(x,t) = E_Q \cos(\omega t + kx) \vec{e}_y = -E_e \cos(\omega t + kx) \vec{e}_y$$
 Vollständige Rückstrahlung durch bewegte Ladungen

## **Eindringtiefe**

Metall (Spiegel): 
$$\kappa = 6 \cdot 10^7 \frac{A}{Vm}$$
 Kupfer

Gigahertzwellen:

$$f = 1 \text{ GHz}$$
  $\rightarrow \frac{\kappa}{\omega \epsilon_0} = 10^9 \gg 1$   $\rightarrow k_1 = k_R = \sqrt{\frac{\omega \mu_0 \kappa}{2}}$ 

$$x_e = \frac{1}{k_1} = 2 \cdot 10^{-6} \text{ m}$$

$$x_e = \frac{1}{k_1} = 2 \cdot 10^{-6} \text{ m}$$
  $\lambda = \frac{2\pi}{k_R} = 1.3 \cdot 10^{-5} \text{ m}$   $c = \frac{\omega}{k_R} = 13 \text{ km/s}$ 

$$c = \frac{\omega}{k_R} = 13 \text{ km/s}$$

Sichtbares Licht:

$$f = 6 \cdot 10^{14} \text{ Hz}$$
  $\rightarrow \frac{\kappa}{\omega \epsilon_0} = 1.7 \cdot 10^3 \gg 1$   $\rightarrow k_1 = k_R = \sqrt{\frac{\omega \mu_0 \kappa}{2}}$ 

$$x_e = \frac{1}{k_1} = 2.7 \cdot 10^{-9} \text{ m}$$

$$\lambda = \frac{2\pi}{k_R} = 1.7 \cdot 10^{-8} \text{ m}$$

$$x_e = \frac{1}{k_1} = 2.7 \cdot 10^{-9} \text{ m}$$
  $\lambda = \frac{2\pi}{k_R} = 1.7 \cdot 10^{-8} \text{ m}$   $c = \frac{\omega}{k_R} = 10\ 000 \text{ km/s}$ 

Salzwasser: 
$$\kappa = 5 \frac{A}{Vm}$$
 Meereswasser

Langwellen:

$$f = 100 \text{ kHz}$$
  $\rightarrow \frac{\kappa}{\omega \epsilon_0} = 900 000 \gg 1$   $\rightarrow k_1 = k_R = \sqrt{\frac{\omega \mu_0 \kappa}{2}}$ 

$$\boxed{x_e = \frac{1}{k_I} = 0.7 \text{ m}} \quad \boxed{\lambda = \frac{2\pi}{k_R} = 4.5 \text{ m}} \quad \boxed{c = \frac{\omega}{k_R} = 450 \text{ km/s}}$$

Gigahertzwellen:

$$f = 1 \text{ GHz}$$
  $\rightarrow \frac{\kappa}{\omega \epsilon_0} = 90 \gg 1$   $\rightarrow k_1 = k_R = \sqrt{\frac{\omega \mu_0 \kappa}{2}}$ 

$$x_e = \frac{1}{k_I} = 0.01 \text{ m}$$
  $\lambda = \frac{2\pi}{k_R} = 0.04 \text{ m}$   $c = \frac{\omega}{k_R} = 45 000 \text{ km/s}$ 

Salzwasser: 
$$\kappa = 5 \frac{A}{Vm}$$
 Meereswasser

Sichtbares Licht:

$$f = 6 \cdot 10^{14} \text{ Hz} \qquad \rightarrow \frac{\kappa}{\omega \epsilon_0} = 1.5 \cdot 10^{-4} \ll 1 \ \rightarrow k_R = \omega \sqrt{\epsilon_0 \mu_0} \quad \text{und} \quad k_1 = \frac{\kappa}{2} \sqrt{\frac{\mu_0}{\epsilon_0}}$$

$$x_e = \frac{1}{k_I} = 0.001 \text{ m}$$

$$\lambda = \frac{2\pi}{k_R} = 500 \text{ nm}$$

$$x_e = \frac{1}{k_I} = 0.001 \text{ m}$$
  $\lambda = \frac{2\pi}{k_R} = 500 \text{ nm}$   $c = \frac{\omega}{k_R} = 300 000 \text{ km/s}$ 

Hier versagt die Rechnung:

- Wellenlänge und Wellengeschwindigkeit sind in Wahrheit geringer als berechnet
  - Ursache:
    - In den Gleichungen wurde nur die Leitfähigkeit der Salz-Ionen betrachtet
    - Die Dielektrizitätskonstante des Wassers selbst wurde nicht berücksichtigt
- Eindringtiefe von sichtbarem Licht ist in Wahrheit viel tiefer als .1 mm
  - Ursache:
    - In den Gleichungen wurde nur mit der Leitfähigkeit gerechnet
    - Es wurde nicht die Massenträgheit der Ionen betrachtet, welche bei hohen Frequenzen wie denen des Lichts einen wesentlichen Beitrag liefert

# 9.4 Wellengleichung mit komplexer Dielektrizitätskonstanten

#### Ergebnis der Telegraphengleichung:

- leitfähige Medien dämpfen Welle
- Dämpfung nimmt mit wachsender Frequenz zu

#### Beobachtung der Ionosphäre (dünnes Plasma)

- lonosphäre ist leitfähig
- keine Dämpfung mit hohen Frequenzen
- keine Durchlässigkeit bei niedrigen Frequenzen

#### Woher kommt der Widerspruch?

- bei Telegraphengleichung wurde der direkte Zusammenhang zwischen Stromdichte und el. Feld  $\vec{J} = \kappa \vec{E}$  angenommen
- dieser Zusammenhang ist <u>nicht allgemeingültig</u>; er gilt nur für dichte Medien mit vielen Stößen mit kleiner Stoßzeit
- es muss die exakte Bewegung der Ladungsträger berücksichtigt werden

Sowohl für Metalle, dielektrische Materialien als auch die Ionosphäre gilt für die durch externe elektrische Felder hervorgerufene Ladungsverschiebungen s(t):

Bewegung von Ladungen

$$\rightarrow$$
 Stromdichte  $\vec{J} = \rho_p \vec{v}(t) = \rho_p \frac{d\vec{s}(t)}{dt}$ 

Die exakte Berechnung der Wellenausbreitung erfordert die Berechnung der Stromdichte durch Berücksichtigung der tatsächlichen Geschwindigkeit der Ladungsträger.

#### 9.4.1 Berücksichtigung der Stromdichte schwingender Ladungen

### **Vorgehensweise**

Bestimmung der Bewegung s(t) der Ladungsträger ρ<sub>p</sub>

$$\vec{s}(t) = f(\vec{E}(t))$$

2. Bestimmung der Stromdichte

$$\vec{J}(t) = \rho_p \vec{v}(t) = \rho_p \frac{\partial \vec{s}(t)}{\partial t}$$

3. Einsetzen von J in Maxwellgleichung:

rot 
$$\vec{B} = \mu_0 \rho_p \frac{\partial \vec{s}(t)}{\partial t} + \mu_0 \epsilon_0 \frac{\partial \vec{E}}{\partial t}$$

4. Berechnung der Wellengleichung mittels Ergebnis von 3.

$$\Delta \vec{E} + \underbrace{\omega^2 \epsilon_0 \mu_0 (\epsilon_r)}_{k^2 \text{ komplex}} \vec{E} = 0$$

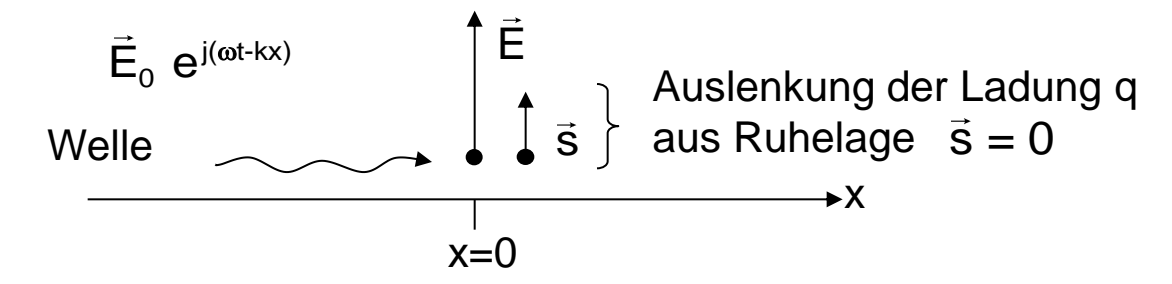
mit  $\widehat{\epsilon_r}$  als komplexer Dielektrizitätskonstante in Abhängigkeit von den Bewegungen der Ladungsträger

#### Bestimmung der Bewegungsgleichung der Ladungsträger

Beschreibung der zeitlichen Abhängigkeit der Stromdichte mittels des klassischen Modells gedämpfter harmonischer Schwingungen der Ladungsträger

Oszillator mit Ladung q unter Einfluss des elektrischen Feldes  $\vec{E}_0$  e<sup>j $\omega$ t</sup> einer Welle:

Bewegungs - Gleichung für einen Ladungsträger im Feld



Gedämpfte Differentialgleichung für Auslenkung sich

$$m \frac{d^2 \vec{s}}{dt^2} + b \frac{d \vec{s}}{dt} + r \vec{s} = q \cdot \vec{E}_0 \cdot e^{j\omega t}$$

Mit Lösungsansatz für erzwungene Schwingungen  $e^{j\omega t}$  durch Wellenfeld  $\vec{E}_0 e^{j\omega t}$ 

folgt nach Einsetzen in DGI

$$m(-\omega^2) \vec{s}_0 e^{j\omega t} + b (j\omega) \vec{s}_0 e^{j\omega t} + r \vec{s}_0 e^{j\omega t} = q \vec{E}_0 e^{j\omega t}$$

Aufgelöst nach so

$$\vec{s}_0 = \frac{q \vec{E}_0}{-m\omega^2 + j\omega b + r} \rightarrow \vec{s}(t) = \frac{q \vec{E}_0}{-m\omega^2 + j\omega b + r} \cdot e^{j\omega t}$$

#### Bestimmung der Wellengleichung im Fall schwingender Ladungen:

Maxwell: rot 
$$\vec{E} = -\frac{\partial \vec{B}}{\partial t}$$
  
rot rot  $\vec{E} = -\Delta \vec{E} + \text{grad-div} \vec{E} = -\frac{\partial}{\partial t} \text{ (rot } \vec{B} \text{)}$   
 $\vec{J} \neq \kappa \vec{E}$  aber  $\vec{J} = \rho_p \vec{v}$   
 $\rightarrow \text{rot } \vec{B} = \mu_0 \cdot \rho_p \vec{v} + \mu_0 \cdot \epsilon_0 \frac{\partial \vec{E}}{\partial t}$   
 $\rightarrow \Delta \vec{E} = \mu_0 \cdot \rho_p \frac{\partial \vec{v}}{\partial t} + \mu_0 \cdot \epsilon_0 \frac{\partial^2 \vec{E}}{\partial t^2}$ 

$$\Delta \vec{\mathsf{E}} = \mu_0 \cdot \rho_p \frac{\partial \vec{\mathsf{v}}}{\partial \mathsf{t}} + \mu_0 \cdot \epsilon_0 \frac{\partial^2 \vec{\mathsf{E}}}{\partial \mathsf{t}^2}$$

 $\vec{E}(t) = \vec{E}_0 \cdot e^{j\omega t}$  Elektrisches Feld der Welle

$$\vec{s}(t) = \frac{q}{-m\omega^2 + i\omega b + r} \vec{E}_0 e^{j\omega t}$$
 durch  $\vec{E}(t)$  angeregte Ladungsträgerbewegung

$$\rightarrow \frac{\partial^2 \vec{E}(t)}{\partial t^2} = -\omega^2 \vec{E}(t)$$

$$\rightarrow$$
  $\vec{v}(t) = \frac{\partial \vec{s}(t)}{\partial t} = (j \omega) \vec{s}(t)$  (hier bedeutet das j die imaginäre mathematische Größe)

$$\rightarrow \frac{\partial \vec{v}(t)}{\partial t} = \frac{\partial^2 \vec{s}(t)}{\partial t^2} = -\omega^2 \vec{s}(t)$$

$$\Delta \vec{E} = \mu_0 \cdot \rho_p \frac{\partial \vec{v}}{\partial t} + \mu_0 \cdot \epsilon_0 \frac{\partial^2 \vec{E}}{\partial t^2}$$

$$\frac{\partial^2 \vec{E}(t)}{\partial t^2} = -\omega^2 \vec{E}(t) \quad \text{und} \quad \frac{\partial \vec{v}(t)}{\partial t} = -\omega^2 \vec{s}(t)$$

$$\rightarrow \Delta \vec{E} = -\omega^2 \mu_0 \rho_p \left( \frac{q}{-m \omega^2 + j \omega b + r} \right) \vec{E} - \omega^2 \epsilon_0 \mu_0 \vec{E}$$

mit  $\rho_p = N \cdot q$  wobei N die Anzahl der Ladungsträger pro Volumen ist

$$\rightarrow \left| \Delta \vec{E} + \omega^2 \, \varepsilon_0 \, \mu_0 \, \left( 1 + \frac{N \, q^2}{\varepsilon_0 \left( -m \, \omega^2 + j \, \omega \, b + r \, \right)} \right) \, \vec{E} = 0 \right|$$

E, komplexe Dielektriziätskonstante beinhaltet die Bewegungen aller Ladungen

## Zusammenfassung

Bestimmung der Bewegung s(t) der Ladungsträger  $\rho_{\text{p}}$ 

$$\vec{s}(t) = \frac{q}{-m\omega^2 + j\omega b + r} \vec{E}_0 e^{j\omega t}$$

und deren Stromdichte  $\vec{J}(t) = \rho_p \vec{v}(t) = \rho_p \frac{\partial S(t)}{\partial t}$ 

Maxwell: rot 
$$\vec{B} = \mu_0 \rho_p \vec{v}(t) + \mu_0 \epsilon_0 \frac{\partial \vec{E}}{\partial t}$$

Wellengl. 
$$\rightarrow \Delta \vec{E} + \underbrace{\omega^2 \epsilon_0 \, \mu_0 \, \epsilon_r}_{k^2} \, \vec{E} = 0$$
 Welle  $\rightarrow \vec{E} (x, t) = \vec{E}_0 \cdot e^{j(\omega t - kx)}$  komplex

$$k^{2} = \omega^{2} \epsilon_{0} \mu_{0} \left( 1 + \frac{N q^{2}}{\epsilon_{0} \left( -m \omega^{2} + j \omega b + r \right)} \right)$$

$$\epsilon_{r} = \epsilon_{r} (m, b, r, \omega, N)$$
komplexe Dielektrizitäts

$$\varepsilon_r = \varepsilon_r (m, b, r, \omega, N)$$

komplexe Dielektrizitätskonstante

#### 9.4.2 Eigenschaften der komplexen Dielektrizitätskonstanten

#### Allgemeine Lösung war

$$\varepsilon_r = 1 + \frac{N q^2}{\varepsilon_0 (-m\omega^2 + j\omega b + r)}$$

<u>Dielektrische Medien</u> z.B. Glas:

$$r \neq 0$$

Elektronen fest im Kristallgitter gebunden; Rückstellkraft vorhanden; geringe Reibungsverluste

<u>Leiter</u> z.B. Kupfer:

$$r = 0$$

$$m_{e}\omega^{2} << \omega b$$

Elektronen im festen lonengitter frei beweglich keine Rückstellkraft; Massenträgkeit der Elektronen vernachlässigbar

<u>Plasma</u> z.B. lonosphäre:

$$r = 0$$
 und b=0

Elektronen im quasineutralen Plasma frei beweglich; schwere Ionen vergleichsweise ortsfest; 10<sup>4</sup> - 10<sup>5</sup> schwerer als Elektronen; keine Rückstellkraft, keine Reibung

#### 9.4.2.1 Dielektrische Medien

In dielektrischen Medien wie Glas (Glasfaser - Lichtleiter) ist bei Frequenzen jenseits der Absorptionsresonanzen die Reibung b vernachlässigbar gering.

$$\epsilon_{r} = 1 + \frac{N q^{2}}{\epsilon_{0} (-m\omega^{2} + j\omega b + r)} \qquad \frac{\omega b \ll \left| r - m\omega^{2} \right|}{\epsilon_{r}} = 1 + \frac{N q^{2}}{\epsilon_{0} (-m\omega^{2} + r)} \qquad \text{reell}$$

Aus der Wellengleichung folgte die Beziehung zur Wellenzahl k

$$k^2 = \omega^2 \varepsilon_0 \mu_0 \varepsilon_r$$

$$k^{2} = \omega^{2} \ \epsilon_{0} \ \mu_{0} \left( 1 + \frac{N \ q^{2}}{\epsilon_{0} (r - m\omega^{2})} \right) \qquad \rightarrow \left[ k = \frac{\omega}{c_{0}} \ \sqrt{1 + \frac{N \ q^{2}}{\epsilon_{0} (r - m\omega^{2})}} \right] \quad \text{reell}$$

Dies entspricht einer ungedämpften Welle  $\vec{E}(x, t) = \vec{E}_0 \cdot e^{j(\omega t - kx)}$ 

mit einer Wellengeschwindigkeit c 
$$\rightarrow$$
  $c = \frac{\omega}{k} = \frac{c_0}{\sqrt{1 + \frac{N q^2}{\epsilon_0 (r - m\omega^2)}}} = c (\omega, N, m, r)$ 

#### 9.4.2.2 Leiter mit hoher Leitfähigkeit

Massenträgheit der Elektronen vernachlässigbar, keine Rückstellkräfte, Reibung durch Stöße dominiert

$$\epsilon_{r} = 1 + \frac{N q^{2}}{\epsilon_{0}(-m\omega^{2} + j\omega b + r)} \qquad \frac{m_{e}\omega^{2} << \omega b}{r = 0} \qquad \epsilon_{r} = 1 - j \frac{N q^{2}}{\epsilon_{0}\omega b} \qquad komplex$$

Aus der Wellengleichung folgte die Beziehung zur Wellenzahl k

$$k^2 = \omega^2 \epsilon_0 \mu_0 \epsilon_r$$

$$k^{2} = \omega^{2} \varepsilon_{0} \mu_{0} \left( 1 - j \frac{N q^{2}}{\varepsilon_{0} \omega b} \right)$$

Aus Telegraphengleichung hatten wir:  $k^2 = \omega^2 \epsilon_0 \mu_0 \left( 1 - j \frac{\kappa}{\epsilon_0 \omega} \right)$ 

Zusammenhang mit Leitfähigkeit κ

Koeffizientenvergleich des Imaginärteiles  $\rightarrow \left| \kappa = \frac{Nq^2}{b} \right|$ 

### Zusammenhang zwischen Reibungsterm b und Ohmschem Gesetz

Reibungsterm 
$$\kappa = \frac{Nq^2}{b}$$

Ohmsche Stoßgesetze 
$$\kappa = \frac{1}{2} \frac{Nq^2}{m_e} \frac{\langle s \rangle}{\langle v_{th} \rangle}$$

$$\rightarrow \frac{Nq^2}{b} = \frac{1}{2} \frac{Nq^2}{m_e} \frac{\langle s \rangle}{\langle v_{th} \rangle}$$

$$\rightarrow b = \frac{2 m_e < v_{th} >}{< s >}$$

Reibungsterm b wächst mit steigender thermischer Geschwindigkeit der Elektronen, d.h. mit wachsender Temperatur

Wir hatten:

$$k^{2} = \omega^{2} \varepsilon_{0} \mu_{0} \left( 1 - j \frac{N q^{2}}{\varepsilon_{0} \omega b} \right)$$

$$\rightarrow \boxed{k = \frac{\omega}{c_0} \sqrt{1 - j \frac{N q^2}{\epsilon_0 \omega b}} = k_R - j k_I}$$

Dies entspricht einer gedämpften Welle  $\left| \vec{E}(x, t) = \vec{E}_0 \cdot e^{j(\omega t - k_R x)} \cdot e^{-k_I x} \right|$ 

$$\vec{E}(x, t) = \vec{E}_0 \cdot e^{j(\omega t - k_R x)} \cdot e^{-k_I x}$$

$$k_{R} = \frac{\omega}{c_{0}} \sqrt{\frac{1}{2}} \cdot \sqrt{1 + \sqrt{1 + \left(\frac{Nq^{2}}{\epsilon_{0}\omega b}\right)^{2}}}$$

$$\left| k_{R} = \frac{\omega}{c_{0}} \sqrt{\frac{1}{2}} \cdot \sqrt{1 + \sqrt{1 + \left(\frac{Nq^{2}}{\epsilon_{0}\omega b}\right)^{2}}} \right| \quad \text{und} \quad \left| k_{I} = \frac{\omega}{c_{0}} \sqrt{\frac{1}{2}} \cdot \sqrt{-1 + \sqrt{1 + \left(\frac{Nq^{2}}{\epsilon_{0}\omega b}\right)^{2}}} \right|$$

und einer Wellengeschwindigkeit c 
$$\rightarrow$$
 c =  $\frac{\omega}{k_R}$  =  $\frac{c_0}{\sqrt{\frac{1}{2}\sqrt{1+\sqrt{1+\left(\frac{Nq^2}{\epsilon_0\omega b}\right)^2}}}}$  = c ( $\omega$ ,  $\kappa$ 

#### 9.4.2.3 Dünne Plasmen

- kaum Stöße b → 0, keine Rückstellkräfte r
- hier Massenträgheit der ausgelenkten Elektronen wesentlich
- schwere Ionen vergleichsweise ortsfest; 10<sup>4</sup> 10<sup>5</sup> schwerer als Elektronen

$$\epsilon_{r} = 1 + \frac{N q^{2}}{\epsilon_{0}(-m\omega^{2} + j\omega b + r)} \quad \frac{m_{e}\omega^{2} \gg \omega b}{r = 0} \qquad \epsilon_{r} = 1 - \frac{N q^{2}}{\epsilon_{0}m_{e}\omega^{2}} \quad \text{reell}$$

Mit der Definition der Plasma(kreis)frequenz ω<sub>c</sub> bekommen wir

$$\boxed{\epsilon_{r} = 1 - \frac{\omega_{c}^{2}}{\omega^{2}}} \qquad \text{mit} \qquad \boxed{\omega_{c}^{2} \left(N\right) = \frac{N \ q^{2}}{\epsilon_{0} m_{e}}} \qquad \begin{array}{c} \omega_{c} = \omega_{c}(N) \\ \text{wächst mit Ladungsträger-} \\ \text{dichte N} \end{array}$$

Damit wird die Wellenzahl k zu

$$\left| \mathbf{k}^2 = \mathbf{\omega}^2 \mathbf{\varepsilon}_0 \mathbf{\mu}_0 \mathbf{\varepsilon}_r = \mathbf{\varepsilon}_0 \mathbf{\mu}_0 \left( \mathbf{\omega}^2 - \mathbf{\omega}_c^2 \left( \mathbf{N} \right) \right) \right|$$
 k ist entweder rein reell oder rein imaginär

# Frequenz der Welle kleiner als Plasmafrequenz: $\omega < \omega_c$

$$\mathbf{k}^2 = \mathbf{\omega}^2 \mathbf{\varepsilon}_0 \mathbf{\mu}_0 \mathbf{\varepsilon}_r$$

$$\varepsilon_{r} = 1 - \frac{\omega_{c}^{2}}{\omega^{2}} < 0$$

$$\left| \varepsilon_{r} = 1 - \frac{\omega_{c}^{2}}{\omega^{2}} < 0 \right| \rightarrow \left| k = \pm \sqrt{\varepsilon_{0} \mu_{0} \left( \omega^{2} - \omega_{c}^{2} \right)} = \pm j \tilde{k} \right|$$

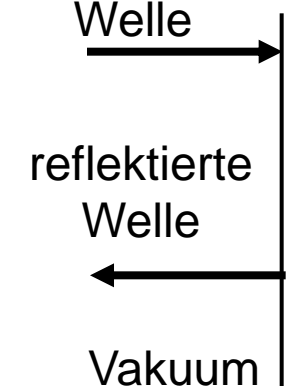
rein imaginär mit  $\tilde{k} = \sqrt{\epsilon_0 \mu_0 (\omega_c^2 - \omega^2)}$ 

$$E_{y}(x, t) = E_{0} \cdot e^{j\omega t} \cdot e^{-\tilde{k}x}$$

$$= \frac{\text{keine Welle}}{\text{gedämpftes Feld}}$$

$$H_z(x, t) = \sqrt{\epsilon_r} \sqrt{\frac{\epsilon_0}{\mu_0}} \; E_y(x, t) = j \sqrt{\frac{\omega_c^2}{\omega^2} - 1} \; \sqrt{\frac{\epsilon_0}{\mu_0}} \; E_y(x, t) \quad \begin{array}{c} 90^0 \; \text{Phasendifferenz} \\ \text{zwischen E und H} \end{array}$$

einfallende



Welle wird völlig reflektiert Plasma undurchlässig

Plasma

Grenzfläche

$$\vec{S} = \frac{1}{2} \vec{E} \times \vec{H}^* = -j \frac{1}{2} \sqrt{\frac{\omega_c^2}{\omega^2} - 1} \sqrt{\frac{\epsilon_0}{\mu_0}} E_0^2 e^{-2\tilde{\kappa}x} \vec{e}_x$$
imaginär

$$\langle \vec{S}_R \rangle = Re[\vec{S}] = 0$$

kein Energiefluss; einfallende Wellen werden vollständig reflektiert

# Frequenz der Welle gleich der Plasmafrequenz: $\omega = \omega_c$

$$\mathbf{k}^2 = \mathbf{\omega}^2 \mathbf{\varepsilon}_0 \mathbf{\mu}_0 \mathbf{\varepsilon}_r$$

$$\boxed{\varepsilon_{r} = 1 - \frac{\omega_{c}^{2}}{\omega^{2}} = 0}$$

$$\rightarrow \boxed{k = \pm \sqrt{\epsilon_0 \mu_0 \left(\omega^2 - \omega_c^2\right) = 0}}$$

Wellenzahl ist Null

$$E_{v}(x,t) = E_{0} e^{j\omega t}$$

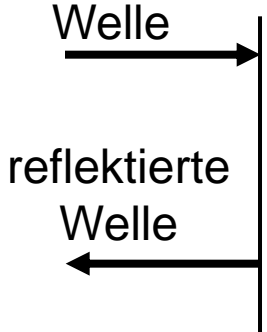
$$H_z(x,t) = \sqrt{\epsilon_r} \sqrt{\frac{\epsilon_0}{\mu_0}} E_y(t) = 0$$
 kein Magnetfeld

hier ist die Auslenkung  $\vec{s}(t)$  so groß,

dass 
$$\vec{J} = \rho_p \frac{d\vec{s}(t)}{dt} = -\epsilon_0 \frac{\partial \vec{E}}{\partial t}$$

$$\rightarrow \vec{B} = 0 \rightarrow \vec{H} = 0$$

einfallende



Vakuum

Welle wird völlig reflektiert Plasma undurchlässig

Plasma

Grenzfläche

$$\vec{S} = \frac{1}{2}\vec{E} \times \vec{H}^* = 0$$

$$< \vec{S}_R > = \text{Re}[\vec{S}] = 0$$

kein Energiefluss; Plasma undurchlässig; einfallende Wellen werden vollständig reflektiert

# Frequenz der Welle größer als Plasmafrequenz: $\omega > \omega_c$

$$\mathbf{k}^2 = \mathbf{\omega}^2 \mathbf{\varepsilon}_0 \mathbf{\mu}_0 \mathbf{\varepsilon}_r$$

$$\boxed{\mathbf{k}^2 = \mathbf{\omega}^2 \mathbf{\varepsilon}_0 \mathbf{\mu}_0 \mathbf{\varepsilon}_r} \qquad \boxed{\mathbf{\varepsilon}_r = 1 - \frac{\mathbf{\omega}_c^2}{\mathbf{\omega}^2} > 0}$$

$$\rightarrow \boxed{k = \pm \sqrt{\epsilon_0 \mu_0 \left(\omega^2 - \omega_c^2\right)}}$$

reell

 $E_y(x, t) = E_0 e^{j(\omega t - kx)}$  Welle entlang x-Achse ungedämpft

$$H_z(x, t) = \sqrt{\epsilon_r} \sqrt{\frac{\epsilon_0}{\mu_0}} E_y(x, t)$$

Grenzfläche

Energiefluss entlang x-Achse

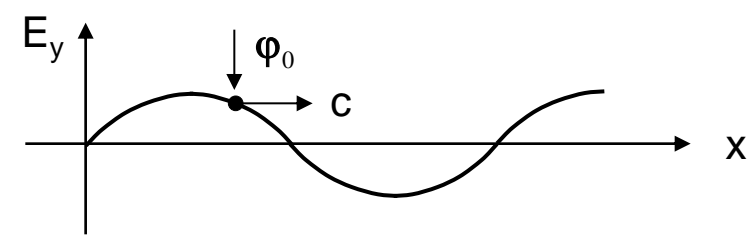
# 9.5 Signalausbreitung

#### 9.5.1 Phasengeschwindigkeit, Gruppengeschwindigkeit

# Phasengeschwindigkeit = Wellengeschwindigkeit = c

Welle (eben) mit Kreis - Frequenz  $\omega_{_{\Omega}}$  in x - Richtung sich ausbreitend

$$\mathsf{E}_{y}(\mathsf{x},\mathsf{t}) = \mathsf{E}_{0} \cdot \exp \left[ \underbrace{\mathsf{j}(\boldsymbol{\omega}_{0}\mathsf{t} - \mathsf{k}_{0}\mathsf{x})}_{\varphi(\mathsf{x},\mathsf{t}) \text{ Phase}} \right]$$



Phasengeschwindigkeit = Geschwindigkeit konstanter Phase

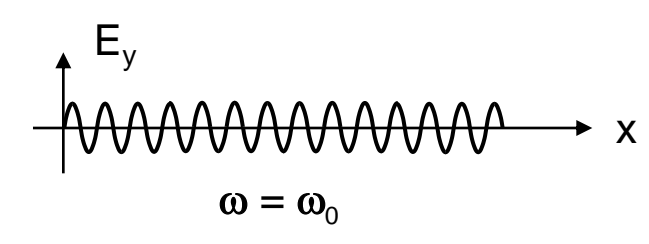
$$|\varphi(x,t)=\varphi_0|=const.$$

$$\rightarrow \phi(x,t) = \omega_0 t - k_0 x = \phi_0 = \text{const.}$$

$$\rightarrow$$
 gesucht (x,t) - Paare für  $\phi_0$  = const.  $\rightarrow$   $\bigcirc$ 

$$\rightarrow \frac{d\phi(x,t)}{dt} = \omega_0 - k_0 \frac{dx}{dt} = \frac{d\phi_0}{dt} \stackrel{!}{=} 0$$

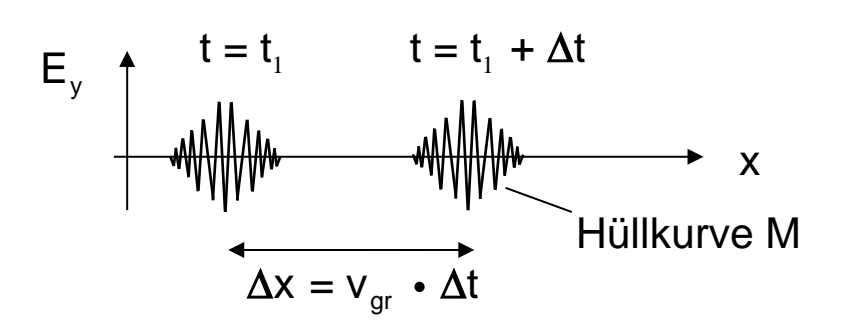
$$\rightarrow c = \frac{dx}{dt} = \frac{\omega_0}{k_0}$$



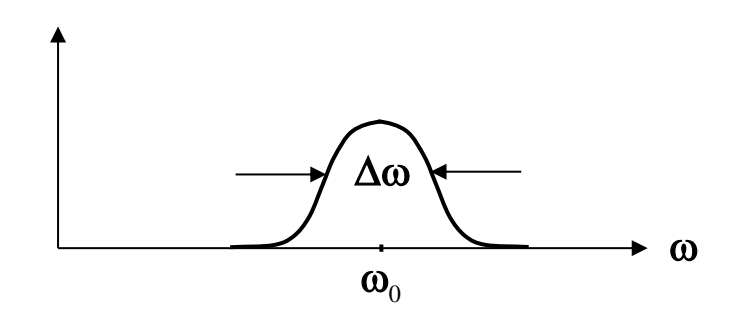
 $f(\omega)$  Spektralfunktion  $\omega$ 

- Wellengeschwindigkeit

<u>Gruppengeschwindigkeit</u> v<sub>gr</sub> = (Information tragende) Hüllkurvengeschwindigkeit



## f(ω) Spektralfunktion



Modulierte Welle mit einhüllender Modulationsfunktion M(x,t) mit Kreisfrequenz  $\omega_0$ 

$$\mathsf{E}_y(x,t) = \mathsf{M}(x,t) \cdot \mathsf{E}_0 \; \exp \bigl[ \mathsf{j}(\omega_0 t - \mathsf{k}_0 x) \bigr]$$
 Grundwelle, schnelle Schwingung Modulationshüllkurve, langsame Funktion in x,t

Frage: mit welcher Geschwindigkeit  $v_{gr}$  bewegt sich die Information bzw. die Energie tragende Hüllkurve entlang der x - Achse?

#### Antwort am Beispiel einer Schwebung zweier harmonischer Wellen

Maximum der Hüllkurve, wenn Argument in Cosinus Null ist → Gleichung der Wanderung des Maximums entlang x

$$\Delta \omega t - \Delta kx \stackrel{!}{=} 0 \quad \left| \frac{d}{dt} \right|$$

$$\rightarrow \quad V_{gr} = \frac{dx}{dt} = \frac{\Delta \omega}{\Delta k} \qquad \rightarrow \boxed{V_{gr} = \frac{d\omega}{dk}} \quad \text{für Einzelpuls anstelle von Schwebung}$$

### Phasen - u. Gruppengeschwindigkeit in dünnen Plasmen

#### Phasen (Wellen) Geschwindigkeit c

$$c = \frac{\omega}{k} \quad \text{und} \quad k = \omega \underbrace{\sqrt{\epsilon_0 \mu_0}}_{1/c_0} \sqrt{\epsilon_r} = \frac{\omega}{c_0} \sqrt{1 - \left(\frac{\omega_c}{\omega}\right)^2} = \frac{1}{c_0} \sqrt{\omega^2 - {\omega_c}^2} \longrightarrow \begin{vmatrix} c = \frac{c_0}{\sqrt{1 - \left(\frac{\omega_c}{\omega}\right)^2}} \end{vmatrix} > c_0$$

## Gruppen- (Energieausbreitungs-) Geschwindigkeit v<sub>q</sub>

$$v_{g} = \frac{d\omega}{dk} = \frac{1}{\frac{dk}{d\omega}} = \frac{1}{\frac{d}{d\omega} \left(\frac{1}{c_{0}} \sqrt{\omega^{2} - \omega_{c}^{2}}\right)} = \frac{1}{\frac{1}{c_{0}} \frac{1}{2} \frac{1}{\sqrt{\omega^{2} - \omega_{c}^{2}}} \cdot 2\omega} = \frac{1}{\frac{1}{c_{0}} \frac{1}{\sqrt{1 - \frac{\omega_{c}^{2}}{\omega^{2}}}}}$$

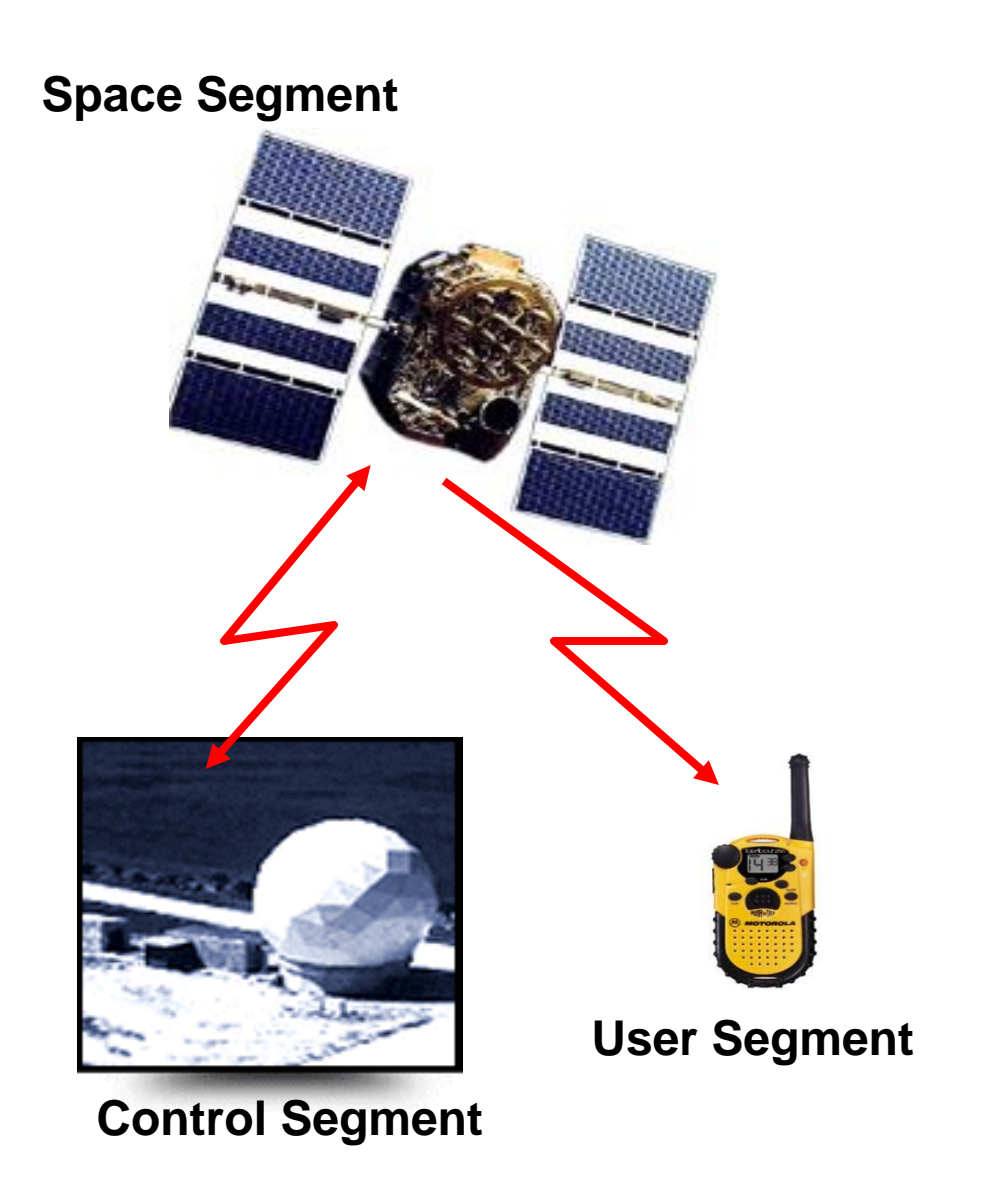
$$\rightarrow V_{g} = c_{0} \sqrt{1 - \left(\frac{\omega_{c}}{\omega}\right)^{2}} < c_{0} \qquad \omega_{c}^{2}(N) = \frac{N q^{2}}{\epsilon_{0} m_{e}} \qquad \rightarrow V_{g} = V_{g}(N)$$

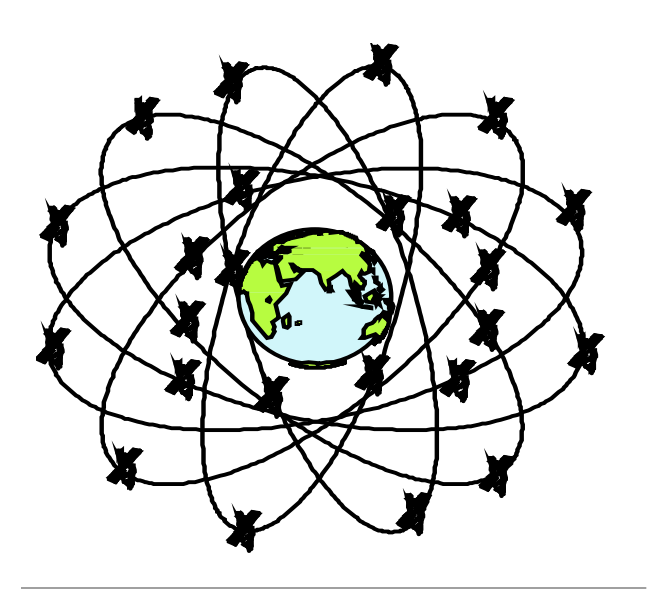
# Zusammenhang zwischen c und va

$$v_g \cdot c = c_0^2$$

Die Gruppengeschwindigkeit ist abhängig von der Elektronendichte N in der Ionosphäre

# 9.5.2 Anwendungsbeispiel GPS Pseudorange Messung

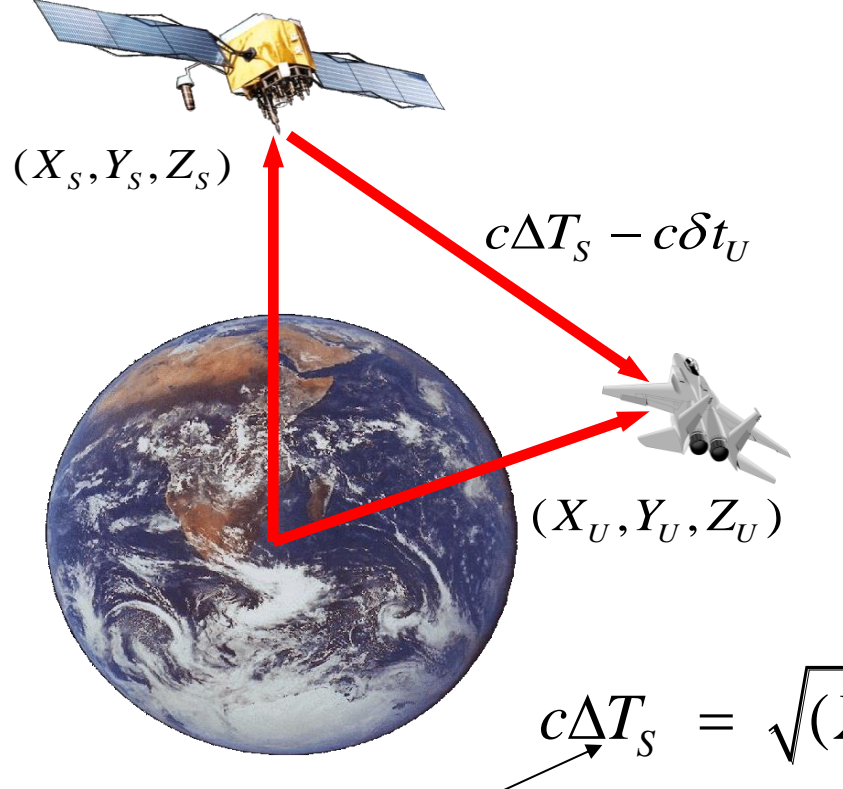




# **System configuration:**

27 satellites 6 Orbital Planes 55° Inclination 20 150 km Altitude 11h 58min Orbital Period

#### Funktionsprinzip des GPS



Gemessene Signallaufzeit

Satelliten senden ihre Position und Eigenzeit

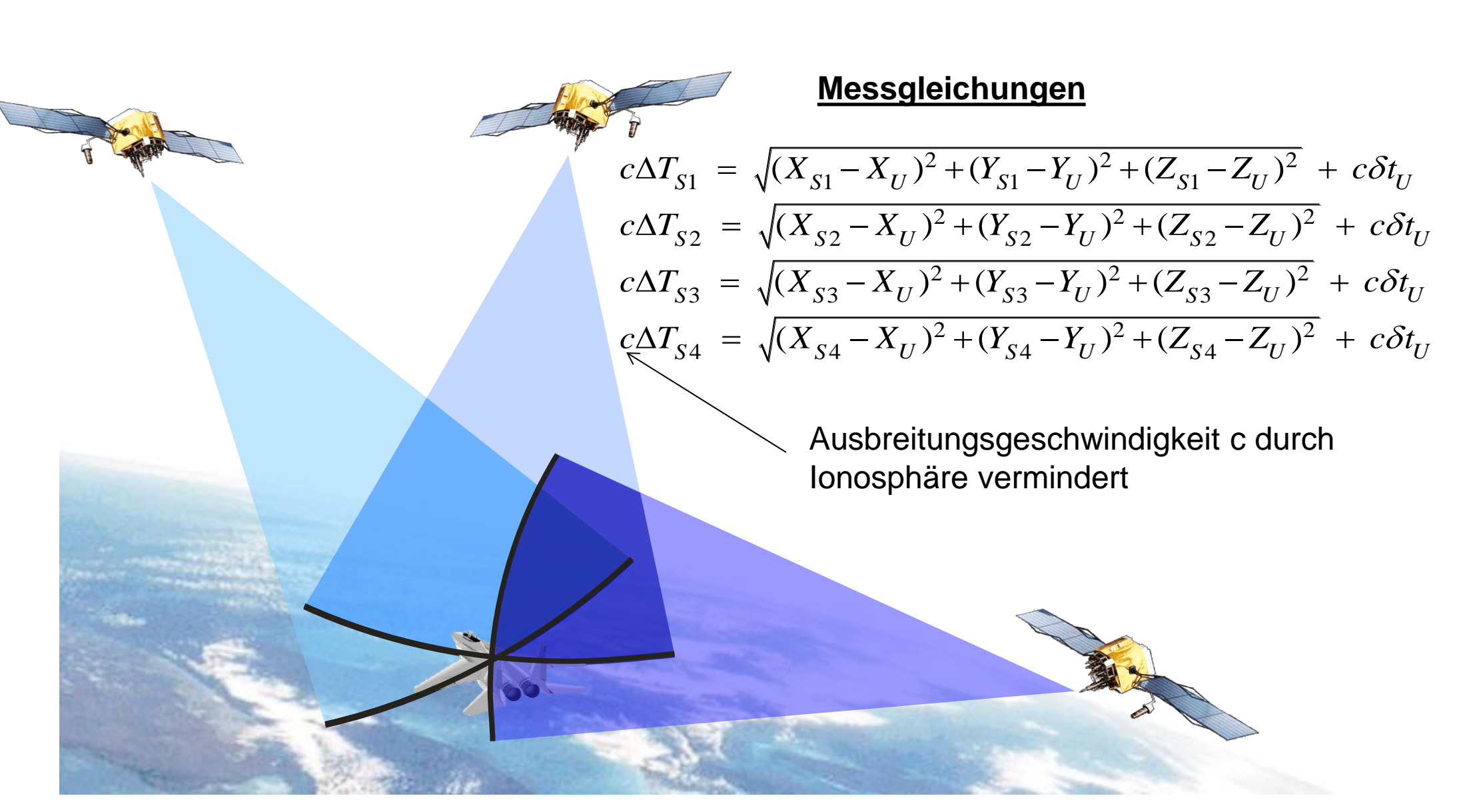
Receiver berechnet seine Position aus Signallaufzeiten durch Vergleich der Eigenzeit mit der empfangenen Satellitenzeit

Signale von 4 Satelliten notwendig 3 für 3 Positionskoordinaten 1 für Receiver Uhrenfehler

$$c\Delta T_S = \sqrt{(X_S - X_U)^2 + (Y_S - Y_U)^2 + (Z_S - Z_U)^2} + c\delta t_U$$
laufzeit

Receiver-Uhrenfehler

Satelliten/Receiver-Koordinaten



<u>Ionosphäre</u> = dünnes, stoßfreies Plasma in Höhen zwischen 80 km u. 400 km

 $\underline{\text{Plasmafrequenz}} \qquad \omega_{\text{c}}^{\text{2}} \left( N \right) = \frac{Nq_{\text{e}}^{\text{2}}}{\epsilon_{\text{0}} m_{\text{e}}} \qquad \text{ist Funktion der unbekannten} \\ \text{Elektronendichte N innerhalb der Ionosphäre}$ 

Für N  $\approx 10^{10}$  bis  $10^{12}$  Elektronen/m³ in der Ionosphäre ergibt sich eine Plasmafrequenz im Bereich von  $\omega_c \approx 6 \cdot 10^6$  bis  $6 \cdot 10^7$  1/s

Gruppengeschwindigkeit v<sub>g</sub>

$$v_g = c_0 \sqrt{1 - \left(\frac{f_c(N)}{f}\right)^2}$$

$$f_{c} = \frac{1}{2\pi} \sqrt{\frac{q_{e}^{2}}{\epsilon_{0} m_{e}}} \sqrt{N}$$

Empfänger

Gemessene Zeitverzögerung zwischen Satellit und Empfänger:

$$\Delta T = \int_{0}^{P} \frac{dr}{v_{g}(r)}$$

**GPS-Satellit** 



Gemessene Zeitverzögerung  $\Delta T$  für den Abstand P bei unbekannter, räumlich variabler Gruppengeschwindigkeit  $v_{\alpha}$ :

$$\Delta T = \int_{0}^{P} \frac{dr}{v_{g}(r)} = \int_{0}^{P} \frac{dr}{c_{o}\sqrt{1 - \left(\frac{f_{c}}{f}\right)^{2}}} \approx \int_{0}^{P} \frac{1}{c_{o}} \left(1 + \frac{1}{2} \left(\frac{f_{c}}{f}\right)^{2}\right) dr$$

Mit 
$$f_c(r) = \frac{1}{2\pi} \sqrt{\frac{q_e^2}{\epsilon_0 m_e}} \cdot \sqrt{N(r)}$$
 höhenabhängige Elektronendichte N(r)

wird die gemessene Zeitverzögerung

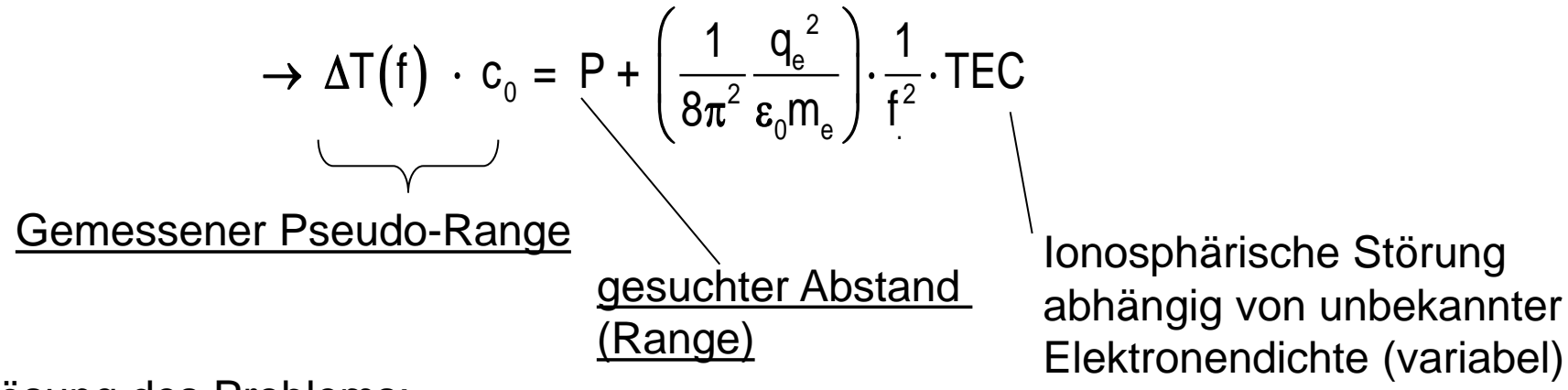
$$\Delta T = \frac{1}{c_0} \int_0^P \left( 1 + \left( \frac{1}{8\pi^2} \frac{q_e^2}{\epsilon_0 m_e} \right) \cdot \frac{1}{f^2} \cdot N(r) \right) dr$$

$$\Delta T = \frac{1}{c_0} \left( P + \left( \frac{1}{8\pi^2} \frac{q_e^2}{\epsilon_0 m_e} \right) \cdot \frac{1}{f^2} \underbrace{\int_0^P N(r) dr}_{TEC} \right)$$
TEC:

TEC: Total Electron Content 1/m<sup>2</sup>
= Menge an Elektronen/Fläche
entlang des Weges der Welle

#### Kompensation des Ionosphärischen Fehlers

gemessen bei Frequenz f: Zeitverzögerung △T ↔ Pseudorange gesucht: Abstand P (Range)



## Lösung des Problems:

- 1. Einsetzen eines theoretisch dem Sonnenstand und der Position zugeordneten TEC
- 2. Einsetzen von gemessenen und per Funk verbreiteten TEC Werten
- 3. Messung der Pseudoranges bei zwei unterschiedlichen Frequenzen f<sub>1</sub> und f<sub>2</sub>

# Übertragung GPS-Daten auf zwei Frequenzen f<sub>1</sub> und f<sub>2</sub>

f₁: L₁ Band 1.575 GHz

f<sub>2</sub>: L<sub>2</sub> Band 1.228 GHz

$$\Rightarrow c_0(\Delta T_2 - \Delta T_1) = \left(\frac{1}{8\pi^2} \frac{q_e^2}{\epsilon_0 m_e}\right) \cdot \text{TEC}\left(\frac{1}{f_2^2} - \frac{1}{f_1^2}\right) \Rightarrow \boxed{\text{TEC} = \frac{c_0(\Delta T_2 - \Delta T_1)}{\left(\frac{1}{8\pi^2} \frac{q_e^2}{\epsilon_0 m_e}\right)} \cdot \frac{f_1^2 \cdot f_2^2}{f_1^2 - f_2^2}}$$

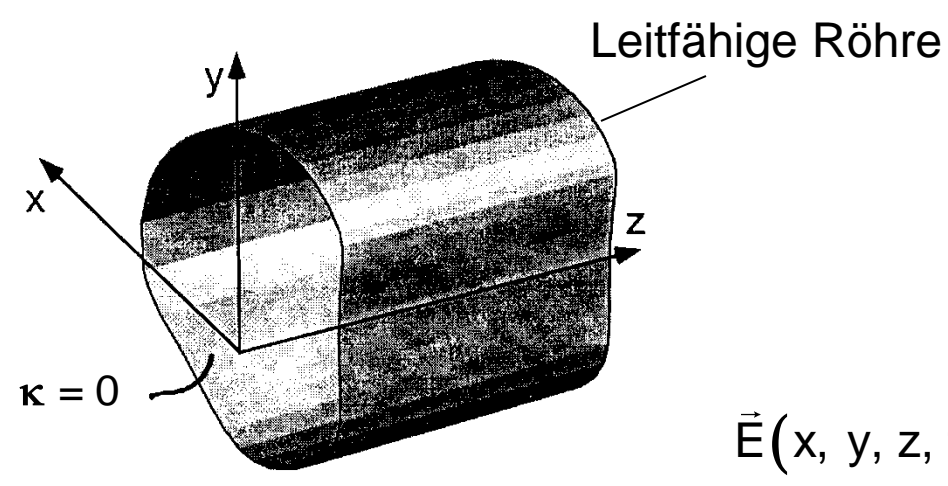
$$\rightarrow P = c_0 \Delta T_1 - \frac{\left(\frac{1}{8\pi^2} \frac{q_e^2}{\epsilon_0 m_e}\right)}{f_1^2} \cdot \frac{c_0 (\Delta T_2 - \Delta T_1)}{\left(\frac{1}{8\pi^2} \frac{q_e^2}{\epsilon_0 m_e}\right)} \cdot \frac{f_1^2 \cdot f_2^2}{f_1^2 - f_2^2}$$

$$\rightarrow \boxed{P = c_0 \Delta T_1 - \frac{f_2^2}{f_1^2 - f_2^2} c_0 (\Delta T_2 - \Delta T_1)} \quad \text{unabhängig von TEC}, \ \ N(r) \\ \text{und auch der Plasmafrequenz}$$

reine Messgleichung, einfache Ingenieur - Lösung!

# 9.6 Wellenleiter

## 9.6.1 Wellengleichung für geführte Wellen



Uniformer, verlustloser Wellenleiter Harmonische Wellen

$$\Delta \vec{\mathsf{E}} - \mu \epsilon \frac{\partial^2 \vec{\mathsf{E}}}{\partial t^2} = 0$$

innen  $\kappa = 0$ 

$$\vec{E}(x, y, z, t) = \vec{E}(x, y) \cdot e^{j(\omega t - k_z \cdot z)}$$

<u>Jetzt:</u>

Abhängigkeit von E auch in x, y-Ebene durch begrenzte Ränder

$$\Delta \vec{E} = \frac{\partial^2 \vec{E}}{\partial x^2} + \frac{\partial^2 \vec{E}}{\partial y^2} - k_z^2 \vec{E}$$

$$\frac{\partial^{2}\vec{E}}{\partial x^{2}} + \frac{\partial^{2}\vec{E}}{\partial y^{2}} + (\omega^{2} \mu \epsilon - k_{z}^{2}) \vec{E} = 0$$

$$\left| \frac{\partial^2 \vec{H}}{\partial x^2} + \frac{\partial^2 \vec{H}}{\partial y^2} + \left( \omega^2 \mu \epsilon - k_z^2 \right) \vec{H} = 0 \right|$$

im Gegensatz zu ebenen Wellen im Raum gibt es im Hohlleiter auch longitudinale Komponenten  $E_z \neq 0$ 

k<sub>z</sub>: (noch) unbekannte Wellenzahl in Ausbreitungsrichtung z

#### 9.6.2 Transversal- und Longitudinal - Komponenten

Berechnung der transversalen Komponenten aus z – Komponenten:

$$E_{x} = -\frac{1}{\omega^{2}\mu\epsilon - k_{z}^{2}} \left( jk_{z} \frac{\partial E_{z}}{\partial x} + j\omega\mu \frac{\partial H_{z}}{\partial y} \right)$$

$$E_{y} = -\frac{1}{\omega^{2}\mu\epsilon - k_{z}^{2}} \left( jk_{z} \frac{\partial E_{z}}{\partial y} - j\omega\mu \frac{\partial H_{z}}{\partial x} \right)$$

$$H_{x} = -\frac{1}{\omega^{2}\mu\epsilon - k_{z}^{2}} \left( jk_{z} \frac{\partial H_{z}}{\partial x} - j\omega\epsilon \frac{\partial E_{z}}{\partial y} \right)$$

$$H_{y} = -\frac{1}{\omega^{2}\mu\epsilon - k_{z}^{2}} \left( jk_{z} \frac{\partial H_{z}}{\partial y} + j\omega\epsilon \frac{\partial E_{z}}{\partial x} \right)$$

zur Bestimmung aller Feld-Komponenten genügt die Kenntnis der Longitudinal-(z-) Komponenten!

$$E_{x} = -\frac{1}{\omega^{2}\mu\epsilon - k_{z}^{2}} \left( jk_{z} \frac{\partial E_{z}}{\partial x} + j\omega\mu \frac{\partial H_{z}}{\partial y} \right)$$

$$E_{y} = -\frac{1}{\omega^{2}\mu\epsilon - k_{z}^{2}} \left( jk_{z} \frac{\partial E_{z}}{\partial y} - j\omega\mu \frac{\partial H_{z}}{\partial x} \right)$$

$$H_{x} = -\frac{1}{\omega^{2}\mu\epsilon - k_{z}^{2}} \left( jk_{z} \frac{\partial H_{z}}{\partial x} - j\omega\epsilon \frac{\partial E_{z}}{\partial y} \right)$$

$$H_{y} = -\frac{1}{\omega^{2}\mu\epsilon - k_{z}^{2}} \left( jk_{z} \frac{\partial H_{z}}{\partial y} + j\omega\epsilon \frac{\partial E_{z}}{\partial x} \right)$$

Genauere Analyse zeigt, dass es 2 unabhängige, entkoppelte Lösungen für das Wellenfeld gibt. Diese setzen sich aus folgenden Komponenten zusammen:

$$\left\{ H_{x}, H_{y}, E_{x}, E_{y}, E_{z} \right\} \stackrel{\triangle}{=} TM-Wellen$$

Transversal-magnetischer Wellentyp

$$\left\{ E_{x}, E_{y}, H_{x}, H_{y}, H_{z} \right\} \stackrel{\wedge}{=} TE-Wellen$$

Transversal-elektrischer Wellentyp

#### 9.6.3 TM-Wellen

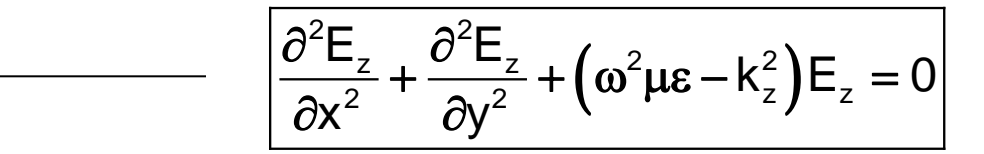
$$E_{x} = \frac{-jk_{z}}{\omega^{2}\mu\epsilon - k_{z}^{2}} \frac{\partial E_{z}}{\partial x}$$

$$E_{y} = \frac{-jk_{z}}{\omega^{2}\mu\epsilon - k_{z}^{2}} \frac{\partial E_{z}}{\partial y}$$

$$H_{x} = \frac{j\omega\epsilon}{\omega^{2}\mu\epsilon - k_{z}^{2}} \frac{\partial E_{z}}{\partial y}$$

$$H_{y} = \frac{-j\omega\epsilon}{\omega^{2}\mu\epsilon - k_{z}^{2}} \frac{\partial E_{z}}{\partial x}$$

TM-Wellen= rein <u>transversal magnetische Wellen</u> keine longitudinale Komponente:  $H_z = 0$ :



Wellengleichung für E,

Das Wellenfeld setzt sich zusammen aus:

$${H_x, H_y, E_x, E_y, E_z}$$
  $\triangleq$  TM-Wellen

Es genügt, E<sub>z</sub> zu berechnen; daraus folgen dann alle anderen Komponenten

## 9.6.3.1 Separation der Variablen

$$\frac{\partial^{2} E_{z}}{\partial x^{2}} + \frac{\partial^{2} E_{z}}{\partial y^{2}} + (\omega^{2} \mu \epsilon - k_{z}^{2}) E_{z} = 0$$

Wellenansatz

Ansatz: 
$$E_z(x, y, z, t) = U(x)V(y)W(z, t)$$
 mit  $W(z, t) = e^{j(\omega t - k_z z)}$ 

$$V(y)\cdot W(z,t)\cdot \frac{\partial^2 U(x)}{\partial x^2} + U(x)\cdot W(z,t)\cdot \frac{\partial^2 V(y)}{\partial y^2} + (\omega^2 \mu \epsilon - k_z^2)\cdot U(x)\cdot V(y)\cdot W(z,t) = 0 \quad /: \quad U\cdot V\cdot W$$

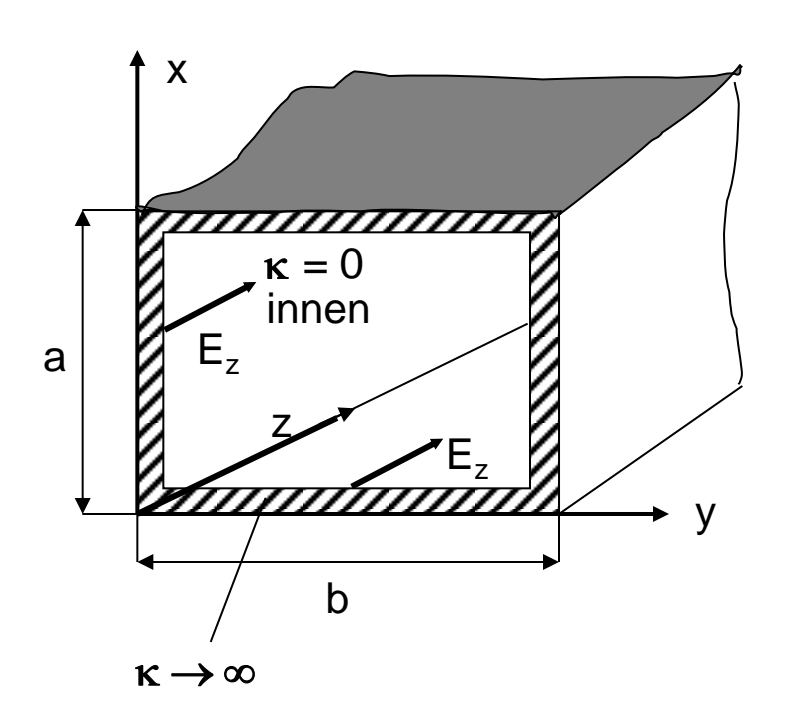
$$\frac{1}{U(x)} \frac{\partial^{2}U(x)}{\partial x^{2}} + \frac{1}{V(y)} \frac{\partial^{2}V(y)}{\partial y^{2}} + (\omega^{2}\mu\epsilon - k_{z}^{2}) = 0$$

$$-k_{x}^{2} = const \qquad -k_{y}^{2} = const \qquad const \qquad \longrightarrow \boxed{\omega^{2}\epsilon \ \mu = k_{x}^{2} + k_{y}^{2} + k_{z}^{2}}$$

$$\frac{\partial^2 U(x)}{\partial x^2} + k_x^2 U(x) = 0 \longrightarrow U(x) \sim \sin(k_x x), \cos(k_x x)$$

$$\left| \frac{\partial^2 V(y)}{\partial y^2} + k_y^2 V(y) = 0 \right| \longrightarrow V(y) \sim \sin(k_y y), \cos(k_y y)$$

# 9.6.3.2 Randbedingungen für Rechteck - Hohlleiter



beliebig gute Leitfähigkeit in metallischer Berandung

$$E_z(x,y,z,t) = E_z(x,y) e^{j(\omega t - k_z z)}$$

TM - Mode

# Randbedingungen:

$$E_{z}(0,y) = 0$$
 und  $E_{z}(a,y) = 0$   
 $E_{z}(x,0) = 0$  und  $E_{z}(x,b) = 0$ 

keine tangentialen Feldkomponenten an den gut leitenden Rändern des Wellenleiters Aus Randbedingungen  $E_z(0, y) = 0$  und  $E_z(x, 0)$ 

fallen Lösungen mit cos(kxx) und cos(kyy) weg

$$\rightarrow \left[ \mathsf{E}_{\mathsf{z}} \left( \mathsf{x}, \mathsf{y} \right) = \mathsf{E}_{\mathsf{0}} \, \sin \left( \mathsf{k}_{\mathsf{x}} \mathsf{x} \right) \, \sin \left( \mathsf{k}_{\mathsf{y}} \mathsf{y} \right) \right]$$

Aus Randbedingungen  $E_z(a, y) = 0$  und  $E_z(x, b)$ ergibt sich wegen  $\sin(k_x a) = 0$  und  $\sin(k_y b) = 0$ 

$$k_x = \frac{m\pi}{a}$$
 und  $k_y = \frac{n\pi}{b}$  m,n sind ganze Zahlen, durch Wellengleichung nicht festgelegt

Aus der Separation der Variablen und der Berücksichtigung der Randbedingungen folgt schließlich

$$E_{z}(x, y, z, t) = E_{0} \sin\left(\frac{m\pi}{a}x\right) \sin\left(\frac{n\pi}{b}y\right) e^{j(\omega t - k_{z}z)}$$

$$k_z = \sqrt{\epsilon \mu \omega^2 - \left(\frac{m\pi}{a}\right)^2 - \left(\frac{n\pi}{b}\right)^2}$$
 wegen  $\epsilon \mu \omega^2 = k_x^2 + k_y^2 + k_z^2$ 

# 9.6.3.3 Feldverteilung der TM - Wellen

$$\begin{split} E_x(x,y,z,t) &= \frac{-jk_z}{\omega^2\mu\epsilon - k_z^2} \ E_0 \frac{m\pi}{a} \ \cos\!\left(\frac{m\pi}{a}x\right) \ \sin\!\left(\frac{n\pi}{b}y\right) e^{j(\omega t - k_z z)} \\ E_y(x,y,z,t) &= \frac{-jk_z}{\omega^2\mu\epsilon - k_z^2} \ E_0 \frac{n\pi}{b} \ \sin\!\left(\frac{m\pi}{a}x\right) \ \cos\!\left(\frac{n\pi}{b}y\right) e^{j(\omega t - k_z z)} \\ H_x(x,y,z,t) &= \frac{j\omega\epsilon}{\omega^2\mu\epsilon - k_z^2} \ E_0 \frac{n\pi}{b} \ \sin\!\left(\frac{m\pi}{a}x\right) \ \cos\!\left(\frac{n\pi}{b}y\right) e^{j(\omega t - k_z z)} \\ H_y(x,y,z,t) &= \frac{-j\omega\epsilon}{\omega^2\mu\epsilon - k_z^2} \ E_0 \frac{m\pi}{a} \ \cos\!\left(\frac{m\pi}{a}x\right) \ \sin\!\left(\frac{n\pi}{b}y\right) e^{j(\omega t - k_z z)} \end{split}$$

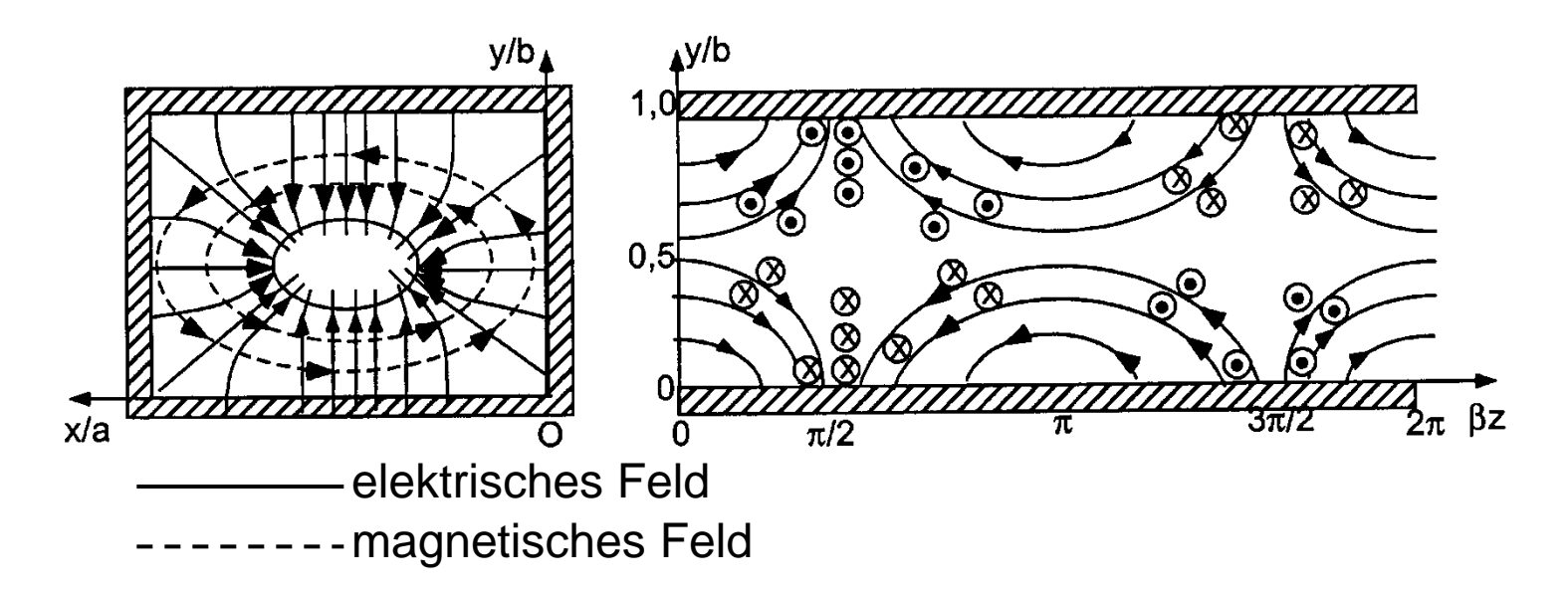
$$E_{z}(x,y,z,t) = E_{0} \sin\left(\frac{m\pi}{a}x\right) \sin\left(\frac{n\pi}{b}y\right) e^{j(\omega t - k_{z}z)}$$

$$k_z = \sqrt{\omega^2 \epsilon \, \mu - \left(\frac{m\pi}{a}\right)^2 - \left(\frac{n\pi}{b}\right)^2}$$

# **Definition:**

TM<sub>23</sub> bedeutet m=2, n=3

# Feldlinien der TM<sub>11</sub>- Wellen im Rechteck - Hohlleiter



$$\begin{split} & \mathsf{E}_{\,x} \sim \, j \, \cos\!\left(\frac{\pi}{a} x\right) \, \sin\!\left(\frac{\pi}{b} y\right) e^{\, j(\omega t \, - \, k_{\,z} z)} & \longrightarrow \mathsf{Re} \big\{ \mathsf{E}_{\,x} \big\} \sim \cos\!\left(\frac{\pi}{a} x\right) \, \sin\!\left(\frac{\pi}{b} y\right) \, \sin\!\left(\omega t \, - \, k_{\,z} z\right) \\ & \mathsf{E}_{\,y} \sim \, j \, \sin\!\left(\frac{\pi}{a} x\right) \, \cos\!\left(\frac{\pi}{b} y\right) e^{\, j(\omega t \, - \, k_{\,z} z)} & \longrightarrow \mathsf{Re} \big\{ \mathsf{E}_{\,y} \big\} \sim \sin\!\left(\frac{\pi}{a} x\right) \, \cos\!\left(\frac{\pi}{b} y\right) \, \sin\!\left(\omega t \, - \, k_{\,z} z\right) \\ & \mathsf{E}_{\,z} \sim \, \, \, \sin\!\left(\frac{\pi}{a} x\right) \, \sin\!\left(\frac{\pi}{b} y\right) e^{\, j(\omega t \, - \, k_{\,z} z)} & \longrightarrow \mathsf{Re} \big\{ \mathsf{E}_{\,z} \big\} \sim \sin\!\left(\frac{\pi}{a} x\right) \, \sin\!\left(\frac{\pi}{b} y\right) \, \cos\!\left(\omega t \, - \, k_{\,z} z\right) \end{split}$$

# Longitudinal-Komponente E<sub>z</sub> im Wellenleiter

Es muß gelten: 
$$\operatorname{div} \vec{D} = 0 \rightarrow \left[ \frac{\partial E_x}{\partial x} + \frac{\partial E_y}{\partial y} + \frac{\partial E_z}{\partial z} \right]^{\frac{1}{2}} = 0$$

$$\frac{\partial E_x}{\partial x} = \frac{-jk_z}{\omega^2 \mu \epsilon - k_z^2} E_0 \left( \frac{m\pi}{a} \right) \left( -\frac{m\pi}{a} \right) \sin \left( \frac{m\pi}{a} x \right) \sin \left( \frac{n\pi}{b} y \right) e^{j(\omega t - k_z z)}$$

$$\frac{\partial E_y}{\partial y} = \frac{-jk_z}{\omega^2 \mu \epsilon - k_z^2} E_0 \left( \frac{n\pi}{b} \right) \sin \left( \frac{m\pi}{a} x \right) \left( -\frac{n\pi}{b} \right) \sin \left( \frac{n\pi}{b} y \right) e^{j(\omega t - k_z z)}$$

$$\frac{\partial E_z}{\partial z} = E_0 \sin \left( \frac{m\pi}{a} x \right) \sin \left( \frac{n\pi}{b} y \right) (-jk_z) e^{j(\omega t - k_z z)}$$

Summieren und Kürzen mit  $E_0$ , sin. sin liefert

$$\frac{+jk_z}{\omega^2 \epsilon \mu - k_z^2} \left(\frac{m\pi}{a}\right)^2 + \frac{jk_z}{\omega^2 \epsilon \mu - k_z^2} \left(\frac{n\pi}{b}\right)^2 - jk_z = 0$$

$$\rightarrow \qquad \left(\frac{m\pi}{a}\right)^2 + \left(\frac{n\pi}{b}\right)^2 - \left(\omega^2 \epsilon \mu - k_z^2\right) = 0$$

$$\rightarrow \qquad \boxed{k_z^2 = \omega^2 \epsilon \mu - \left(\frac{m\pi}{a}\right)^2 - \left(\frac{n\pi}{b}\right)^2} \qquad \text{Bedingung für diskrete Werte der Wellenzahl}$$

$$\rightarrow \qquad \text{div } \vec{D} = 0 \text{ ist erfüllt!}$$

9.6.3.4 Leistungsdichte der TM - Wellen

$$\vec{S} = \frac{1}{2} \vec{E} \times \vec{H}^*$$

komplexer Poynting Vektor

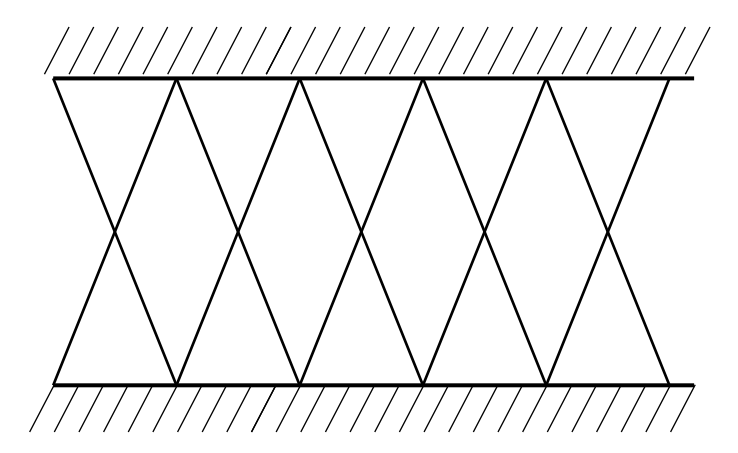
$$\rightarrow \vec{S} = \frac{1}{2} \left[ \left( E_y H_z^* - E_z H_y^* \right) \vec{e}_x + \left( E_z H_x^* - E_x H_z^* \right) \vec{e}_y + \left( E_x H_y^* - E_y H_x^* \right) \vec{e}_z \right] \text{ wegen } \left[ H_z = 0 \right] \text{ bei TM - Wellen}$$

$$= \frac{1}{2} \left[ \left( -E_0 \sin \left( \frac{m\pi}{a} x \right) \sin \left( \frac{n\pi}{b} y \right) \right) \left( \frac{+j\omega\epsilon}{\omega^2 \mu\epsilon - k_z^2} E_0 \frac{m\pi}{a} \cos \left( \frac{m\pi}{a} x \right) \sin \left( \frac{n\pi}{b} y \right) \right) \vec{e}_x \right]$$

$$+ \left( \mathsf{E}_0 \, \mathsf{sin} \! \left( \frac{\mathsf{m} \pi}{\mathsf{a}} \, \mathsf{x} \right) \! \mathsf{sin} \! \left( \frac{\mathsf{n} \pi}{\mathsf{b}} \, \mathsf{y} \right) \! \right) \! \! \left( \frac{-j \omega \epsilon}{\omega^2 \mu \epsilon - k_z^2} \mathsf{E}_0 \, \frac{\mathsf{n} \pi}{\mathsf{b}} \, \mathsf{sin} \! \left( \frac{\mathsf{m} \pi}{\mathsf{a}} \, \mathsf{x} \right) \! \mathsf{cos} \! \left( \frac{\mathsf{n} \pi}{\mathsf{b}} \, \mathsf{y} \right) \! \right) \! \vec{\mathsf{e}}_{\mathsf{y}}$$

$$+\Bigg[\bigg(\frac{-jk_z}{\omega^2\mu\epsilon-k_z^2}\mathsf{E_0}\frac{m\pi}{a}\cos\bigg(\frac{m\pi}{a}x\bigg)\sin\bigg(\frac{n\pi}{b}y\bigg)\bigg)\bigg(\frac{+j\omega\epsilon}{\omega^2\mu\epsilon-k_z^2}\mathsf{E_0}\frac{m\pi}{a}\cos\bigg(\frac{m\pi}{a}x\bigg)\sin\bigg(\frac{n\pi}{b}y\bigg)\bigg)$$

$$- \left( \frac{-jk_z}{\omega^2\mu\epsilon - k_z^2} \mathsf{E_0} \frac{n\pi}{b} sin \left( \frac{m\pi}{a} \, x \right) cos \left( \frac{n\pi}{b} \, y \right) \right) \left( \frac{-j\omega\epsilon}{\omega^2\mu\epsilon - k_z^2} \mathsf{E_0} \frac{n\pi}{b} sin \left( \frac{m\pi}{a} \, x \right) cos \left( \frac{n\pi}{b} \, y \right) \right) \right] \vec{e}_z \right]$$



- Überlagerung von schräg nach oben und unten bzw. nach rechts und links laufender ebener Wellen
- Komponenten senkrecht zur Ausbreitungsrichtung ergeben stehende Wellen
   → imaginäre Poytingvektorkomponente
- Resonanzbedingung läßt nur diskrete Werte für k<sub>y</sub>, k<sub>x</sub> zu; dem entsprechen diskrete Winkel der schrägen Welle
- Komponente in Ausbreitungsrichtung ergibt laufende Welle mit reellem Energiefluß → relle Poyntingvektorkomponente
- Abhängigkeit von  $k_z$  bezüglich  $k_x$ ,  $k_y$  mit  $k_z^2 + k_y^2 + k_x^2 = \omega^2 \varepsilon \mu$  ergibt diskrete Werte für Wellenzahl  $k_z$

#### 9.6.4 TE - Wellen

Das Wellenfeld setzt sich zusammen aus: 
$$\{E_x, E_y, H_x, H_y, H_z\} \triangleq TE - Wellen$$

$$E_{x} = \frac{-j\omega\mu}{\omega^{2}\mu\epsilon - k_{z}^{2}} \frac{\partial H_{z}}{\partial y}$$

$$E_{y} = \frac{j\omega\mu}{\omega^{2}\mu\epsilon - k_{z}^{2}} \frac{\partial H_{z}}{\partial x}$$

$$H_{x} = \frac{-jk_{z}}{\omega^{2}\mu\epsilon - k_{z}^{2}} \frac{\partial H_{z}}{\partial x}$$

$$H_{y} = \frac{-jk_{z}}{\omega^{2}\mu\epsilon - k_{z}^{2}} \frac{\partial H_{z}}{\partial y}$$

TE \(\text{\text{\text{\text{\text{transversal}}}}\) elektrisch d.h. keine longitudinale  $E_z$  - Komponente

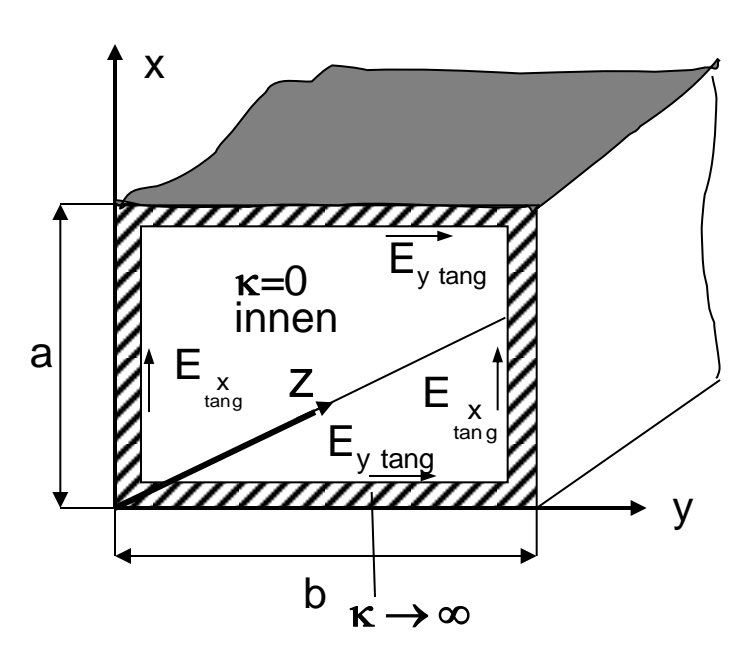
$$\left| \frac{\partial^2 H_z}{\partial x^2} + \frac{\partial^2 H_z}{\partial y^2} + \left( \omega^2 \mu \varepsilon - k_z^2 \right) H_z = 0 \right|$$

Wellengleichung für H,

Lösung wie bei TM-Wellen durch Separation der Variablen

H<sub>z</sub> proportional zu  $sin(k_x x)$  bzw.  $cos(k_x x)$  $sin(k_y y)$  bzw.  $cos(k_y y)$ 

# 9.6.4.1 Randbedingungen für Rechteck - Hohlleiter



beliebig gute Leitfähigkeit κ in metallischer Berandung

$$\rightarrow \vec{J} = \kappa \cdot \vec{E}$$

$$\downarrow \qquad \qquad \downarrow \qquad \qquad \qquad \downarrow \qquad \qquad \qquad \downarrow \qquad \qquad \qquad \downarrow \qquad \qquad \downarrow \qquad \qquad \downarrow \qquad \qquad \qquad \qquad \downarrow \qquad \qquad \qquad \downarrow \qquad \qquad \qquad \qquad \downarrow \qquad \qquad \qquad \downarrow \qquad \qquad \qquad \qquad \qquad \downarrow \qquad \qquad \qquad \qquad \qquad \qquad$$

# Randbedingungen:

$$E_{y}(0,y) = 0 \rightarrow \frac{\partial H_{z}}{\partial x}(0,y) = 0$$

$$E_{y}(a,y) = 0 \rightarrow \frac{\partial H_{z}}{\partial x}(a,y) = 0$$

$$E_{x}(x,0) = 0 \rightarrow \frac{\partial H_{z}}{\partial y}(x,0) = 0$$

$$E_{x}(x,b) = 0 \rightarrow \frac{\partial H_{z}}{\partial y}(x,b) = 0$$

Aus Separation der Variablen für H<sub>z</sub> und den Randbedingungen folgt:

$$H_{z}(x,y) = H_{0} \cos(k_{x}x) \cos(k_{y}y)$$

$$k_x = \frac{m\pi}{a}$$
 und  $k_y = \frac{n\pi}{b}$ 

m,n sind ganze Zahlen

#### 9.6.4.2 Feldverteilung der TE-Wellen

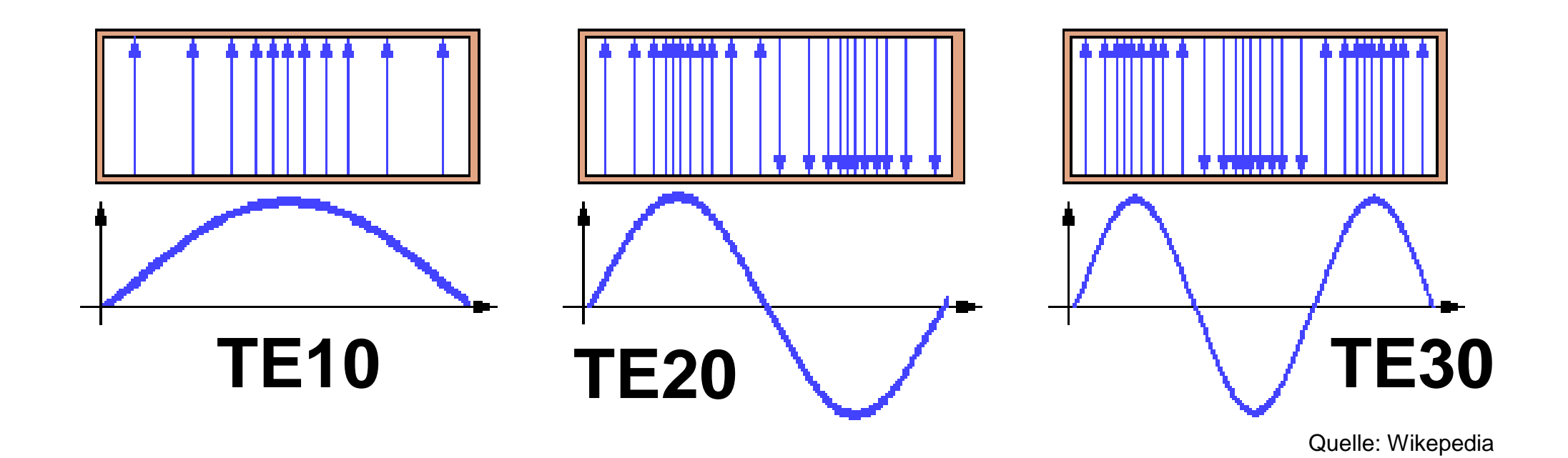
$$\begin{split} & \to E_x(x,y,z,t) = \frac{j\omega\mu}{\omega^2\mu\epsilon - k_z^2} \ H_0 \frac{n\pi}{b} \ \cos\left(\frac{m\pi}{a}x\right) \ \sin\left(\frac{n\pi}{b}y\right) e^{j(\omega t - k_z z)} \\ & \to E_y(x,y,z,t) = \frac{-j\omega\mu}{\omega^2\mu\epsilon - k_z^2} \ H_0 \frac{m\pi}{a} \ \sin\left(\frac{m\pi}{a}x\right) \ \cos\left(\frac{n\pi}{b}y\right) e^{j(\omega t - k_z z)} \\ & \to H_x(x,y,z,t) = \frac{jk_z}{\omega^2\mu\epsilon - k_z^2} \ H_0 \frac{m\pi}{a} \ \sin\left(\frac{m\pi}{a}x\right) \ \cos\left(\frac{n\pi}{b}y\right) e^{j(\omega t - k_z z)} \\ & \to H_y(x,y,z,t) = \frac{jk_z}{\omega^2\mu\epsilon - k_z^2} \ H_0 \frac{n\pi}{b} \ \cos\left(\frac{m\pi}{a}x\right) \ \sin\left(\frac{n\pi}{b}y\right) e^{j(\omega t - k_z z)} \end{split}$$

mit 
$$H_z(x,y,z,t) = H_0 \cos\left(\frac{m\pi}{a}x\right) \cos\left(\frac{n\pi}{b}y\right) e^{j(\omega t - k_z z)}$$

$$k_z^2 = \omega^2 \mu \varepsilon - \left(\frac{m\pi}{a}\right)^2 - \left(\frac{n\pi}{b}\right)^2$$

Beispiel:

TE<sub>01</sub> bezeichnet den Mode mit m=0, n=1



# 9.6.5 Gesamtfeldverteilung der TM- und TE - Wellen

Gesamt - Wellenfeld in pos. x - Richtung ist die Überlagerung aller TM- und TE-Moden die vom Wellenleiter bei der Frequenz ω geführt werden können.

$$\vec{E}_{ges}(x, y, z, t) = \sum_{m=1}^{m_{max}} \sum_{n=1}^{n_{max}} a_{mn} \cdot \vec{E}_{mn}(x, y) e^{j(\omega t - k_{znm} \cdot z)}$$

Anregungskoeffizient des Einzelmodes, abhängig von der "Einstrahlcharakteristik" der Antenne am Wellenleiter - Eingang

Die Anzahl der Moden ist nach oben begrenzt durch

$$\left[ \left( \frac{m\pi}{a} \right)^2 + \left( \frac{n\pi}{b} \right)^2 \le \epsilon \mu \omega^2 \right] \leftarrow \left[ k_x^2 + k_y^2 + k_z^2 = \epsilon \mu \omega^2 \right]$$

abhängig von Einstrahlfrequenz ω und den Abmessungen a und b des Rechteck - Hohlleiters

# 9.6.6 Wellenzahl und Wellengeschwindigkeit

### **Phasengeschwindigkeit**

$$V_{mn} = \frac{\omega}{k_{zmn}}$$

mit 
$$k_{zmn} = \sqrt{\omega^2 \epsilon \mu - \left(\frac{m\pi}{a}\right)^2 - \left(\frac{n\pi}{b}\right)^2}$$

$$\rightarrow V_{mn} = C_0 \sqrt{\frac{1}{1 - \frac{C_0^2}{\omega^2} \left(\frac{m\pi}{a}\right)^2 - \frac{C_0^2}{\omega^2} \left(\frac{n\pi}{b}\right)^2}} > C_0$$

minimal für niedrige m,n

# <u>Gruppengeschwindigkeit</u>

$$v_{gmn} = \frac{d\omega}{dk_{zmn}}$$

mit 
$$k_{zmn} = \sqrt{\omega^2 \varepsilon_0 \mu_0 - \left(\frac{m\pi}{a}\right)^2 - \left(\frac{n\pi}{b}\right)^2}$$

$$\rightarrow v_{gmn} = \frac{1}{\frac{dk_{zmn}}{d\omega}} = \frac{1}{\frac{1}{2} \frac{1}{\sqrt{\epsilon_0 \mu_0 \omega^2 - \left(\frac{m\pi}{a}\right)^2 - \left(\frac{n\pi}{b}\right)^2}} 2\omega \epsilon_0 \mu_0} = \frac{1}{\frac{\omega}{k_{zmn}}} = \frac{1}{\frac{\omega}{k$$

$$\boxed{ v_{gmn} = c_0^2 \frac{k_{zmn}}{\omega} = \left(\frac{c_0^2}{v_{mn}}\right) = c_0 \sqrt{1 - \frac{c_0^2}{\omega^2} \left(\frac{m\pi}{a}\right)^2 - \frac{c_0^2}{\omega^2} \left(\frac{n\pi}{b}\right)^2} < c_0 } \qquad \Longleftrightarrow \qquad \boxed{ v_{gmn} \cdot v_{mn} = c_0^2 }$$

$$V_{gmn} = V_g(\omega, m, n)$$

 $= v_q(\omega, m, n)$  Gruppengeschwindigkeit ist frequenzabhängig.

#### 9.6.7 Cut - off - Frequenzen

Wir hatten für die Wellenzahl k<sub>z</sub>:

$$k_z^2 = \varepsilon \mu \omega^2 - \left(\frac{m\pi}{a}\right)^2 - \left(\frac{n\pi}{b}\right)^2$$
 mit  $\vec{E} = \vec{E}(x,y) \cdot e^{j(\omega t - k_z z)}$ 

Je höher m und n werden (Anzahl der Knoten in der Querverteilung der Felder), umso kleiner wird k<sub>7</sub>, Phasengeschwindigkeit nimmt zu, Gruppengeschwindigkeit nimmt ab

<u>Grenzfall</u>  $k_z = 0$  (keine Wellenausbreitung mehr)  $\rightarrow \vec{E} = \vec{E}(x,y) \cdot e^{j\omega t}$ 

$$\rightarrow 0 = \epsilon \mu \omega^2 - \left(\frac{m\pi}{a}\right)^2 - \left(\frac{n\pi}{b}\right)^2$$

$$\rightarrow \boxed{ \begin{aligned} \omega_{c_{mn}} &= \frac{1}{\sqrt{\epsilon \mu}} \sqrt{\left(\frac{m\pi}{a}\right)^2 + \left(\frac{n\pi}{b}\right)^2} \\ f_{c_{mn}} &= \omega_{c_{mn}}/(2\pi) \end{aligned}}$$

$$V_{mn} = \frac{\omega}{k_{zmn}} \rightarrow \infty$$

$$V_{mn} = \frac{\omega}{k_{zmn}} \rightarrow \infty$$

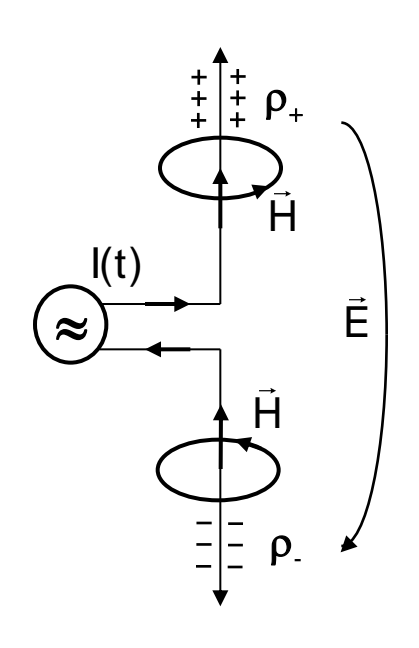
$$V_{gmn} = c_0^2 \frac{k_{zmn}}{\omega} \rightarrow 0$$

für Frequenzen f < f<sub>cmn</sub> kann der  $TM_{mn}$ - oder  $TE_{mn}$ - Mode nicht mehr im Wellenleiter geführt werden 351

# Zusammenfassung:

- Transversal Komponenten  $(\sim j \cdot E_0)$  sind untereinander in Phase
- Longitudinal Komponente (~ E<sub>0</sub>) ist um 90<sup>o</sup> phasenverschoben
- jeder der Moden TM<sub>mn</sub> hat eine andere Phasengeschwindigkeit v<sub>mn</sub>
- für jeden Mode  $TM_{mn}$  gibt es eine charakteristische Cut off Frequenz, unterhalb von der er nicht mehr vom Wellenleiter geführt werden kann
- die Anzahl der möglichen Moden ist durch die Cut off Bedingung nach oben begrenzt
- wie stark ein Mode tatsächlich angeregt ist, hängt von den Einstrahlbedingungen am Eingang des Wellenleiters ab
- durch die unterschiedlichen Gruppengeschwindigkeiten der Moden wird ein modulierterWellenzug im Wellenleiter verbreitert = Begrenzung der maximal übertragbaren Datenrate
  - → Ziel: Entwurf des Hohlleiters so, dass nur ein Mode ausbreitungsfähig ist

# 9.7 Wellenerzeugung durch eine Antenne



#### An der Antenne:

Durch die Ströme in die Antennenenden hinein entstehen an den Antennenspitzen Raumladungen.

Die Raumladungen erzeugen elektrische Felder (Quellenfelder). Die Ströme erzeugen um die Antennenstäbe Magnetfelder.

Raumladungen 
$$\rightarrow$$
 el. Potentiale  $\rightarrow$  el. Felder  $\vec{E}_{Q}(t)$ 

Ströme  $\rightarrow$  Magnetfelder  $\vec{H}(t)$ 

#### Fern von der Antenne:

Die zeitlich variablen Magnetfelder erzeugen elektrische (Wirbel-) Felder. Die zeitlich variablen elektrischen Felder erzeugen Magnetfelder.

→Wellenausbreitung im Raum jenseits der Antenne

$$\frac{\partial \vec{H}}{\partial t} \rightarrow \vec{E}_{w}$$

$$\frac{\partial \vec{E}_{Q,W}}{\partial t} \rightarrow \vec{H}$$

# 9.7.1 Wellengleichung des elektrischen und magn. Vektorpotentials

Aufgabenstellung: Berücksichtigung eingeprägter, freier Ströme Lösungsversuch: Wellengleichung für diesen Fall herleiten:

Maxwell: 
$$\operatorname{rot} \vec{H} = \vec{J} + \frac{\partial \vec{D}}{\partial t}$$
  $\operatorname{rot} \vec{E} = -\frac{\partial \vec{B}}{\partial t}$   $\operatorname{div} \vec{B} = 0$   $\operatorname{div} \vec{D} = \rho$ 

rot rot 
$$\vec{H} = \text{rot } \vec{J} + \frac{\partial}{\partial t} (\text{rot } \vec{D})$$

$$-\Delta \vec{H} + \text{grad div } \vec{H} = \text{rot } \vec{J} - \frac{\partial}{\partial t} \left( \epsilon \mu \frac{\partial \vec{H}}{\partial t} \right)$$

inhomogene PDGL: schwierig zu lösen

rot rot 
$$\vec{E} = \text{rot} \left( -\mu \frac{\partial \vec{H}}{\partial t} \right)$$

$$-\Delta \vec{E} + \text{grad div } \vec{E} = -\mu \frac{\partial}{\partial t} \text{ rot } \vec{H}$$

$$-\Delta \vec{E} + \text{grad} \left( \frac{1}{\epsilon} \text{div } \vec{D} \right) = -\mu \frac{\partial}{\partial t} \left( \vec{J} + \frac{\partial \vec{D}}{\partial t} \right) \qquad \leftarrow \text{rot } \vec{H} = \vec{J} + \frac{\partial \vec{D}}{\partial t}$$

$$-\Delta \vec{E} + \text{grad} \left( \frac{\rho}{\epsilon} \right) = -\mu \frac{\partial \vec{J}}{\partial t} - \mu \epsilon \frac{\partial^2 \vec{E}}{\partial t^2} \qquad \leftarrow \text{div } \vec{D} = \rho$$

$$\rightarrow \qquad \Delta \vec{E} - \epsilon \mu \frac{\partial^2 \vec{E}}{\partial t^2} = \text{grad} \left( \frac{\rho}{\epsilon} \right) + \mu \frac{\partial \vec{J}}{\partial t}$$

$$= \text{eingeprägter, freier Strom}$$

Ebenfalls schwierig zu lösen;

Einführung des Vektorpotentials als Rechenerleichterung

eingeprägte Raumladungsdichte p

# **Elektrisches und magnetisches Vektorpotential:**

Maxwell: 
$$\operatorname{rot} \vec{\mathsf{E}} = -\frac{\partial \vec{\mathsf{B}}}{\partial \mathsf{t}} = -\frac{\partial}{\partial \mathsf{t}} \operatorname{rot} \vec{\mathsf{A}} = -\operatorname{rot} \frac{\partial}{\partial \mathsf{t}} \vec{\mathsf{A}}$$

$$\Rightarrow \operatorname{rot} \left( \vec{\mathsf{E}} + \frac{\partial}{\partial \mathsf{t}} \vec{\mathsf{A}} \right) = 0$$

Damit lässt sich  $\vec{E} + \frac{\partial}{\partial t} \vec{A}$  als Gradient einer Potentialfunktion darstellen.

$$\vec{E} + \frac{\partial}{\partial t} \vec{A} = - \operatorname{grad} \Phi$$
 da immer gilt: rot grad  $\Phi = 0$ 

$$\vec{E} = - \operatorname{grad} \Phi - \frac{\partial \vec{A}}{\partial t}$$

Ē - Feld erzeugt aus Ladungen und magn. Induktion

Quellenfeld

Ursache: Raumladungsdichte

Wirbelfeld

Ursache: Stromdichte

# Einbeziehung von Quellen ρ

Maxwell:

$$\overrightarrow{\text{div }\overrightarrow{\text{D}}=\rho}$$

Ziel: DGl für Potential Φ

$$\epsilon \cdot \operatorname{div} \vec{E} = \epsilon \cdot \operatorname{div} \left( -\operatorname{grad} \Phi - \frac{\partial \vec{A}}{\partial t} \right) = \rho \quad \leftarrow \vec{E} = -\operatorname{grad} \Phi - \frac{\partial \vec{A}}{\partial t}$$

$$-\epsilon \cdot \Delta \Phi - \epsilon \operatorname{div} \frac{\partial \vec{A}}{\partial t} = \rho$$

$$\Rightarrow \Delta \Phi + \operatorname{div} \frac{\partial \vec{A}}{\partial t} = -\frac{\rho}{\epsilon} \quad \text{gekoppelte DGI}$$

$$\text{für } \Phi \text{ und } \vec{A}$$

$$\text{Wirkung der vorgegebenen}$$

$$\text{Raumladungsdichte}$$

Erinnerung  
Elektrostatik 
$$\Delta \Phi = \frac{-\rho}{\epsilon}$$
 Poisson - Gl.

Lösung Coulomb Integral

# Einbeziehung der Stromdichte J

$$\left| \text{rot } \vec{H} = \vec{J} + \frac{\partial \vec{D}}{\partial t} \right|$$

rot 
$$\vec{B} = \mu \cdot \vec{J} + \varepsilon \mu \frac{\partial \vec{E}}{\partial t}$$

rot rot 
$$\vec{A} = \mu \cdot \vec{J} + \epsilon \mu \frac{\partial \vec{E}}{\partial t}$$

rot rot 
$$\vec{A} = \mu \cdot \vec{J} - \epsilon \mu \frac{\partial}{\partial t} \left( \text{grad } \Phi + \frac{\partial \vec{A}}{\partial t} \right)$$

grad div 
$$\vec{A} - \Delta \vec{A} = \mu \cdot \vec{J} - \epsilon \mu \frac{\partial}{\partial t}$$
 grad  $\Phi - \epsilon \mu \frac{\partial^2 \vec{A}}{\partial t^2}$ 

$$\Delta \vec{A} - \text{grad} \left( \text{div } \vec{A} + \epsilon \mu \frac{\partial \Phi}{\partial t} \right) - \epsilon \mu \frac{\partial^2 \vec{A}}{\partial t^2} = -\mu \cdot \vec{J}$$

$$\vec{B} = \mu \cdot \vec{H}$$
  $\vec{D} = \epsilon \cdot \vec{E}$ 

$$\vec{B} = rot \vec{A}$$

$$\vec{E} = - \operatorname{grad} \Phi - \frac{\partial A}{\partial t}$$

rot rot 
$$\vec{A}$$
 = grad div  $\vec{A}$  -  $\Delta \vec{A}$ 

Entkopplung  $\vec{A}$ ,  $\Phi$  noch nicht vollständig erreicht  $\Rightarrow$  Lorentz Eichung

\_Wirkung der vorgegebenen Stromdichte

# 9.7.1.1 Lorentz - Eichung

Warum ist es erlaubt, "div  $\vec{A} + \epsilon \mu \partial \Phi / \partial t = 0$ " zu setzen?

Mehrdeutigkeit von  $\vec{A} \leftrightarrow \vec{A}'$ :

Es besteht der Freiheitsgrad der Hinzufügung einer Integrationskonstanten, da das physikalisch reale Magnetfeld B durch Differenzieren (Rotor-Bildung) des magnetischen Vektorpotentials beschrieben wird.

$$\rightarrow \vec{A}' = \vec{A} + \text{grad } \psi$$
  $\forall$  frei wählbar

$$\vec{A} : \vec{B} = \text{rot } \vec{A}$$
  
 $\vec{A}' : \vec{B} = \text{rot } \vec{A}' = \text{rot } \vec{A} + \text{ rot grad } \psi$ 

Ä und Ä' sind gleichberechtigte Repräsentanten für B

Rechnung möglichst einfach! Wahl von Ψ daher so, dass gilt:

# <u>Lösung:</u>

es sei zunächst  $\vec{B} = \text{rot } \vec{A}'$ , jedoch mit div  $\vec{A}' \neq -\epsilon \mu \partial \Phi / \partial t$ 

$$\vec{A}' = \vec{A} + \text{grad } \psi$$
 ( $\vec{A}$  und  $\vec{A}'$  sind gleichwertig zur Beschreibung von  $\vec{B}$ )

$$\text{div } \vec{A}' = \text{div } \vec{A} + \text{div } \text{grad } \psi$$

div 
$$\vec{A} = \text{div } \vec{A}' - \Delta \psi \rightarrow \text{wähle } \psi \text{ so, dass gilt } \Delta \psi = \varepsilon \mu \frac{\partial \Phi}{\partial t} + \text{div } \vec{A}'$$

$$\Delta \psi = \varepsilon \ \mu \frac{\partial \Phi}{\partial t} + \text{div } \vec{A}'$$
Lösung der Poisson DGI

$$\rightarrow \left| \text{div } \vec{A} + \epsilon \mu \frac{\partial \Phi}{\partial t} = 0 \quad \text{und} \quad \text{rot } \vec{A} = \vec{B} \right|$$

Es existiert also immer ein  $\hat{A}$ , welches das Magnetfeld B richtig beschreibt, und für welches  $\operatorname{div} A + \varepsilon \mu \partial \Phi / \partial t = 0$ (Lorentz - Konvention) gilt

# 9.7.1.2 Wellengleichungen

Neue Festlegung für die Quellen von A:

Diese Festlegung trennt die Differentialgleichungen für A und  $\Phi$ :

Wellengleichung für das magnetische (eingeprägter) Stromdichte J

Wir hatten: 
$$\Delta \Phi + \operatorname{div} \frac{\partial \vec{A}}{\partial t} = -\frac{\rho}{\epsilon}$$

$$\Delta \Phi + \frac{\partial}{\partial t} \operatorname{div} \vec{A} = -\frac{\rho}{\epsilon}$$

$$\Delta \Phi + \frac{\partial}{\partial t} \left( -\epsilon \, \mu \frac{\partial \Phi}{\partial t} \right) = -\frac{\rho}{\epsilon}$$

$$\rightarrow \boxed{\Delta \Phi - \varepsilon \ \mu \frac{\partial^2 \Phi}{\partial t^2} = -\frac{\rho}{\varepsilon}}$$

Wellengleichung für das elektrische Potential bei vorgegebener Raumladungsdichte p

# 9.7.1.3 Lösung der Wellengleichung: retardierte Potentiale

$$\Phi(\vec{r},t) = \frac{1}{4\pi\epsilon} \iiint \frac{\rho\left(\vec{r}',t - \frac{|\vec{r} - \vec{r}'|}{c}\right)}{|\vec{r} - \vec{r}'|} dv'$$

Coulomb-Integral für schnell bewegte Ladungsverteilungen

$$\vec{A}(\vec{r},t) = \frac{\mu}{4\pi} \iiint \frac{\vec{J}(\vec{r}',t - \frac{|\vec{r} - \vec{r}'|}{c})}{|\vec{r} - \vec{r}'|} dv'$$

Vektorpotential für schnell veränderliche Ströme

Der Beitrag einer Ladung  $\rho$  bzw. Stromdichte  $\vec{J}$  an den Orten  $\vec{r}$ ' zu den Potentialen  $\Phi$  und  $\vec{A}$  am Ort  $\vec{r}$  muss zeitlich um  $|\vec{r}-\vec{r}\,'|/c$  rückdatiert werden. Wirkungen können sich nicht schneller als mit Lichtgeschwindigkeit fortpflanzen. Die Potentiale am Ort  $\vec{r}$  zum Zeitpunkt t hängen also ab von  $\rho(\vec{r}\,')$  bzw.  $\vec{J}(\vec{r}\,')$  zum früheren Zeitpunkt t -  $|\vec{r}-\vec{r}\,'|/c$ 

#### <u>Darstellung in kartesischen Koordinaten</u>

$$\Phi(x,y,z,t) = \frac{1}{4\pi\epsilon} \iiint \frac{\rho\left(x',y',z',t - \frac{\sqrt{(x-x')^2 + (y-y')^2 + (z-z')^2}}{c}\right)}{\sqrt{(x-x')^2 + (y-y')^2 + (z-z')^2}} dx'dy'dz'$$

$$\vec{A}(x,y,z,t) = \frac{\mu}{4\pi} \iiint \frac{\vec{J}\left(x',y',z',t - \frac{\sqrt{(x-x')^2 + (y-y')^2 + (z-z')^2}}{c}\right)}{\sqrt{(x-x')^2 + (y-y')^2 + (z-z')^2}} dx'dy'dz'$$

Beispiel zeitlicher Anregung:

$$\rho(x',y',z',t) = \rho(x',y',z') \cdot e^{j\omega t}$$

und

$$\vec{J}(x',y',z',t) = \vec{J}(x',y',z') \cdot e^{j\omega t}$$

$$\rightarrow \vec{A}(x,y,z,t) = \frac{\mu}{4\pi} \iiint \frac{\vec{J}(x',y',z') \cdot e^{j\omega t}}{\sqrt{(x-x')^2 + (y-y')^2 + (z-z')^2}} dx'dy'dz'$$

# **Zusammenfassung:**

$$| \text{div } \vec{A} + \frac{1}{c^2} | \frac{\partial \Phi}{\partial t} = 0 |$$

$$\Delta \vec{A} - \frac{1}{c^2} \frac{\partial^2 \vec{A}}{\partial t^2} = -\mu \cdot \vec{J}$$



elektrisches Potential

$$\rightarrow \boxed{\Phi(\vec{r},t) = \frac{1}{4\pi\epsilon} \int \int \int \frac{\rho(\vec{r}',t - \frac{|\vec{r} - \vec{r}'|}{c})}{|\vec{r} - \vec{r}'|} dv'}$$

$$\boxed{\Delta\vec{A} - \frac{1}{c^2} \frac{\partial^2 \vec{A}}{\partial t^2} = -\mu \cdot \vec{J}} \quad \text{magnetisches Vektorpotential} \rightarrow \boxed{\vec{A}(\vec{r}, t) = \frac{\mu}{4\pi} \int \int \int \frac{\vec{J}(\vec{r}', t - \frac{|\vec{r} - \vec{r}'|}{c})}{|\vec{r} - \vec{r}'|} \, dv'}$$

# **Elektrische und magnetische Felder**

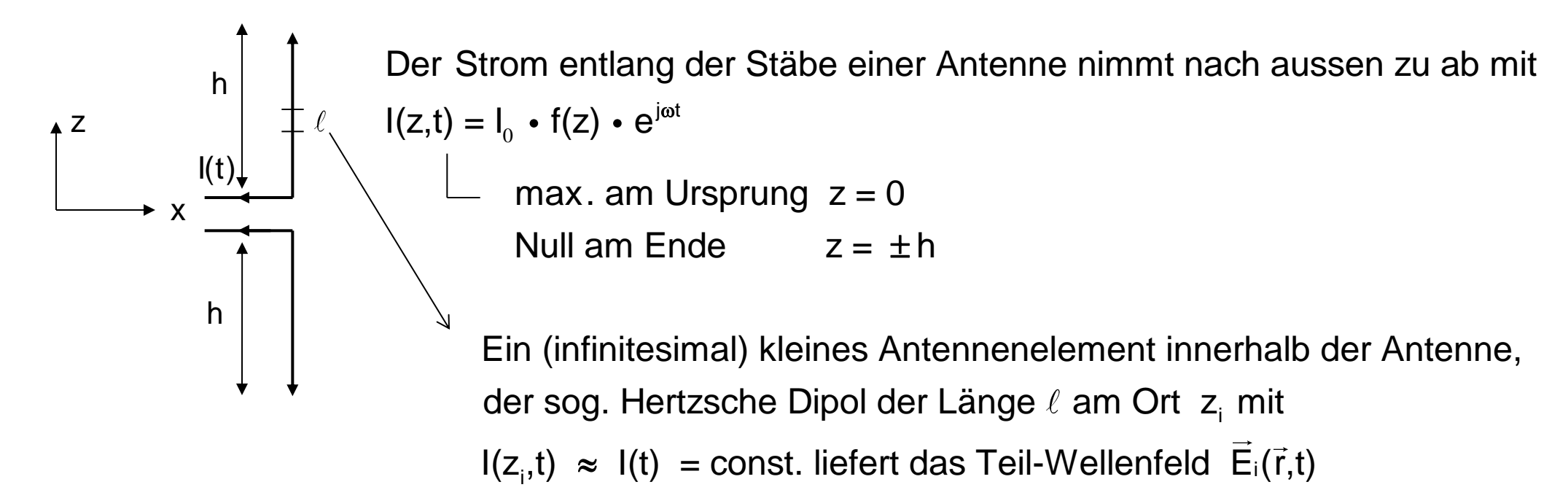
$$\vec{E} = - \operatorname{grad} \Phi - \frac{\partial \vec{A}}{\partial t}$$

elektrisches Feld

$$\vec{B} = \text{rot } \vec{A}$$

magnetisches Feld

# 9.7.2 Der Hertzsche Dipol



Das Wellenfeld der gesamten Antenne ergibt sich durch Überlagerung aller Teil-Felder  $\vec{E}_i(\vec{r},t)$  der einzelnen Hertzschen Dipole an den Orten  $z_i$ 

$$\vec{E}(\vec{r},t) = \sum_{i} \vec{E}_{i}(\vec{r},t)$$

# Vektorpotential des Hertzschen Dipols

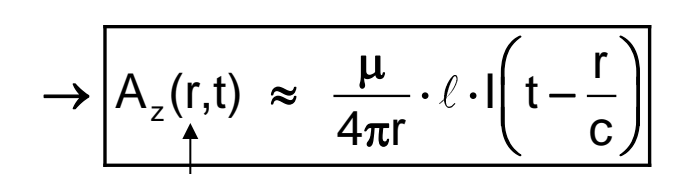
$$\vec{A}(\vec{r},t) = \frac{\mu}{4\pi} \iiint \frac{\vec{J}(\vec{r}',t-\frac{|\vec{r}-\vec{r}'|}{c})}{|\vec{r}-\vec{r}'|} dv'$$
 Vektorpotential  $\vec{A} = A_z \vec{e}_z$  vorhanden

 $J = J_z \vec{e}_z \Rightarrow \text{ nur z-Komponente von}$ 

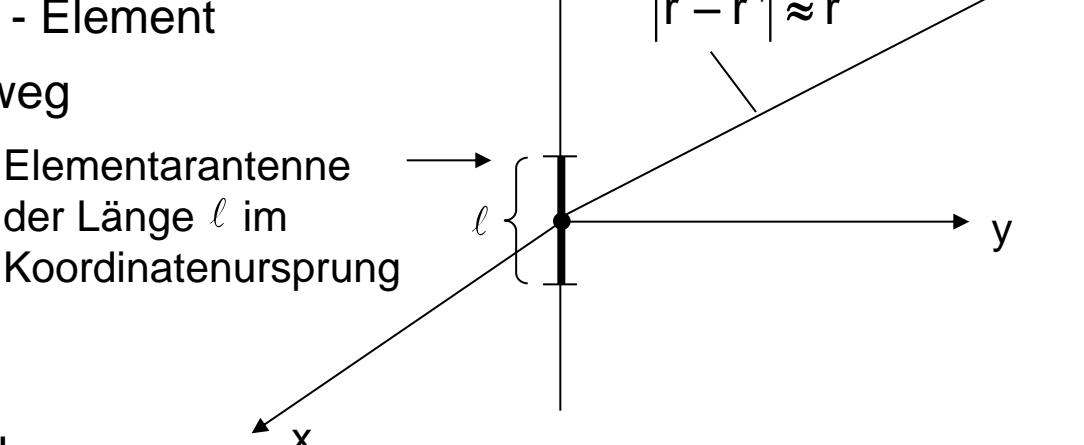
$$A_{z}(\vec{r},t) = \frac{\mu}{4\pi} \cdot \int_{-\ell/2}^{+\ell/2} \frac{I\left(t - \frac{|\vec{r} - \vec{r}\,'|}{c}\right)}{|\vec{r} - \vec{r}\,'|} \, dz' \qquad \begin{array}{c} \vec{J} \, dv' = I \cdot d\vec{s}' = I \, dz' \cdot \vec{e}_{z} \\ & | \\ N \ddot{a} herung \\ Linienströme \end{array}$$

Linienströme

Wenn ℓ ≪ r gilt: ≜ kleines Linienstrom - Element  $\rightarrow |\vec{r} - \vec{r}'| \approx r$  konstant über Integrationsweg



Ortsvektor nur abhängig vom Abstand r ist radiale Kugelkoordinate



 $A(\vec{r})=?$ 

# 9.7.2.1 Berechnung der Potentiale

Magnetisches Vektorpotential und elektrisches Potential für harmonische Zeitabhängigkeit

$$I\left(t - \frac{r}{c}\right) = \hat{I} \cdot exp\left(j\omega\left(t - \frac{r}{c}\right)\right) \rightarrow A_{z}(r,t) = \frac{\mu}{4\pi r} \cdot \ell \cdot \hat{I} \cdot exp\left(j\omega\left(t - \frac{r}{c}\right)\right)$$

Lorentz - Eichung: Bestimmung von Φ aus A:

$$\frac{\partial \Phi}{\partial t} = 0 \longrightarrow \frac{\partial A_z}{\partial z} + \frac{1}{c^2} \frac{\partial \Phi}{\partial t} = 0$$

$$\frac{\partial \Phi}{\partial t} = -c^2 \frac{\partial A_z}{\partial z} = -c^2 \frac{\partial A_z}{\partial r} \cdot \frac{\partial r}{\partial z}$$

$$= -c^2 \frac{\mu}{4\pi} \cdot \ell \cdot \hat{I} \cdot \left[ -\frac{1}{r^2} + \frac{1}{r} \left( -j \frac{\omega}{c} \right) \right] \exp\left(j\omega \left(t - \frac{r}{c}\right)\right) \cdot \cos \vartheta$$

$$\Phi(r, \vartheta, t) = -\frac{j}{\omega} \frac{\partial \Phi(r, \vartheta, t)}{\partial t} \longrightarrow \boxed{\Phi(r, \vartheta, t) = c^2 \cdot \frac{\mu}{4\pi} \cdot \ell \cdot \hat{l} \cdot \cos \vartheta \cdot \left[ -\frac{j}{\omega \cdot r^2} + \frac{1}{c \cdot r} \right] \exp\left(j\omega \left(t - \frac{r}{c}\right)\right)}$$

# Nebenrechnung

$$A_{z}\vec{e}_{z} = (A_{z}\cos\vartheta)\vec{e}_{r} - (A_{z}\sin\vartheta)\vec{e}_{\vartheta} + 0 \cdot \vec{e}_{\varphi} \qquad \text{Kartesisch} \longrightarrow \text{Polar-Koordinaten}$$

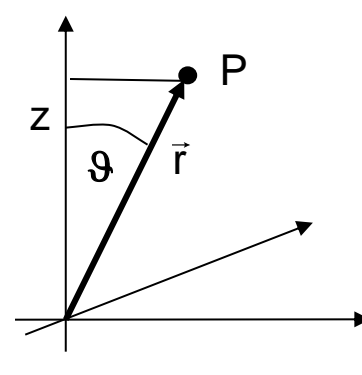
$$\text{div } \vec{A} = \frac{1}{r^{2}} \frac{\partial}{\partial r} (r^{2}A_{r}) + \frac{1}{r\sin\vartheta} \frac{\partial}{\partial\vartheta} (A_{\vartheta}\sin\vartheta) + 0$$

$$= \frac{1}{r^{2}} \frac{\partial}{\partial r} (r^{2}A_{z}(r)\cos\vartheta) + \frac{1}{r\sin\vartheta} \frac{\partial}{\partial\vartheta} (-A_{z}\sin^{2}\vartheta)$$

$$= \frac{1}{r^{2}} 2r A_{z}(r) \cos\vartheta + \frac{\partial A_{z}(r)}{\partial r} \cos\vartheta + \frac{1}{r\sin\vartheta} (-A_{z}(r) 2 \sin\vartheta \cos\vartheta)$$

q.e.d.

 $= \frac{2}{r} A_z(r) \cos \theta + \frac{\partial A_z(r)}{\partial r} \cos \theta + \left( -\frac{2}{r} A_z(r) \cos \theta \right)$ 



Einfacher:

$$\operatorname{div} \vec{A} = \frac{\partial A_{z}(r)}{\partial z} + 0 + 0 = \frac{\partial A_{z}(r)}{\partial r} \cdot \frac{\partial r}{\partial z}$$
$$= \frac{\partial A_{z}(r)}{\partial r} \cdot \cos \vartheta$$

 $=\frac{\partial A_z(r)}{\partial r} \cdot \cos \theta$ 

$$r = \sqrt{x^2 + y^2 + z^2}$$

$$\frac{dr}{dz} = \frac{1}{2} \frac{1}{\sqrt{x^2 + y^2 + z^2}} \cdot 2z = \frac{z}{r} = \cos 9$$

# Umformung der Vektorfelder A von kartesischen in Kugel-Koordinaten:

$$\rightarrow A_{\varphi} = 0$$

$$\rightarrow \Phi(r, \vartheta, t) = c^2 \cdot \frac{\mu}{4\pi} \cdot \ell \cdot \hat{l} \cdot \cos \vartheta \cdot \left[ -\frac{j}{\omega \cdot r^2} + \frac{1}{c \cdot r} \right] \exp\left( j\omega \left( t - \frac{r}{c} \right) \right)$$

Daraus Berechnung des elektrischen und magnetischen Feldes möglich:

$$\vec{E} = - \operatorname{grad} \Phi - \frac{\partial \vec{A}}{\partial t}$$

$$\vec{B} = \operatorname{rot} \vec{A} \quad \vec{H} = \frac{1}{\mu} \operatorname{rot} \vec{A}$$

hier differenzieren mittels grad und rot in Kugelkoordinaten

# 9.7.2.2 Lösung für das elektrische und magnetische Feld

$$\vec{E} = -\frac{\partial \vec{A}}{\partial t} - \text{grad } \Phi \qquad \rightarrow E_r = -\frac{\partial A_r}{\partial t} - \frac{\partial \Phi}{\partial r} \quad \frac{\text{Berechnung der}}{\text{r - Komponente}}$$

$$\begin{split} & \mathsf{E}_{\mathsf{r}} \! = \! - \! \frac{\mu}{4\pi \mathsf{r}} \cdot \ell \cdot \hat{\mathsf{I}} \cdot \mathsf{cos} \, \delta \cdot (\mathsf{j}\omega) \cdot \mathsf{exp} \bigg( \mathsf{j}\omega \bigg( \mathsf{t} \! - \! \frac{\mathsf{r}}{\mathsf{c}} \bigg) \bigg) \\ & - \mathsf{c}^2 \cdot \frac{\mu}{4\pi} \cdot \ell \cdot \hat{\mathsf{I}} \cdot \mathsf{cos} \, \vartheta \bigg[ (\frac{2\mathsf{j}}{\omega \mathsf{r}^3} \! - \! \frac{1}{\mathsf{cr}^2}) \! + \! (\frac{-\mathsf{j}}{\omega \mathsf{r}^2} \! + \! \frac{1}{\mathsf{cr}}) \cdot (\frac{-\mathsf{j}\omega}{\mathsf{c}}) \bigg] \mathsf{exp} \bigg( \mathsf{j}\omega \bigg( \mathsf{t} \! - \! \frac{\mathsf{r}}{\mathsf{c}} \bigg) \bigg) \\ & = \frac{\mu}{4\pi} \cdot \mathsf{c}^2 \cdot \ell \cdot \hat{\mathsf{I}} \cdot \mathsf{cos} \, \vartheta \cdot 2 \bigg[ \frac{-\mathsf{j}}{\omega \mathsf{r}^3} \! + \! \frac{1}{\mathsf{cr}^2} \bigg] \mathsf{exp} \bigg( \mathsf{j}\omega \bigg( \mathsf{t} \! - \! \frac{\mathsf{r}}{\mathsf{c}} \bigg) \bigg) \quad \mathsf{und} \, \mathsf{c}^2 = \frac{1}{\epsilon\mu} \\ & \to \bigg[ \mathsf{E}_{\mathsf{r}}(\mathsf{r}, \vartheta, \mathsf{t}) = \frac{1}{2\pi\epsilon} \cdot \ell \cdot \hat{\mathsf{I}} \cdot \mathsf{cos} \, \vartheta \cdot \bigg[ \frac{-\mathsf{j}}{\omega \mathsf{r}^3} \! + \! \frac{1}{\mathsf{cr}^2} \bigg] \mathsf{exp} \bigg( \mathsf{j}\omega \bigg( \mathsf{t} \! - \! \frac{\mathsf{r}}{\mathsf{c}} \bigg) \bigg) \bigg] \end{split}$$

$$\vec{\mathsf{E}} = -\frac{\partial \vec{\mathsf{A}}}{\partial \mathsf{t}} - \operatorname{grad} \Phi$$

$$|\vec{E} = -\frac{\partial \vec{A}}{\partial t} - \text{grad } \Phi| \rightarrow E_{\vartheta} = -\frac{\partial A_{\vartheta}}{\partial t} - \frac{1}{r} \frac{\partial \Phi}{\partial \vartheta} \qquad \frac{\text{Berechnung der}}{\vartheta - \text{Komponente}}$$

$$\begin{split} & \mathsf{E}_{\vartheta} = + \frac{\mu}{4\pi r} \cdot \ell \cdot \hat{I} \cdot sin\vartheta \cdot (j\omega) \cdot exp\bigg(j\omega\bigg(t - \frac{r}{c}\bigg)\bigg) \\ & - \frac{1}{r}c^2 \frac{\mu}{4\pi} \cdot \ell \cdot \hat{I} \cdot (-\sin\vartheta) \cdot \bigg[\frac{-j}{\omega \cdot r^2} + \frac{1}{c \cdot r}\bigg] \cdot exp\bigg(j\omega\bigg(t - \frac{r}{c}\bigg)\bigg) \quad und \ c^2 = \frac{1}{\epsilon\mu} \end{split}$$

$$\rightarrow \boxed{ \textbf{E}_{\vartheta}(\textbf{r},\vartheta,\textbf{t}) = \frac{1}{4\pi\epsilon} \cdot \ell \cdot \hat{\textbf{I}} \cdot \sin\vartheta \cdot \left[ \frac{-j}{\omega \cdot \textbf{r}^3} + \frac{1}{c \cdot \textbf{r}^2} + \frac{j\omega}{c^2 \cdot \textbf{r}} \right] \cdot \exp\left(j\omega\left(\textbf{t} - \frac{\textbf{r}}{c}\right)\right)}$$

$$\mathsf{E}_{\varphi} = -\frac{\partial \mathsf{A}_{\varphi}}{\partial \mathsf{t}} - \frac{1}{\mathsf{r} \cdot \sin \vartheta} \, \frac{\partial \Phi}{\partial \varphi} \qquad \frac{\mathsf{Berechnung der}}{\varphi \cdot \mathsf{Komponente}}$$

$$\rightarrow \boxed{\mathsf{E}_{\varphi} = 0} \quad \underline{\varphi - \mathsf{Komponente}}$$

$$\underline{\mathsf{ist Null}}$$

$$\vec{H} = \frac{1}{\mu} \text{ rot } \vec{A}$$

 $|\vec{H} = \frac{1}{1} \text{ rot } \vec{A}|$  Berechnung des Magnetfeldes aus magn. Vektorpotential

$$H_{r} = \frac{1}{\mu} \cdot \frac{1}{r \cdot \sin \vartheta} \cdot \left[ \frac{\partial}{\partial \vartheta} \left( A_{\varphi} \cdot \sin \vartheta \right) - \frac{\partial A_{\vartheta}}{\partial \varphi} \right] \qquad \rightarrow H_{r} = 0 \quad \underline{r \cdot Komponente} \quad \underline{ist \ Null}$$

$$H_{\vartheta} = \frac{1}{\mu} \cdot \frac{1}{r} \cdot \left[ \frac{1}{\sin \vartheta} \frac{\partial A_{r}}{\partial \varphi} - \frac{\partial}{\partial r} (r \cdot A_{\varphi}) \right] \qquad \rightarrow H_{\vartheta} = 0 \quad \frac{\vartheta - Komponente}{ist \ Null}$$

$$\begin{split} H_{\phi} &= \frac{1}{\mu} \cdot \frac{1}{r} \cdot \left[ \frac{\partial}{\partial r} (r \cdot A_{\vartheta}) - \frac{\partial A_{r}}{\partial \vartheta} \right] \\ &= \frac{1}{\mu} \cdot \frac{1}{r} \cdot \left[ A_{\vartheta} + r \frac{\partial A_{\vartheta}}{\partial r} - \frac{\partial A_{r}}{\partial \vartheta} \right] \\ &= \frac{1}{\mu} \cdot \frac{1}{r} \cdot \left[ -\left[ \frac{\mu}{4\pi} \cdot \ell \cdot \hat{I} \right] \cdot \left\{ \frac{1}{r} + r \cdot \left( -\frac{1}{r^{2}} + \frac{1}{r} (\frac{-j\omega}{c}) \right) \right\} \sin \vartheta - \left[ \frac{\mu}{4\pi} \cdot \ell \cdot \hat{I} \right] \cdot \frac{1}{r} \cdot (-\sin \vartheta) \right] \cdot \exp \left( j\omega \left( t - \frac{r}{c} \right) \right) \end{split}$$

$$\rightarrow \left| H_{\varphi}(r,\vartheta,t) = \frac{1}{4\pi} \cdot \ell \cdot \hat{I} \cdot \sin \vartheta \left[ \frac{j\omega}{r \cdot c} + \frac{1}{r^2} \right] \cdot \exp \left( j\omega \left( t - \frac{r}{c} \right) \right) \right| \quad \frac{L\ddot{c}}{\varphi}$$

<u>Lösung für</u> <u>φ- Komponente</u>

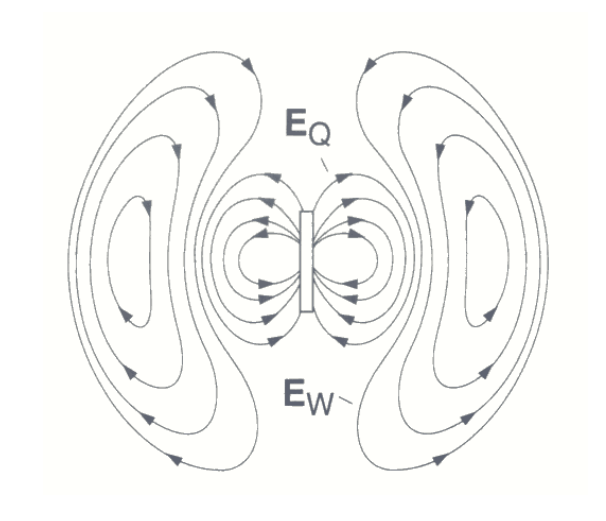
## **Gesamtfeld**

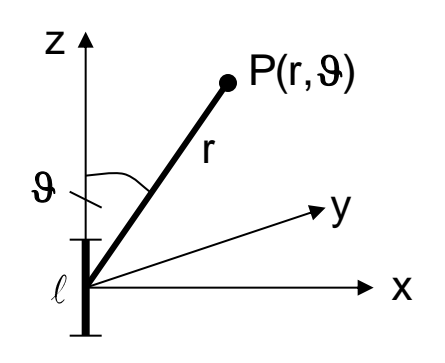
$$E_{r}(r, \vartheta, t) = \frac{1}{2\pi\epsilon} \ell \hat{l} \cos \vartheta \left( \frac{-j}{\omega r^{3}} + \frac{1}{c r^{2}} \right) \cdot \exp(j(\omega t - kr))$$

$$\mathsf{E}_{\vartheta}\big(\mathsf{r},\,\vartheta,\,\mathsf{t}\big) = \frac{1}{4\pi\epsilon}\,\,\ell\,\,\hat{\mathsf{l}}\,\,\sin\,\vartheta\,\,\bigg(\frac{-\mathsf{j}}{\omega\,\,\mathsf{r}^3} + \frac{1}{\mathsf{c}\,\,\mathsf{r}^2} + \frac{\mathsf{j}\omega}{\mathsf{c}^2\,\,\mathsf{r}}\bigg) \cdot \exp\big(\mathsf{j}\big(\omega\mathsf{t}\,-\mathsf{kr}\big)\big)$$

$$H_{\varphi}(r, \vartheta, t) = \frac{1}{4\pi} \ell \hat{I} \sin \vartheta \left( + \frac{1}{r^2} + \frac{j\omega}{c r} \right) \cdot \exp(j(\omega t - kr))$$

$$E_{\varphi} = 0$$
  $H_{r} = 0$   $H_{\vartheta} = 0$  wobei  $\omega \left( t - \frac{r}{c} \right) = \omega t - kr$  wegen  $\omega/k = c$ 





Nahfeld: r klein 
$$\rightarrow \frac{1}{r} \ll \frac{1}{r^2} \ll \frac{1}{r^3} \rightarrow \text{Berücksichtigung von } \frac{1}{r^3} \text{ bzw. } \frac{1}{r^2}$$
  
Fernfeld: r groß  $\rightarrow \frac{1}{r} \gg \frac{1}{r^2} \gg \frac{1}{r^3} \rightarrow \text{Berücksichtigung von } \frac{1}{r}$ 

### Fernfeld - Nahfeld

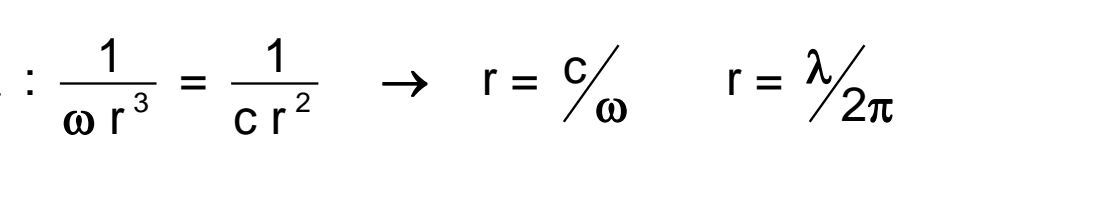
wann ist Anteil des Nahfeldes  $(\sim \frac{1}{r})$  gleich dem des Fernfeldes  $(\sim \frac{1}{r^2})$ 

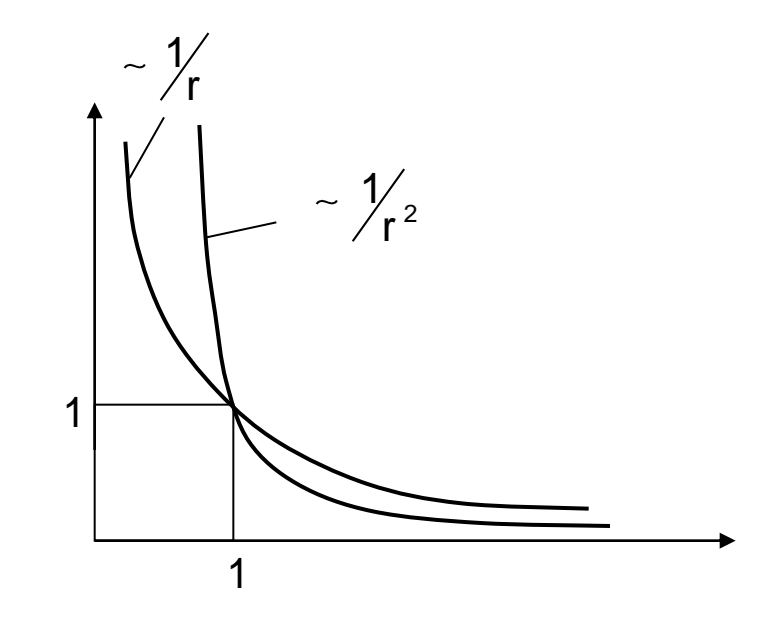
$$H_{\phi}: \frac{\omega}{cr} = \frac{1}{r^2} \longrightarrow \boxed{r = \frac{c}{\omega}} \qquad r = \frac{\lambda}{2\pi}$$

$$E_{\vartheta}: \frac{\omega}{c^2 r} = \frac{1}{c r^2} \rightarrow r = \frac{c}{\omega} \qquad r = \frac{\lambda}{2\pi}$$

$$\frac{\omega}{c^2 r} = \frac{1}{\omega r^3} \rightarrow r^2 = \frac{c^2}{\omega^2} r = \frac{\lambda}{2\pi}$$

$$E_r: \frac{1}{\omega r^3} = \frac{1}{c r^2} \rightarrow r = \frac{c}{\omega} \qquad r = \frac{\lambda}{2\pi}$$





 $\rightarrow$  An der Stelle  $r_0 = \frac{c}{\omega} = \frac{\lambda}{2\pi}$  sind <u>alle</u> Terme  $\left(-\frac{1}{r}, -\frac{1}{r^2}, -\frac{1}{r^3}\right)$ gleich groß

### 9.7.2.3 Nahfelder

(nur Komponenten mit 
$$\frac{1}{r^3}$$
 bzw.  $\frac{1}{r^2}$ )

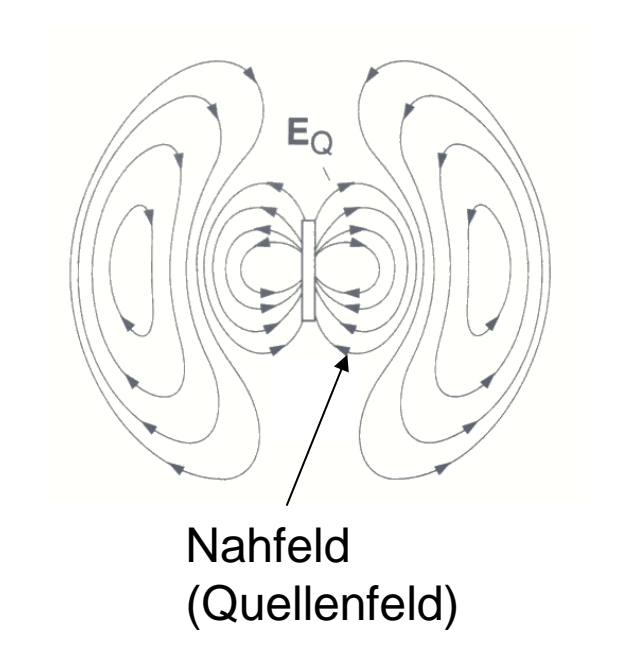
$$E_{r}(r,9,t) = \frac{1}{2\pi\epsilon} \cdot \ell \cdot \hat{I} \cdot \cos \vartheta \frac{-j}{\omega \cdot r^{3}} \cdot \exp(j(\omega t - kr))$$

$$E_{\vartheta}(r,9,t) = \frac{1}{4\pi\epsilon} \cdot \ell \cdot \hat{I} \cdot \sin \vartheta \frac{-j}{\omega \cdot r^{3}} \cdot \exp(j(\omega t - kr))$$

$$H_{\varphi}(r,9,t) = \frac{1}{4\pi} \cdot \ell \cdot \hat{I} \cdot \sin \vartheta \frac{1}{r^{2}} \cdot \exp(j(\omega t - kr))$$

$$E_{\vartheta}(r,\vartheta,t) = \frac{1}{4\pi\epsilon} \cdot \ell \cdot \hat{I} \cdot \sin \vartheta \frac{-j}{\omega \cdot r^{3}} \cdot \exp(j(\omega t - kr))$$

$$H_{\varphi}(r,\vartheta,t) = \frac{1}{4\pi} \cdot \ell \cdot \hat{I} \cdot \sin \vartheta \frac{1}{r^2} \cdot \exp(j(\omega t - kr))$$



Poynting – Vektor  $\vec{S} = \vec{E} \times \vec{H}^*$  rein imaginär

Kein Energietransport, Quellenfeld E pumpt nur, dehnt sich aus, zieht sich wieder zusammen, entfernt sich nicht von der Antenne

## 9.7.2.4 Fernfelder

(dominant nur Komponenten mit  $\frac{1}{r}$ )

$$\left( \mathsf{E}_{\mathsf{r}} \left( \mathsf{r}, \, \vartheta, \, \mathsf{t} \right) = \frac{1}{2\pi\varepsilon} \cdot \ell \cdot \hat{\mathsf{l}} \cdot \cos \, \vartheta \cdot \frac{1}{\mathsf{c} \, \mathsf{r}^2} \cdot \exp \left( \mathsf{j} \left( \omega \mathsf{t} - \mathsf{kr} \right) \right) \approx 0 \right)$$

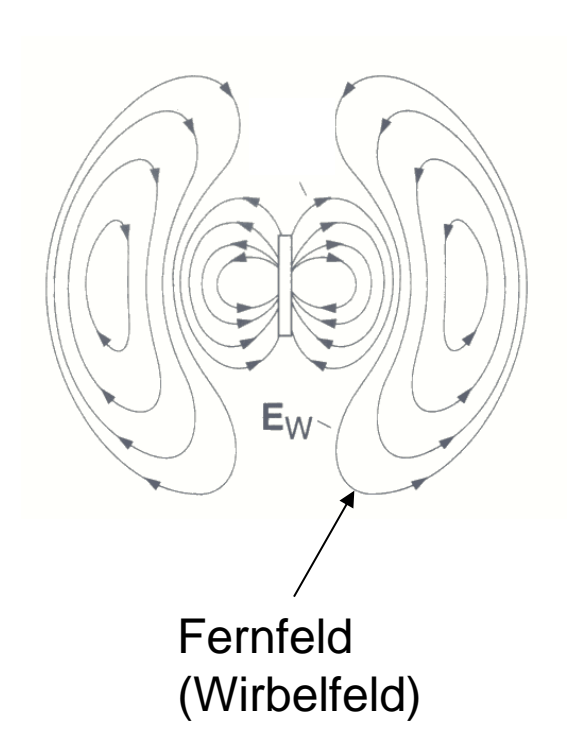
$$E_{\vartheta}(r,\vartheta,t) = \frac{1}{4\pi\epsilon} \cdot \ell \cdot \hat{I} \cdot \sin \vartheta \cdot \frac{j\omega}{r \cdot c^{2}} \cdot \exp(j(\omega t - kr))$$

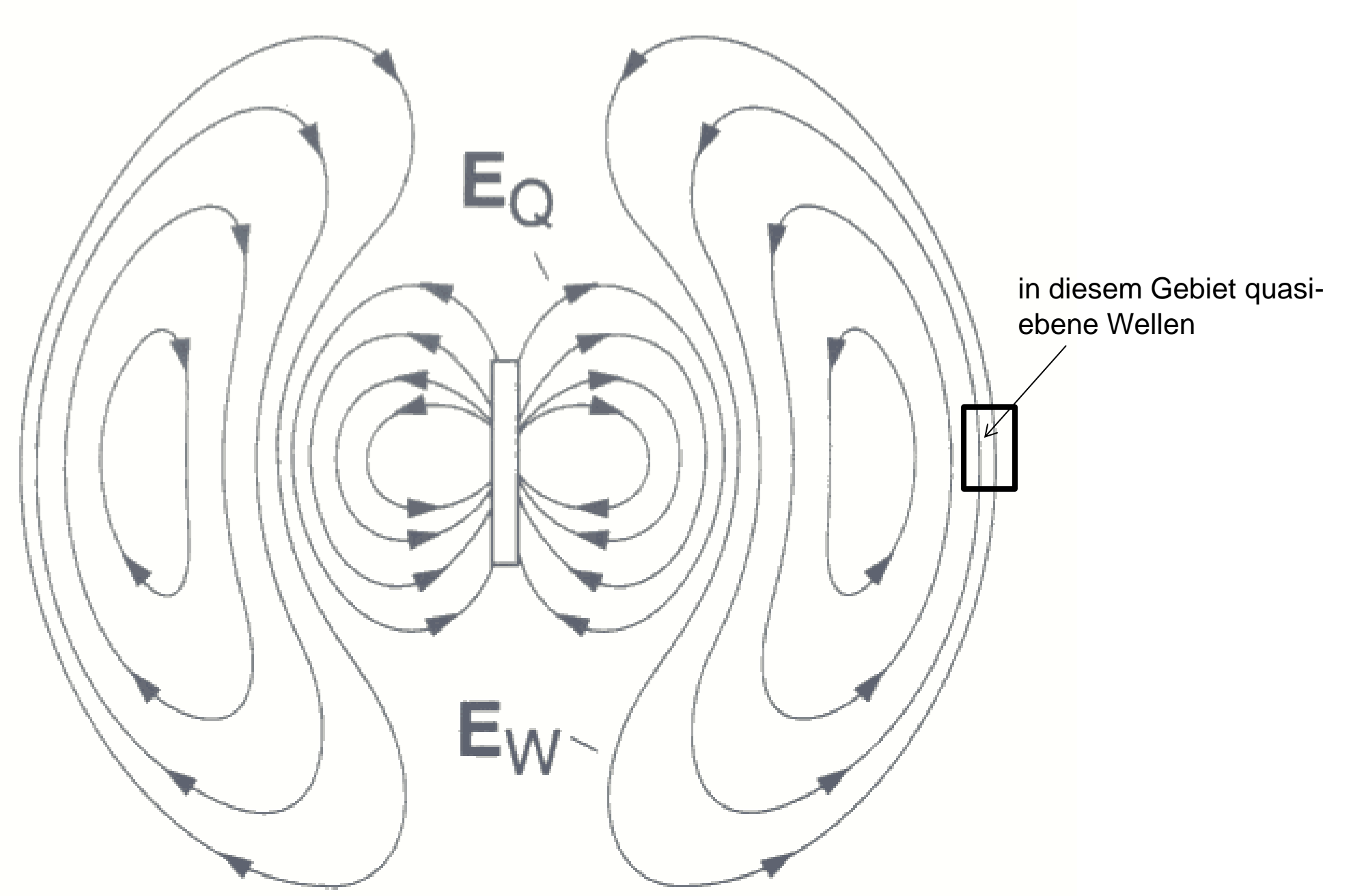
$$H_{\varphi}(r,\vartheta,t) = \frac{1}{4\pi} \cdot \ell \cdot \hat{I} \cdot \sin \vartheta \cdot \frac{j\omega}{r \cdot c} \cdot \exp(j(\omega t - kr))$$

"Kugelwelle"



\* 
$$E_{\vartheta} = \frac{1}{c \cdot \epsilon} \cdot H_{\varphi} = \frac{\sqrt{\epsilon \cdot \mu}}{\epsilon} H_{\varphi} = \sqrt{\frac{\mu}{\epsilon}} \cdot H_{\varphi}$$
 wie bei ebenen Wellen.





# 9.7.2.5 Poynting - Vektor und Energieabstrahlung im Fernfeld

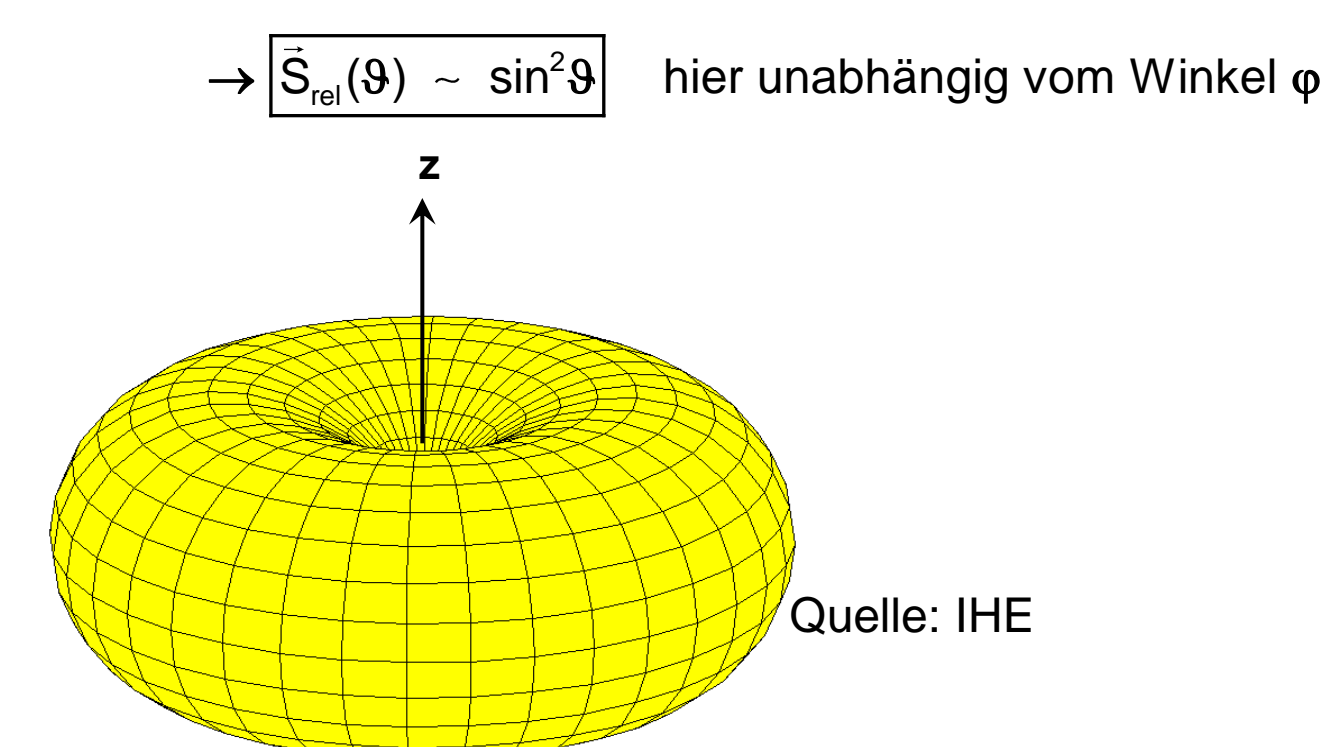
$$\begin{split} \vec{S} &= \vec{E} \times \vec{H} \\ &= E_r \cdot H_\phi^* \vec{e}_\vartheta + E_\vartheta \cdot H_\phi^* \vec{e}_r \\ &= \left(\frac{1}{2\pi\epsilon} \cdot \ell \cdot \hat{I} \cdot \cos\vartheta \cdot \frac{1}{c\ r^2}\right) \cdot \left(\frac{-j}{4\pi} \cdot \ell \cdot \hat{I} \cdot \sin\vartheta \cdot \frac{\omega}{r \cdot c}\right) \cdot \vec{e}_\vartheta \\ &+ (j\frac{1}{4\pi\epsilon} \cdot \ell \cdot \hat{I} \cdot \sin\vartheta \cdot \frac{\omega}{r \cdot c^2}) \cdot (\frac{-j}{4\pi} \cdot \ell \cdot \hat{I} \cdot \sin\vartheta \cdot \frac{\omega}{r \cdot c}) \cdot \vec{e}_r \\ &\vec{S}(r,\vartheta) = S_{R\vartheta}(r,\vartheta) \cdot \vec{e}_r + j\ \vec{S}_{Ir}(r,\vartheta) \cdot \vec{e}_\vartheta \quad \text{mit} \quad \vec{S}_{I}(r,\vartheta) \ll \vec{S}_R(r,\vartheta) \end{split}$$

$$\left| <\vec{S}_{R}(r,\vartheta)> = \frac{1}{2} Re \left\{ \vec{S}(r,\vartheta) \right\} = \frac{1}{2} \left( \frac{1}{4\pi} \right)^{2} \cdot \left( \frac{\omega}{c} \right)^{2} \cdot \left( \frac{\ell \cdot \hat{I}}{r} \right)^{2} \cdot \left( \frac{1}{\epsilon \cdot c} \right) \cdot \sin^{2}\vartheta \cdot \vec{e}_{r} = \frac{1}{8} \sqrt{\frac{\mu}{\epsilon}} \left( \frac{\ell}{\lambda} \right)^{2} \frac{\sin^{2}\vartheta}{r^{2}} \vec{I}^{2} \vec{e}_{r}$$

## Räumliche Richtcharakteristik des Hertzschen Dipols

$$|\langle \vec{S}(r,\vartheta) \rangle = \frac{1}{8} \sqrt{\frac{\mu}{\epsilon}} \left(\frac{\ell}{\lambda}\right)^2 \frac{\sin^2 \vartheta}{r^2} \hat{l}^2 \vec{e}_r$$

Auftragung der Richtcharakteristik der Antenne in Kugelkoordinaten als relative Länge  $\vec{S}_{rel}(\vartheta, \phi)$  des Poyntingvektors für festen Radius r abhängig von den Koordinaten  $\vartheta$  und  $\phi$ 



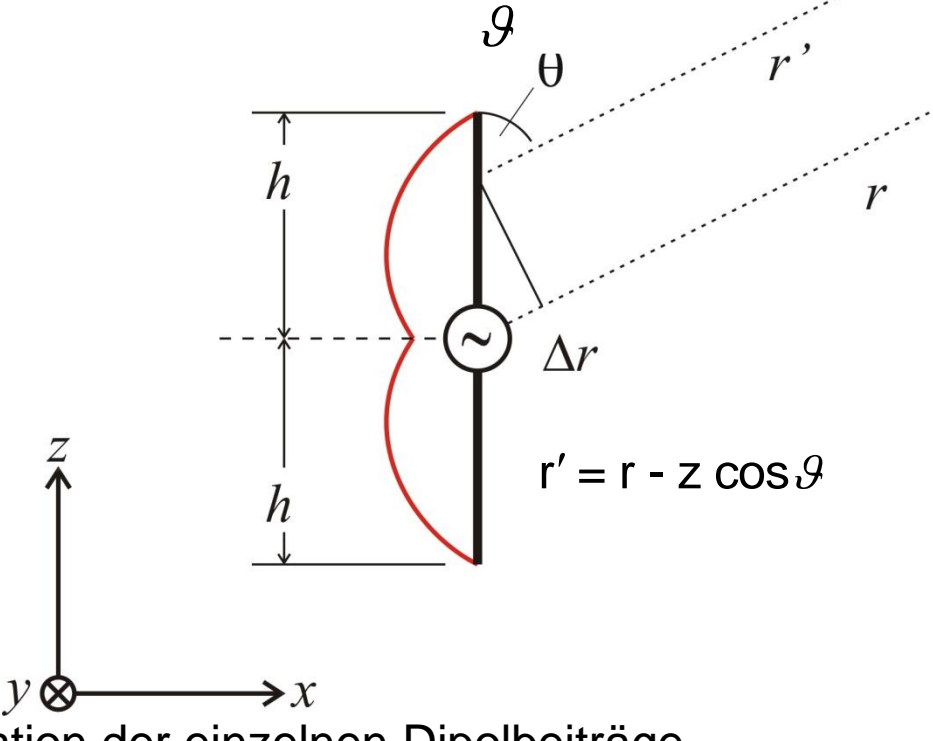
# 9.7.3 Reale ausgedehnte Dipolantenne

Stromverteilung entlang der Antenne (Strom Null an Enden):

$$\hat{I}(z) = I_0 \sin\left(\frac{2\pi}{\lambda}(h-|z|)\right) = I_0 \sin(k(h-|z|))$$

Das Fernfeld eines infinitesimal kleinen Dipols der Länge  $d\ell$  ist:

$$dE_{9} = \frac{1}{4\pi\epsilon} \hat{I}(z) \sin \theta \frac{\omega}{rc_{0}^{2}} e^{j(\omega t - kr)} d\ell$$

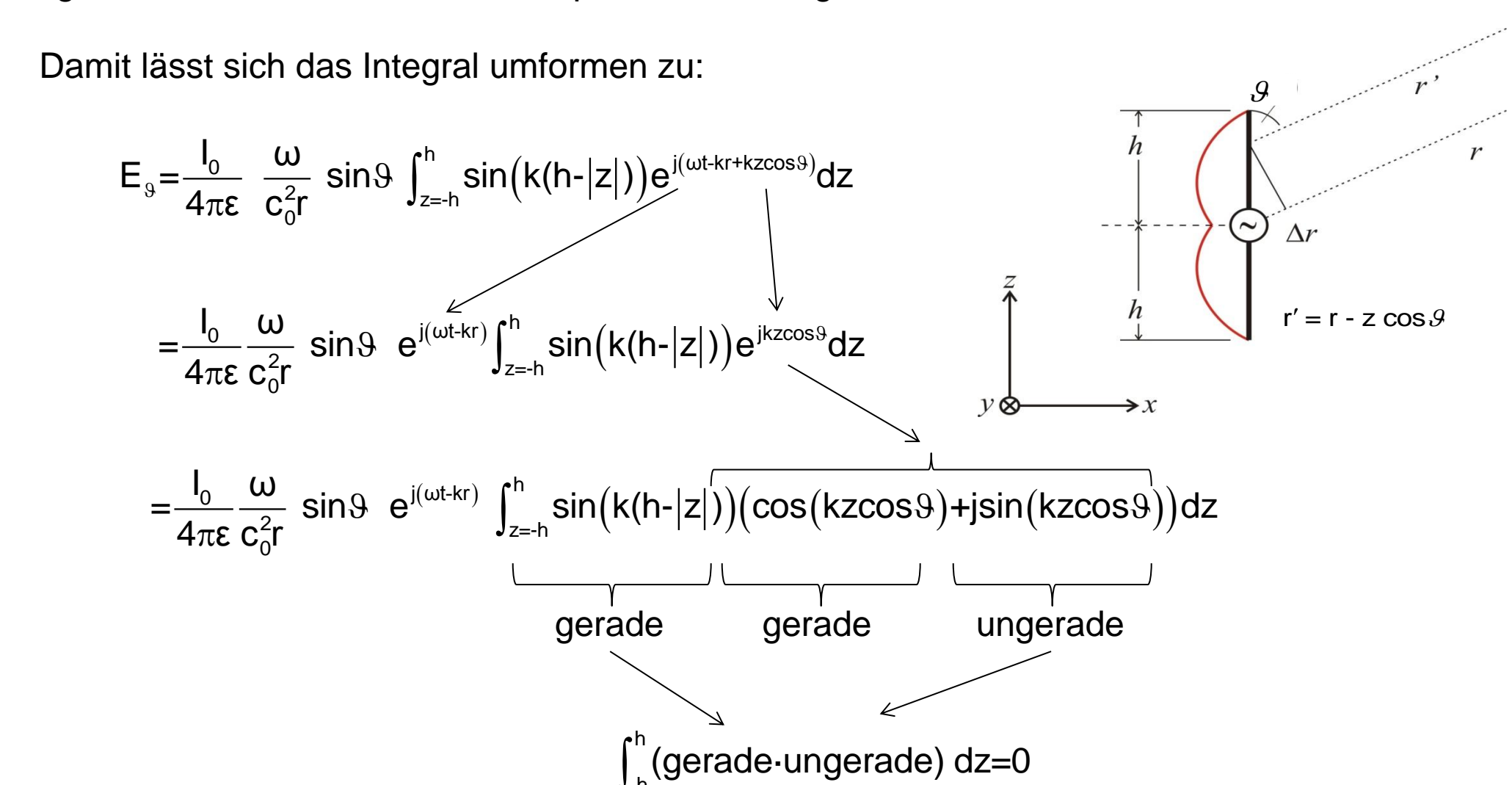


Berechnung des Fernfeldes für große r durch Integration der einzelnen Dipolbeiträge über die Höhe 2h. Da der Dipol in z-Richtung zeigt, gilt folgender Ansatz:

$$E_{9} = \int_{z=-h}^{h} \frac{1}{4\pi\epsilon} \frac{\omega}{r'c_{0}^{2}} I_{0} \sin(k(h-|z|)) e^{j(\omega t-kr')} \sin\theta dz$$

Für große r gilt:  $\frac{1}{r} \approx \frac{1}{r'}$ 

Beim Phasenterm in der e-Funktion jedoch muss der Wegunterschied genau beachtet werden. Für große r sind die Strahlen r und r' parallel und es gilt  $r' = r - z \cos \vartheta$ 

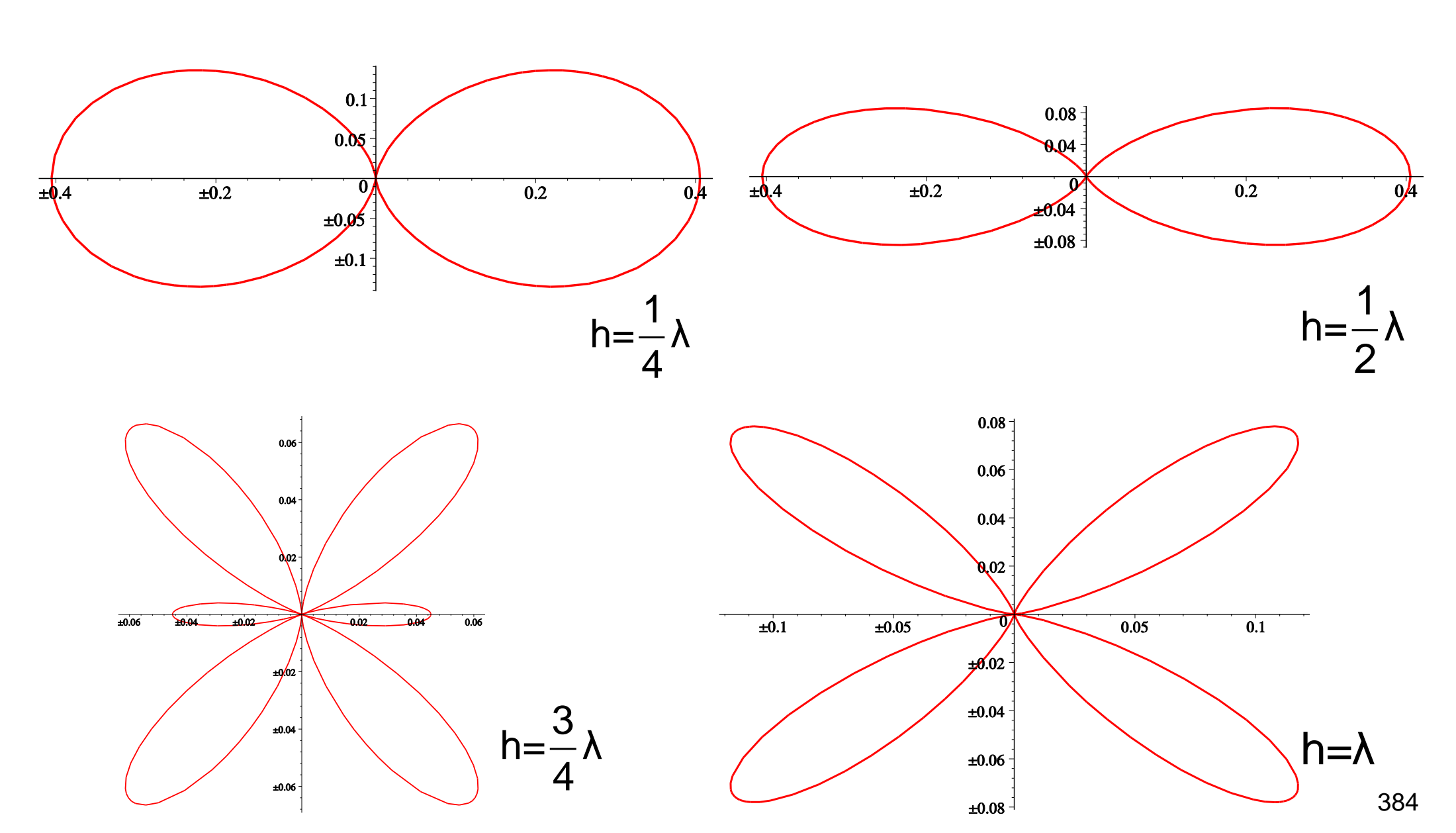


$$\begin{split} & \rightarrow \text{E}_{\vartheta} = \frac{\text{I}_0}{4\pi\epsilon} \frac{\omega}{c_0^2 r} \, \sin\vartheta \, \, e^{\text{j}(\omega t \cdot k r)} 2 \, \, \underbrace{\int_{z=0}^h \sin(\text{k}(\text{h-z})) \cos(\text{kz} \cos\vartheta) dz}_{z=0} \\ & = \frac{\text{I}_0}{2\pi\epsilon} \frac{\omega}{c_0^2 r} \, \sin\vartheta \, \, e^{\text{j}(\omega t \cdot k r)} \, \, \underbrace{\frac{\cos(\text{kh} \cos\vartheta) \cdot \cos(\text{kh})}{\sin^2\vartheta}}_{sin^2\vartheta} \, \, \underbrace{\begin{bmatrix} \int_{z=0}^h \sin(\text{k}(\text{h-z})) \, \cos(\text{kz} \cos\vartheta) dz \\ & = \frac{\cos(\text{kh} \cos\vartheta) \cdot \cos(\text{kh})}{\sin^2\vartheta} \\ & = \frac{\cos(\text{kh} \cos\vartheta) \cdot \cos(\text{kh})}{\sin^2\vartheta} \, \, \end{bmatrix} \\ & \rightarrow \boxed{\text{E}_{\vartheta}(\text{r},\,\vartheta) = \frac{\text{I}_0}{2\pi\epsilon} \frac{\omega}{c_0^2 r} \, e^{\text{j}(\omega t \cdot k r)} \, \, \frac{\cos(\text{kh} \cos\vartheta) \cdot \cos(\text{kh})}{\sin\vartheta}}_{sin\vartheta}} \end{split}$$

Die Richtcharakteristik der linearen Dipolantenne ist durch den Pointingvektor  $\vec{S}(r,\theta) = E_{\theta} H_{\phi} \vec{e}_{r}$  gegeben. Für diesen gilt mit  $H_{\phi} \sim E_{\theta}$ 

$$\rightarrow \boxed{\vec{S}(r,\vartheta) \ \sim \left(\frac{I_0\omega}{r}\right)^2 \left(\frac{\cos(khcos\vartheta) - \cos(kh)}{\sin\vartheta}\right)^2 \vec{e}_r} \qquad \rightarrow \boxed{\vec{S}_{rel}(\vartheta) \ \sim \left(\frac{\cos(khcos\vartheta) - \cos(kh)}{\sin\vartheta}\right)^2 \vec{e}_r}$$

# Polardiagramm der Richtcharakteristik um Winkel $\mathcal{G}$



### Räumliche Richtcharakteristik der linearen Antenne

